

# Conception de traces et applications (vers une méta-théorie des traces)

‘‘document de travail’’

8 février 2010

Pierre Deransart

INRIA Rocquencourt, BP 105, 78153 Le Chesnay Cedex, France

`Pierre.Deransart@inria.fr`

**Résumé** Ce document est une synthèse en évolution constante de quelques travaux et réflexions conduits après 2004 (la fin du projet OADyMP-PaC) et concernant une méthodologie de construction de traces.

Par ‘‘trace’’ nous entendons toute suite discrète non bornée d’événements constitués chacun d’un ensemble d’attributs et susceptibles de rendre compte en partie du comportement d’un système ou phénomène observé.

Ce que nous voulons étudier ici est le processus par lequel une trace est finalement conçue. Le développement de traces pour un processus ou une famille de processus repose sur un cycle d’observations et d’analyses qui conduit progressivement à identifier les concepts éventuellement mesurables et utiles à une analyse. Cette analyse permettra éventuellement elle-même de trouver de nouveaux concepts utiles à la compréhension du phénomène observé, qui, à leur tour, pourront amener à introduire de nouveaux concepts mesurables et de nouveaux attributs dans la trace. L’identification des concepts est liée à une activité de modélisation et d’abstraction, et leur transcription dans une trace relève de la recherche de leur représentation sous une forme aisément transmissible, mais aussi utilisable pour les analyses.

Ce que nous attendons d’une telle étude, outre bien sûr une meilleure compréhension de la manière dont sont construites les traces, c’est une méthode rigoureuse de développement de traces susceptible de s’appuyer sur des outils. Un résultat intéressant, par exemple, peut être un langage de prototypage de trace indépendant des processus observés.

Au stade où en est cette étude l’auteur n’a pu conduire que des expérimentations dans le domaine des solveurs de contraintes type CLP(FD) ou systèmes de règles type CHR. L’observation par des traces du comportement parfois inattendu d’un solveur, où chaque contrainte peut être vue comme un agent agissant sur un domaine, a mis en évidence l’intérêt potentiel d’une approche méthodologique. On a pu montrer en particulier comment il était possible d’améliorer la réalisation de traceurs grâce à cette approche tant au plan de la conception que de l’implantation.

De manière générale on retrouve le concept de trace dans de nombreux champs d’études allant du génie logiciel aux traces mémorielles dans le système nerveux, en passant par l’apprentissage en environnement médié.

L'un des objectifs de cette étude est de favoriser, grâce à une démarche systématisée, une possible cross-fertilisation entre des domaines aussi variés que le génie logiciel, l'analyse de données, l'éducation, la médecine ou la philosophie.

**Mots clefs**

Méta-théorie des traces  
Observation de processus, analyse de processus  
Sémantique observationnelle  
Ingénierie des logiciels  
Traceur, pilote de traceur  
Programmation en logique

**Keywords**

Trace Meta-theory  
Process Observation, Process Analysis  
Observational Semantics  
Software Engineering  
Tracer, Tracer Driver  
Logic Programming

Les versions successives de ce document sont régulièrement déposées sur les archives ouvertes HAL, voir [35] pour la version la plus récente.

## Préambule

Cette étude vise à développer le cadre méthodologique concernant les traces génériques tel qu'il a été développé empiriquement dans le projet OADymPPaC [33] de manière à en apprécier toute la portée et permettre d'autres développements. On peut en effet déjà attendre d'un approfondissement d'une approche systématique des traceurs et leurs traces, une meilleure compréhension a posteriori des travaux menés dans cadre du projet OADymPPaC, en particulier ceux qui ont été publiés dans [64] en 2003 et [67] en 2004. On sera alors mieux à même d'apprécier la force de la notion de trace générique, idée centrale dans le projet OADymPPaC. Mais on peut en attendre bien plus.

En effet ce projet s'est concentré sur la construction rapide et immédiate (le projet durait 3 ans) d'une trace dite "générique" destinée à permettre un développement rapide d'analyseurs sophistiqués de divers solveurs de contraintes, tout en réalisant sa mise au point progressive. De ce fait les conséquences de cette approche "générique" n'ont pu être étudiées. En particulier la nature même d'une trace "générique", ses liens avec la sémantique de chaque solveur, l'utilisation pratique d'une sous-trace, sa non contiguïté possible (sauf dans quelques cas précis d'interruption et de reprise), la présence ou non dans la trace effective des concepts que l'on veut analyser, la construction d'une trace générique à partir de composants eux-mêmes munis d'un traceur, n'ont pu être proprement appréciés et étudiés. C'est cela que nous étudions. De plus, au stade du projet OADymPPaC, il n'était pas possible d'établir des liens très précis avec d'autres domaines, pratiques ou théoriques (autres que le débogage dynamique direct) où les traces sont étudiées en tant qu'objets à manipuler ou à analyser (fouille de données, flux de données, systèmes événements/ actions, langages de trace, ...).

Voir également le colophon, à la fin du document.

# Table des matières

Conception de traces et applications (vers une méta-théorie des traces) ‘‘document de travail’’ 8 février 2010.....	1
<i>Pierre Deransart</i>	
1 Avant propos.....	7
2 Introduction.....	8
3 Méthodologie de développement de trace.....	9
3.1 Traces virtuelle et effective.....	10
3.2 Trace intégrale.....	11
3.3 Evolution de la trace intégrale.....	12
3.4 Méthodologie.....	13
4 Traces contigues et sémantiques.....	14
4.1 Trace virtuelle intégrale contigue.....	14
4.2 Trace effective intégrale contigue.....	14
4.3 Signatures.....	15
4.4 Sémantique observationnelle d’une trace virtuelle (SO).....	16
4.5 Sémantique interprétative (SI) d’une trace effective.....	18
4.6 Représentation des sémantiques.....	20
4.7 Relations entre les sémantiques, fidélité.....	24
5 Fondements de la sémantique observationnelle (SO).....	33
5.1 SO comme une sémantique des traces partielles.....	33
5.2 Interprétation abstraite (IA) (en anglais).....	35
5.3 Sémantique de programmes logiques et IA (en anglais).....	37
5.4 Propriétés des signatures.....	40
5.5 Validation de traces.....	44
6 Vers une méta-théorie des traces.....	45
6.1 Composants liés au développement d’une trace pour un processus unique.....	45
6.2 Traces de composants imbriqués (composition).....	49
6.3 Traces de composants associés (fusion).....	55
6.4 Sous-traces (sélection).....	59
6.5 Trace dérivée (abstraction).....	63
6.6 Trace générique (multi-processus).....	66
6.7 Elargissement de la trace (multi-usages).....	67
7 Aspects théoriques des transformations de trace.....	69
8 Domaines fondateurs et applicatifs.....	70
8.1 Construction de traceurs pour l’analyse dynamique de programmes.....	70
8.2 Modélisation et abstraction.....	74
8.3 Fouille de données, analyse et interrogation de flots de données... ..	81
8.4 Modèles événements/actions.....	84
8.5 Fusion de données et analyse du comportement humain.....	86

8.6	Modélisation conceptuelle et WEB sémantique .....	92
8.7	Auxiliaire de mémoire.....	95
8.8	Epistémologie.....	99
8.9	Conclusions sur les domaines fondateurs et applications .....	101
9	Conclusion (à venir).....	104
10	Remerciements .....	104
	ANNEXES .....	104
A	ANNEXE : Exemples.....	105
A.1	Exemple : démographie (fonction de Fibonacci) .....	105
A.2	Exemple : sémantiques de la trace de Prolog .....	107
A.3	Thielscher's Office Delivery Robot Example (en anglais).....	123
B	ANNEXE : Programmes (SO formalisée en Prolog) (en anglais).....	136
B.1	Demography .....	136
B.2	Prolog .....	138
B.3	Robots Delivery .....	153
B.4	Signature Graphs for Robots.....	158
B.5	Composition of Traces (Prolog/Demography) .....	164
B.6	Fusion of Traces (Robots) .....	175
C	ANNEXE : Observational Semantics in Fluent Calculus (en anglais) ..	177
C.1	The Simple Fluent Calculus .....	177
C.2	Observational Semantics in Simple Fluent Calculus .....	181
C.3	OS of Fibonacci .....	182
C.4	OS of Prolog.....	183
C.5	OS of CHR .....	190
C.6	OS of Robots .....	194
	Références .....	198
	Colophon .....	205

## List of Acronyms

<b>CHR</b>	Constraint Handling Rules
<b>FC</b>	Fluent Calculus
<b>FLUX</b>	FLUent eXecutor
<b>IS</b>	Interpretative Semantics
<b>LTS</b>	Labelled Transition System
<b>MDR</b>	Mail Delivery Robot
<b>OS</b>	Observational Semantics
<b>OOFC</b>	Object-Oriented Fluent Calculus
<b>TMT</b>	Trace Meta-Theory

## 1 Avant propos

D'une manière générale, on veut s'intéresser à l'observation de processus dynamiques à partir des traces qu'ils laissent ou qu'on leur fait produire. Les traces, en fournissant des séquences d'enchaînement d'événements, constituent une forme d'"explication" du comportement du processus observé.

On s'intéresse plus particulièrement ici à donner des sémantiques aux traceurs, c'est à dire à des générateurs de traces, et aux traces qu'ils produisent. On cherche des sémantiques aussi indépendantes que possible de celles des processus tracés ou de la manière dont leurs traceurs les produisent.

Il faut également bien distinguer ce qui relève de ce que nous appelons ici "trace" et ce qui relève d'outils d'analyse de processus ("monitoring", présentation particulière de la trace ou "jolies" impressions, visualisation, analyse de performance, débogage, ...) qui tous d'une manière ou d'une autre, directement ou indirectement, de l'intérieur ou indépendamment, en mode synchrone ou asynchrone, utilisent des traces à des fins d'analyse diverses mais ne les produisent pas. Cette étude ne concerne pas la nature ni la forme de ces processus observateurs. Ceux-ci sont toujours par définition externes au processus observé et utilisent leur trace comme une donnée externe.

On peut toujours considérer qu'entre un observateur (ou processus observateur) et un phénomène (ou processus) observé il y a un objet que nous appellerons *trace effective*. La trace effective est l'empreinte reconnaissable laissée par un processus, ou plusieurs processus pris ensembles, et donc "lisible" par d'autres processus, en temps réel ou a posteriori. Le phénomène observé sera considéré ici comme un seul processus fermé (ceci concernant toutes les données et fonctions qu'il manipule) dont on ne connaît que la trace effective.

On introduira également la notion de *trace virtuelle*. La trace virtuelle est une suite d'événements représentant l'évolution d'un état qui contient tout ce que l'on peut ou veut connaître de ce ou ces processus, c'est à dire toutes ses "observables". Cette évolution peut être éventuellement formalisée par un modèle de transition d'états, c'est à dire par un domaine d'états et une fonction de transition formalisant le passage d'un état à un autre. Cette sémantique, munie de l'ensemble des opérations d'extraction de la trace effective, sera appelée *sémantique observationnelle* (SO) car elle représente ce que l'on est susceptible de connaître ou de décrire du processus, vu de l'"extérieur". Toutefois la trace virtuelle elle-même, prise isolément, ou, plus précisément l'ensemble des traces qu'un processus est susceptible d'émettre, peut être considérée également comme une sémantique.

Finalement, cette approche s'appuie sur la notion de *trace (effective ou virtuelle) intégrale* en ce sens que le totalité de la connaissance (à un moment donné) concernant le processus observé s'y trouve explicitement ou implicitement contenue. Ceci constitue une base qui permet d'étudier la construction de traceurs et de traces modulaires à partir des seules notions d'enrichissement (par composition, fusion et/ou abstraction) et de sous-trace. On s'intéresse également à la généralité d'une trace, c'est à dire la possibilité de donner une sémantique à un traceur, valable pour une famille de processus observés.

## 2 Introduction

Cette étude porte sur la méthodologie de développement de traces. Par trace nous entendons toute forme d’observation discrète de phénomènes, toute collection d’informations discrétisées qui peut être utilisée à des fins d’analyse sans référence directe au système qui les a produites. Les traces sont des objets produits par des phénomènes ou systèmes qui peuvent être pris comme une entité unique autonome, laquelle ne peut être perçue et appréhendée que par ses traces. Les traces sont les seuls objets à partir desquels une analyse du phénomène observé est possible. L’analyse dont il est question ici sous-entend que l’observation du phénomène est séparée et indépendante du phénomène lui-même. Par contre traiter de la question du développement d’une trace signifie que la trace n’est pas nécessairement indépendante de l’analyse que l’on veut pouvoir mener. Parler de développement de trace peut signifier que l’on puisse intervenir sur le phénomène pour lui faire produire une trace qui contienne les informations nécessaires à l’analyse que l’on souhaite mener.

La construction de trace peut se décomposer en opérations élémentaires dont l’ensemble constitue ce que nous appelons une “algèbre de traces” dont nous étudierons quelques propriétés.

Cette étude débute par les notions de traces intégrales virtuelle et effective contigues (section 4), leurs sémantiques (section 4.5), et les rapports qu’elles entretiennent (section 4.7).

La section 5 donne une approche théorique à la sémantique observationnelle basée sur l’interprétation abstraite, avec quelques applications à l’étude de propriétés du graphe des états.

La section 6 s’intitule “vers une méta-théorie des traces” et analyse plus en détail la décomposition des étapes pour produire une trace ainsi que les combinaisons possibles entre traces, avec pour objectif de permettre une formalisation partielle des manipulations de traces qui sera étudiée dans la section suivante (en cours).

Enfin la section 8 s’intéresse aux différents domaines où les traces jouent ou sont susceptibles de jouer un rôle important et qui constituent des champs potentiels d’applications.

Il faut noter que la plupart des notions introduites ici peuvent évoluer en fonction du développement même de cette étude et des résultats acquis dans de nouveaux chapitres.



### 3 Méthodologie de développement de trace

Le développement de traces pour un processus ou une famille de processus repose sur un cycle d'observations et d'analyses qui conduit progressivement à identifier les concepts mesurables et utiles à l'analyse. Celle-ci permettra éventuellement de trouver de nouveaux concepts utiles à la compréhension de l'objet d'observation, qui, à leur tour, pourront amener à introduire de nouvelles mesures et de nouveaux concepts mesurables. L'identification des concepts est liée à une activité de modélisation et d'abstraction et leur transcription dans une trace relève de la recherche de leur représentation sous une forme aisément transmissible, mais aussi utilisable pour les analyses.

La méthode considérée se décompose en trois démarches imbriquées.

La première démarche peut être vue comme l'élaboration d'une "trace première", elle-même définie comme la décomposition, et représentation sous forme d'une suite d'événements, de l'évolution des concepts représentant l'état du système. Ceci conduit à définir deux formes de traces. L'une, dite virtuelle, décrit l'évolution du système observé et l'autre, dite effective, en est une représentation. Il est essentiel que la représentation, la trace effective, soit aussi fidèle que possible au modèle original, la trace virtuelle. La raison pour laquelle la suite des états possibles du système observé est appelé ici trace virtuelle vient de la possibilité d'utiliser indifféremment l'une ou l'autre puisqu'elles sont toujours, par construction, équivalentes.

La deuxième démarche consiste à définir un certain niveau d'observation. Dans le processus de recherche d'une trace utile, on peut être amené à découvrir de plus en plus de caractéristiques utiles, de nouveaux détails comme de nouveaux concepts, qui peuvent amener à mettre de plus en plus de choses dans la trace. Ce processus, qui ne peut être limité a priori, peut conduire à faire croître la trace considérablement. La trace obtenue ainsi sera appelée "trace intégrale", c'est à dire une trace primitive qui contient tous les niveaux de détails possibles et qui également engendre des cascades d'événements très "rapprochés", c'est à dire pour lesquels la différence entre deux états successifs est minimale. La trace intégrale est la trace la plus précise propre à un système observé. Il s'en suit que toute observation particulière n'utilisera en pratique qu'une petite partie de cette trace, correspondant à un niveau de trace utile pour l'observation. Comme le niveau d'observation auquel correspond la trace intégrale ne peut être défini dans l'absolu (puisque'il dépend des besoins d'analyses - lesquels ne peuvent tous être définis a priori), un niveau d'observation peut se définir comme un niveau d'abstraction. La trace intégrale correspond alors au niveau le plus précis dont les autres niveaux sont des abstractions. Elle peut être vue aussi - mais a posteriori - comme une trace première à partir de laquelle différents niveaux d'observation peuvent être définis.

Alors que les deux premières démarches aboutissent à des traces et niveaux arbitrairement figés, la troisième démarche correspond aux modifications qui peuvent être apportées aux traces dans un processus de construction dynamique. Cette démarche est décrite par les transformations ou les combinaisons que l'on peut réaliser sur des traces. Par exemple la définition de la trace com-

mune à plusieurs phénomènes observés et déjà pourvus de leurs propres traces ou l'observation de systèmes complexes qui amènent à définir plusieurs traces intégrales correspondant à différents points de vue, lesquelles sont finalement "fusionnées", puis abstraites à nouveau.

### 3.1 Traces virtuelle et effective

Il est commun de comprendre qu'un processus équipé de moyens d'observation discrète que nous appellerons "traceur" produise une "trace". Il s'agit ici de ce que nous appelons la *trace effective*, celle qui a un sens physique. Il est moins évident de lui associer une autre trace que nous qualifierons de "virtuelle" car elle n'a pas de consistance physique mais a un caractère conceptuel. La trace virtuelle peut être vue de deux manières : comme une suite d'états abstraits du processus, ou comme une interprétation de la suite des événements de trace effective. C'est cette vision de la suite des états observables d'un processus comme une forme de trace en correspondance forte avec la trace effective qui lui donne également un statut de trace. C'est ces rapports entre ces formes de traces que nous voulons formaliser ici. Si maintenant on part de la trace effective pour essayer de comprendre le processus qui lui a donné naissance, on voit qu'il s'agit alors de retrouver - on dira "reconstruire" - la séquence d'états correspondant à la trace virtuelle ; la trace effective n'est qu'une représentation de la trace virtuelle.

Le point de vue commun consiste à considérer que l'observation d'un phénomène complexe, fut-il ou non totalement décrit, "formalisé" ou "mathématisé", relève d'une "simple" abstraction. Toutes traces constituée - au moins pour celles pouvant se traduire par une forme d'échantillonnage ou de discrétisation - résulterait donc d'un processus d'abstraction dont le résultat serait la trace dite ici "effective". De ce point de vue, la trace effective est une abstraction du processus observé. La question qui se pose alors est celle - assez classique- de la relation entre le processus observé et sa trace, ainsi que les propriétés que l'on peut en inférer.

Dans notre approche nous considérons qu'il faut distinguer deux étapes dans la démarche d'observation : la recherche d'une forme d'observation, celle que nous appelons "trace virtuelle", et sa formalisation pratique, sa concrétisation, ou sa représentation, sous forme de nouveaux objets. Cette trace concrète, dite *trace effective*, n'est pas vue ici simplement comme une abstraction (c'est la trace virtuelle qui peut être vue comme une abstraction de la sémantique du processus observé), mais comme un codage.

Le fait de voir les traces virtuelle et effective comme "équivalentes", se justifie directement par l'introduction de la sémantique interprétative comme sémantique de la trace ; c'est à dire la possibilité d'identifier - on dira reconstruire - la trace virtuelle à partir de la trace effective. Certes si l'on ne connaît pas a priori les objets dont la trace effective est supposée retracer l'histoire (c'est à dire l'état virtuel effectivement codé dans la trace), on entrera dans un

processus de découverte ou d'invention. Il s'agit alors de rechercher un modèle susceptible de produire une telle trace, lequel sera susceptible de la produire "intégralement". Selon notre terminologie on recherchera un modèle "fidèle".

Ce que nous voulons préserver dans cette approche, c'est la symétrie des démarches qui consistent d'un côté à extraire une trace d'un processus observé et de l'autre à inférer un processus à partir de traces d'observation. Ces démarches sont en fait complémentaires et souvent liées. Il se peut en effet que lors du développement d'un traceur pour un processus connu et bien contrôlé, l'observation des traces produites suggère l'introduction de nouveaux paramètres dans sa trace, impliquant de la sorte une modification de la sémantique observationnelle.

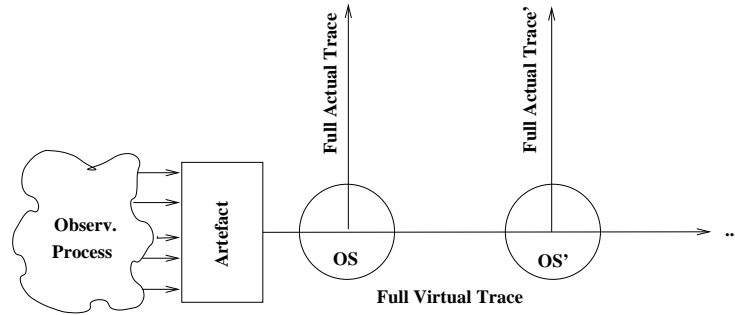
### 3.2 Trace intégrale

Comme on l'a vu, on peut considérer, à un instant donné, qu'il existe une trace virtuelle "ultime", celle qui idéalement rend compte de tous les détails d'UNE réalité supposée, observée. Ce point de vue nous amène précisément à introduire la notion de trace effective comme distincte d'une abstraction directe de la trace virtuelle ultime. En effet les différents niveaux d'abstractions possibles correspondent alors à différentes traces virtuelles possibles. Celles-ci peuvent être vues comme autant de points de vue distincts, ou différents degrés de raffinement d'observations. Dans cette approche l'usage du terme de "trace virtuelle" se justifie car la trace virtuelle "intégrale" correspond en fait à un niveau d'observation relatif et a priori arbitraire; cela veut dire aussi que ce niveau peut évoluer dans le temps (par exemple au fur et à mesure que les outils d'observation s'améliorent ou que les besoins d'observation se multiplient) et ceci indépendamment de l'usage d'une trace effective qui n'en est qu'une représentation particulière.

La figure 1 illustre l'aspect relatif des traces intégrales. D'un côté la SO de la trace virtuelle intégrale peut être plus ou moins abstraite (OS' sur la figure est plus abstraite que OS), et d'un autre côté une sous-trace effective de la trace effective intégrale peut être vue comme une abstraction de celle-ci et munie d'une sémantique observationnelle (OS' sur la figure) qui est exactement une abstraction de la SO de la trace virtuelle intégrale de référence.

De ce point de vue, l'axe horizontal sur la figure (trace virtuelle intégrale) peut être interprété comme un axe d'abstraction, c'est à dire d'oubli des détails.

Ce qui est important de remarquer ici est le fait que cette trace effective correspond aussi à une trace virtuelle mais moins précise. L'idée majeure ici est que les deux traces (virtuelle et effective) gardent toujours un rapport de "fidélité" - concept que nous développerons ultérieurement- c'est à dire qu'il n'y a pas de perte d'information entre la trace virtuelle et la trace effective, laquelle en étant un codage "fidèle". Certes il est toujours possible de voir une trace effective moins précise comme une abstraction d'une trace virtuelle plus précise (il est toujours possible de composer abstraction et extraction, vue aussi comme une abstraction), mais il est intéressant de distinguer clairement ce qui relève



**Figure 1.** Illustration of the OS abstraction levels

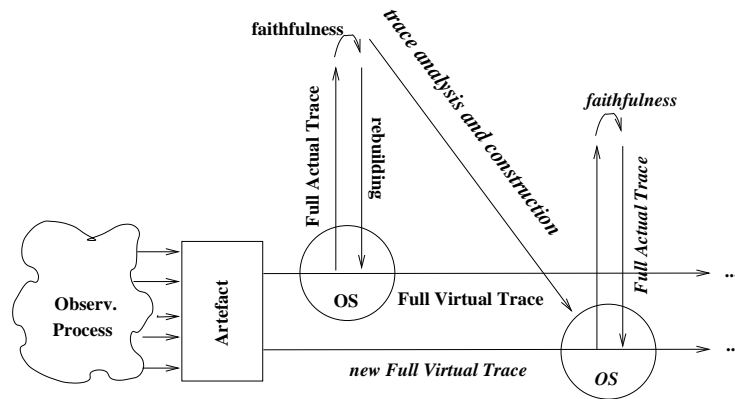
de l'abstraction pure de ce qui correspond à des besoins de représentation ou codage. Là aussi on pourrait voir la combinaison de ces deux étapes comme la composition de deux abstractions, mais nous préférons limiter la démarche d'abstraction à la première étape, liant et limitant en cela la démarche d'abstraction à la recherche de modèle d'observation.

Le modèle formel correspondant au niveau d'observation le plus raffiné - disons du moment - est décrit par ce que nous appelons une sémantique observationnelle, laquelle rend compte de suites d'états virtuels possibles. Une suite chronologique d'états est nommée ici trace virtuelle. L'usage du mot trace pour justifier un modèle d'état vient du fait qu'il ne s'agit pas ici de décrire un artefact susceptible de produire effectivement des suites d'états cohérentes possibles (cohérentes signifie ici que l'on ne produirait que les seules suites observées), mais seulement de rendre compte de suites d'états observables selon un degré de précision arbitraire, mais suffisant pour pouvoir être qualifié de modèle de traceur.

### 3.3 Evolution de la trace intégrale

A un instant donné de l'élaboration d'une trace, on peut considérer qu'il y a une seule trace intégrale. Mais cette trace évolue en fonction des besoins d'analyses ou des modifications du champ d'observation. Celui-ci peut en effet intégrer de nouveaux aspects ou domaines, prendre en compte de nouveaux paramètres. La nouvelle trace est obtenue par une série d'opérations qui combinent agrégation, synthèse et oubli. La figure 2 illustre ce processus.

Sur cette figure l'obtention d'une nouvelle trace intégrale est symbolisée par la flèche "trace analysis and construction". Chaque trace intégrale correspond à une étape de construction et à chaque étape correspond un couple trace virtuelle et sa représentation, la trace effective fidèle.



**Figure 2.** Evolution des traces intégrales

### 3.4 Méthodologie

L'approche proposée ici consiste à considérer qu'à une étape de développement existe une trace intégrale dont certaines parties, définies comme sous-trace (ou trace partielle), vont être utilisées pour des analyses.

Des développements ultérieurs, obtenus par des opérations élémentaires sur et avec d'autres traces pourront conduire à proposer une nouvelle trace intégrale.

L'intérêt de la notion de trace intégrale est de permettre de voir, à un moment donné de l'élaboration d'une trace, toute autre trace comme une sous-trace, puisque par définition la trace intégrale correspond à la description la plus raffinée connue à ce moment là.

## 4 Traces contigues et sémantiques

On introduit ici les deux traces susceptibles d'être associées, à un moment donné de l'élaboration d'une trace, à un unique processus muni d'un traceur.

### 4.1 Trace virtuelle intégrale contigue

Une trace virtuelle intégrale est définie sur un domaine d'état. Soit  $\mathcal{P}$  un ensemble fini de (noms de) paramètres  $p_i$  définis sur des domaines  $\mathcal{P}_i$ . Les  $\mathcal{P}_i$  sont des domaine d'objets quelconques. Ceux-ci peuvent également avoir des relations (fonctionnelles ou autres) entre eux et ils peuvent être de taille infinie.

Un domaine d'états  $\mathcal{S}$  est défini sur le produit cartésien des domaines de paramètres :  $S \subseteq \mathcal{P}_1 \times \dots \times \mathcal{P}_n$ .

#### Definition 1 (Trace virtuelle intégrale contigue).

Une trace virtuelle intégrale contigue est une suite d'événements de trace qui sont de la forme  $e_t : (t, r_t, s_t)$ ,  $t \geq 1$  où :

- $t$  : est le **chrono**, temps propre à la trace. C'est un entier incrémenté d'une unité à chaque événement. Pour désigner une valeur du chrono particulière, on parlera de moment de la trace.
- $r_t$  : un identificateur d'**action** caractérisant le type des actions réalisées pour effectuer la transition de l'état  $s_{t-1}$  à  $s_t$ .
- $s_t$  est un élément du domaine d'état.  $s_t = p_{1,t}, \dots, p_{n,t}$  est l'état courant atteint au moment  $t$ , et les  $p_{i,t}$  sont les valeurs des **paramètres**  $p_i$  au moment  $t$ .  $s_t$  est l'état virtuel intégral courant.

Une trace virtuelle finie de  $t$  ( $t > 0$ ) événements sera dénotée  $T_t^v = \langle s_0, \overline{e}_t \rangle$ , où  $s_0$  est l'état virtuel intégral initial et  $\overline{e}_t$  représente la suite  $e_1 \dots e_i \dots e_t$ .

L'ensemble de toutes les traces virtuelles possibles (paires constituées d'un état virtuel initial et d'une séquence d'événements de trace virtuelle) sera dénoté  $\mathcal{T}^v$ ; L'ensemble de toutes les traces virtuelles possibles de taille finie  $t$  sera dénoté  $\mathcal{T}_t^v$ .

La trace virtuelle intégrale est *contigue* dans la mesure où tous les moments de l'intervalle  $[1..t]$  sont présents dans tous les événements d'une trace  $T_t^v = \langle s_0, \overline{e}_t \rangle$ .

### 4.2 Trace effective intégrale contigue

La trace virtuelle intégrale représente ce que l'on souhaite ou ce qu'il est possible d'observer d'un processus donné. Elle décrit par étapes successives l'évolution de ce processus sous la forme de l'évolution d'un état qui contient les observables. Comme l'état courant (virtuel) du processus peut être intégralement représenté dans cette trace, on ne peut espérer ni la produire ni la communiquer efficacement. En pratique on effectuera une sorte de "compression" de l'information véhiculée par les états virtuels et leur évolution, communiquée ou communicable aux processus observateurs, et on s'assurera que ces processus puisse

la “décompresser”. Cette information effectivement communiquée est la *trace effective*.

Une trace effective intégrale est définie sur un domaine d'états effectifs. Soit  $\mathcal{A}$  un ensemble fini de (noms d') attributs  $a_i$  définis sur des domaines d'attributs  $\mathcal{A}_i$ . Les attributs peuvent avoir des relations entre eux (ils ne sont pas forcément indépendants) et ils peuvent être de taille infinie.

Un domaine d'états effectifs  $\mathcal{A}$  est défini sur le produit cartésien des domaines d'attributs :  $\mathcal{A} \subseteq \mathcal{A}_1 \times \dots \times \mathcal{A}_n$ .

**Definition 2 (Trace effective intégrale contigue).**

*Une trace effective intégrale contigue est une suite d'événements de trace de la forme*

$$w_t : (t, a_t), \quad t \geq 1 \text{ où}$$

*$t$  est le chrono et  $a_t \in \mathcal{A}$  dénote une suite finie de valeurs d'attributs.  $a_t$  est l'état effectif intégral courant. Le nombre d'attributs des événements de trace a une borne  $n$ . Chaque état  $a_t$  contient au plus  $n$  attributs dont le nombre dépend exclusivement du type d'action l'ayant produit.*

Une trace effective finie de  $t$  ( $t > 0$ ) événements est dénotée  $T_t^w = \langle s_0, \overline{w}_t \rangle$ , où  $s_0$  est l'état virtuel initial commun aux deux traces et  $\overline{w}_t$  représente la suite  $w_1, \dots, w_i, \dots, w_t$ .

L'ensemble de toutes les traces effectives possibles (paires constituées d'un état initial et d'une séquence d'événements de trace effective) sera dénoté  $\mathcal{T}^w$ ; l'ensemble de toutes les traces effectives possibles de taille finie  $t$  sera dénoté  $\mathcal{T}_t^w$ .

La trace virtuelle intégrale est un cas particulier de trace effective où les attributs sont le type d'événement et les paramètres, i.e.  $\forall t, a_t = (r_t, s_t)$ .

### 4.3 Signatures

On appellera *signature* d'une trace (virtuelle ou effective), la suite des types d'action occurring dans la suite des événements de la trace virtuelle. L'ensemble des signatures finies d'un traceur forme un langage dont le vocabulaire est  $R_0$ .

*Example 1.* Dans l'exemple de la section A.1, il n'y a qu'un type d'action `mg`, le langage de la signature est le langage régulier `mg*`.

Dans l'exemple de la section A.2, le vocabulaire de la signature est `{Init, LeafReached, Lfrcd&godown, Treesuccess, Treesuc&goright, Tree failed, Backtrack, Bkt&gd, Final}`,

et le langage des signatures terminant par `Final` est algébrique.

◦

Dans la suite on notera parfois les traces par leur signature en omettant le chrono et l'état virtuel.

Il est intéressant d'observer que la signature peut être considérée comme une trace effective réduite à un seul attribut dont la valeur est le type d'action. On appellera une telle trace effective la *trace signature*.

Une propriété essentielle de la trace signature est qu'il est possible de reconstruire la trace virtuelle originale à partir de la seule connaissance de cette trace, à condition toutefois qu'il n'y ait pas de valeurs de paramètres d'influence dans la trace virtuelle. En effet, celles-ci, ne figurant pas dans la trace effective, ne peuvent être reconstruites dans une trace virtuelle quelqu'elle soit.

#### 4.4 Sémantique observationnelle d'une trace virtuelle (SO)

La Sémantique observationnelle comporte deux parties : une fonction de transition d'états et une fonction d'extraction de trace.

La première partie constitue un modèle abstrait de l'enchaînement des événements de trace virtuelle. Celui-ci est définie comme un système de transition étiqueté (Labelled Transition System ou LTS). C'est une sémantique de la trace virtuelle en ce sens que, étant donnée une trace virtuelle intégrale  $T_t^v = \langle s_0, \bar{e}_t \rangle$ , elle "explique" la succession des événements  $e_t$  par une fonction de transition appliquée récursivement à partir d'un état virtuel initial.

Il est important d'observer qu'une telle fonction de transition n'existe pas toujours, en particulier que l'évolution de certains paramètres de l'état virtuel ne peut s'expliquer simplement à l'aide d'une fonction de transition (ce serait le cas en général d'un attribut "temps CPU"). Dans le cas où elle existe, c'est à dire que l'on peut décrire l'évolution de la plupart des paramètres, la SO constitue alors une forme de sémantique du traceur.

La seconde partie, la fonction d'extraction, produit ce que l'on est susceptible de "voir" effectivement du processus observé. Cette fonction a comme arguments l'état courant et le type d'action, et produit les attributs de la trace effective.

##### Definition 3 (Sémantique observationnelle).

*Une sémantique observationnelle est définie par le  $n$ -uplet  $\langle S, I_f, R_O, T, A, E, S_0 \rangle$  où*

- $S$  est un domaine d'états virtuels, où chaque état est décrit par un ensemble de paramètres,
- $I_f$  est un domaine d'influences, ensemble de facteurs d'influence. Un facteur d'influence est un paramètre dont les valeurs appartiennent à un domaine d'influence mais dont l'évolution n'est pas décrite dans la SO. Toute relation faisant intervenir des paramètres et au moins un facteur d'influence est une relation d'influence.
- $R_O$  est un ensemble fini de type d'action, ensemble d'identificateurs utilisés comme étiquettes pour les transitions.
- $T$  fonction de transition d'état  $T : R \times S \times I_f \rightarrow S$ , telle que  $T(r_t, s_{t-1}, i_f) = s_t$
- $A$  est un domaine d'état effectifs, où chaque état est décrit par un ensemble d'attributs,
- $E_l$  fonction d'extraction locale de l'état effectif à lors d'une transition  $r$  à partir de l'état  $s$ ,  $E : R \times S \times S \rightarrow A$  qui vérifie par définition,  $E_l(r, s, s') = a$  ( $a \in A$ , ensemble d'états effectifs). Plus précisément, l'ensemble des



attributs de l'évènement  $t$  de la trace effective est dérivé de l'état courant au moment  $t-1$  de la trace virtuelle et de la transition étiqueté par le type d'action  $r_t$ , soit

$$E_l(r_t, s_{t-1}, s_t) = a_t$$

–  $S_0 \subseteq S$ , ensemble des états initiaux.

Une SO est complète pour une trace virtuelle, si le domaine d'état utilisé dans la fonction de transition est égal au domaine d'état de la trace virtuelle. Elle est partielle si elle concerne un sous-ensemble stricte des paramètres du domaine d'état de la trace virtuelle concernée.

A la fonction d'extraction locale  $E_l$ , il peut être associé une fonction d'extraction  $E : \mathcal{T}^v \rightarrow \mathcal{T}^w$  qui a toute trace virtuelle  $T_t^v = \langle s_0, \bar{e}_t \rangle$  associe l'unique la trace effective  $T_t^w = \langle s_0, \bar{w}_t \rangle$ , construite avec  $E$  et définie par :

$$E(\langle s_0, \bar{e}_t \rangle) = \langle s_0, \bar{w}_t \rangle, \text{ où} \\ \forall i, i \leq t, e_i = (i, r_i, s_i) \Rightarrow w_i = (i, E_l(r_i, s_{i-1}, s_i))$$

La définition de la SO peut se décomposer en deux parties : une partie ne mentionnant pas l'extraction qui décrit en quelque sorte la “machine abstraite” produisant ou “justifiant” la trace virtuelle, que l'on appellera *schéma de traceur*.

Un schéma de traceur est donc caractérisé par  $\langle S, I_f, R_O, T, S_0 \rangle$  où

- $S$  domaine d'états virtuels,
- $I_f$  domaine d'influences,
- $R_O$  ensemble fini de types d'action,
- $T$  fonction de transition d'état  $T : R \times S \times I_f \rightarrow S$ ,
- $S_0 \subseteq S$ , ensemble des états initiaux.

Celui-ci correspond à un “labelled transition system” (LTS), dont les transitions sont étiquetées par les actions  $R_O$ . Il spécifie un ensemble de traces virtuelles. La séquence des actions correspondant à une trace virtuelle, nommée ici “signature” (voir section 4.3) est parfois juste appelé *trace* [53,42].

Un LTS est dit *déterministe* si la fonction de transition  $T$  est déterministe. Il est dit *complet* si tous les paramètres d'un nouvel état sont calculés à partir de l'état courant et de l'action qui a produit la transition.

La deuxième partie correspond à la description de la fonction d'extraction pour chaque type d'action et constitue le *schéma de trace*.

Un schéma de trace est donc caractérisé par  $\langle S, R_O, A, E \rangle$  où

- $S$  domaine d'états virtuels,
- $R_O$  ensemble fini des type d'action,
- $A$  domaine d'états effectifs,
- $E$  fonction d'extraction de l'état effectif.

Noter que la fonction d'extraction n'utilise pas de condition d'influence.

**Remarque 1 [Fonctionnalité de  $T$  et non déterminisme de la SO]**

Dans la SO, la fonction de transition  $T$  utilise un domaine d'influence qui ne se retrouve pas dans le codomaine. La conséquence pratique est que  $T$  peut ne pas être une fonction, et que pour un même état de départ, l'état d'arrivée

peut dépendre de l'influence. La transition, vue du seul point de vue de l'état observable, est alors non déterministe. Comme nous n'imposons pas a priori que la SO corresponde à un automate déterministe, l'introduction de facteurs d'influence ne fait qu'introduire un élément de non déterminisme supplémentaire.

**Remarque 2 [Schéma de traceur]**

La distinction, au sein de la SO, de deux schémas descriptifs est essentielle. On peut voir en effet chaque schéma indépendamment de l'autre, mais en même temps ils sont liés. Ils sont en effet liés parce que seules les informations extraites ou objets et quantités observables dans la trace effective ont une réalité physique et que leur existence dépend tant de l'existence d'un traceur que de sa capacité à les extraire. Ces deux fonctions, production des objets observables (trace virtuelle) et communication (trace effective), sont a priori celles d'un même module, le traceur. Pour autant, si on admet l'existence de cet objet primal qu'est la trace virtuelle, les deux fonctions peuvent être vues indépendamment. La trace virtuelle est alors l'objet intermédiaire entre deux sous-modules du traceur, l'un toujours appelé traceur et l'autre appelé "pilote" [66], et les fonctions de transition et d'extraction peuvent faire l'objet de descriptions séparées.

Chaque composant du traceur (traceur et pilote) peut être plus ou moins connu. De ce point de vue la fonction d'extraction existe toujours car elle peut se réduire à l'identité (le type d'action étant codé comme un attribut), et la fonction de transition peut être ignorée.

On verra aussi que le module traceur peut être spécifié indépendamment de tout processeur.

Langage de signature d'une SO dans laquelle aucun schéma de traceur n'est fourni peut se définir a priori comme le monoïde libre construit avec  $R_O$ .

#### 4.5 Sémantique interprétative (SI) d'une trace effective

Toute trace effective a une interprétation qui lui donne un sens en associant à chacun de ses événements un événement de la trace virtuelle.

La sémantique interprétative utilise une *fonction d'interprétation*  $I$ , également dite *fonction de reconstruction*. L'interprétation associe à une trace effective intégrale un type d'action susceptible d'avoir engendré cet état et un état virtuel intégral.

**Definition 4 (Sémantique interprétative d'une trace effective intégrale contigue).**

$SI : \langle A, R_O, S, I \rangle$  où

- $A$  ensemble d'états effectifs,
- $R_O$  est un ensemble fini de type d'événements de trace (types d'actions provoquant un changement d'état),
- $S$  ensemble d'états virtuels,
- $I$  fonction d'interprétation (ou de reconstruction) des états effectifs

$$I : \mathcal{T}^w \rightarrow \mathcal{T}^v$$

qui, à chaque trace effective finie  $\mathcal{T}_t^w$  associe la trace virtuelle correspondante  $\mathcal{T}_t^v$ .

$I$  est un schéma d'interprétation, ou schéma de reconstruction.

La sémantique interprétative constitue un premier niveau de compréhension de la trace effective qui consiste à traduire la trace, extraite du processus observé, en une autre trace, dite "trace virtuelle". C'est elle qui donne le sens recherché aux valeurs brutes observées. Par exemple, un éclairneur avisé pourra reconnaître dans des marques régulières sur le sol une succession d'empreintes de pas laissées par un animal ou un humain, et saura les distinguer, en les interprétant avec d'autres indicateurs (mouvement, forme des pieds, alternance droits/gauches, vitesse de progression ...). Les informations recueillies seront dites "virtuelles" car non présentes dans les "mesures", mais déduites de celle-ci, à partir de l'observation "brute" <sup>1</sup>.

La fonction de reconstruction existe toujours en ce sens que la trace effective peut être identique à la trace virtuelle (fonction identité). En pratique ce sera le cas pour certains paramètres qui se retrouveront tel quels comme attributs et dont la signification pourra être connue qu'à travers la sémantique observationnelle.

Si ce n'est pas le cas, chaque paramètre qui n'est pas égal à un attribut doit pouvoir être défini, et c'est une première condition, à partir d'un ou plusieurs attributs présents dans la trace effective.

Une seconde condition est liée à la "constructibilité" des paramètres, reconstruits en n'utilisant que la trace connue au moment  $t$  et non la trace à venir. Considérons par exemple un paramètre de la trace virtuelle dénotant un ensemble de taille  $n$ , seulement représenté dans la trace effective par un attribut qui dénote un élément ajouté ou retranché de l'ensemble. Si cet ensemble apparaît à un moment  $t > 0$  dans un état virtuel (non initial), mais n'est jamais donné dans la trace effective on ne pourra connaître l'ensemble complet d'origine que si à un moment donné il devient vide. Au mieux, et s'il n'y a que des retraits, il faudra  $n$  événements de trace effective pour reconstruire la valeur du paramètre dans la trace virtuelle. Il n'est donc pas possible au moment  $i < n$  de construire le paramètre courant "ensemble" de la trace virtuelle sans connaître les  $n - i$  événements suivants de la trace effective. En général, et en l'absence d'information sur la taille de l'ensemble (qui peut être non borné ou de taille infinie), cette reconstruction n'est pas possible.

On dira qu'un paramètre, ou un type d'action, est  $k$ -constructible si sa reconstruction est possible à tout moment avec au plus  $k$  événements de trace effective au delà du moment courant. Si tous les paramètres, y compris les actions, sont  $k$ -constructibles ( $k$  est alors le maximum des  $k$  pour tous les paramètres recons-

---

1. Le calcul des observables peut être arbitrairement complexe. Selon sa complexité, l'observable figurera dans la trace ou ne pourra être connue que par une analyse ultérieure plus poussée. La différence entre les observables figurant dans la trace et celles compréhensibles après une phase d'analyse spécifique est arbitraire et relève de considérations pratiques.

truits), on dira que la SI est  $k$ -constructible, et pour obtenir une trace virtuelle de taille  $t$ , il faut alors une trace effective de taille au plus  $t + k$ .

On étudiera les conditions nécessaires pour qu'une SI soit 0-constructible. Par exemple, un paramètre correspondant à un objet tracé introduit dès l'état initial, et décrit dans la trace effective de telle manière que son évolution soit complètement décrite par ses attributs, est 0-constructible. Ainsi, si le paramètre dénotant un ensemble évolue à partir d'une valeur initiale figurant dans l'état initial de la trace virtuelle, alors il est possible de connaître son état à chaque moment à partir de la seule suite des ajouts/retraits d'éléments figurant comme attribut de la trace effective.

Afin de pouvoir en donner une représentation finie de la fonction de reconstruction  $I$ , on utilisera une fonction locale  $I_l : A^+ \times S \rightarrow R \times S$ . On note  $\overline{a_k}$  un éléments de  $A^*$  ( $k \geq 0$ , séquence d'événements de trace effective), et  $a_{t,k}$  la séquence  $\overline{a_{k-1}}$  débutant au moment  $t$ , soit  $a_t \dots a_{t+k}$ .  $a_{t,0} = a_t$ . La fonction de reconstruction locale  $I_l$  est définie :

$$\forall t > 0, I_l(s_{t-1}, a_{t,k}) = (r_t, s_t)$$

L'idée est que la reconstruction consiste à retrouver la trace virtuelle complète, à partir d'un état virtuel initial donné et des règles appliquées récursivement à un état virtuel reconstruit courant.  $k$  est supposé fixé et est en général limité aux valeurs 0 ou 1. En effet, en toute généralité la reconstruction d'un état virtuel peut nécessiter la suite non bornée de tous les événements de trace effective. Cependant il est en théorie toujours possible d'introduire des attributs suffisamment complexes qui évitent ainsi de se référer à des attributs passés. L'utilisation de l'état reconstruit antérieur permet donc en fait de n'utiliser, en général, qu'un événement de trace effective.

La fonction de reconstruction  $I : \mathcal{T}^w \rightarrow \mathcal{T}^v$  peut alors être définie à partir de  $I_l$  de la manière suivante. On note  $w_{t,k}^a$  la séquence des états effectifs contenue dans la séquence des événements effectifs  $w_{t,k}$ , et respectivement  $I_l^r$  et  $I_l^s$  les premiers et second éléments du codomaine de  $I_l$ .

$$\begin{aligned} \forall t > 0, I(\langle s_0, \overline{w_{t+k}} \rangle) &= \langle s_0, \overline{e_t} \rangle, \text{ avec} \\ \forall i, 0 < i \leq t, e_i &= (i, I_l^r(s_{i-1}, w_{i,k}^a), I_l^s(s_{i-1}, w_{i,k}^a)) \end{aligned}$$

#### **Remarque [Schéma de reconstruction]**

La SI décrit une manière de construire une trace virtuelle à partir d'une trace effective, c'est à dire d'un flot d'observations élémentaires. A ce titre elle réalise une fonction de production de trace en "imaginant" en quelque sortes (ici, par un calcul) des actions et des objets dont la trace virtuelle obtenue modèle l'évolution. A ce titre la SI joue le rôle de modèle ou d'hypothèse d'interprétation de traces.

## **4.6 Représentation des sémantiques**

On s'intéresse ici à la manière de représenter ces sémantiques de manière finie. Il y a plusieurs représentations possibles; trois sont en cours d'étude :

une forme fonctionnelle synthétique (celle utilisée dans ce texte et l'annexe A), Prolog (mais la présentation est alors encombrée d'éléments de gestion du code pour lui garder tout son non-déterminisme, cf annexe B)), et le calcul des fluents (ann :flux).

Les spécifications des sémantiques SI et SO décrivent la reconstruction ou l'évolution des paramètres à partir d'un état initial donné, et utilisent des prédicats et fonctions auxiliaires qui sont spécifiés dans les annexes. Seule la version en Prolog constitue une spécification complète et exécutable.

### Représentation de la SO : schémas de traceur et de trace

La SO est décrite par un ensemble fini de "règles", une par type d'événement de  $R_O$ , et comportant 5 éléments descriptifs.

Un état virtuel  $s$  (resp. une influence  $i_f$ ), est défini par un ensemble de variables ou *paramètres* (resp. *facteurs d'influence*), et un état effectif  $a$  est défini par un ensemble de variables ou *attributs*.

Chaque règle de la SO se présente donc de la manière suivante :

- **AType** : un identificateur  $r \in R_O$
- **ACond** : { calculs auxiliaires à partir de l'état virtuel courant et conditions d'exécution de l'action, portant sur l'état virtuel courant : une formule logique du premier ordre utilisant des prédicats sur les paramètres }
- **ECond** : { conditions externes : conditions minimale d'exécution de l'action faisant intervenir au moins un facteur d'influence et ne pouvant pas de ce fait figurer dans ACond }
- **VSEffect** : { l'effet de l'action  $r$  sur l'état courant  $s$ , résultant en un nouvel état  $s'$ , et calculs auxiliaires concernant les attributs de la trace effective extraite }
- **Etrace** : { les attributs de la trace produite par l'action  $r$  :  $a$ , état effectif extrait. Au cun paramètre d'influence ne doit être utilisé dans cette partie }

Une remarque s'impose concernant ce que nous appelons ici "influence". L'influence est une condition d'exécution d'une action, mais elle porte sur un ensemble de paramètres dont certains ne font partie d'aucun état de  $S$ . Leur description ne fait pas partie de la SO. Ils entretiennent un lien avec le processus observé, mais ce lien n'est pas utile pour décrire la sémantique du traceur. Du point de vue de la SO, lorsque cette transition a lieu, on doit alors supposer que la condition d'influence est vérifiée.

### Schéma de traceur et schéma de trace

En pratique on pourra présenter le schéma de traceur et le schéma de trace séparément. Le schéma de traceur correspond simplement à tous les items de la présentation à l'exception du dernier (**Etrace**). Un schéma de trace ne décrit que

l'extraction. Il comportera donc une règle pour chaque action de  $R_O$  et n'aura que 3 items.

- **AType** : un identificateur  $r_l \in R_O$
- **VSEffect** : {calculs à partir de l'état virtuel courant et description de l'effet de l'action  $r$  sur l'état courant  $s$ , résultant en un nouvel état  $s'$ }
- **Etrace** : { les attributs de la trace produite par l'action  $r : a$ , état effectif extrait }

*Example 2.* On donne ici une règle de l'exemple de la section A.2 et la version restreinte de la règle du schéma de trace correspondante (les explications se trouvent dans la section correspondante). Noter que l'arbre  $T$  est toujours un argument implicite des fonctions utilisées.

**AType** : Rdo2

**ACond** :  $\{\neg fst(u) \wedge bkt(v) \wedge \neg ft(v) \wedge \neg flr\}$

**ECond** :  $\{scs(T, v, p, \Theta)\}$

**VSEffect** :  $\{T' \leftarrow T - \{y|y > v\} \cup \{w\}, w \leftarrow ncpd_1(v),$

$u' \leftarrow w, n' \leftarrow n + 1,$

$nu' \leftarrow fupdt(nu, \{y|y > v \in T\}, \{(w, n')\}),$

$pd' \leftarrow fupdt(pd, \{y|y > v \in T\}, \{w, ncpd_2(w)\}),$

$cl' \leftarrow fupdt(cl, \{y|y \geq v \in T\}, \{(v, rem(ch(v), cl(v))), (w, dcl(ncpd_2(w)))\}),$

$fst' \leftarrow fupdt(fst, \{y|y > v \in T\}, \{(w, true)\}), bkt' \leftarrow false\}$

**Etrace** :  $\{nu(v), lp(v), \mathbf{Redo}, pd(v), ch(v), rem(ch(v), cl(v))\}$

Explications :

- **AType** : (Backtrack and go down) nom d'action signifiant "retour arrière" et développement d'une branche descendante à partir du nœud courant de l'arbre de recherche.
- **ACond** : Calculs intermédiaires sur l'état courant. Cette action correspond à une reprise à partir d'un nœud de choix  $v$  existant dans le sous-arbre de racine  $u$  (condition  $bkt(v)$  - existence d'un point de "backtrack" déjà détecté) et à partir duquel un nouveau sous-arbre de preuve peut être développé avec une clause non réduite à un fait (condition  $\neg ft(v)$  -  $ft$  pour "fact").
- **ECond** : Ici la condition externe est limitée au succès de l'unification (opération non formalisée dans la SO) au nouveau nœud courant  $v$ . Cette unification entre les prédications  $pd(v)$  et  $hd(ch(u))$  -tête de la clause choisie pour poursuivre la résolution -, réussit avec la substitution  $\Theta$ , qui n'est pas utilisée ici, ainsi que le troisième argument  $p$  qui est l'instance de  $pd(v)$  par la substitution.
- **VSEffect** : Calculs intermédiaires sur l'état courant concernant les attributs et construction du nouvel état virtuel  $s'$ .
- **Etrace** : Extraction de l'événement de trace effective; l'attribut  $ch(v)$  correspond à la clause choisie qui, par hypothèse n'est pas un fait. Les clauses associées au nouveau nœud  $w$ ,  $cl(w)$ , ne seront connues que dans l'événement de trace suivant.

La règle correspondante du schéma de traceur est :

**AType** : Rdo2  
**ACond** :  $\{\neg fst(u) \wedge bkt(v) \wedge \neg ft(v) \wedge \neg flr\}$   
**ECond** :  $\{scs(T, v, p, \Theta)\}$   
**VSEffect** :  $\{T' \leftarrow T - \{y|y > v\} \cup \{w\}, w \leftarrow ncpd_1(v),$   
 $u' \leftarrow w, n' \leftarrow n + 1,$   
 $nu' \leftarrow fupdt(nu, \{y|y > v \in T\}, \{(w, n')\}),$   
 $pd' \leftarrow fupdt(pd, \{y|y > v \in T\}, \{w, ncpd_2(w)\}),$   
 $cl' \leftarrow fupdt(cl, \{y|y \geq v \in T\}, \{(v, rem(ch(v), cl(v))), (w, dcl(ncpd_2(w)))\}),$   
 $fst' \leftarrow fupdt(fst, \{y|y > v \in T\}, \{(w, true)\}), bkt' \leftarrow false\}$

La règle correspondante du schéma de trace est :

**AType** : Rdo2  
**VSEffect** :  $\{bkt(v)\}$  (on ne décrit ici que les calculs utiles, mais on ne donne plus le nouvel état ; l'arbre de preuve  $T$  courant de racine  $u$  est supposé connu, et donc le nœud  $v$  qui lui appartient, ainsi que les étiquettes associées  $nu, pd, cl$ , à partir desquelles les valeurs de  $lp(v)$  et  $rem(ch(v), cl(v))$  peuvent être obtenues.  
**Etrace** :  $\{nu(v), lp(v), Redo, pd(v), ch(v), rem(ch(v), cl(v))\}$  ◦

### Représentation de la SI : schéma de reconstruction

La SI est donnée par  $\langle A, R_O, S, I \rangle$  où la fonction de reconstruction  $I : \mathcal{T}^w \rightarrow \mathcal{T}^v$  est donnée par une fonction de reconstruction locale  $I_l(s, a_{k+1}) = (r_l, s')$ .

Un schéma de reconstruction (fonction  $I_l$ ) décrit de quelle manière, à partir d'un état virtuel reconstruit et de quelques événements de trace effective (au plus  $k + 1$  événements contigus si le trace est  $k$ -constructible), un nouvel état virtuel peut être reconstruit.

- **AType** : (Type d'action) un identificateur  $r_l \in R_O$  (le type d'action reconnu correspondant à la transition  $(s, s')$  ci-dessus et identifiée par la condition ci-dessous)
- **Utrace** :  $\{ \text{(Used Trace) les attributs utiles des événements de trace effective utilisés concernant au plus } k + 1 \text{ événements} \}$
- **AICond** :  $\{ \text{(Action Identification Condition) la condition d'identification du type d'action de la transition effectuée} \}$
- **RVState** :  $\{ \text{(Reconstructed Virtual State) les calculs des éléments essentiels du nouvel état virtuel reconstruit } s' \}$

*Example 3.* On illustre la SI avec deux règles CallFa et CallFaCl de l'exemple de la section A.2 et les règles du schéma de reconstruction correspondant.

**AType** : CallFa

**Utrace** :  $\{ \langle r \ l \ \mathbf{Call} \ p \ ch \ cl \rangle ; \langle r' \ \mathbf{Fail} \ p \rangle \}$   
**AIcond** :  $\{ port = \mathbf{Call} \wedge port' = \mathbf{Fail} \wedge attr(ch) \}$  (indique que l'attribut **ch**  
(chosen clause) est présent)  
**RVState** :  $\{ \}$

**AType** : CallFaCl  
**Utrace** :  $\{ \langle r \ l \ \mathbf{Call} \ p \rangle \}$   
**AIcond** :  $\{ port = \mathbf{Call} \wedge \neg attr(ch) \}$  (l'attribut **ch** (chosen clause) est absent,  
l'événement suivant est nécessairement de port **Fail**)  
**RVState** :  $\{ \}$

Explications : (voir les détails dans l'annexe A.2) l'état virtuel reconstitué est l'état virtuel courant qui comporte 11 paramètres. En fait il suffit, à partir d'événements de la trace effective, de déterminer quelle est l'action réellement en cause et de ne reconstituer que quelques paramètres (dans cet exemple : aucun). En effet, si la SO est supposée connue, l'identification du type d'action qui a produit l'événement suffit à déterminer l'étape de transition. Ici on suppose que la SO est connue (voir la section suivante); il est donc inutile de faire figurer ces éléments de reconstruction. Cet exemple met essentiellement en évidence le processus d'identification du type d'action original à partir de deux événements de trace effective (nécessaires pour le premier item).

- **AType** : le type d'action identifié à l'aide des événements de trace.
- **Etrace** : La trace est 1-constructible. Ici deux événements de trace successifs sont nécessaires.
- **AIcond** : Le type d'action correspondant aux conditions est identifié. Il faut choisir entre deux types d'actions : appel suivi d'un échec mais pour deux causes distinctes : échec de l'unification ou absence de clause. Cette distinction est "visible" dans la trace par la présence ou non de la clause choisie (en cas d'absence de clause, il n'y a pas de clause choisie dans la trace et un seul événement de trace suffit.
- **RVState** : Le nouvel état est reconstruit. A ne faire figurer que si la transition pour cette action dans la SO n'est pas connue. ◦

Pour le deuxième item, la règle complète de reconstruction serait :

**AType** : CallFaCl  
**Utrace** :  $\{ \langle r \ l \ \mathbf{Call} \ p \rangle \}$   
**AIcond** :  $\{ port = \mathbf{Call} \wedge \neg attr(ch) \}$   
**RVState** :  $\{ fst' \leftarrow fupdt(fst, \{u\}, \{(u, false)\}), flr' \leftarrow pd(u) \}$

Voir l'annexe A.2 pour les détails.

#### 4.7 Relations entre les sémantiques, fidélité

Les deux sémantiques observationnelle et interprétative sont en général indépendantes. Avec la SO on se place du côté de la production de la trace et, avec



la SI, de son interprétation. Il pourrait a priori n’y avoir aucun lien entre ces deux sémantiques. La SO constitue un modèle abstrait de production de la trace dont le but est de caractériser une famille de traces. La SI est un modèle de reconstruction qui décrit, à partir d’une trace connue, ou d’une famille de traces connue, et d’un état initial a priori, l’évolution d’objets au cours du temps (celui de la trace). La position adoptée ici est que la SI a pour objectif de retrouver un modèle, sinon identique, au moins compatible avec le modèle original représenté dans la SO ; c’est à dire que du point de vue de l’émetteur, on va bien pouvoir retrouver dans la trace effective tout ce qui y a été mis (c’est à dire la trace virtuelle originale), et que, du point de vue du récepteur, tout se passe comme si la trace effective était bien le produit d’un codage d’une trace virtuelle produite par le modèle original.

Compte-tenu de l’existence facteurs d’influence, la trace effective est en général plus précise que la trace virtuelle décrite par la SO, puisqu’elle contient des valeurs d’attributs dont la SO ne rend pas compte du calcul. En revanche, la SO peut comporter des paramètres dont l’usage ne sert qu’à décrire la fonction (ou relation) de transition qu’elle modélise, mais qui n’interviennent aucunement dans la fonction d’extraction de la trace effective. D’où l’idée qu’il ya différents types de paramètres et attributs. Pour les paramètres on distinguera ceux qui servent au calcul des attributs et parmi les attributs ceux qui sont indispensables à la détermination de la valeur de paramètres, dans la mesure où on cherche à retrouver la trace virtuelle initiale.

De manière générale on peut observer que, s’il n’y a pas de facteurs d’influence, il suffit que la signature soit codée<sup>2</sup> dans la trace effective et reconnaissable (on dira “interprétable”) pour pouvoir reconstruire une trace virtuelle intégrale. Dans ce cas en effet la seule reconnaissance du type d’action virtuel, avec la connaissance de la fonction de transition définie dans la SO, permet de définir une fonction de reconstruction, à condition toutefois de reconstruire un état virtuel intégral. Si en effet seul un état virtuel partiel est reconstruit, certains paramètres reconstruits doivent pouvoir l’être directement à partir des informations contenues dans la trace effective.

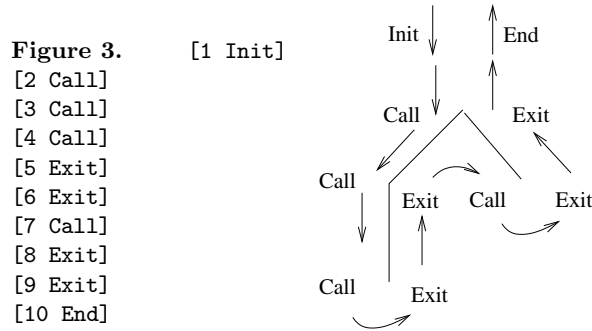
Une question particulièrement intéressante est donc, pour une trace intégrale donnée, de rechercher des sous-ensembles de paramètres et d’attributs (en quelques sortes des sous-traces virtuelles et effectives) telles que la sous-trace effective puisse se “comprendre” comme une sous-trace virtuelle dont cette sous-trace effective est elle-même extraite. La recherche de telles sous-traces passe par une analyse des inter-dépendances et des relations entre paramètres et attributs.

Cette “compréhension” peut elle-même n’être possible -ou n’avoir de sens- que pour un sous ensemble des traces modélisées par la SO. Ainsi par exemple pour la trace Prolog (annexe A.2), si on considère le sous-ensemble des traces effectives qui ne contiennent que des événements **Call** et **Exit** (pas d’échec ni de backtrack), une sous-trace qui a pour seul attribut le port peut s’interpréter

---

2. Une manière évidente serait que le type d’action figure explicitement comme attribut, mais on considère ici que ce n’est pas en général le cas.

avec les deux seuls paramètres  $T$  (le squelette d'arbre de preuve) et  $u$  (le nœud courant). En d'autres termes la sous-trace décrit un simple parcours-construction d'arbre [39,36]. Ceci est illustré par la figure 3 suivante.



### Paramètres codants et attributs décodants

#### Definition 5 (Paramètres codants, attributs décodants et dépendances).

Etant donnée une  $SO < S, I_f, R_O, T, A, E, S_0 >$  munie de l'ensemble de paramètres  $S$ , des actions  $R_O$  et des attributs  $A$ , et une  $SI < A, R_O, S, I >$ , on définit deux fonctions de correspondances  $\mathbf{p_c}$  et  $\mathbf{a_d}$  dont les domaines et codomaines sont les ensembles de noms de paramètres  $S^\sim$  et  $A^\sim$  où  $S^\sim$  inclut un élément dénotant le domaine des types d'actions virtuelles :

- $\mathbf{p_c}$  (paramètres codants) :  $A^\sim \rightarrow S^\sim$ ,  $\mathbf{p_c}(a)$  est un ensemble de paramètres indépendants, nécessaires et suffisants pour coder tous les attributs  $a$  dans la  $SO$ .
- $\mathbf{a_d}$  (attributs décodants) :  $S^\sim \rightarrow A^\sim$ ,  $\mathbf{a_d}(p)$  est un ensemble d'attribut indépendants, nécessaires et suffisants pour décoder (ou reconstruire) tous les paramètres et action virtuelle  $p$  dans la  $SI$ .

On dira que les "paramètres" d'un sous-ensemble de  $S^\sim$  (resp. attributs dans un sous-ensemble de  $A^\sim$ ) sont indépendants si aucun ne peut être déduit des autres du même sous-ensemble.

Dans une  $SO$ , le sous-ensemble de paramètres codants d'un sous-ensemble d'attributs correspond aux paramètres juste suffisants pour décrire la fonction d'extraction de la trace restreinte aux attributs concernés.

Ainsi dans le schéma de trace de l'annexe A.2, seuls 7 paramètres sur 11 et le type d'action sont codants pour l'ensemble des attributs de la trace. Les autres paramètres ne servent donc qu'à la simulation de la production de la trace (modèle sémantique abstrait). Par ailleurs, on peut montrer que la signature (suite des types d'actions) est suffisante pour coder l'attribut `port` (c'est une fonction).

Dans une SI, les *attributs décodants d'un sous-ensemble de paramètres* sont ceux qui permettent de reconstruire un sous-ensemble de paramètres de la trace virtuelle et de déterminer le type d'action.

Ainsi dans la sémantique interprétative de Prolog de l'annexe A.2, 5 attributs sur les 6 possibles sont décodants pour tous les paramètres codants. De même l'attribut `port` est suffisant pour retrouver (reconstruire ou interpréter) la signature originale.

$\mathbf{p}_c$  et  $\mathbf{a}_d$  sont des abstractions des fonctions d'extraction  $E$  et de reconstruction  $I$  qui respectivement associent à chaque attribut un ensemble de paramètres indépendants nécessaires et suffisants pour sa construction, et à chaque paramètre, les attributs indépendants nécessaires et suffisants pour sa reconstruction.

En général dans une trace intégrale, beaucoup d'attributs seront simplement identiques aux paramètres. Par exemple, dans d'un système dont la trace incluerait le temps d'une horloge, celui-ci pourrait apparaître tel quel comme paramètre et comme attribut. Si c'est le cas de tous les paramètres, la fonction d'extraction est l'identité ainsi que la fonction de reconstruction, et on a  $A \sim = S \sim$  (au nom du domaine des types d'actions près). La SO se réduit alors à un modèle de production de trace virtuelle. En pratique, pour des raisons déjà mentionnées d'efficacité, une partie des paramètres sera codée.

Etant donnée une trace effective comportant un ensemble d'attributs indépendants  $a$ , il peut être intéressant de considérer le plus petit ensemble de paramètres indépendants codant cette trace ou une sous-trace. Il peut y en avoir plusieurs même en l'absence de dépendances entre paramètres. En effet on ne donne ici aucune restriction sur le nombre d'états virtuels successifs susceptibles d'être utilisés pour définir l'extraction. Selon le nombre d'états considérés, on peut avoir besoin de plus ou moins de paramètres.

De même pour les attributs décodants. Pour un sous-ensemble de paramètres donné correspondants à une sous-trace, on peut également s'intéresser au nombre minimal d'attributs décodants nécessaires pour le calcul de ces paramètres dans la SI. Ici aussi le nombre d'attributs nécessaires peut dépendre du nombre d'événements de la trace effective successifs pris en compte. On s'intéressera également au nombre minimum de tels événements en dessous duquel il n'est plus possible de reconstruire tous les paramètres souhaités.

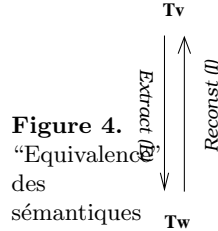
De manière générale on est intéressé aux points fixes de  $\mathbf{p}_c \circ \mathbf{a}_d$ , c'est à dire les ensembles d'attributs  $a$  tels que  $\mathbf{a}_d(\mathbf{p}_c(a)) = a$ . A tout point fixe  $a$  de  $\mathbf{p}_c \circ \mathbf{a}_d$  correspond un point fixe  $p$ , vérifiant  $\mathbf{p}_c(\mathbf{a}_d(p)) = p$ , et tel que  $\mathbf{p}_c(a) = p$  et  $\mathbf{a}_d(p) = a$ . Les points fixes des attributs définissent, pour des sémantiques SO et SI données, des traces effectives interprétables et ceux des paramètres des traces virtuelles extractibles.

## Fidélité

Si on note  $p_O$  et  $a_O$  l'ensemble de tous les paramètres (incluant les types d'actions) et de tous les attributs utilisés dans des SO et SI qui les traitent intégralement (même si extraction et reconstruction se réduisent à l'identité),  $p_O$  et  $a_O$  sont trivialement des points fixes.

On introduit ici une notion de "fidélité" qui traduit le fait qu'il est toujours possible de "décoder" (d'interpréter ou reconstruire) la trace effective comme si elle avait été produite à partir d'une trace virtuelle pas à pas identique à celle qui l'avait effectivement produite.

En d'autres termes, entre les traces virtuelles et effectives,  $T^v$  et  $T^w$ , il existe une relation fondamentale illustrée par la figure 4,



et qui satisfont les pseudo égalités :  $I \circ E = E \circ I = id$ , ou, plus exactement :  $E(T^v) = T^w$  et  $I(T^w) = T^v$ .

L'idée de fidélité correspond au fait qu'il doit être possible de reconstituer la partie de la trace virtuelle intégrale qui a donné naissance à une trace effective partielle. Cela suppose en particulier qu'à partir d'une trace effective intégrale on puisse reconstituer la trace virtuelle intégrale qui l'a produite. D'où l'idée d'existence d'une SI telle que les schémas d'extraction et de reconstruction commutent. On ne considère ici que des traces intégrales contigues.

On distinguera deux notions de fidélité selon que le schéma de traceur est connu avec une SO complète ou que la SO est incomplète. Dans le premier cas la fonction de transition est connue et la fidélité consiste à s'assurer que la trace extraite reproduit bien la même suite d'états que celle produite par le modèle du traceur. Dans le second cas la fidélité ne peut porter que sur la partie des paramètres et attributs dont l'évolution est décrite par une fonction de transition. Dans le pire cas (il n'y a pas de schéma de traceur), on ne peut parler de fidélité qu'avec la connaissance de la seule sémantique dont on dispose, à savoir un ensemble de traces effectives. Il s'agit alors de s'assurer que les traces virtuelles correspondantes peuvent bien être reconstruites à partir des traces effectives qu'elles sont supposées avoir produites; seules les fonctions d'extraction et de reconstruction interviennent alors, mais on ne pourra établir qu'une sorte de cohérence entre ces fonctions qui peut-être vue comme une forme de correction partielle de la trace effective.

Dans les deux cas on parlera *fidélité de la SO*, mais dans le premier cas, qui fait intervenir les deux schémas de la SO et le schéma de reconstruction, on aura

une *fidélité forte* et dans le second cas, où seuls les schémas d'extraction et de reconstruction interviennent, mais sur un ensemble connu de traces effectives finies, on n'aura qu'une *fidélité faible*<sup>3</sup>.

**Definition 6 (Fidélité faible).**

Etant donnés une  $SO < S, I_f, R_O, A, E, T, S_0 >$  et un ensemble de traces effectives  $\mathcal{T}^w$ , la  $SO$  est faiblement fidèle, ou simplement fidèle pour  $\mathcal{T}^w$ , s'il existe une  $SI < A, R_O, S, I >$   $k$ -constructible telle que toute trace effective de  $\mathcal{T}^w$  vérifie

$$I(T_{t,k}^w) = T_t^v \text{ et } E(T_t^v) = T_t^w.$$

**Definition 7 (Fidélité forte).**

Une  $SO$  complète  $< S, I_f, R_O, A, E, T, S_0 >$  est fortement fidèle, ou simplement fidèle si elle est fidèle pour toutes les traces effectives produite par son schéma de traceur.

Plus précisément, une  $SO$  complète est fidèle, s'il existe une  $SI < A, R_O, S, I >$   $k$ -constructible telle que toute trace virtuelle  $T_t^v$  produite et toute trace effective extraite telles que  $E(T_t^v) = T_t^w$ , on a

$$I(T_{t,k}^w) = T_t^v.$$

Pour une  $SI$  donnée, on dira alors que la  $SO$  est fidèle pour la  $SI$  donnée, ou que la  $SI$  est fidèle à la  $SO$ .

Si l'on fait abstraction du  $k$  de la restructibilité, la notion de fidélité exprime que le produit de  $I$  et  $E$  commute est égal à la fonction identité, soit  $I \circ E = E \circ I = id^4$ .

Il résulte de la fidélité d'une trace, qu'à partir de toute trace effective intégrale contigue, il est possible de retrouver la trace virtuelle intégrale à partir de laquelle elle peut être produite. Il est donc possible de l'interpréter intégralement.

La fidélité faible correspond au même schéma de commutativité, mais appliqué au seul schéma de trace et à une famille de traces données.

### Méthodes de vérification de fidélité

Une preuve de fidélité peut s'effectuer à partir de  $SO$  et d'une  $SI$  donnée à l'aide de la fonction de transition de la  $SO$  et des fonctions locales d'extraction et de reconstruction. On considère ici seulement les cas 0- et 1-reconstructible.

3. Si on a une trace effective finie, on vérifie qu'on peut en inférer une trace virtuelle qui peut la produire. Un parallèle est fait ici avec la correction de programme où l'on distingue la terminaison et la correction partielle qui n'a d'utilité en fait que si le programme termine, i.e. si on a une trace finie d'exécution.

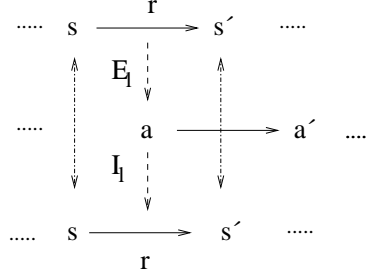
4. Ceci doit être pris plus comme une image que comme une propriété car les deux foncteurs n'opèrent pas sur les mêmes objets. Une formulation plus exacte serait :  $E(T^v) = T^w$  et  $I(T^w) = T^v$ , donc  $I(E(T^v)) = T^v$ , et  $E(I(T^w)) = T^w$ . De plus, la fidélité ne peut s'exprimer ainsi que dans le cas 0-constructible ou pour des traces infinies où l'on dispose toujours de suffisamment d'événements de trace effective pour réaliser la reconstruction (voir cependant la remarque après la proposition 3).

**Proposition 1 (Preuve de fidélité forte (cas 0-constructible)).**

Une  $SO$  complète  $\langle S, I_f, R_O, A, E, T, S_0 \rangle$  est fidèle s'il existe une  $SI : \langle A, R_O, S, I \rangle$  0-constructible, telle que pour chaque type d'action  $r \in R_O$ , les propriétés suivantes sont satisfaites :

$$\begin{aligned} & \forall s, s' \in S, \forall a \in A, \text{ tels que } T(r, s) = s' \text{ et } E_l(r, s) = a, \text{ on a} \\ & \exists r_1 \in R_O \text{ tel que } I_l(s, a) = (r_1, s') \text{ et } r_1 = r. \end{aligned}$$

La figure 5 illustre la preuve de fidélité par commutativité des actions d'extraction et reconstruction.



**Figure 5.** Illustration de la fidélité forte (cas 0-constructible)

**Proposition 2 (Preuve de fidélité forte (cas 1-constructible)).**

Une  $SO$  complète  $\langle S, I_f, R_O, A, E, T, S_0 \rangle$  est fidèle s'il existe une  $SI : \langle A, R_O, S, I \rangle$  1-constructible, telle que pour chaque type d'action  $r \in R_O$ , les propriétés suivantes sont satisfaites :

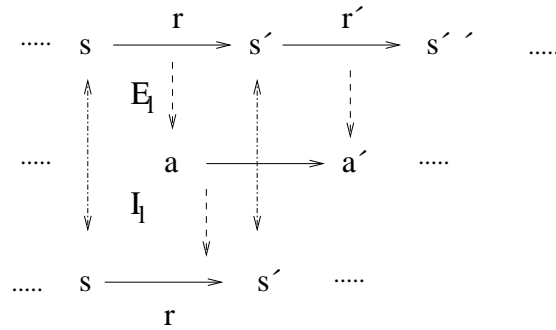
$$\begin{aligned} & \forall s, s' \in S, \forall a, a' \in A, \forall r', \in R_O \text{ tels que } T(r, s) = s', E_l(r, s) = a, \\ & \text{et } E_l(r', s') = a' \text{ on a} \\ & \exists r_1 \in R_O \text{ tel que } I_l(s, aa') = (r_1, s') \text{ et } r_1 = r. \end{aligned}$$

La figure 6 illustre la preuve de fidélité forte dans le cas 1-constructible.

Dans [38], on donne une preuve de fidélité pour une trace effective non intégrale 1-constructible. Ici on donnera méthode et exemple pour une trace intégrale, propriété que l'on utilisera ensuite pour montrer la fidélité de traces partielles (même si une méthode directe, comme dans [38], restera toujours possible).

Dans le cas de fidélité faible, on ne peut à proprement parler de preuve, vu que la notion ne s'applique qu'à un ensemble donné de traces effectives finies. Il s'agit donc d'une sorte de vérification de cohérence d'une famille de traces et de la  $SI$ .

**Proposition 3 (Vérification de fidélité faible).**



**Figure 6.** Illustration de la fidélité forte (cas 1-constructible)

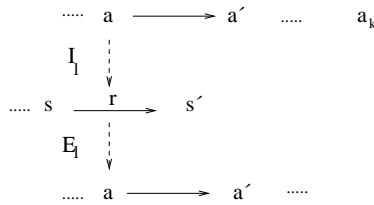
Étant donné un schéma de trace  $SO \langle S, R_O, A, E \rangle$  et un ensemble de traces effectives  $\mathcal{T}^w$ ,  $SO$  est fidèle pour  $\mathcal{T}^w$  s'il existe  $SI : \langle A, R_O, S, I \rangle$   $k$ -constructible, tel que pour chaque  $T_t^w \in \mathcal{T}^w$

$$\forall i, 0 < i \leq t - k, \forall a_{i,k} \in T_t^w \text{ on a :}$$

$$I_1(s_{i-1}, a_{i,k}) = (r_i, s_i) \text{ et}$$

$$E_1(r, s_{i-1}) = a_i.$$

La figure 7 illustre la preuve de fidélité faible.



**Figure 7.** Illustration de la fidélité faible

Le concept de fidélité est essentiel. C'est une sorte d'invariant que l'on doit retrouver dans toutes les manipulations de traces.

**Remarque.** Il est intéressant d'analyser le principe de la vérification de fidélité faible afin de mieux comprendre ce qu'il apporte. On ne dispose pas de schéma de traceur, et l'essentiel de la sémantique se retrouve dans le schéma de reconstruction. La vérification consiste à analyser une trace effective donnée à partir de l'état virtuel initial  $s_0$  donné avec la trace. La fonction de reconstruction peut alors reconstruire l'état  $s_i, 0 < i \leq t - k$  ( $i = 1$  à la première étape) et identifier l'action  $r_i$  utilisée. On peut alors vérifier que le premier événement

de la trace effective utilisé,  $a_i$  (premier élément de  $a_{i,k}$ ), est bien extrait de l'état courant précédent  $s_{i-1}$  par l'action  $r_i$ . Comme ceci sera vérifié pour les  $k$  événements suivants, la portion de trace utilisée  $a_{i,k}$  est bien extraite de la trace virtuelle. Ce raisonnement ne vaut plus pour les  $k$  derniers événements de la trace  $T_t^w$ , ce qui suppose que le facteur  $k$  de constructibilité décroisse au fur et à mesure que l'on se rapproche de la fin de la trace, l'état final de la trace étant 0-constructible.

On observe que ce type de vérification peut être interprété de deux manières : une certaine assurance de la cohésion des fonctions d'extraction et de reconstruction, ou une certaine correction de la trace fournie. Ceci peut être intéressant pour des analyses post mortem de traces effectives dont on ne connaît pas l'origine.

*Property 1.* Si une SO complète est fortement fidèle, alors la vérification qu'une trace effective donnée est fidèle peut se faire de deux manières équivalentes :

- montrer que chaque événement de trace est le résultat d'une transition de la SO effectuée à partir de l'état précédent,
- vérifier étape par étape que les événements de trace vérifient les conditions de la proposition 3.



## 5 Fondements de la sémantique observationnelle (SO)

On présente ici quelques fondements théoriques possibles de la sémantique observationnelle (SO) utilisable pour spécifier des traces virtuelles spécifiques ou génériques. Celle-ci est définie comme un système de transitions étiqueté (LTS) auquel correspond de manière équivalente un ensemble de traces virtuelles. On propose ici une représentation utilisant la programmation en logique, mais ce n'est qu'une possibilité. Finalement on montre comment certaines propriétés des signatures, susceptibles d'aider à la réalisation de telles sémantiques, peuvent être établies en utilisant des techniques d'interprétation abstraite.

### 5.1 SO comme une sémantique des traces partielles

Dans [70,27] les auteurs définissent ce qui peut être vu comme une sémantique opérationnelle basée sur des traces pour un programme. Dans cette approche, un état est un couple formé d'un "environnement" où sont stockées les valeurs des variables et une "instruction" du programme, et les types d'actions correspondent donc aux instructions du programme qui engendrent des changements d'états. La fonction de transition définit tous les états successeurs possibles d'un état donné. Ceci correspond à ce qui est appelé "small step operational semantics". Cette sémantique opérationnelle définit un ensemble de toutes les traces possibles pour un programme donné. Une trace est alors constituée d'une suite de couples (environnement, instruction) et correspond dans notre terminologie à une trace virtuelle (paramètres, type d'action) possible du programme. Cette sémantique peut être vue comme une SO où la fonction de transition est décrite par le programme lui-même, et la fonction d'extraction désigne l'instruction utilisée lors de la transition. Une telle sémantique correspond à une SO complète. Des formalisations analogues de la sémantique de programmes ont été largement étudiées [59,1,79].

De manière générale, on peut appliquer cette approche pour donner une définition plus formelle à la sémantique observationnelle.

Soit une SO restreinte au 4-uplet  $\langle S, R, T, S_0 \rangle$  (partie schéma de traceur de la SO) :

- $S$  : *domaine des états virtuels*, éventuellement étendu avec le domaine d'influence,  $s \in S$ .
- $R$  : *ensemble fini de type d'actions*  $r \in R$ .
- $T$  *fonction de transition d'états*  $T : R \times S \rightarrow S$ , non déterministe.
- $S_0 \subseteq S$ , *ensemble des états initiaux*.

On dénote  $\llbracket SO \rrbracket$  l'ensemble de toutes les traces virtuelles susceptibles d'être produites par la fonction de transition  $T$ .

Celle-ci s'étend à un ensemble de traces par un *opérateur de transition immédiate*  $\mathcal{T}_{SO}$  applicable à un ensemble de préfixes de traces finies  $d$  (on suppose que tous les préfixes d'une trace sont présents dans  $d$  et on omet par simplicité les types d'actions) :

$$\mathcal{T}_{SO}(d) = \{tss' \mid ts \in d \wedge ss' \in T\}$$

Si la SO (i.e. la fonction de transition) est formalisée par un programme  $P$ , un opérateur sémantique, dénoté  $\mathcal{T}_P$ , peut lui être associé. Cet opérateur agit sur un domaine sémantique qui est en général un treilli complet, ou, plus généralement un ordre partiel complet.

La signification du programme, dénotée  $\llbracket P \rrbracket$ , est définie comme étant le plus petit point fixe de l'opérateur  $\mathcal{T}_P$ , i.e.,  $\llbracket P \rrbracket = \text{lfp}(\mathcal{T}_P)$ . Il peut être défini opérationnellement par  $\llbracket P \rrbracket = \bigcup_{i=0}^{\infty} \mathcal{T}_P^i(\emptyset)$ .

L'ensemble des préfixes finis des traces spécifiées par la SO peut alors être défini comme le plus petit point fixe d'un opérateur  $\mathcal{T}_{SO} : \llbracket SO \rrbracket = \text{lfp}(\mathcal{T}_{SO})$ .

Si  $\mathcal{T}_P$  est continu<sup>5</sup>, le plus petit point fixe est la limite de l'application itéré au plus  $\omega$  fois de l'opérateur  $\mathcal{T}_P$  à partir de l'élément inférieur du treilli.

Dans une approche duale, on peut aussi considérer comme premier, l'ensemble de toutes les traces possibles qui constitue alors la seule sémantique concrète du processus observé. Si donc on "ignore" le processus qui a produit cet ensemble de traces, ou si on cherche à le modéliser par une trace générique, on peut considérer l'ensemble des traces partielles, c'est à dire de l'ensemble de tous les préfixes des traces finies ou infinies dont on dispose.

L'ensemble des traces peut alors être vu comme l'unique point fixe d'un opérateur agissant sur un sous-ensemble complet de préfixes de traces.

Soit  $D$  un ensemble de traces virtuelles partielles et  $\mathcal{T}_D$  l'opérateur ainsi défini ( $d$  est un sous-ensemble de traces partielles de  $D$  incluant tous leurs préfixes finis) :

$$\mathcal{T}_D(d) = \{ts \mid t \in d \wedge ts \in D\}$$

$D$  est de manière triviale le seul point fixe de  $\mathcal{T}_D$  (tous les points fixes contiennent  $D$  et  $\mathcal{T}_D$  ne contient que des traces de  $D$ ).

Au même ensemble de traces  $D$ , il peut être associée une fonction de transition d'état (non déterministe  $T_D$ ) :

$$T_D(s) = \{s' \mid \exists ts \in D \text{ such that } tss' \in D\}.$$

Noter qu'une telle fonction de transition d'état est telle que, quelle que soit la manière d'atteindre un état  $s$ , tous ses successeurs sont des continuations possibles. Il s'en suit que l'opérateur défini à partir de la fonction de transition  $T_D$ , obtenue comme l'union de toutes les transitions effectuées dans toutes les traces de  $D$  :

$$\mathcal{T}'_D(d) = \{tss' \mid ts \in d \wedge ss' \in T_D\}$$

produit un sur-ensemble, soit  $\mathcal{T}_D(d) \subseteq \mathcal{T}'_D(d)$ . On verra que les points fixes de  $\mathcal{T}'_D$  sont en général des sur-approximations de  $D$  (en ce sens qu'ils contiennent  $D$ ).

Il est donc possible d'obtenir un opérateur  $\mathcal{T}'_D$  en inférant une fonction de transition  $T_D$  à partir des traces de  $D$ .

---

5. Soit  $X(\sqsubseteq, \perp, \top, \sqcup, \sqcap)$  un treilli complet, la fonction  $f : X \rightarrow X$  est continue si, pour tout sous-ensemble  $Y$  de  $X$ , on a  $\sqcup f(Y) = f(\sqcup Y)$ .

Il est important de noter qu'une telle fonction  $T_D$  (comme les opérateurs correspondants  $\mathcal{T}_D$  ou  $\mathcal{T}'_D$ ) existe toujours, mais il est cependant possible qu'elle ne puisse pas avoir une représentation finie en logique du premier ordre.

Cette sémantique, définie comme l'ensemble (ou un sur-ensemble) de tous les préfixes finis de toutes les traces, est appelé "sémantique des traces partielles". Dans le cas de programmes équipés de traceurs générant des traces virtuelles intégrales qui incluent les événements de la sémantique "small step", on voit que celle-ci est un raffinement de la sémantique transitionnelle telle définie dans [27].

## 5.2 Interprétation abstraite (IA) (en anglais)

La modélisation ou l'observation de processus à partir de leurs traces posent plusieurs types de problèmes, en particulier au stade de la conception : celui du niveau d'analyse auquel on veut ou on peut se situer et celui de la réalisation du modèle (cf. figure 1).

Nous nous intéressons ici à la réalisation du modèle. Cette section est une introduction générale à l'interprétation abstraite, limitée à son utilisation pour la recherche de propriétés utiles lors de sa conception.

We borrow from [47,16,29,49] this presentation<sup>6</sup>.

One of the most successful techniques for approximating the actual semantics of a program<sup>7</sup> is *abstract interpretation* [28]. In this technique a program is interpreted over a non-standard domain called *abstract domain* and the semantics w.r.t. this abstract domain, i.e., the *abstract semantics* of the program is computed (or approximated) by replacing the operators in the program by their abstract counterparts. An abstract semantic object is a finite representation of a, possibly infinite, set of actual semantic objects in the concrete domain ( $\mathcal{C}$ ). The set of all possible abstract semantic values represents an *abstract domain* ( $\mathcal{A}$ ) which is usually a complete lattice or cpo which is ascending chain finite.

In the algebraic setting of abstract interpretation, a domain is a lattice  $L(\sqsubseteq, \perp, \top, \sqcup, \sqcap)$  defined by a partial order  $(L, \sqsubseteq)$ , where  $\perp$  and  $\top$ , elements of  $L$  and  $\sqcup, \sqcap$ , binary operators on  $L$ , respectively denote the least element, the greatest element, the least upper bound and the greatest lower bound. Intuitively, the partial ordering represents the information loss : the lesser the more informative, the greater the bigger loss of information.

As it is often the case in program analysis, the concrete domain and the abstract domains considered for analyzing observational semantics or virtual traces, will be power-sets, i.e. set lattices  $\mathcal{P}(\mathcal{S})(\subseteq, \emptyset, \mathcal{S}, \cup, \cap)$  ordered by inclusion, with the empty set as  $\perp$  element, and the base set  $\mathcal{S}$  as  $\top$  element.

An *abstraction* is formalized by a Galois connection between a concrete domain  $\mathcal{C}$  and an abstract domain  $\mathcal{A}$ , as follows [28] :

6. La suite de cette section est provisoirement en anglais.

7. The "actual semantics" is the formal description of the meaning of the program.

**Definition 8.** A Galois connection  $\mathcal{C} \xrightarrow{\alpha} \mathcal{A}$  between two lattices  $(\mathcal{C}, \sqsubseteq_{\mathcal{C}})$  and  $(\mathcal{A}, \sqsubseteq_{\mathcal{A}})$  is defined by an abstraction function  $\alpha : \mathcal{C} \rightarrow \mathcal{A}$ , and a concretization function  $\gamma : \mathcal{A} \rightarrow \mathcal{C}$ , that are monotonic :

1.  $\forall c, c' \in \mathcal{C} : c \sqsubseteq_{\mathcal{C}} c' \Rightarrow \alpha(c) \sqsubseteq_{\mathcal{A}} \alpha(c')$
2.  $\forall a, a' \in \mathcal{A} : a \sqsubseteq_{\mathcal{A}} a' \Rightarrow \gamma(a) \sqsubseteq_{\mathcal{C}} \gamma(a')$   
and are adjoint :
3.  $\forall c \in \mathcal{C}, \forall a \in \mathcal{A} : c \sqsubseteq_{\mathcal{C}} \gamma(a) \Leftrightarrow \alpha(c) \sqsubseteq_{\mathcal{A}} a$ .

For any Galois connection, we have the following properties :

4.  $\gamma \circ \alpha$  is extensive (i.e.  $c \sqsubseteq_{\mathcal{C}} \gamma \circ \alpha(c)$ ) and represents the information lost by the abstraction
5.  $\alpha \circ \gamma$  is contracting (i.e.  $\alpha \circ \gamma(a) \sqsubseteq_{\mathcal{A}} a$ )
6.  $\gamma \circ \alpha$  is the identity iff  $\gamma$  is onto (surjective) iff  $\alpha$  is one-to-one (bijective)
7.  $\alpha$  preserves  $\sqcup$ , and  $\gamma$  preserves  $\sqcap$
8.  $\gamma(a) = \max \alpha^{-1}(\downarrow a) = \sqcup \alpha^{-1}(\downarrow a)$
9.  $\alpha(c) = \min \gamma^{-1}(\uparrow c) = \sqcap \gamma^{-1}(\uparrow c)$
10. the composition of two Galois connections is a Galois connection.

where  $\downarrow a = \{b \mid b \sqsubseteq a\}$  and  $\uparrow a = \{b \mid a \sqsubseteq b\}$ .

If  $\alpha \circ \gamma(a) = a$  the Galois connection is said to be a *Galois insertion*. If  $\gamma \circ \alpha(c) = c$  the abstraction  $\alpha$  loses no information, and  $\mathcal{C}$  and  $\mathcal{A}$  are isomorphic from the information standpoint (although  $\alpha$  may be not onto and  $\gamma$  not one-to-one).

It is equivalent in the definition of Galois connections to replace the condition of adjointness (3) by conditions (4) and (5), or by condition (8) which also entails the monotonicity of  $\gamma$ .

If  $\sqsupseteq$  is used in (4) and (5) (hence in (3)) instead of  $\sqsubseteq$ , we obtain a dual construction, termed a *reversed Galois insertion*.

Furthermore we may use the fact that in powerset domains, the pointwise extension of any function from the base set of the concrete domain to the abstract domain forms a Galois connection :

**Theorem 1.** [47] Let  $\mathcal{C}$  and  $\mathcal{A}$  be two sets, and  $\alpha : \mathcal{P}(\mathcal{C}) \rightarrow \mathcal{P}(\mathcal{A})$  be a function such that  $\alpha(c) = \bigcup_{e \in c} \alpha(\{e\})$ . Then the functions  $\alpha$  and  $\gamma(a) = \cup \alpha^{-1}(\downarrow a)$  form

a Galois connection  $\mathcal{P}(\mathcal{C}) \xrightarrow{\alpha} \mathcal{P}(\mathcal{A})$  between  $(\mathcal{P}(\mathcal{C}), \subseteq)$  and  $(\mathcal{P}(\mathcal{A}), \subseteq)$ .

We will assume in some cases the following properties for  $\alpha$  and  $\gamma$  :

11.  $f(x) \sqcap f(y) = \emptyset \Rightarrow x \sqcap y = \emptyset$  and  $f(x \sqcap y) = f(x) \sqcap f(y)$   
which is equivalent in a Galois connection and powerset domains to
12.  $f(x \sqcap y) = \emptyset \Rightarrow x \sqcap y = \emptyset$

The abstract domain  $\mathcal{A}$  is usually constructed with the objective of computing approximations of the semantics of a given program. Thus, all operations in the abstract domain also have to abstract their concrete counterparts. In particular, if the semantic operator  $\mathcal{T}_P$  can be decomposed in lower level operations, and their abstract counterparts are locally correct w.r.t. them, then an abstract semantic operator  $\mathcal{T}_P^\alpha$  can be defined which is correct w.r.t.  $\mathcal{T}_P$ . This is formalised by the following theorem.

**Theorem 2.** [29,49] *Fixpoint abstract approximation*<sup>8</sup>

Etant donné une connection de Galois  $\mathcal{C} \xrightarrow{\alpha} \gamma \mathcal{A}$  entre deux treillis  $(\mathcal{C}, \sqsubseteq_{\mathcal{C}})$  and  $(\mathcal{A}, \sqsubseteq_{\mathcal{A}})$ , et deux opérateurs  $\mathcal{T}_{\mathcal{C}}$  et  $\mathcal{T}_{\mathcal{A}}$  opérant respectivement sur les domaines concret et abstrait. Si les propriétés suivantes sont satisfaites :

13.  $\mathcal{C}$  et  $\mathcal{A}$  sont des CPOs (ordres partiels complets),
  14.  $\mathcal{T}_{\mathcal{C}}$  est monotone et (sup-)continu, et  $\mathcal{T}_{\mathcal{A}}$  (sup-)continu (définition en note de section 5.1),
  15.  $\alpha(\perp_{\mathcal{C}}) \sqsubseteq_{\mathcal{A}} \perp_{\mathcal{A}}$  et  $\alpha \circ \mathcal{T}_{\mathcal{C}} \circ \gamma \sqsubseteq \mathcal{T}_{\mathcal{A}}$ <sup>9</sup>,
- alors  $\alpha(\text{lfp}\mathcal{T}_{\mathcal{C}}) \sqsubseteq \text{lfp}\mathcal{T}_{\mathcal{A}}$  et, de manière équivalente,  $\text{lfp}\mathcal{T}_{\mathcal{C}} \sqsubseteq \gamma(\text{lfp}\mathcal{T}_{\mathcal{A}})$ .

From the point of view of observational semantics with a concrete operator denoted  $\mathcal{T}_{OS}^{\mathcal{C}}$  and an abstract operator denoted  $\mathcal{T}_{OS}^{\mathcal{A}}$ ,  $\gamma(\mathcal{T}_{OS}^{\mathcal{A}}(\alpha(x)))$  is an approximation of  $\mathcal{T}_{OS}^{\mathcal{C}}(x)$  in  $\mathcal{C}$ , and consequently,  $\gamma(\text{lfp}(\mathcal{T}_{OS}^{\mathcal{A}}))$  is an approximation of  $\llbracket OS \rrbracket$ . We denote  $\text{lfp}(\mathcal{T}_{OS}^{\mathcal{A}})$  as  $\llbracket OS \rrbracket_{\mathcal{A}}$ . The following relations hold :

16.  $\forall x \in D : \mathcal{T}_{OS}^{\mathcal{C}}(x) \sqsubseteq \gamma(\mathcal{T}_{OS}^{\mathcal{A}}(\alpha(x)))$ ,
17.  $\llbracket OS \rrbracket \sqsubseteq \gamma(\llbracket OS \rrbracket_{\mathcal{A}})$  equivalently  $\alpha(\llbracket OS \rrbracket) \sqsubseteq \llbracket OS \rrbracket_{\mathcal{A}}$ .

An abstract operator  $\mathcal{T}_{OS}^{\mathcal{A}}$  is said to be *precise*, if instead it satisfies that

18.  $\llbracket OS \rrbracket = \gamma(\llbracket OS \rrbracket_{\mathcal{A}})$  equivalently  $\alpha(\llbracket OS \rrbracket) = \llbracket OS \rrbracket_{\mathcal{A}}$

Note that the construction presented allows obtaining over-approximations of  $\llbracket OS \rrbracket$ .

In the case of a reversed Galois insertion, the dual relations of (16) and (17) also hold in this case.

In practice, the abstract domains should be sufficiently simple to allow effective computation of semantic approximations.

### 5.3 Sémantique de programmes logiques et IA (en anglais)

In this approach we restrict ourselves to the important class of semantics of logic programs referred to as *fixpoint semantics*. We borrow from [16] this presentation.

8. Version avec hypothèses restrictives dans lesquelles les ordres des CPOs (pour hypothèse de continuité) sont respectivement les mêmes que ceux des treillis.

9. Notation abrégée de :  $\forall a, a \in \mathcal{A}, \alpha \circ \mathcal{T}_{\mathcal{C}} \circ \gamma(a) \sqsubseteq \mathcal{T}_{\mathcal{A}}(a)$ .

An example of a set-based, fixpoint semantics for (constraint) logic programs is the traditional least model semantics [57]. The semantic objects in this case are so called  $D$ -atoms. A  $D$ -atom is an expression  $p(d_1, \dots, d_n)$  where  $p$  is an  $n$ -ary predicate symbol,  $d_1, \dots, d_n \in D$  and  $D$  is the domain of values.

For example, in classical logic programming  $D$  is the Herbrand universe<sup>10</sup>; for CLP(R)  $D$  is the set of real numbers and of terms (for example lists) containing real numbers<sup>11</sup>.

The semantic operator for program  $P$  is  $T_P$  (the immediate consequence operator<sup>12</sup>) and  $\llbracket P \rrbracket = \text{lfp}(T_P) = \bigcup_{i=0}^{\infty} T_P^i(\emptyset)$ . An important property is that  $\llbracket P \rrbracket$  is the least  $D$ -model of the program. Any ground instance<sup>13</sup> of a computed answer (for an atomic query) is a member of  $\llbracket P \rrbracket$ .

*Example 4.* For example, given the following CLP program, over the domain of integers :

$$\begin{aligned} \text{sorted}(X) \leftarrow X &= []. \\ \text{sorted}(X) \leftarrow X &= [Y]. \\ \text{sorted}(X) \leftarrow X &= [H1|T1], T1 = [H2|T2], H1 > H2, \text{sorted}(T1). \end{aligned}$$

we have that  $\llbracket P \rrbracket = \{ \text{sorted}([]) \} \cup \{ \text{sorted}([X]) \mid X \in D \} \cup \{ \text{sorted}([X_1, \dots, X_n]) \mid n \geq 2, X_1 > \dots > X_n \}$ . So for instance  $\llbracket P \rrbracket$  contains  $\text{sorted}([7])$ ,  $\text{sorted}([a])$ ,  $\text{sorted}([])$ ,  $\text{sorted}([2, 1, 0])$  and does not contain  $\text{sorted}([0, 2])$ ,  $\text{sorted}([2, 1, a])$ .

◊

Abstract interpretation is used to define automated proofs of some properties of the program by computing over approximations of its semantics. For example, Herbrand interpretations of some alphabet may be mapped into an abstract domain where each element represents a typing of predicates in some type system. For a given program  $P$  the abstract operator  $T_P^A$  would allow then to compute a typing of the predicates in the least Herbrand model of  $P$ .

In this framework we essentially use the properties of the immediate consequence operator and its abstract counterpart :

$$\begin{aligned} 19. \forall x \in D : T_P(x) &\subseteq \gamma(T_P^A(\alpha(x))) \\ 20. \llbracket P \rrbracket &\subseteq \gamma(\llbracket P \rrbracket_A) \text{ equivalently } \alpha(\llbracket P \rrbracket) \subseteq \llbracket P \rrbracket_A \end{aligned}$$

10. The actual semantics of a logic program can be represented by infinite sets of terms [39] which is defined on a lattice  $\mathcal{P}(TERM)(\subseteq, \emptyset, TERM, \cup, \cap)$ , where  $TERM$  is the set of all ground predications (the Herbrand universe).

11. Usually it is assumed that  $D$  is given together with a fixed interpretation of the symbols that can occur in constraints. For instance for CLP(R),  $+$  is interpreted as addition and  $>$  as the “greater than” relation on reals.

12.  $T_P(D) = \{d \mid d : -B \in \text{Inst}(P) \wedge B \subseteq D\}$ , where  $\text{Inst}(P)$  is the set of all ground instances of the clauses of the logic program  $P$ .

13. In CLP, by a ground instance of a constrained atom  $A \leftarrow c$  we mean any  $D$ -atom  $A\theta$  such that  $c\theta$  is true; here  $A$  is an atom,  $c$  a constraint and  $\theta$  is a valuation assigning elements of  $D$  to variables.

*Example 5.* A simple example of abstract interpretation in logic programming can be constructed as follows. The concrete semantics (least Herbrand model) of a program  $P$  is  $\llbracket P \rrbracket = \text{lf}p(T_P)$ . So the concrete domain is  $D = \wp(B_P)$  (where  $B_P$  is the Herbrand base of the program).

We consider over-approximating the set of “succeeding predicates”, i.e those whose predicate indicators<sup>14</sup> of the predicates used in  $\llbracket P \rrbracket$ . A possible abstraction is as follows. The abstract domain is  $D_{\mathcal{A}} = \wp(B_P^{\mathcal{A}})$ , where  $B_P^{\mathcal{A}}$  is the set of predicate indicators of  $P$ . Let  $\text{pred}(A)$  denote the predicate symbol for an atom  $A$ . We define the abstraction function :

$$\alpha : \mathcal{C} \rightarrow \mathcal{A} \text{ such that } \alpha(I) = \{\text{pred}(A) \mid A \in I\}.$$

The concretization function is defined as :

$$\gamma : \mathcal{A} \rightarrow \mathcal{C} \text{ such that } \gamma(I_{\mathcal{A}}) = \{A \in B_P \mid \text{pred}(A) \in I_{\mathcal{A}}\}.$$

For example,

$$\begin{aligned} \alpha(\{\text{p}(\mathbf{a}, \mathbf{b}), \text{p}(\mathbf{c}, \mathbf{d}), \text{q}(\mathbf{a}), \text{r}(\mathbf{a})\}) &= \{\text{p}/2, \text{q}/1, \text{r}/1\} \\ \gamma(\{\text{p}/2, \text{q}/1\}) &= \{\text{p}(\mathbf{a}, \mathbf{a}), \text{p}(\mathbf{a}, \mathbf{b}), \text{p}(\mathbf{a}, \mathbf{c}), \dots, \text{q}(\mathbf{a}), \text{q}(\mathbf{b}), \dots\}. \end{aligned}$$

Note that  $\mathcal{C} \xrightarrow{\alpha} \mathcal{A}$  is a Galois insertion. The abstract semantic operator  $T_P^{\mathcal{A}} : \mathcal{A} \rightarrow \mathcal{A}$  is defined as :

$$T_P^{\mathcal{A}}(I_{\mathcal{A}}) = \{\text{pred}(A) \mid \exists (A \leftarrow B_1, \dots, B_n) \in P \forall i \in [1, n] : \text{pred}(B_i) \in I_{\mathcal{A}}\}.$$

Since  $\mathcal{A}$  is finite and  $T_P^{\mathcal{A}}$  is monotonic, the analysis (applying  $T_P^{\mathcal{A}}$  repeatedly until fixpoint, starting from  $\emptyset$ ) will terminate in a finite number of steps  $n$  and  $\llbracket P \rrbracket_{\mathcal{A}} = T_P^{\mathcal{A}} \uparrow n$  approximates  $\llbracket P \rrbracket$ . For example, for the following program  $P$ ,

```

p(X, Y) :- q(X), r(Y).
t(X) :- l(X).
m(X) :- s(X).
q(a). q(b).
r(a). r(c). r(X).
    
```

we have  $B_P^{\mathcal{A}} = \{\text{p}/2, \text{q}/1, \text{r}/1, \text{s}/1, \text{t}/1, \text{l}/1, \text{m}/1\}$ , and :

$$\begin{aligned} T_P^{\mathcal{A}}(\emptyset) &= \{\text{q}/1, \text{r}/1\} & T_P^{\mathcal{A}}(\{\text{q}/1, \text{r}/1\}) &= \{\text{q}/1, \text{r}/1, \text{p}/2\} \\ T_P^{\mathcal{A}}(\{\text{q}/1, \text{r}/1, \text{p}/2\}) &= \{\text{q}/1, \text{r}/1, \text{p}/2\} \end{aligned}$$

$$\text{So } T_P^{\mathcal{A}} \uparrow 2 = T_P^{\mathcal{A}} \uparrow 3 = \{\text{q}/1, \text{r}/1, \text{p}/2\} = \llbracket P \rrbracket_{\mathcal{A}} \quad \circ$$

La sémantique “small steps”, ou transitionnelle, des traces virtuelles peut être décrite par un programme logique (non nécessairement fini) de la manière suivante. On utilise la syntaxe de Prolog standard, le chrono est omis et les traces sont représentées dans l’ordre de chrono décroissant<sup>15</sup>.

14. According to the ISO-Prolog standard, a predicate indicator has the form (predicate name / arity).

15. Il suffit donc d’inverser la trace obtenue pour obtenir la trace virtuelle  $T_t^v = \langle s_0, \overline{\sigma}_t \rangle$  conforme à la définition donnée en section 4.

```



```

This program verifies

$\llbracket P \rrbracket = \{\text{tr}(n, s_n) \mid n \in N \text{ and } s_n \text{ is a trace of size } n \text{ issued from } s_0\}$ ,  
and its immediate consequence operator allows to compute, by increasing sizes of the traces the least fixpoint which is  $D$  (section 5.1, the set of all finite prefixes of traces specified by the OS).

Comme indiqué à la section 5.1, rien ne garantit cependant, dans ce formalisme, que les transitions (prédicat  $\text{te}/3$ ) puissent être décrites avec un nombre fini de faits ou clauses

On pourrait également définir une représentation de la SO en programmation logique et avec des traces infinies et une sémantique utilisant le plus grand point fixe (voir par exemple [29,90,50] et [2,83,84,56] pour une approche générale).

#### 5.4 Propriétés des signatures

L'élaboration d'une SO, c'est à dire la construction d'un modèle de traceur générique, peut être facilitée par l'observation de propriétés du modèle. Nous nous intéressons ici, à titre d'illustration de cette démarche, à une propriété simple qui consiste à réduire la sémantique de la SO, c'est à dire l'ensemble des traces virtuelles qu'elle spécifie, à un graphe d'états fini, aussi réduit que possible. Ce graphe est tel que chaque nœud correspond à un ensemble d'états de la SO, ses arcs sont étiquetés par un type d'action de la SO, et l'absence d'arc entre deux nœuds implique qu'il n'y a aucune transition entre aucun des états correspondants à ces deux nœuds dans la SO. L'intérêt d'une telle représentation est multiple : il permet d'avoir une vue globale immédiate de chemins possibles entre classes d'états, et il fournit des informations sur l'absence de transition entre ces classes, informations qui, soit peuvent être utilisées dans des preuves de correction ou de fidélité, soit peuvent révéler des incomplétudes dans la SO.

Ainsi dans l'exemple des robots (section A.3), le fait que l'on puisse décrire l'évolution de la scène par un automate d'état fini avec deux ou six états (cf. section A.3), tels que chaque transition puisse être étiquetée par un ou plusieurs types d'actions, donne une vision globale immédiate de la scène, qui aide à comprendre le (bon) fonctionnement du modèle.

Un autre exemple serait le cas d'un programme avec une sémantique opérationnelle "small step" telle que mentionnée au début de cette section et dont les types



d'actions des événements de trace virtuelle correspondent à la dernière instruction exécutée et les paramètres correspondent aux variables. Une représentation abstraite de ses exécutions, dans laquelle on s'intéresse par exemple à une seule de ses variables qui prend ses valeurs sur une ensemble fini d'intervalles, peut être donné par un graphe dont les nœuds correspondent aux intervalles et dont les arcs sont étiquetés par l'instruction ayant conduit à l'obtention d'une valeur dans l'intervalle d'arrivée. Cela peut contribuer à la localisation rapide des causes d'obtention d'une valeur erronée (par détection de l'absence d'une transition attendue).

### Propriétés graphiques des signatures

De manière générale, on s'intéresse ici aux propriétés qui consistent à réduire les états potentiels à un nombre fini réduit d'états abstraits par une partition des états virtuels, et à étiqueter les transitions entre les états abstraits avec les types d'actions de manière à obtenir un graphe "couvrant" aussi restreint que possible, c'est à dire minimal. Un tel graphe, en synthétisant sur un nombre d'états fini restreint l'enchaînement des actions, constitue une propriété de l'ensemble des signatures des traces décrites par le LTS, c'est à dire une propriété du langage des signatures des traces considérées (c'est une sur-approximation minimale du langage des signatures). On appellera cette propriété *graphe minimal des signatures*; celui-ci dépend bien sûr de la partition choisie.

Soient  $S(D)$  l'ensemble des signatures d'un ensemble de traces  $D$ , et  $L(G)$  le langage régulier spécifié par l'automate fini défini par un graphe  $G$  (fini), dont les arcs sont étiquetés par des types d'action, et fermé pour les préfixes; les propriétés recherchées ont la forme d'un tel graphe fini  $G$  minimal tel que  $S(D) \subseteq L(G)$ . Les nœuds du graphes forment une partition finie de l'ensembles des nœuds du LTS correspondant aux traces  $D$ . Une telle propriété peut être calculée par approximation successives de l'ensemble des traces et en considérant qu'un graphe étiqueté par les types d'actions sont des abstractions de sous-ensembles de graphes de  $D$ .

Pour une telle analyse on utilise un domaine abstrait constitué de graphes étiquetés et dont l'ensemble des sous-graphes forme un treilli complet. Un graphe étiqueté est un triplet  $\langle V, L, T \rangle$  où  $V$  est un ensemble de nœuds,  $L$  un ensemble d'étiquettes,  $T$  un ensemble d'arcs étiquetés définis comme une relation sur le produit cartésien des nœuds et des étiquettes, soit  $T \subseteq V \times V \times L$ .

Deux graphes sont disjoints si leurs ensembles de nœuds sont disjoints. Le graphe  $G_1 : \langle V_1, L_1, T_1 \rangle$  est inclus dans le graphe  $G_2 : \langle V_2, L_2, T_2 \rangle$  si  $V_1$  et  $L_1$  sont respectivement sous-ensembles de  $V_2$  et  $L_2$ , et  $T_1$  la restriction de  $T_2$  à  $V_1$  et  $L_1$ . Le graphe  $G_1$  est dit sous-graphe de  $G_2$ . L'union de deux graphes (non nécessairement disjoints) est le graphe résultant de l'union de chaque composant. L'intersection de deux graphes  $G_1$  et  $G_2$  est le plus grand sous-graphe commun à  $G_1$  et  $G_2$ . Dans la suite, nous considérerons l'ensemble des étiquettes non vide, fini et invariant. L'ensemble des sous-graphes d'un graphe donné forme un treilli complet dont le minimum est le graphe vide (tous les ensembles, sauf

les étiquettes sont vides) et le maximum est le graphe donné; on le notera  $\mathcal{G} : \mathcal{P}(G)(\subseteq, \emptyset_g, G, \cup, \cap)$ .

### Détermination du graphe minimal des signatures

On définit maintenant une connexion de Galois (en fait une insertion)  $\mathcal{P}(D) \xleftrightarrow[\gamma]{\alpha} \mathcal{P}(G)$  entre un domaine concret de traces  $\mathcal{D}$  et un domaine abstrait de graphes  $\mathcal{G}$ .

Le domaine concret est le treilli construit avec l'ensemble des traces spécifiées par une SO, donc l'ensemble des traces produites par une SO ( $D = \llbracket SO \rrbracket$ ), qui, dans une vision duale, peut être donné a priori. Par hypothèse il contient tous les préfixes finis et toutes les traces sont issues d'un état initial.

L'ensemble des sous-graphes du graphe abstrait construit à partir de l'ensemble de traces  $D$  constitue un domaine abstrait  $\mathcal{A}$ .

Les fonctions d'abstraction et de concrétisation sont donc définies relativement à un ensemble de traces donné  $D$ . Dans tous les cas on considérera qu'il contient tous les préfixes finis de chaque trace.

On notera d'abord qu'à tout ensemble (singleton, fini ou infini) de traces virtuelles (finies ou infinies)  $D$  on peut associer un graphe (fini ou infini)  $\langle S, R, \Gamma \rangle$ , où  $S$  est l'ensemble des états virtuels apparaissant dans les traces,  $R$  l'ensemble (supposé fini ici) des types d'événements et  $\Gamma = \{(s, s', r) \mid \exists t, e, e', t', tee't' \in D \wedge e = (r, s) \wedge e' = (r', s')\}$ . Le graphe obtenu constitue en général une abstraction. Dans ce cas, à chaque état correspond un nœud du graphe.

Plus généralement on va considérer que l'ensemble des états virtuels (c'est à dire ceux rencontrés dans les traces) peuvent être partitionnés de manière à ce que l'on puisse associer à chaque partie, de manière bi-univoque, un nœud du graphe. Noter qu'une telle partition est toujours possible car elle peut se réduire à l'ensemble des états  $S$  caractérisé par la formule toujours vraie *true*.

Une telle partition sera spécifiée par un ensemble de formules logiques  $\Phi$  tel que tout état virtuel satisfait au moins une et une seule formule de  $\Phi$ <sup>16</sup>. On introduit alors un ensemble de nœuds abstraits en bijection avec  $\Phi$ . On dira qu'un nœud abstrait  $v$  est une abstraction d'un état virtuel concret  $s$ , et on notera  $v = \alpha(s)$ , ssi  $s$  vérifie la propriété de  $\Phi$  correspondant au nœud  $v$ .

A une trace virtuelle  $t$  construite sur un ensemble  $S$  d'états virtuels et  $R$  de types d'actions, on peut alors associer un graphe  $g : \langle V, R, \Gamma \rangle$  ainsi défini.

- $V$  est le sous ensemble des nœuds abstraits tels qu'un état  $s$  au moins rencontré dans la trace  $t$  vérifie la formule correspondante dans  $\Phi$ ,
- à toute transition  $(r, s, s')$  dans  $t$ , correspond une transition  $(\alpha(s), \alpha(s'), r)$  dans  $\Gamma$ .

---

16. Un état correspond à une valeur donnée aux paramètres, soit à une *valuation des paramètres*. Une propriété d'un état est donc exprimée par une formule logique portant sur les paramètres. Toutes les valuations des paramètres qui satisfont cette formule caractérisent donc l'ensemble des états caractérisés par celle-ci.

On définit ainsi une fonction d'abstraction  $\alpha$  pour un ensemble de traces :

Pour une trace  $t$  :  $\alpha(t)$  est le graphe tel que défini ci-dessus  
et pour un ensemble de trace  $d$  :  $\alpha(d) = \bigcup\{\alpha(t)|t \in d\}$

La fonction de concrétisation fait correspondre à un graphe  $a$  de  $\mathcal{A}$  l'ensemble de traces ainsi défini :

$$\gamma(a) = \{t|t \in D \wedge \alpha(t) \subseteq a\}$$

$\mathcal{P}(D) \xrightleftharpoons[\gamma]{\alpha} \mathcal{P}(G)$  est une insertion de Galois. En effet les fonctions  $\alpha$  et  $\gamma$  sont

monotones :  $\forall d, d' \in D : d \subseteq d' \Rightarrow \alpha(d) \subseteq_G \alpha(d')$  et

$$\forall a, a' \in \mathcal{A} : a \subseteq_G a' \Rightarrow \gamma(a) \subseteq \gamma(a'),$$

extensives (4)  $d \subseteq \gamma \circ \alpha(d)$ ,

contractantes (5)  $\alpha \circ \gamma(a) \subseteq_G a$  avec  $\alpha \circ \gamma(a) = a$ .

Il est donc possible de calculer des graphes "couvrants", c'est à dire des graphes  $G$  qui satisfont  $D \subseteq L(G)$ . En effet, par construction on a bien  $D \subseteq L(\alpha(D))$ .

Si l'on dispose d'un opérateur abstrait  $T_{\mathcal{A}}$ , qui vérifie les conditions du théorème 2, il est alors possible de calculer un graphe  $G$  comme point fixe de cet opérateur  $G = lfp T_{\mathcal{A}}$ , lequel sera obtenu après un nombre fini d'itérations, et vérifiera  $D \subseteq \gamma(G) \subseteq L(G)$ .

En son absence, on devra se contenter d'observer des approximations croissantes :  $\alpha(\bigcup_{i=0}^n T_D^i(\emptyset))$ .

Nous n'avons pas décrit ici de méthode automatique ou automatisable pour construire un opérateur abstrait. C'est un travail en cours. On retiendra cependant que cette construction est nécessaire pour prouver la propriété recherchée. Cette démarche s'apparente donc à une démarche de preuve. La méthode proposée sera en particulier toujours applicable si l'ensemble de traces étudié est fini et ne comporte que des traces finies.

Dans le cas où l'on ne dispose que d'approximations croissantes (l'ensemble des traces ou des états est infini), la démarche s'apparente à du test. L'apparition d'anomalie dans le graphe abstrait n'est qu'un symptôme d'incorrection, mais non une certitude. De telles observations peuvent néanmoins être extrêmement utiles en cours de mise au point du modèle.

Enfin on s'est limité ici à ne considérer que des graphes abstraits avec un petit nombre de nœuds, permettant un examen "à vue" d'anomalies de signatures ou de certaines propriétés. La méthode s'applique bien sûr à d'autres propriétés comme des propriétés d'atteignabilité ou de vivacité d'états par exemple. Par ailleurs la méthode présentée, basée sur l'interprétation abstraite, fait partie d'une panoplie de méthodes développées dans le cadre du "model checking" qui montre qu'il est possible de traiter ainsi des systèmes de traces avec un nombre d'états, et mêmes de nœuds abstraits, extrêmement grand [24,22].

**Détermination d'un opérateur abstrait** La détermination d'un opérateur abstrait qui permettra de calculer par approximations successives le graphe minimal des signatures peut s'obtenir en validant certaines propriétés globales de la SO. Le principe est le suivant : étant donné un état courant  $s$  qui vérifie la condition d'application  $c(a, s)$  d'une transition  $T(a, s, s')$ <sup>17</sup>, si cet état appartient à un état abstrait  $i$ , c'est à dire s'il vérifie la formule  $\phi_i(s)$  (la formule dans  $\Phi$  qui caractérise  $i$ ), alors, si l'état d'arrivée  $s'$  satisfait une formule  $\phi_j(s)$ , il y a un arc étiqueté par l'action  $a$  entre les nœuds  $i$  et  $j$  dans le graphe minimal abstrait.

Les formules à vérifier sont en nombre fini et pour chaque action  $a$  et formules de  $\Phi$  ont la forme :

$$F_{i,a,j} : \forall s, s' \quad c(a, s) \wedge \phi_i(s) \wedge T(a, s, s') \rightarrow \phi_j(s')$$

L'opérateur abstrait est alors :

$$T_A(g) = g \cup \{(i, a, j) | F_{i,a,j}\}$$

Le point fixe est alors obtenu en partant du graphe vide d'arcs, mais contenant le nœud abstrait correspondant à la formules de  $\Phi$  satisfaite dans l'état initial.

## 5.5 Validation de traces

Une base de traces est un ensemble de traces collectées à fin d'analyses. Elle est homogène si elle correspond à une certain modèle de production défini par une SO. La question se pose alors de pouvoir certifier que les trace de la base sont bien conformes à ce modèle de manière à pouvoir être exploitées correctement.

Il y a deux niveaux de vérification : l'un est syntaxique, l'autre sémantique. Pour le niveau syntaxique, il suffit d'un analyseur syntaxique du langage dans lequel sont codées les traces.

Au niveau sémantique il y a deux possibilités selon que l'on dispose d'une SO ou d'une SI.

Pour utiliser la SO, il faut que son modèle soit écrit dans un langage réversible, c'est à dire que sa représentation ne se contente pas de simuler la production de trace, mais puisse prendre une trace en entrée et produire une réponse "oui-non", cette trace est conforme parce qu'elle peut être simulée par la SO.

L'utilisation d'une SI qui permet de reconstruire une trace virtuelle "attendue", c'est à dire contenant tous les concepts que l'on est capable d'utiliser pour des analyses, peut également constituer un test de validité suffisant.

Si enfin on dispose d'une SI fidèle à la SO, les deux approches sont alors équivalentes.

---

17. La "fonction" de transition non déterministe de la SO est ici représentée par un prédicat

## 6 Vers une méta-théorie des traces

Une méta-théorie des traces a pour objet principal la méthodologie de développement de traces, c'est à dire l'analyse de l'ensemble des principales manipulations effectuées pour l'élaboration d'une trace. D'une certaine manière la trace d'un processus doit pouvoir être vue comme résultant de la composition des traces de ses composants.

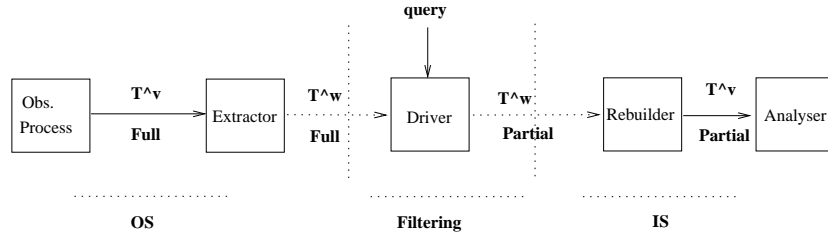
La méthode de développement repose donc sur une décomposition des étapes de production et d'utilisation d'une trace. Elle repose également sur le fait qu'un processus peut lui-même être formé de plusieurs composants avec trois types de combinaisons : par composition (développement en couches), par rassemblement ou fusion (développement indépendant de composants ensuite réunis), et par abstraction (simplification des traces obtenues par les manipulations précédentes). La structure en couches se retrouve par exemple dans le cas d'un logiciel développé "au dessus" d'autres logiciels qui en constituent la ou les briques de base. La structure par rassemblement se retrouve par exemple dans le cas d'un logiciel développé par parties qui sont ensuite réunies. Dans ces deux cas chaque composant est développé isolément et peut produire une trace intégrale propre. La trace intégrale unique du processus considéré est le résultat de combinaisons et transformations des traces intégrales de différents composants. Cette combinaison des traces suit d'une certaine manière celle des composants, mais ne constitue pas une simple juxtaposition de leurs événements, du fait que de nouveaux événements (actions et attributs) peuvent apparaître et que des simplifications peuvent être introduites afin de les rendre plus utilisables.

Avant de poursuivre, il est utile de rappeler les qualités principales recherchées lors de l'élaboration d'une trace : pouvoir couvrir plusieurs processus d'une famille donnée (par exemple plusieurs implantations ou origines différentes), répondre à différents besoins, être susceptible d'extension mais aussi de standardisation (dans la mesure où son champ d'application et d'utilisation est suffisamment étendu), et enfin, disposer de moyens de filtrage aussi généraux que possible (ce qui est lié aux qualités précédentes). Un des objectifs attendus est de disposer d'une spécification de la trace aussi indépendante que possible de sa production comme de son utilisation.

### 6.1 Composants liés au développement d'une trace pour un processus unique

On s'intéresse ici à l'observation d'un processus unique en lui faisant produire une trace. Il y a plusieurs manières de décomposer les étapes liées à la production et l'utilisation d'une telle trace. La Figure 8 montre un enchaînement possible des différents composants. La séparation ainsi mise en évidence est avant tout conceptuelle, mais l'objectif est que les composants aux extrémités de la chaîne soient aussi indépendants que possible l'un de l'autre tant pour leur conception que leur implantation. Le concept de trace intégrale est directement lié à cette indépendance. En effet, les utilisations d'une telle trace pouvant être multiples,

il est souhaitable de pouvoir limiter le plus possible d'éventuelles révisions ou adaptations liées à de nouvelles utilisations. Cette "stabilisation" est obtenue, en principe, en considérant que la trace intégrale contient toutes les informations nécessaires pour toutes ses utilisations potentielles. Seule une partie de la trace intégrale est alors utile pour une utilisation particulière. Cette sous-trace utile peut être obtenue par filtrage de la trace intégrale soit à la source (réalisée par un "pilote"), soit à la réception, avant la "reconstruction".



**Figure 8.** Composants pour la production et l'utilisation d'une trace

On distingue donc 5 composants.

- Processus observé (Observed process)

Le processus observé est supposé décrit de manière plus ou moins abstraite de telle manière que son comportement puisse être simplement décrit par une trace virtuelle, c'est à dire des séquences d'états. Si le processus est déjà décrit de manière formelle, une partie de cette sémantique formelle peut être utilisée pour décrire la SO de la trace (partie fonction de transition). Sur la figure 8, ce composant est celui qui produit une trace virtuelle intégrale, notée ici  $T^v$  ("Full" sur la figure).

- Extracteur (Extractor)

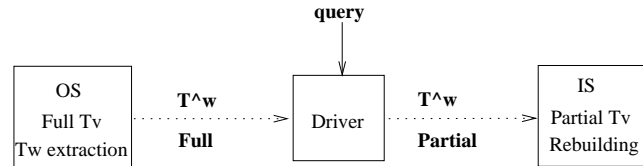
Ce composant correspond à la fonction d'extraction de la trace effective à partir de la trace virtuelle. C'est, en génie logiciel, le "traceur", qui produit la trace effective notée ici  $T^w$  (également intégrale - "Full" sur la figure 8-). On peut le caractériser (et le distinguer sur la figure) sur un plan théorique, mais en pratique il correspond au traceur dont l'implantation, par exemple, dans le cas d'un langage de programmation, impose en général de modifier le code (de l'interpréteur ou du compilateur), ce qui rend les deux premiers composants très interdépendants.

- Pilote (Driver)

Le rôle du composant "pilote" (le nom est inspiré de [65] et sera justifié ultérieurement), est de sélectionner une ou plusieurs sous-traces utiles (on se limite ici à une seule). On suppose ici qu'il opère sur la trace effective intégrale (celle que produit le traceur) et produit donc une trace effective partielle.

Le pilote prend comme donnée une requête (*query*) qui détermine la sous-trace de la trace intégrale à transmettre à l'analyseur. L'origine et la nature d'une telle requête sera examinée ultérieurement.

Dans la figure 8 on a fait le choix que le pilote opère sur la trace effective et non sur la trace virtuelle, même si, sur un plan théorique, la sélection s'effectue sur des paramètres et non simplement sur les attributs<sup>18</sup>.



**Figure 9.** Concepts formels liés à la production et l'utilisation d'une trace

- Reconstructeur (Rebuilder)

Le composant de reconstruction effectue l'opération inverse de l'extraction, au moins sur la partie de la trace effective transmise par le pilote, et reconstruit donc une séquence d'états virtuels partiels. Si la trace vérifie la propriété de fidélité, cela garantit que la trace virtuelle reconstruite contient toute l'information possible, et peut être vue comme une suite d'états virtuels partiels. Dans ce cas aussi la séparation de ce composant de l'analyseur est essentiellement théorique, ces deux composants pouvant être très imbriqués dans une implantation, du fait que la trace virtuelle partielle n'est pas en général explicitement reconstruite.

Ce composant peut aussi avoir une fonction de filtrage non indiquée ici. En effet le filtrage de la trace effective peut être réparti, une partie à la source, une autre lors de l'utilisation. En particulier, dans le cas où le pilote n'existe pas, un analyseur devra lui-même effectuer un filtrage de la trace effective, alors intégrale, du fait qu'il n'utilisera qu'une partie de la trace, celle qui lui est utile. Il serait en effet dispendieux de reconstruire une trace intégrale avant de n'en utiliser qu'une partie. Dans la figure 8 on suppose que la sélection de la sous-trace utile est entièrement effectuée par le pilote.

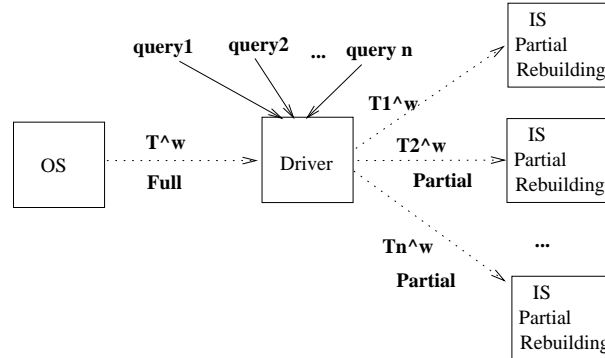
- Analyseur (Analyser)

L'utilisation de la trace est faite par un processus dit "analyseur", mais il peut également s'agir d'un processus quelconque qui utilise la trace comme donnée. On suppose ici qu'il travaille à partir d'une trace virtuelle partielle reconstruite. C'est une manière de mettre en évidence le fait que l'analyseur travaille sur les concepts liés aux paramètres et non simplement sur des attributs (dans la mesure où il y en a qui ne correspondent pas directement à des paramètres).

<sup>18</sup>. En effet, il faut pouvoir retrouver - on dira reconstruire - des paramètres lors de l'utilisation de la trace.

Il peut être utile d'observer que les 5 composants n'en font qu'un seul dans la plupart des environnements de débogage où la partie "débogage" est une couche ad-hoc ajoutée au processus lui-même et activée à la demande. Dans ce cas l'imbrication des composants est maximale. L'approche suggérée ici est qu'un traceur et l'utilisation de la trace qu'il produit peuvent en fait être développés en séparant en composants distincts les différentes phases de production de la trace et de son utilisation. Il faut bien noter également que, bien qu'aussi générale et détaillée que possible, la trace intégrale correspond toujours à un certain niveau (ou degré) d'observation du processus. On imagine mal en effet une trace intégrale qui, dans le cas de processus multi-couches (par exemple dans des systèmes d'exploitation ou des processus naturels), intègre des informations sur l'état détaillé des millions de cellules actives d'un micro-processeur ou de milliers de molécules d'un noyau cellulaire - et ce pour ne rester encore qu'à un niveau relativement superficiel.

L'analyse et la compréhension des cinq composants s'organise en fait en seulement trois étapes formelles, illustrées sur la figure 9.



**Figure 10.** Usages multiples d'une trace intégrale

- Sémantique observationnelle -SO- (Observational Semantics - OS)

C'est la sémantique de la trace telle que définie à la section 4.4, les "fonctions" de transition entre les événements de trace virtuelle et d'extraction de la trace effective.

- Filtrage (Filtering)

Le composant de filtrage produit, à partir d'une trace effective intégrale et d'une requête (*query*), une sous-trace, c'est à dire une trace effective partielle. Le format de la trace effective peut être quelconque. Une bonne approche consiste à utiliser un format standardisé de type XML. Si la requête est exprimée dans un langage compatible, il devient alors possible d'utiliser des outils



standards tant pour valider le format de la trace que pour extraire des sous-traces.

- Sémantique interprétative - SI - (Interpretative Semantics - IS)

C'est la sémantique de la trace telle que définie à la section 4.5 et qui permet une reconstruction d'une partie des paramètres communiqués dans la trace; une partie seulement du fait que la donnée d'entrée est une trace effective partielle. Il ne relève pas de cette étude de formaliser le processus observateur ("Analyser").

L'un des intérêts de la séparation effective des composants et de la trace intégrale est de permettre des utilisations multiples. Ceci est illustré par la figure 10 : Usages multiples d'une trace intégrale. La trace effective intégrale produite par le traceur peut être filtrée par plusieurs requêtes ( $query_1, query_2, \dots, query_n$ ), produisant  $n$  sous-traces effectives qui seront utilisées, après reconstructions (partielles) par  $n$  différents analyseurs.

6.2 Traces de composants imbriqués (composition)

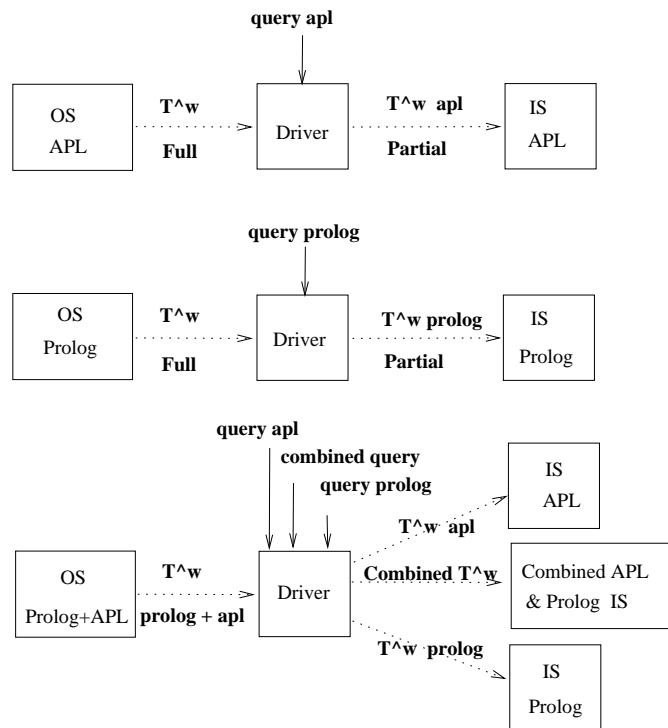


Figure 11. Trace d'une application basée sur Prolog (composition)

On s'intéresse ici à une forme de composition où un composant logiciel est construit au dessus d'un autre. C'est par exemple le cas d'un logiciel développé dans un langage de haut niveau. Selon le point de vue, à partir de la trace de l'application ou celle du système hôte, on parlera d'*élargissement* de la trace du système hôte ou de *raffinement* de la trace de l'application. Ainsi par exemple, dans le cas de la trace Prolog (voir annexe A.2), l'introduction d'événements liés à la machine abstraite WAM seraient un raffinement. A l'inverse, l'introduction dans la même trace d'événements liés aux actions de robots dans une application telle que décrite à l'annexe A.3, peut être vu comme son élargissement. On peut donc voir la composition de deux points de vue : enrichissement de la trace originale du composant "inférieur" pour permettre de nouvelles APL, ou enrichissement de la trace originale du composant "supérieur" de manière à prendre en compte des détails liés à l'exécution de l'APL.

Dans la composition, une trace a pu être spécifiée pour chaque composant séparément et des interfaces d'application (analyseurs spécifiques) ont pu être développés séparément, mais la spécification résultant de leur composition aboutit à une trace unique, plus détaillée et qui supporte toutes les interfaces qui ont pu être développées séparément, moyennant un filtrage approprié.

La figure 11 montre les étapes d'intégration de deux traces de manière à en obtenir une seule qui les contienne toutes les deux.

Les deux premières lignes de développement correspondent à l'élaboration de chaque trace séparément. La troisième est la ligne résultant de l'intégration des deux traces avec deux utilisations possibles.

Ce qui est illustré ici, de manière en apparence symétrique, c'est l'élargissement de la trace Prolog pour inclure celle de l'application ou le raffinement de celle de l'application en y incluant des événements concernant la couche d'implantation. En fait, et pour des raisons d'efficacité de la trace intégrale, on cherchera à introduire dans la trace Prolog des événements d'identification et de coordination avec les événements liés à l'application. Il faudra aussi veiller à ce que le langage d'interrogation soit aussi extensible, mais le plus simplement possible.

Pour illustrer la démarche, on considère une application d'analyse démographique (cf. annexe A.1) qui utilise la fonction de Fibonacci écrite en Prolog. Par simplicité on se limitera à cette seule fonction. La trace associée à cette application est spécifiée par la SO suivante, décrite à l'annexe A.1.

**SO Fibonacci** (cf. A.1) :

Etat virtuel  $S_P : \mathcal{N}_+^*$  (1 paramètre : listes de nombres entiers positifs)

Actions  $R_P : \{\text{Mg}\}$

Trace  $A_P : \mathcal{N}_+$  (hors chrono)

Etat initial :  $S_0 : [1, 1]$ .

**AType** : Mg

**ACond** :  $\{ true \}$

**ECond** :  $\{ true \}$

**VSEffect** :  $\{ v \leftarrow \text{plast}(s) + \text{last}(s), \quad s' \leftarrow s \circ [v] \}$

**Etrace** :  $\{ Mg, v \}$

Une implantation possible de la fonction en Prolog est :

```
fibonacci(0,[1,1]).
fibonacci(N, [C,A,B|T]) :- N>0, N1 is N-1, fibonacci(N1,[A,B|T]), C is A+B.
```

Pour obtenir une telle trace, il sera nécessaire, sur une plateforme courante, d'instrumenter le programme, ou de l'exécuter en mode débogage, de manière à obtenir une trace comme ci-dessous (trace générique obtenue avec la SO en Prolog de l'annexe B.1).

```
[1, Intfb, [1,1]]
[2, Mg, 2 ]
[3, Mg, 3 ]
[4, Mg, 5 ]
[5, Mg, 8 ]
[6, Mg, 13 ]
```

Si l'on opère en mode "trace" de Prolog, la trace raffinée de l'application ou élargie de Prolog fera apparaître les événements des deux traces imbriquées, soit, (trace générique obtenue avec la SO composée de l'annexe B.5 et le programme) :

```
g: goal :- apl.
c1: fib.
c2: fib :- apl0, fib, apl0.
c3: apl :- fib.
c4: apl0.

[58,16,6, Call, apl0, c4, []]
[59,16,6, Exit, apl0]
[60,17,6, Call, fib, c1, [c2]]
[61,17,6, Exit, fib]
[62,17,6, Intfb,[1,1]]      ****
[63,18,6, Call, apl0, c4, []]
[64,18,6, Exit, apl0]
[65,12,5, Exit, fib]
[66,12,5, Mg, 2]           ****
[67,19,5, Call, apl0, c4, []]
[68,19,5, Exit, apl0]
[69,8, 4, Exit, fib]
[70,8, 4, Mg, 3]          ****
[71,20,4, Call, apl0, c4, []]
[72,20,4, Exit, apl0]
[73,5, 3, Exit, fib]
[74,5, 3, Mg, 5]          ****
[75,21,3, Call, apl0, c4, []]
[76,21,3, Exit, apl0]
[77,3, 2, Exit, fib]
```

[78,3, 2, Mg, 8] \*\*\*\*  
 [79,2, 1, Exit, apl]

La question qui se pose ici est de spécifier l'imbrication des deux traces à partir des SO de Prolog et de celle de Fibonacci.

On peut remarquer d'abord que par soucis d'homogénéité avec la trace Prolog des attributs ont été rajoutés à la trace originale de l'application. Il s'agit pour ce cas, qui correspond à la trace de GNU-Prolog, de la profondeur dans l'arbre de preuve et le numéro du nœud concerné. Par ailleurs les chronos ont été fusionnés. Enfin un événement de trace de l'application n'apparaît qu'après un événement bien précis de la trace Prolog. Une des règles de la SO de Prolog qui provoque la production d'un événement de trace de Fibonacci est en particulier (l'action de Prolog qui déclenche l'événement de trace de l'application).

**Extrait de la SO de Prolog** (cf. A.2) :

Etat virtuel  $S_P : \{T, u, n, nu, pd, cl, fst, ct, flr, bkt, prog\}$  (11 paramètres)  
 Actions  $R_P : \{\text{Init, CallSu1, CallFa, CallFaCl, CallSu2, Exit1, ExitR, Exit2, FailU, FailRdo, FailR, Rdo1, RdoF, Rdo2, Final}\}$   
 Trace  $A_P : \{r, l, port, p, c, cl\}$  (hors chrono)  
 où  $port \in \{\text{Init, Call, Exit, Fail, Redo, End}\}$ .

**AType** : Exit1

**ACond** :  $\{\neg fst(u) \wedge u \neq \epsilon \wedge \neg mhn(b(u)) \wedge \neg ct \wedge \neg bkt \wedge \neg flr\}$

**ECond** :  $\{scs(T, u, p, \Theta)\}$

**VSEffect** :  $\{u' \leftarrow pt(u), pd' \leftarrow updt(pd, \{u\}, \{(u, p)\})\}$

**Etrace** :  $\{nu(u), lp(u), \text{Exit}, p\}$

L'aspect "composition" intervient dans le fait que cette opération n'est pas tout à fait symétrique : l'initialisation de l'exécution de la couche inférieure intervient toujours avant celle de la couche supérieure.

Les paramètres du nouvel état virtuel sont l'union des paramètres de chaque état virtuel, plus un paramètre de synchronisation  $ap$  qui est soit faux (le niveau inférieur peut émettre la trace), soit vrai et porteur d'informations pour la génération de la trace du niveau supérieur. Les nouvelles actions sont l'union des actions.

Etat virtuel  $S_P : \{t, u, n, nu, pd, cl, fst, ct, flr, bkt, prog, s, ap\}$  (13 param.)

Actions  $R_P : \{\text{Init, CallSu1, CallFa, CallFaCl, CallSu2, Exit1, ExitR, Exit2, FailU, FailRdo, FailR, Rdo1, RdoF, Rdo2, Final, Mg}\}$

Trace  $A_P : \{r, l, act, \{p, c, cl\}|\{v\}\}$  (hors chrono)

où  $act \in \{\text{Init, Call, Exit, Fail, Redo, End, Intfb, Mg}\}$ .

Les transitions sont modifiées de telle manière que le paramètre  $s$  (de l'état virtuel associé à l'application) soit modifié seulement au moment où un succès du calcul de la fonction  $fib$  est reconnu. De manière à préserver la présentation indépendante des transitions, on introduit également un paramètre de synchronisation qui n'est pas destiné à apparaître dans les événements de trace. Les SO sont légèrement modifiées pour tenir compte de cette synchronisation, et les deux nouvelles règles parmi les plus concernées sont alors :

**AType** : Exit1

**ACond** :  $\{\neg fst(u) \wedge u \neq \epsilon \wedge \neg mhnb(u) \wedge \neg ct \wedge \neg bkt \wedge \neg flr \wedge \neg ap\}$

**ECond** :  $\{scs(T, u, p, \Theta)\}$

**VSEffect** :  $\{u' \leftarrow pt(u), pd' \leftarrow updt(pd, \{u\}, \{(u, p)\})\}$   
 $(prd(p) = fib \Rightarrow (ap' \leftarrow ap(nu(u), lp(u), u)))$ <sup>19</sup>.

**Etrace** :  $\{nu(u), lp(u), \mathbf{Exit}, p\}$

**AType** : Mg

**ACond** :  $\{ap(n1, n2, v) \wedge first(cl(v)) = c2\}$  ( $c2$  est la clause récursive de la définition de la fonction de Fibonacci)

**ECond** :  $\{true\}$

**VSEffect** :  $\{n \leftarrow plast(s) + last(s), s' \leftarrow s o [n], ap \leftarrow false\}$

**Etrace** :  $\{n1, n2, Mg, v\}$

Les autres modifications concernent les autres transitions de la SO de Prolog qui ne peuvent s'effectuer que lorsque l'application n'est pas en cours de trace ( $\neg ap$  dans les conditions), et l'événement correspondant à l'initialisation de la trace de l'application.

On voit que la nouvelle SO contient des paramètres et attributs liés à une application particulière, mais la nouvelle trace contient toutes les informations utiles pour produire l'une ou l'autre des trace originales et leurs sous-traces (section 6.4).

Remarque : les paramètres de la SO composée ne sont pas indépendants<sup>20</sup>. En effet, l'évolution de l'état  $s$  de la fonction de Fibonacci peut se déduire de la seule trace Prolog, puisqu'il suffit d'y détecter un "exit" concernant la prédication  $fib$ . Cette dépendance des paramètres est un autre aspect de la dissymétrie de la composition. La SO correspondante pourrait alors se limiter à la SO originale de Prolog modifiée, c'est à dire qu'au lieu d'ajouter des événements à la trace de Prolog, on y ajoute seulement des attributs. Il y a donc deux cas :

**AType** : Exit1

**ACond** :  $\{\neg fst(u) \wedge u \neq \epsilon \wedge \neg mhnb(u) \wedge \neg ct \wedge \neg bkt \wedge \neg flr \wedge$

$prd(p) = fib \wedge ch(cl(u)) = c1\}$  (Le prédicat résolu est  $fib$  avec la clause  $c1$ )

**ECond** :  $\{scs(T, u, p, \Theta)\}$

**VSEffect** :  $\{u' \leftarrow pt(u), pd' \leftarrow updt(pd, \{u\}, \{(u, p)\})\}$   
 $s' \leftarrow [1, 1]\}$

**Etrace** :  $\{nu(u), lp(u), \mathbf{Exit}, p, intfb([1, 1])\}$

et

**AType** : Exit1

19.  $nu(u)$ ,  $lp(u)$  et  $u$  des valeurs d'attributs "stockés" de manière à pouvoir être utilisées comme attributs de l'événement suivant

20. La notion d'indépendance (voir aussi la section 4.7) entre paramètres ou entre attributs dépend des fonctions d'extraction et de reconstruction. La transformation proposée ici est liée à une modification de ces fonctions et non simplement à une propriété intrinsèque de liaison.

**ACond** :  $\{\neg fst(u) \wedge u \neq \epsilon \wedge \neg mhnb(u) \wedge \neg ct \wedge \neg bkt \wedge \neg flr \wedge$   
 $prd(p) = fib \wedge \wedge ch(cl(u)) = c2\}$  (Le prédicat résolu est **fib** avec la clause  
c2)  
**ECond** :  $\{scs(T, u, p, \Theta)\}$   
**VSEffect** :  $\{u' \leftarrow pt(u), pd' \leftarrow updt(pd, \{u\}, \{(u, p)\})\}$   
 $v \leftarrow plast(s) + last(s), s' \leftarrow s \circ [v]\}$   
**Etrace** :  $\{nu(u), lp(u), \mathbf{Exit}, p, mg(v)\}$

La trace effective composée aurait alors la forme suivante (extraite de l'exemple de la section B.5).

```

[67, 22, 7, Call, apl0, c4, []]
[68, 22, 7, Exit, apl0]
[69, 23, 7, Call, fib, c1, [c2]]
[70, 23, 7, Exit, fib, intf([1,1])] ***
[71, 24, 7, Call, apl0, c4, []]
[72, 24, 7, Exit, apl0]
[73, 17, 6, Exit, fib, mg(2) ]      ***
[74, 25, 6, Call, apl0, c4, []]
[75, 25, 6, Exit, apl0]
[76, 12, 5, Exit, fib, mg(3) ]      ***
[77, 26, 5, Call, apl0, c4, []]
[78, 26, 5, Exit, apl0]
[79, 8, 4, Exit, fib, mg(5) ]       ***
[80, 27, 4, Call, apl0, c4, []]
[81, 27, 4, Exit, apl0]
[82, 5, 3, Exit, fib, mg(8) ]       ***
[83, 28, 3, Call, apl0, c4, []]

```

Trace simulée avec le programme :

```

g: goal :- apl.
c1: fib(1, [1, 1]).
c2: fib :- apl0, fib(A, B), apl0.
c3: apl :- fib(n, _).
c4: apl0.

```

Une troisième approche serait de ne rien mettre dans la trace de la couche inférieure (ici Prolog) et de sélectionner une sous-trace à partir de laquelle la trace virtuelle de l'application peut être reconstruite. Par exemple, à partir de la trace précédente, la sous-trace suivante permet de reconstruire la trace de l'application (ici la fonction fib) avec l'état initial donné [1,1].

```

[65, 22, 7, Call, apl0, c4, []]
[66, 22, 7, Exit, apl0]
[67, 23, 7, Call, fib(_13112, _13113), c1, [c2]]
[68, 23, 7, Exit, fib(_13432, _13433)] ***

```

```

[69, 24, 7, Call,  apl0,c4, []]
[70, 24, 7, Exit,  apl0]
[71, 17, 6, Exit,  fib(_14090,_14091)] ***
[72, 25, 6, Call,  apl0,c4, []]
[73, 25, 6, Exit,  apl0]
[74, 12, 5, Exit,  fib(_14708,_14709)] ***
[75, 26, 5, Call,  apl0,c4, []]
[76, 26, 5, Exit,  apl0]
[77,  8, 4, Exit,  fib(_15286,_15287)] ***
[78, 27, 4, Call,  apl0,c4, []]
[79, 27, 4, Exit,  apl0]
[80,  5, 3, Exit,  fib(_15824,_15825)] ***
[81, 28, 3, Call,  apl0,c4, []]
[82, 28, 3, Exit,  apl0]
[83,  3, 2, Exit,  fib(n,_16173)]      ***
[84,  2, 1, Exit,  apl]
[85,  1, 0, Exit,  goal]

```

Trace simulée avec le même programme. Le résultat `fib(1, [1, 1])` n'apparaît pas dans l'événement 68 car la simulation ici ne prend pas en compte d'unification.

Comme les résultats des calculs simulés dans la SO de la fonction de Fibonacci ne figurent plus dans ce modèle de trace, c'est le reconstituteur qui devra retrouver avec ces éléments de trace les valeurs des arguments de la fonction. On voit que cette reconstruction, en l'absence d'éléments plus précis dans la trace peut s'avérer extrêmement complexe (prise en compte d'un nombre non borné d'événements antérieurs).

### 6.3 Traces de composants associés (fusion)

On considère maintenant un système constitué de plusieurs composants plus ou moins autonomes qui produisent chacun une trace avec sa propre sémantique, et on s'intéresse à la trace unique produite par l'ensemble des composants regroupés en un seul processus. La différence par rapport à la composition est que la relation entre les composants n'est pas hiérarchique et que l'on ne peut espérer dériver l'une de l'autre; ils peuvent avoir des dépendances entre eux mais qui relèvent plus de communications entre processus ou d'un contexte commun. Ces dépendances traduisent des contraintes entre les composants qui se retrouvent dans l'ordre des événements des traces fusionnées.

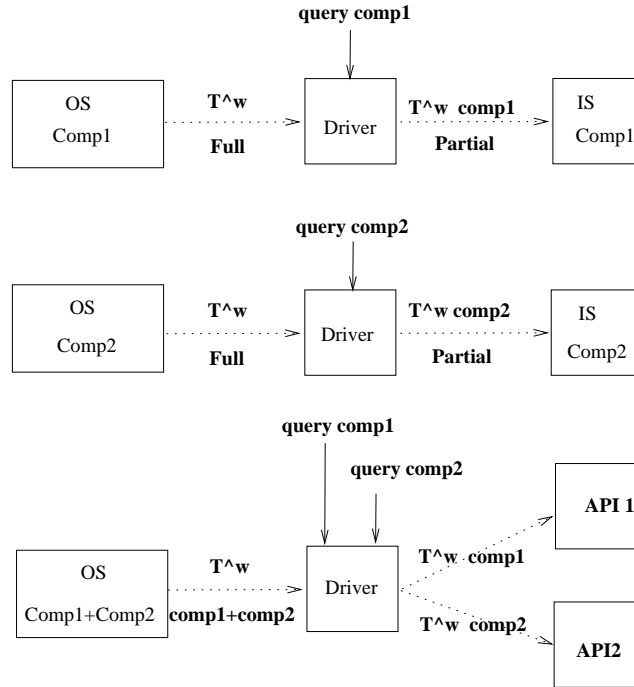


Figure 12. Fusion de deux traces

La figure 12 illustre la fusion de deux traces.

Pour illustrer ce type d'opération sur les traces, on considère l'exemple des "robots" de l'annexe A.3 pour laquelle les paramètres de l'état virtuel sont :

- *house* : description of the context of agent evolution : rooms, doors and connections in the house ;
- *inroom* : position of the agent or objet in a room of the house ;
- *atdoor* : position of the agent wrt the doors of a room ;
- *closed* : state of the doors of the house ;
- *carry* : the list of objects carried by some agent.
- *has\_code\_key* : the list of keys (or code) some agent has to open a closed door.

et la règle suivante de ramassage d'un objet par un agent :

- **A**Type : pickup
- **A**Cond :  $\{inroom(a) = inroom(o) = r \wedge o \notin carry(a) \wedge \neg is\_at\_any\_door(a)\}$
- **E**Cond :  $\{\exists r' request(r, o, r')\}$
- **V**SEffect :  $\{carry(a) \leftarrow insert(carry(a), o)\}$
- **E**trace :  $\{pickup\ a\ o\ r\}$



On suppose maintenant qu'il y a deux agents tels que décrits à l'annexe A.3, et la règle de la SO correspondant à la saisie d'un objet

Si chaque agent appartient à deux univers complètement distincts (deux maisons différentes, des agents différents qui ne communiquent pas), la SO fusionnée ne peut que produire dans un ordre indéterminé les événements des deux traces, et cette SO peut être décrite par l'union des paramètres et des règles, moyennant un renommage des prédicats ou fonctions utilisés. Dans ce cas, cette règle devrait alors être réécrite, par exemple (ou utilise les lettres  $A$  et  $B$  pour différencier les contextes), le nouvel état virtuel étant décrit par les paramètres :

$houseA, houseB, iroomA, iroomB, atdoorA, atdoorB, closedA, closedB, carryA, carryB, has\_code\_keyA, has\_code\_keyB$ , où  $houseA, houseB$  sont décrits avec les prédicats également différents ainsi que des noms d'agents et objets différents.

Les actions de la SO fusionnée sont l'union des actions renommées des SO respectives.

- **AType** : pickupA
- **ACond** :  $\{inroomA(a) = inroomA(o) = r \wedge o \notin carryA(a) \wedge \neg is\_at\_any\_doorA(a)\}$
- **ECond** :  $\{\exists r' requestA(r, o, r')\}$
- **VSEffect** :  $\{carryA(a) \leftarrow insert(carryA(a), o)\}$
- **Etrace** :  $\{pickup\ a\ o\ r\}$
  
- **AType** : pickupB
- **ACond** :  $\{inroomB(a) = inroomB(o) = r \wedge o \notin carryB(a) \wedge \neg is\_at\_any\_doorB(a)\}$
- **ECond** :  $\{\exists r' requestB(r, o, r')\}$
- **VSEffect** :  $\{carryB(a) \leftarrow insert(carryB(a), o)\}$
- **Etrace** :  $\{pickup\ a\ o\ r\}$

Noter que si les agents, objets, pièces et portes ont des noms distincts, le nom de l'action qui apparaît dans un événement de trace peut ne pas être changé.

Context and Types:

roomA(r1A), roomA(r2A), roomA(r3A),  
doorA(d12A), ...

...

roomB(r1B), ...  
doorB(d12B), ...

...

Possible initial state

inroomA(a1A, r1A),  
inroomA(o1A, r1A),  
closedA(d12A),

```

haskeyA(a1A, [d12A]).
inroomB(a1B, r1B),
inroomB(o1B, r1B),
closedA(d12B),
haskeyB(a1B, [d12B]).

```

S'il n'y a aucune contrainte entre les processus ni contexte commun, toutes les combinaisons des événements des deux traces sont possibles pour une fusion. Dans le cas contraire, des contraintes peuvent se traduire par des événements de trace et limiter les combinaisons possibles des événements.

Un cas plus courant de fusion se produit quand une partie du contexte est commun. Par exemple dans le cas de l'exemple ci-dessus, si on considère seulement deux agents distincts dans le même contexte. Chacun pris isolément produit sa trace ; mais la trace globale n'est pas une combinaison quelconque des actions comme précédemment. L'état virtuel global est alors

*house, inroom, atdoor, closed, carry, has\_code\_key*, où seuls les noms d'agents diffèrent.

Celles-ci doivent satisfaire quelques contraintes, par exemple que les deux agents ne peuvent prendre simultanément le même objet, ou, plus généralement qu'un objet n'est pas déjà porté.

- **A**Type : pickup
  - **A**Cond :  $\{inroom(a) = inroom(o) = r \wedge \forall \neg carried(o) \wedge \neg is\_at\_any\_door(a)\}$
  - **E**Cond :  $\{\exists r' request(a, r, o, r')\}$
  - **V**SEffect :  $\{carry(a) \leftarrow insert(carry(a), o)\}$
  - **E**trace :  $\{pickup\ a\ o\ r\}$
- with  
 $carried(o) \Leftrightarrow \exists o \in carry(a)$

House (context)

```

room(r1),room(r2),room(r3),
door(d12),...
...
Initial state

```

```

inroom(a1, r1),
inroom(a2, r1),
inroom(o1, r1),
closed(d12),
haskey(a1, [d12]).

```

L'exemple de trace suivant "explique" le passage de l'état initial ci-dessus à un état où les deux agents se retrouvent dans la même pièce mais en suivant des itinéraires différents.

Nouvel état : l'objet a été ramassé par l'agent a2, et les deux se retrouvent dans la pièce r2.

```
inroom(a1,r2)
inroom(a2,r2)
carry( a2,o1)
inroom(o1,r2)
```

La trace correspondante (une parmi de nombreuses combinaisons possibles) :

```
1 pickup a2 o1 r1
2 walk a2 d13
3 walk a1 d12
4 open a1 d12
5 walk a2 r3
6 walk a2 d23
7 walk a2 r2
8 walk a1 r2
```

#### 6.4 Sous-traces (sélection)

Une sous-trace est la sous-trace effective que l'on obtient à partir d'une question ("query") traitée par le pilote ("driver", voir la figure 9) sur une trace effective ; on parlera de *sélection*. De telles requêtes proviennent a priori d'un processus que nous avons caractérisé comme analyseur car c'est le processus observant qui définit les informations qu'il est susceptible de traiter, mais elles peuvent éventuellement provenir d'autres processus.

Le pilote étant un composant indépendant, il peut appliquer toutes sortes de requêtes portant sur un événement ou sur plusieurs événements à la fois. Il peut utiliser n'importe quel critère de choix portant donc sur les attributs de la trace effective et/ou sur des suites contigues ou non d'événements. La seule propriété de la sous-trace est alors d'être un sous-ensemble, ordonné par le chrono, des événements de la trace initiale, et portant sur un sous-ensemble d'attributs. Il est alors possible d'attribuer à la sous-trace un chrono croissant pour en faire une sous-trace contigue. On considérera ici que la sous-trace est contigue de manière à rester dans le domaine des traces contigues telles que défini à la section 4. Par ailleurs le chrono original peut être introduit comme un nouvel attribut. Ce point (introduction d'attributs propres à une transformation) n'est pas étudié ici.

La notion de sous-trace est également destinée à capturer la notion d'"oubli" d'informations dans un etrace.

Plus formellement une sous-trace d'une trace effective  $T_t^w = \langle s_0, \overline{w}_t \rangle$ , ( $s_0$  est un état virtuel initial) définie sur l'ensemble d'attributs  $A$  est la trace  $T_t'^w = \langle s_0, \overline{w}'_t \rangle$  définie sur le sous-ensemble d'attributs  $A'$ , telle que  $t' \leq t$ ,  $\overline{w}'_t \ll \overline{w}_t$ , où  $\ll$  dénote la double inclusion des séquences d'événements : sous-séquence et sous-ensemble d'attributs dans les événements.

Par exemple, la trace :

```
1 pickup a2
2 pickup a2
3 walk a1
4 walk a2
5 walk a2
```

est une sous-trace de :

```
1 pickup a2 o1 r1
2 drop a2 o1 r1
3 pickup a2 o1 r1
4 walk a2 d13
5 walk a1 d12
6 open a1 d12
7 walk a2 r3
8 walk a2 d23
9 walk a2 r2
10 walk a1 r2
```

puisqu'elle contient tous les événements pairs et comme seuls attributs le type d'action et l'agent concerné.

Cet exemple montre les limites de cette définition des sous-traces. La relation sémantique avec la trace d'origine a été en partie perdue. Il n'existe aucun moyen simple pour donner un sens à la traces obtenue (trop d'interprétations différentes sont possibles). Même si une telle sous-trace peut être utile (par exemple dans le cas d'un simple "monitoring"), il est clair que le sous-trace ne contient qu'une information très dégradée par rapport la scène observée. Il sera par exemple possible de déduire d'une telle trace que "à un certain moment, a2 a commencé à marcher" ; mais il n'est pas possible de comprendre vraiment pourquoi.

Here is another subtrace :

```
1 walk a2 d13
2 walk a1 d12
3 walk a2 r3
4 walk a2 d23
5 walk a2 r2
6 walk a1 r2
```

On voit bien que cette sous-trace a un sens précis en regard du contexte, et ceci provient de ce qu'elle a une sémantique interprétative. Il est également possible de lui associer une SO. Ceci vient du fait que l'on peut lui associer un sous-état virtuel dont cette sous-trace décrit l'évolution.

Si donc on considère le sous-état virtuel avec les paramètres :

**house, inroom, atdoor**

On peut associer des SO et SI réduites où seules les actions **gotodoor** et **enteroom** sont prises en compte.

On obtient alors pour la nouvelle SO :

- **AType** : gotodoor
- **ACond** :  $\{inroom(a) = r \wedge \exists r' connect(d, r, r') \wedge \neg is\_at\_any\_door(a)\}$
- **ECond** :  $\{\}$
- **VSEffect** :  $\{atdoor(a) \leftarrow d\}$
- **Etrace** :  $\{walk\ a\ d\}$
  
- **AType** : enteroom
- **ACond** :  $\{atdoor(a) = d \wedge inroom(a) = r \wedge connect(d, r, r')\}$
- **ECond** :  $\{\}$
- **VSEffect** :  $\{inroom(a) \leftarrow r',\ atdoor(a) \leftarrow \perp\}$
- **Etrace** :  $\{walk\ a\ r'\}$

Et pour la nouvelle SI :

- **AType** : gotodoor
- **Utrace** :  $\{walk\ a\ d\}$
- **AICond** :  $\{door(d)\}$
- **RVState** :  $\{atdoor(a) \leftarrow d\}$
  
- **AType** : enteroom
- **Utrace** :  $\{walk\ a\ r\}$
- **AICond** :  $\{room(r)\}$
- **RVState** :  $\{inroom(a) \leftarrow r,\ atdoor(a) \leftarrow \perp\}$

On observe dans ce cas que la SI est fortement fidèle à la SO. Ceci nous amène à définir une notion plus restrictive de sous-trace que nous appellerons sous-trace fidèle, laquelle n'a de sens que dans le cas de SI fidèle.

Pour être une sous-trace, il doit être possible de reconstituer une sous-trace virtuelle à partir de celle-ci et réciproquement (la sous-trace affective doit pouvoir être considérée comme extraite d'une sous-trace virtuelle). En d'autres termes, la sous-trace doit avoir une SI fidèle à une SO réduite. Les figures 11 et 12 illustrent le fait que la trace résultant d'une composition ou d'une fusion contient les traces originales comme des sous-traces fidèles qui peuvent être sélectionnées par le pilote.

Ainsi la trace fusionnée précédente contient ses deux sous-traces initiales :

trace fusionnee	sous-trace agent a1	sous-trace agent a2
1 pickup a2 o1 r1	1 pickup a2 o1 r1	
2 drop a2 o1 r1	2 drop a2 o1 r1	
3 pickup a2 o1 r1	3 pickup a2 o1 r1	
4 walk a2 d13	4 walk a2 d13	

5	walk	a1	d12					1	walk	a1	d12
6	open	a1	d12					2	open	a1	d12
7	walk	a2	r3	5	walk	a2	r3				
8	walk	a2	d23	6	walk	a2	d23				
9	walk	a2	r2	7	walk	a2	r2				
10	walk	a1	r2					3	walk	a1	r2

De même pour la trace composée de la section 6.2,

```
[67, 22, 7, Call, apl0, c4, [] ]
[68, 22, 7, Exit, apl0]
[69, 23, 7, Call, fib, c1, [c2]]
[70, 23, 7, Exit, fib, intf([1,1])]
[71, 24, 7, Call, apl0, c4, []]
[72, 24, 7, Exit, apl0]
[73, 17, 6, Exit, fib, mg(2) ]
[74, 25, 6, Call, apl0, c4, []]
[75, 25, 6, Exit, apl0]
[76, 12, 5, Exit, fib, mg(3) ]
[77, 26, 5, Call, apl0, c4, []]
[78, 26, 5, Exit, apl0]
[79, 8, 4, Exit, fib, mg(5) ]
[80, 27, 4, Call, apl0, c4, []]
[81, 27, 4, Exit, apl0]
[82, 5, 3, Exit, fib, mg(8) ]
[83, 28, 3, Call, apl0, c4, []]
```

qui contient aussi les traces de chaque niveau comme deux sous-traces :

Prolog	Demographie
[67, 22, 7, Call, apl0, c4, [] ]	
[68, 22, 7, Exit, apl0]	
[69, 23, 7, Call, fib, c1, [c2]]	
[70, 23, 7, Exit, fib]	[1, Intfb, [1,1]]
[71, 24, 7, Call, apl0, c4, []]	
[72, 24, 7, Exit, apl0]	
[73, 17, 6, Exit, fib]	[2, Mg, 2 ]
[74, 25, 6, Call, apl0, c4, []]	
[75, 25, 6, Exit, apl0]	
[76, 12, 5, Exit, fib]	[3, Mg, 3 ]
[77, 26, 5, Call, apl0, c4, []]	
[78, 26, 5, Exit, apl0]	
[79, 8, 4, Exit, fib]	[4, Mg, 5 ]
[80, 27, 4, Call, apl0, c4, []]	
[81, 27, 4, Exit, apl0]	
[82, 5, 3, Exit, fib]	[5, Mg, 8 ]
[83, 28, 3, Call, apl0, c4, []]	

La condition de fidélité impose que la sélection porte implicitement sur les paramètres, c'est à dire qu'une partie suffisante (pour pouvoir reconstruire un paramètre) des attributs liés à un même paramètre se retrouve dans la sous-trace.

Une sous-trace fidèle sera donc définie à partir d'une sous-trace virtuelle munie d'une SI fidèle, comme la trace effective dont la trace virtuelle est définie par un sous-ensemble de paramètres et un sous-ensemble d'actions avec lesquels il est possible de décrire extraction et reconstruction. Plus formellement, étant donnée une SO

$\langle S, I_f, R_O, A, E, T, S_0 \rangle$ , la donnée de  $S' \subseteq S, R'_O \subseteq R_O, S'_0 \subseteq S_0$  tels que les fonctions de transition  $T$  et d'extraction  $E$  soient toujours définies (ce qui entraîne que la fonction de reconstruction est définie)<sup>21</sup>.

*Example 6.* On considère la trace de Prolog dont la SO est décrite avec l'état  $S_P$  :  $\{T, u, n, nu, pd, cl, fst, ct, flr, bkt, prog\}$ . En ne considérant que les paramètres  $S'_P : \{T, u, nu, pd\}$  et en gardant toutes les actions, on obtient une sous-trace qui ne contient que la seule description de la construction de squelettes d'arbre de preuve. Les attributs correspondants et à partir desquels il est possible de reconstruire ces squelettes sont  $\mathbf{r}$ , le numéro du nœud concerné par l'événement de trace (soit  $nu(u)$ ), le port (**Init**, **Call**, **Exit**, **Fail**, **Redo**, **End**) et  $\mathbf{p}$  la prédication (soit  $pd(u)$ ).

Il n'est pas possible pour la trace Prolog définie ici de trouver un sous-ensemble stricte d'actions qui puisse constituer une sous-trace fidèle.

◊

En pratique il faut distinguer deux types de sous-traces : celles qui ont les mêmes actions virtuelles ( $R'_O = R_O$ ) et celles pour lesquelles  $R'_O \subset R_O$ . Dans le premier cas, on garde toutes les actions donc tous les événements de trace. La sélection porte seulement sur des attributs qui permettent de reconstruire des paramètres (c'est éventuellement une identité). Dans le second cas il en est de même, mais en plus seuls les événements correspondant à des actions de  $R'_O$  sont sélectionnés.

## 6.5 Trace dérivée (abstraction)

Les procédés de composition et fusion peuvent conduire à introduire trop de détails dans la trace unique finale. Une telle trace peut être considérée comme une *trace première* [74] dont il faut extraire une trace plus abstraite qui montre l'évolution d'objets plus riches de sens pour de nouvelles analyses. Cette nouvelle trace sera appelée *trace dérivée*.

La figure 13 illustre la création d'une trace dérivée à partir d'une trace première.

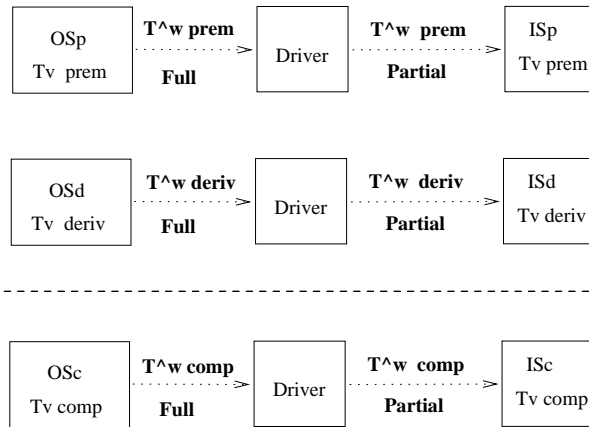
---

21. En fait, seule la partie schéma de trace est concernée.



**Figure 13.** Obtention d'une trace dérivée à partir d'une trace première

La transformation est décrite avec des traces virtuelles bien qu'elles soient en général en pratique définies sur des traces effectives. On suppose que la trace dérivée possède elle aussi un modèle dérivé spécifique, c'est à dire ses propres SO et SI. La figure 14 illustre le fait qu'il est alors possible de les composer de manière à éventuellement enrichir la trace première avec de nouveaux paramètres dérivés.



**Figure 14.** Enrichissement d'une trace première par composition avec une trace dérivée

On peut distinguer ainsi deux formes d'abstraction (vue à partir de la trace virtuelle) : l'introduction de *paramètres redondants*, c'est à dire calculés à partir des paramètres existants et ajoutés comme nouveaux paramètres, avec éventuellement élimination de paramètres ayant servi à les calculer. C'est en quelques sortes un remplacement de paramètres. Cette démarche peut être intéressante dans le cas où l'utilisation est déjà lente et il y a avantage à équilibrer les calculs en ralentissant le traceur, ou bien si le nouveau paramètre remplace avantageusement plusieurs autres avec un meilleure rapidité de fonctionnement du traceur.

Mais il y a une forme plus profonde d'abstraction qui consiste à réaliser un nouveau modèle de trace, c'est à dire à modifier les actions et les paramètres et se référer à une nouvelle SO, plus "abstraite". Les rapports entre l'ancienne et la nouvelle SO peuvent se formaliser et les deux peuvent également se composer pour produire une nouvelle trace intégrale.



On peut illustrer cette démarche avec l'exemple des robots. Si on considère la trace modélisée de l'annexe A.3, on peut par exemple ajouter un paramètre redondant qui contribue à donner une vue plus synthétique des mouvements. Ainsi la trace première suivante :

```
[ 1, walk, a1, d13]
[ 2, walk, a1, r3 ]
[ 3, walk, a1, d13]
[ 4, walk, a1, r1 ]
[ 5, walk, a1, d12]
[ 6, open, a1, d12]
[ 7, walk, a1, r2 ]
[ 8, walk, a1, d12]
[ 9, walk, a1, r1 ]
[10, walk, a1, d13]
```

peut être enrichie d'un paramètre qui décrit simplement les changements de pièces et associé à l'arrivée dans une pièce. Ses valeurs sont `go_to` ("se rendre dans telle pièce"), `back_to` ("retour dans la pièce"), valeur réservée au retour immédiat.

```
[ 1, walk, a1, d13]
[ 2, walk, a1, r3 , go_to]
[ 3, walk, a1, d13]
[ 4, walk, a1, r1 , back_to]
[ 5, walk, a1, d12]
[ 6, open, a1, d12]
[ 7, walk, a1, r2 , go_to]
[ 8, walk, a1, d12]
[ 9, walk, a1, r1 , back_to]
[10, walk, a1, d13]
```

Ceci permettra ensuite d'abstraire cette trace en une trace plus synthétique.

```
[ 1, a1, go_to, r3]
[ 4, a1, back_to, r1]
[ 7, a1, go_to, r2]
[ 9, a1, back_to, r1]
```

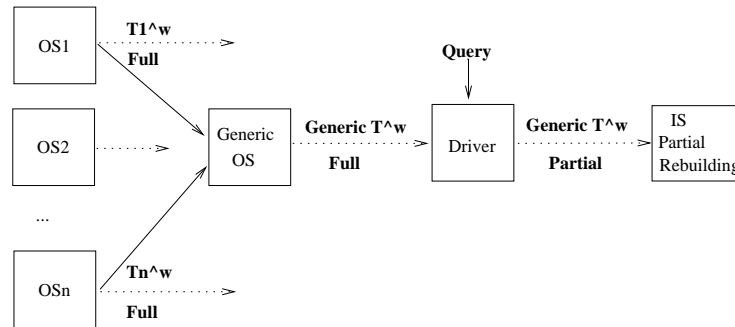
Au lieu de s'intéresser à leurs déplacements d'une pièce à l'autre, on peut tenter d'inférer des attitudes à partir de ces comportements. Par exemple, on qualifiera d'*hésitation* le fait de prendre et reposer un objet et d'*affolement* le fait de le faire plusieurs fois ; on pourra qualifier de *coopération* le fait de prendre faire un bout de chemin avec un autre agent ; on pourra repérer les *transferts* d'objets entre agents. Ces observations, qui se déduisent de l'analyse de la trace que l'on a qualifié de "première", conduit à définir une nouvelle trace où les seules actions seraient du type **agir, hésiter, coopérer, s'affoler, ....** On peut alors

soit introduire de nouveaux attributs dans certains événements, soit concevoir un nouveau modèle complet pour lequel se posera la question de la composition avec le précédent.

### 6.6 Trace générique (multi-processus)

On considère maintenant le cas où plusieurs processus observables ont des sémantiques suffisamment semblables pour qu'un consensus puisse s'établir sur une SO commune. C'est par exemple le cas de la trace Prolog où des objets très complexes sont décrits, mais où la plupart des implantations connues proposent à peu de chose près la même trace de base [38]. Un tel consensus peut être le résultat d'un travail de standardisation ou simplement d'un accord entre protagonistes sur un modèle sémantique de base. Chaque processus de la famille peut ainsi avoir lui-même une SO avec sa propre trace intégrale. On peut également considérer que chaque processus de la famille est muni d'une trace intégrale virtuelle ainsi qu'éventuellement d'une trace effective (s'il a déjà un traceur).

Cette situation est illustrée par la figure 15. On y a représenté différents processus observables de la famille considérée avec chacun sa propre SO. La famille peut comporter une infinité de processus, y compris avec la même trace intégrale qui est alors elle-même générique pour une sous-famille.



**Figure 15.** Trace générique de sous-familles munies elles-même de leur propre trace (générique dans le cas d'une sous-famille)

La trace intégrale générique ne doit pas être vue comme l'intersection (une partie commune) de toutes les traces intégrales particulières, ni comme leur union. Elle est entre les deux, en ce sens qu'elle peut contenir des attributs qui ne concernent qu'une sous-famille et que, à l'inverse, tous les attributs de chaque trace particulière ne se retrouvent pas nécessairement dans la trace générique. La propriété remarquable de la SO générique est donc que, pour chaque sous-famille, elle contient toujours une sous-trace en correspondance avec une sous-trace de la sous-famille. Donc pour chaque sous-famille une partie non vide de la SO

générique est en correspondance biunivoque avec une partie non vide de la SO de la sous-famille.

L'établissement d'une trace générique ne peut résulter que d'un consensus plus ou moins arbitraire entre spécialistes du domaine concerné. Celle-ci peut même être construite sans référence particulière à un processus particulier de la famille. Il est néanmoins nécessaire de pouvoir réaliser un traceur pour chaque processus, c'est à dire de pouvoir implanter un traceur qui produise cette trace générique et ce, dans chaque processus de la famille.

Pour préciser la correspondance entre chaque processus de la famille et la trace générique, on peut se baser sur la sémantique opérationnelle du processus et la SO de la trace générique. Pour rester à un niveau de spécification, on peut alors soit instrumenter une sémantique opérationnelle formelle du processus pour lui faire produire une partie significative de la trace générique, soit établir une trace spécifique du processus et préciser la correspondance entre les deux traces. Si une trace spécifique existe déjà et qu'elle est suffisamment précise, la seconde voie sera probablement privilégiée.

Sur un plan formel, les deux approches sont les mêmes, car l'instrumentation d'une sémantique formelle (à condition bien sûr d'en disposer d'une) peut être vue comme la définition d'une SO. Il suffit donc de comparer les deux SO. Si l'on dénote  $SO_i$  la SO d'un processus de la famille et  $SO$  celle de la trace générique, on doit vérifier que :

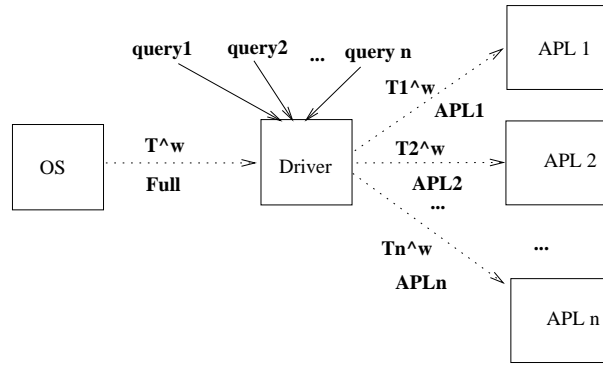
$$\forall i, \text{abstr}_i(SO_i) \ll SO$$

C'est à dire qu'une abstraction de la trace virtuelle du processus est une sous-trace virtuelle générique. L'abstraction peut se limiter à être une sous-trace et dans ce cas les deux SO ont simplement une sous-trace commune. Il faut rechercher une sous-trace commune qui soit la plus large possible.

## 6.7 Elargissement de la trace (multi-usages)

Un des objectifs de la trace intégrale, générique ou non, est de pouvoir servir à de multiples applications. Cela implique qu'un certain nombre d'éléments utiles pour ces applications puissent être trouvés dans la trace. Par exemple, pour réaliser un débogueur pour un langage de haut niveau, il faudra introduire dans la trace des informations relatives au code source et à sa présentation. Une information utile pour un suivi d'exécution ou pour faciliter un travail de mise au point est le numéro de ligne dans le code source de l'instruction en cours d'exécution ou d'un élément s'y rapportant. Cette information, surtout dans un code compilé et optimisé, n'est pas simple à préserver. Pour autant elle peut être définie, ou prise en compte comme facteur d'influence, dans la SO.

La trace intégrale peut ainsi servir à tracer beaucoup applications. Cette situation est illustrée par la figure 16.



**Figure 16.** Applications multiples utilisant une même trace intégrale

On y voit que la trace utile à chaque application est une sous-trace de la trace intégrale et résulte d'une sélection spécifique. Cette situation a également été évoquée à la section 6.2. Il y a cependant une différence importante puisqu'il ne s'agit pas d'une composition de processus et de leurs traces, mais simplement d'un enrichissement ad-hoc de la trace à partir des éléments connus du processus observé.

L'élargissement proposé ici est empirique et repose exclusivement sur l'analyse des utilisations potentielles de la trace intégrale du processus observé en fonction de sa structure (la combinaison des éléments avec lesquels il est construit). L'idée directrice est de tenter de minimiser les interventions que les découvertes d'utilisations nouvelles pourraient rendre nécessaires sur le traceur existant.

## 7 Aspects théoriques des transformations de trace

La section précédente a mis en évidence quatre transformations fondamentales de traces susceptibles de s'appliquer à des traces génériques élargies intégrales : composition, fusion, sélection et abstraction. Les aspects liés à la généralité et l'élargissement sont en grande partie empiriques et relèvent plus de la méthodologie de développement de traces que d'une étude formelle. Il est par contre intéressant d'étudier plus formellement les quatre transformations. Elles peuvent être dénotées à l'aide d'opérateurs unaires et secondaires dont les opérandes sont des sémantiques observationnelles (OS) **comp/2**, **fus/2**, **sub/1** et **abstr/1** définis ainsi.

- **comp/2** :  $comp(SO_1, SO_2)$  est une SO composée de  $SO_1$  avec  $SO_2$  ( $SO_2$  sur  $SO_1$ ).
- **fus/2** :  $fus(SO_1, SO_2)$  est une SO résultat de la fusion de  $SO_1$  et  $SO_2$ .
- **sub/1** :  $sub(SO)$  est une sous-trace de  $SO$ .
- **abstr/1** :  $abstr(SO)$  est une trace abstraite de  $SO$ .

Même si ces opérations gardent une partie non formalisable, des restrictions qui permettent un traitement théorique peuvent être définies et apporter quelques éclaircissements sur les relations que ces opérations peuvent entretenir entre elles. Par exemple les rapports entre  $sub(SO)$  et  $SO$  (dans certains cas on peut avoir  $sub(SO) \ll SO$ ), entre  $abstr(SO)$  et  $sub(SO)$ ,  $abstr(sub(SO))$  et  $sub(abstr(SO))$ , ou encore  $sub(fus(SO_1, SO_2))$  et  $fus(sub(SO_1), sub(SO_2))$ , ou de même avec  $comp$  au lieu  $fus$ .

Cette section tente d'apporter quelques réponses à ce type de questions.

## 8 Domaines fondateurs et applicatifs

Composition, fusion, sélection et abstraction sont les quatre transformations fondamentales que l'on puisse opérer sur et avec des traces (virtuelles et effectives). Elles constituent une esquisse d'algèbre de traces.

Dans cette section on cherche à étudier les liens potentiels qu'il peut y avoir entre l'approche des traces développée ici et différents champs de recherche. Ceux-ci constituent des champs d'application pour la théorie développée ici. Ces domaines touchent au génie logiciel, le génie des connaissances, les sciences cognitives ou la philosophie, qui tous ont en commun, parfois, l'utilisation du paradigme de trace.

Le fait même de mettre en relation ce domaine et différents domaines de recherche offre également un point de vue sur les relations croisées que peuvent entretenir ces différents domaines entre eux.

Neuf domaines plus ou moins indépendants sont examinés, en tous cas le point de vue sous lequel ils sont examinés sont différents. Pour chacun, on résume en fin de section l'apport potentiel espéré que notre approche des traces peut avoir sur le domaine ainsi que le retour d'expérience que l'on peut envisager du domaine ou d'une utilisation formelle de traces dans celui-ci.

### 8.1 Construction de traceurs pour l'analyse dynamique de programmes

Le premier domaine d'application examiné ici est la construction de traceurs pour l'analyse dynamique de programmes. Ce que l'on recherche ici est de pouvoir observer le comportement d'un processus unique, lui-même éventuellement composé d'un assemblage de plusieurs processus.

Historiquement, la notion de trace est liée en génie logiciel à la trace de programme. Classiquement le débogage de programmes repose sur deux piliers : l'analyse statique et l'analyse dynamique. La première permet de détecter certaines bogues avant toute exécution mais ne suffit pas en général ; la seconde repose essentiellement sur l'analyse de traces d'exécutions. Elle inclut les tests d'exécution. Traditionnellement, l'analyse dynamique de comportement se fait par une modification du compilateur qui permet, sur option, de faire fonctionner le programme dans un mode "débogage", ou par instrumentation directe du code source qui calcule et publie des informations particulières à la demande. Ces deux approches consistent à réaliser un traceur qui a également fonction d'analyseur. Ainsi, lorsque l'on veut effectuer une évaluation de performance, par exemple réaliser des statistiques sur des points de passage ou sur les temps d'exécution de certaines portions de programme (faire du "monitoring"), on introduit dans le code du programme des capteurs d'informations d'une part et des calculs d'informations d'autre part. De cette manière les fonctions de trace et d'analyse sont entièrement contenue dans l'instrumentation du programme (grâce à des ajouts de code spécifique au code original du programme).

L'idée de séparer la partie "capteurs" de la partie "analyse" s'est imposée progressivement au fur et à mesure que d'une part les langages devenaient plus

complexes et que, surtout, les besoins d'analyse devenaient plus élaborés. En 1993, M. Ducassé et J. Noyer observent que, dans le cas de Prolog, un langage de règles logiques dont le traceur, comme les besoins d'analyse de performance, sont assez complexes, il y avait un grand intérêt à rendre indépendantes les tâches de production de trace et d'analyse [44]. Si donc ces tâches sont indépendantes, elles peuvent être accomplies par des personnes différentes, avec des métiers différents. La seule contrainte est alors de se mettre d'accord sur l'information qui doit être transmise par le traceur et garantir qu'elle ait la bonne propriété de pouvoir récupérer toute l'information initialement récoltée. Cette approche a été à la base du projet OADymPPaC [33] et a abouti à la notion de trace générique, une trace valable pour un domaine de calcul particulier et qui contient toutes les informations utiles pour une famille d'analyses potentielles, ainsi qu'à poser le problème d'avoir une sémantique propre à la trace, la sémantique observationnelle. La SO peut être vue comme une sémantique de traceur telle que toutes les instances implantées dans chaque processus d'une famille produisent la même trace, ou au moins une partie de celle-ci.

Cette approche soulève toute une série de questions que nous examinons maintenant. Pour certaines d'entre elles, et pour les solveurs de contraintes, le projet OADymPPaC a proposé des réponses.

**Trace intégrale et pilote efficace** La trace utile à toute une famille d'analyses potentielles peut devenir gigantesque car son niveau de raffinement peut croître en fonction des besoins d'analyse. La réponse proposée correspond d'une part à la notion de trace effective *intégrale*, et d'autre part à l'ajout au traceur d'un pilote chargé d'opérer la sélection d'une sous-trace contenant les seuls éléments utiles à une analyse particulière. La première question porte sur l'efficacité pratique d'une telle approche.

Dans [65] M. Ducassé et L. Langevine montrent qu'un traceur standard (pour le langage logique avec contraintes GNU-Prolog) susceptible de produire une très grande trace potentielle, mais muni d'un pilote, peut produire une trace efficace et utile pour de nombreux outils d'analyse dynamique qui utilisent la trace soit au vol soit a posteriori. La notion de trace intégrale permet de prendre en compte dans les traces de très nombreux aspects permettant la réalisation d'analyses diverses. Néanmoins de telles traces peuvent être extrêmement grandes, de l'ordre de plusieurs gigabytes pour quelques secondes d'exécution seulement. Il ne peut donc être question de les générer intégralement, car en fait, pour un type d'analyse donnée ou pour un type d'analyseur, seule une partie des informations fournies dans la trace est utile. C'est la fonction du pilote de filtrer la trace utile en fonction des besoins. Ces questions sont également discutées dans [34] concernant l'extraction d'une trace intégrale et l'analyse des problèmes d'efficacité de cette approche.

**Langage d'interrogation de trace** Cette action de sélection impose de disposer d'un langage d'interrogation de trace. Dans [43] les mêmes auteurs proposent un ensemble de primitives d'interrogation de trace qui permet de spécifier une sous-trace. Ces auteurs se limitent cependant aux cas où la signa-

ture est préservé et où le filtrage ne s'opère que sur un événement de trace à la fois. Des expérimentations ont été conduites dans [66] montrant que en restreignant l'interrogation à un sous-ensemble d'attributs, on gardait une bonne efficacité même dans le cas où plusieurs analyseurs travaillent simultanément. Le fait de considérer ici des sous-traces ne préservant pas la signature est une généralisation.

**Interactions avec le traceur** Cette approche impose une architecture particulière entre les analyseurs et le traceur. Les analyseurs deviennent des processus clients du traceur (inclus dans le processus observé) qui lui-même devient serveur ; ceux-ci doivent pouvoir adresser des ordres au traceur (en fait par l'intermédiaire du pilote), en particulier permettre un arrêt puis reprise de celui-ci. Ceci impose de pouvoir communiquer un état (éventuellement) effectif intégral, sinon à tout moment, au moins à un nombre suffisant de points de reprise. Le fait de garder la possibilité d'accès presque à tout moment à un état intégral, peut ralentir considérablement un programme instrumenté pour le produire. Cela reste inhérent au fait qu'aucune limite n'est imposée à la taille d'une trace intégrale et reste pour le moment une limite potentielle à l'utilisation de cette approche en génie logiciel.

Par ailleurs, la définition de bonnes primitives pour communiquer avec le traceur selon différents modes (synchrones ou asynchrones) reste, dans ce domaine d'application, une question ouverte.

**Optimisation de la trace** La fidélité garantit également une forme de conservation de l'information observable, mais il en résulte un accroissement de la taille de la trace effective intégrale. Or ce qui coûte le plus cher est la communication entre le programme observé et un analyseur. En effet celle-ci passe par une écriture dans un buffer intermédiaire. Il peut donc être primordial de réduire la taille de la trace effective. Ceci revient à se poser la question de la répartition de la charge des calculs liés aux observables : en partie lors de l'extraction à la source (au niveau du serveur) ou en partie lors de la reconstruction (au niveau du client). En effet le fait de ne sélectionner qu'une sous-trace ne permet pas toujours de réduire suffisamment la taille de la trace effective. C'est le cas notamment lorsque plusieurs analyses sont conduites simultanément et nécessitent d'extraire une trace finalement très volumineuse pour satisfaire l'ensemble des besoins. Il peut alors être utile de connaître l'usage qui va être fait des observables communiquées dans la trace (après reconstruction) et les nouveaux objets (éventuellement plus abstraits) qui vont être construits à partir de la trace virtuelle reconstruite. Ces objets peuvent être considérés aussi comme des paramètres redondants (puisque construits à partir de paramètres ou attributs existants et, éventuellement en prenant en compte plusieurs événements de trace) et sont de ce fait appelés *méta-paramètres*. Il peut alors être plus intéressant de construire à la source des méta-paramètres si on peut en extraire des attributs moins volumineux et de se fait parvenir à réduire la taille de la trace effective en communiquant directement les informations qui permettront de transmettre de manière plus efficace l'objet plus abstrait recherché. Les calculs tant à la source (lors de l'extraction des attributs) qu'à l'arrivée (lors de la reconstruction des



observables) peuvent être plus coûteux, mais l'économie de temps réalisée lors de la transmission peut largement compenser ces pertes. Dans ce cas, la solution peut donc consister à enrichir la trace effective avec des méta-paramètres utiles aux analyses pressenties, les calculer à la source (ce qui revient à transférer une partie de la charge des analyseurs vers le traceur<sup>22</sup>), et à ne communiquer que ceux-ci dans la trace effective.

La recherche d'un bon compromis entre les attributs qui doivent être calculés à la source et les observables reconstruites à l'arrivée est une question d'ordre pratique. La notion d'abstraction, vue comme une composition d'enrichissement avec des méta-paramètres, suivi de sélection d'une sous-trace a pour but de donner une approche rigoureuse à ce problème.

**Traceur et composants logiciels** Une partie des travaux développés ici concerne la mise en commun de plusieurs composants logiciels, chacun étant déjà muni d'un traceur avec son propre pilote, opérant ainsi une "fusion" de traces. L'opération de fusion, effectuable sous certaines conditions concernant les traces propres à chaque processus et leurs signatures, offre une approche formelle éclairante. Dans ce cadre, on peut tenter d'élaborer des réponses aux questions suivantes.

- (filtrage réparti) Comment une sous-trace de la trace intégrale de l'ensemble se décompose-t-elle en sous-traces des traces intégrales des composants ?
- (interactions réparties) Comment les interactions entre les analyseurs et les pilotes de chaque composant se répartissent-elles entre les composants ?

L'approche des traces proposée ici conduit dans le domaine des traceurs de programmes à une certaine méthodologie de construction et manutention des traceurs. Les questions que l'on doit se poser alors concernent l'ensemble des paramètres et attributs à mettre dans une trace intégrale et les formes de dialogue possibles entre le traceur et les analyseurs.

**Des traces vers la construction de traceurs** La notion de trace effective correspond aux traces usuellement produites par les traceurs de programme. L'approche présentée ici vise à répondre en premier lieu aux questions soulevées par la réalisation de traceurs en vue de permettre l'élaboration d'analyseurs d'exécutions de programmes. L'algèbre de traces, les sémantiques proposés et les propriétés propres aux traces donnent un cadre théorique à la réalisation de traceurs et aux systèmes susceptibles d'aider à les manipuler et à les construire. C'est évidemment un domaine privilégié d'application de l'approche théorique d'une algèbre des traces.

**De la construction de traceurs vers les traces** L'expérience acquise dans la réalisation de traceurs et d'environnements de programmation utilisant comme entrée des traces produites indépendamment, a été la source de cette théorisation.

---

22. Ceci revient en fait à enrichir la trace virtuelle intégrale avec de nouveaux paramètres, mais de telle manière que la sous-trace effective le plus souvent utilisée soit réduite

On peut s'attendre à des évolutions de celle-ci en fonction des problèmes rencontrés dans le cadre de travaux plus avancés concernant le débogage de programmes et les environnements de programmation.

## 8.2 Modélisation et abstraction

On veut s'intéresser ici aux relations qu'il peut y avoir entre la méthode d'élaboration d'une trace avec ses sémantiques, et les théories de l'abstraction, et plus particulièrement l'interprétation abstraite. Il ne s'agit pas ici à proprement parler d'un champ d'application de l'algèbre des traces (ce serait plutôt l'inverse), mais d'examiner les relations que cette approche des traces entretient avec un champ de théorisation possible.

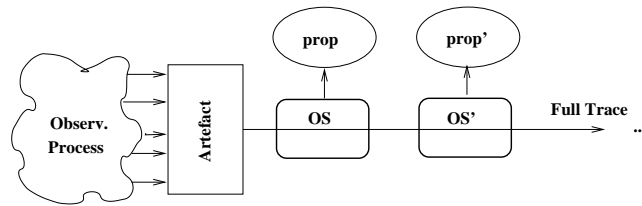
La notion de fidélité montre que, dans la mesure où cette propriété est respectée, il n'y a pas d'abstraction entre la trace virtuelle et la trace effective ; c'est à dire que la trace effective n'est pas une abstraction de la trace virtuelle, pas plus que la fonction d'extraction<sup>23</sup> n'est une fonction d'abstraction. On peut donc traiter indifféremment de la trace virtuelle ou de la trace effective, leurs sémantiques étant en quelque sortes interchangeables. Chacune peut comprendre des méta-paramètres (ou méta-attributs) qui peuvent être vus comme des abstractions réalisées à partir d'autres paramètres (ou attributs), mais il ne s'agit que de redondance. On peut donc se limiter à considérer les trace virtuelles munies d'une sémantique observationnelle. Dans ce contexte, les questions qui se posent concernent les rapports de cette SO avec le processus dont elle rend compte, c'est à dire les différents niveaux d'observation du ou des processus produisant ses traces.

En supposant qu'il existe une SO complète pour les traces produites par le processus observé, les différentes questions se réduisent à quatre questions concernant différentes étapes dans l'élaboration de traces : la construction de modèles (SO) susceptible de rendre compte de traces, les rapports entre une SO et la sémantique du processus observé, en particulier quand celle-ci est formalisée, les différents niveaux d'observations (traces plus ou moins abstraites), c'est à dire les rapports entre des SO plus ou moins abstraites, et enfin les propriétés des sémantiques.

Ceci est illustré sur la figure 17.

Cette figure montre qu'il y a en amont du ou des processus observés un artéfact qui produit une trace intégrale. Ce qui est illustré ici c'est à la fois la manière d'aborder l'observation d'un phénomène et le concept de trace intégrale. Le processus (naturel ou artificiel) observé ne peut l'être que par l'intermédiaire, soit d'appareils de mesure, s'il s'agit d'un processus naturel, soit d'une description formelle, donc dans un langage formel en quelques sortes mathématisé, par exemple s'il s'agit d'un programme exprimé dans un langage de programmation. Dans ce dernier cas, l'artéfact (qui se confond alors avec le processus) correspond à un programme muni de son traceur ou à une modélisation formelle du ou des processus observés. Par ailleurs, alors que l'artéfact peut être muni de nombreux

<sup>23</sup>. Dans la mesure où cette fonction est définie à partir de la trace virtuelle.



**Figure 17.** Observation-abstraction d'un processus

capteurs, il ne produit en sortie qu'une seule trace, la trace intégrale qui contient potentiellement tout ce que l'on est susceptible de reconnaître et de discrétiser sous forme de trace.

La figure 17 illustre également les différentes SO qui peuvent être produites ainsi que leurs propriétés. La première peut être vue comme une formalisation minimale de l'artéfact, c'est à dire une sémantique qui rend compte de la production de la trace intégrale. Les SO suivantes correspondent alors à des abstractions possibles de la SO originale. Pour ces autres SO, il ne peut s'agir cependant que de sous-traces qui correspondent à des changements de niveau de description, et donc de sémantiques plus ou moins précises.

L'étape correspondant à ce que nous avons appelé "construction de modèle" correspond à la fois à la réalisation de l'artéfact (appareil de mesures ou collecteur d'information) et à sa description formelle éventuelle. Dans la recherche de modèle, il faut considérer deux activités complémentaires : la découverte et/ou la définition des observables, ce que nous appelons ici "paramètres", et la construction formelle d'une description de leur évolution. Une approche formelle de la modélisation consiste donc à exhiber un LTS correspondant au schéma de traqueur de la SO (ensemble d'états et fonction de transition)<sup>24</sup>. La recherche des observables relève d'une activité d'analyse dans laquelle des techniques automatiques de type fouille de données peuvent avoir leur place. Ainsi dans le domaine de l'analyse de dispositifs d'apprentissage [21], le premier travail consiste à rechercher des observables pertinentes. Ces paramètres, la construction de modèle de leur évolution, ou même la possibilité d'en construire un, vont dépendre du champ d'étude concerné (ici l'apprentissage d'un domaine de connaissances). Chaque activité complémentaire (découverte des observables et d'un modèle d'évolution), dans la mesure où le point de départ repose sur des traces empiriques, relève de la recherche des sémantiques respectives SI et SO fidèles pour de telles traces.

L'interprétation abstraite est une théorie de l'abstraction qui a été introduite en génie logiciel pour l'analyse de programmes [28]. Elle permet d'organiser de multiples sémantiques d'un langage de programmation donné en une hiérarchie

<sup>24</sup>. Cette approche basée sur des automates est assez générale, mais d'autres formes de formalisation sont évidemment possibles comme on le verra plus bas.

de sémantiques correspondant à des niveaux de détails différents, ainsi que pour définir des systèmes de types pour les langages de programmation. En particulier les relations entre des sémantiques de niveaux d'abstraction imbriqués peuvent être décrites formellement par des connections de Galois.

Dans [25] les auteurs s'intéressent à différentes observables de programmes logiques, en particulier celles concernant l'arbre de résolution (SLD-tree), et ce à différents niveaux d'abstraction. Ils montrent comment différentes sémantiques de plus en plus abstraites (c'est à dire qui "oublie" de plus en plus de "détails" opérationnels) peuvent être reliées par des connections de Galois. Par exemple la description la plus raffinée rend compte de l'évolution de l'arbre SLD alors que les approximations successives des solutions exactes (prédications correspondant aux nœuds succès) peuvent être décrites simplement dans le cadre de la s-sémantique, approximation des solutions. Dans le domaine des langages de programmation, le processus observé (un programme en cours d'exécution) dispose a priori d'une description formelle complète<sup>25</sup>. Les SO correspondant à des niveaux d'observation différents, donc à des traces plus ou moins raffinées, sont des abstractions de la sémantique formelle du processus observé. Elles reproduisent un échantillonnage du comportement du processus observé.

Dans [58], différents modèles de traces Prolog semblables à ceux présentés en exemple dans cette étude, sont définis à partir d'une sémantique dénotationnelle de Prolog instrumentée avec production d'événements de trace (la fonction d'extraction est codée dans la sémantique). On peut voir cette sémantique formelle comme un schéma de traceur, on peut aussi se demander si un modèle plus abstrait ne serait pas suffisant. Si la sémantique dénotationnelle donne un schéma explicatif complet (c'est un interprète complet qui est en fait décrit ici), elle contient de nombreux détails inutiles si l'on veut se contenter d'"expliquer" l'enchaînement des événements de trace et leur extraction<sup>26</sup>. Cet article donne un bon exemple de ce que peut être un modèle de l'artéfact.

Une démarche semblable est utilisée dans [60] pour spécifier un traceur CHR(FD). Des éléments de codage formel nécessaires à l'extraction d'une trace sont introduits dans une sémantique formelle de CHR(FD). Dans ce travail, la méthode consiste à raffiner une sémantique opérationnelle de CHR(FD) de telle manière que la sémantique déclarative soit préservée, et jusqu'à ce que tous les éléments recherchés (toutes les observables) puissent y être exprimés. Ceux-ci sont spécifiés par le domaine des états virtuels de la trace que l'on veut produire. On construit

---

25. Ceci peut toujours être contesté puisque le programme est exécuté sur une machine physique pour laquelle il a été compilé, et que pour que son comportement corresponde à ce qui est décrit dans sa définition formelle il faut que le compilateur ait été certifié "correct" (i.e. qu'il préserve la sémantique originale) et que la machine se comporte également comme prévu, i.e. qu'elle préserve la sémantique de son propre code. Ceci suppose qu'elle respecte absolument les lois physiques auxquelles elle se réfère.

26. Dans le cas du papier cité, la sémantique dénotationnelle est réduite au minimum nécessaire pour rendre compte de la trace émise. On n'est donc pas très éloigné en fait d'une SO complète et déterministe décrite par une sémantique avec continuations.

de cette manière une abstraction de la sémantique opérationnelle<sup>27</sup>, et donc un modèle de l'artéfact.

Dans [47], les auteurs utilisent les connexions de Galois pour relier différentes sémantiques et décrire des propriétés abstraites de systèmes biologiques. Dans cette approche la SO est décrite par une "machine abstraite biochimique" formalisée par un système hybride décrit par des règles agissant sur des paramètres biologiques, physiques et chimiques. Dans cette approche les mécanismes de la cellule vivante que l'on souhaite modéliser (i.e. le processus observé) peuvent être décrits de manière pseudo-formelle par des diagrammes de Kohn. Le point de départ est un modèle formel d'une certaine réalité, et sa validation s'obtient en vérifiant l'adéquation de son comportement avec des données expérimentales en comparant des traces obtenues avec le système formel avec des traces expérimentales, ou certaines de leurs propriétés communes. Cette approche s'apparente aux méthodes utilisées en vérification de modèles ("model checking" [23]) où l'on cherche, en particulier, à vérifier des propriétés de sûreté sur des automates d'état (LTS dont les états peuvent être en nombre infini).

Dans [6], les auteurs s'intéressent aux systèmes hybrides utilisés dans de très nombreux domaines d'applications comme le contrôle automatique, les processus chimiques ou la robotique. Les systèmes hybrides sont constitués de systèmes dynamiques continus et discrets. Cet article établit que, sous certaines conditions concernant le système étudié, il est possible d'obtenir une abstraction discrète préservant les propriétés du système hybride. Le système discret obtenu permet alors de prouver automatiquement des propriétés dynamiques du système original. La recherche d'un tel système discret n'est pas sans rapport avec ce qui est recherché dans une SO, à la différence importante près que cette dernière n'est pas destinée a priori à servir à analyser les propriétés du système observé. L'intérêt pour nous de cette approche réside essentiellement dans le lien qu'elle établit entre la définition d'une trace comme résultant de la discrétisation et mémorisation du comportement d'un processus observé, et les opérations d'abstraction que cette opération peut mettre en jeu.

Si l'on considère que le domaine sémantique d'un processus observé est l'ensemble de ses traces partielles finies, un modèle de sémantique possible est défini comme le plus petit point fixe d'une fonction de transition d'états (voir par exemple dans [27] "partial trace semantics"). Une telle fonction existe toujours, mais il n'y a pas de garantie de pouvoir lui donner une représentation finie. Cette SO, en quelques sortes initiale et que nous qualifierons de sémantique formelle (SF), peut être considérée comme le modèle original. Celui-ci est donné soit comme modélisant l'artéfact, soit comme un a priori théorique. Les SO successives peuvent alors être considérées comme des abstractions de leurs prédécesseurs.

L'interprétation abstraite peut donc intervenir à des stades bien spécifiques de la construction de trace qui sont illustrés sur la figure 18.

---

<sup>27</sup>. Ce travail n'établit par cependant la preuve formelle que l'abstraction est une connexion de Galois.

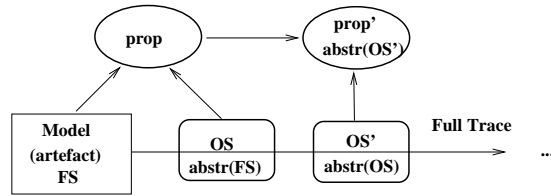


Figure 18. Etapes d’abstractions possibles avec un processus

- **abstr(FS) = OS** : *Du processus observé vers son modèle formel* (deux premières boîtes à gauche). La sémantique formelle (FS) correspond à la sémantique “initiale” du processus observé et la “première” sémantique observationnelle (OS) sur le schéma en est une abstraction. Cette dernière constitue la SO de la trace, et c’est une abstraction du modèle “initial”. Ainsi les traces virtuelle ou effective peuvent être vues comme une abstraction du processus observé. Si le processus observé ne dispose pas d’une description formelle (processus naturel comme dans les exemples ci-dessus issus de l’observation de phénomènes biologiques), sa description formelle est alors une abstraction de la sémantique “initiale” des traces, et joue le rôle de modèle. Noter que cette approche qui revient à se donner un niveau élémentaire de description sémantique est comparable à l’approche sémantique “small step” pour les langages de programmation [27,85].
- **abstr(OS) = OS’** : *Changement de niveau de trace vu comme processus d’abstraction*. Par des opérations d’enrichissement, avec ajout de méta paramètres et sélection, la sous-trace obtenue constitue une abstraction de la trace originale. Celle-ci dispose en théorie d’une sémantique observationnelle SO’ qui peut éventuellement être formalisée comme une interprétation abstraite de SO, la sémantique observationnelle de la trace originale.
- **abstr(OS) = prop** : *Propriété du processus observé comme propriété des traces*. L’interprétation abstraite comme le “model checking” permettent d’établir des propriétés de la trace (celles-ci sont notées dans des ellipses sur la figure). Par transitivité, ici par composition d’abstractions, ces propriétés observées sont également des propriétés du processus observé, ou en tous cas, de sa représentation formelle ; cependant les propriétés de SO plus abstraites et qui s’appliquent donc à des ensembles plus larges de traces partielles sont toujours vérifiées par les SO moins abstraites (la flèche qui les relie sur la figure correspond à l’idée d’affaiblissement des propriétés caractéristiques). La connaissance de propriétés d’une SO est utile pour effectuer des preuves de fidélité (voir annexes).

La figure 19 reprend les figures précédentes dans le cas de la trace générique.

On ne peut assimiler la famille des processus “couverts” par la trace générique à un seul processus comme dans la figure 17. Il s’agit bien d’une famille de pro-

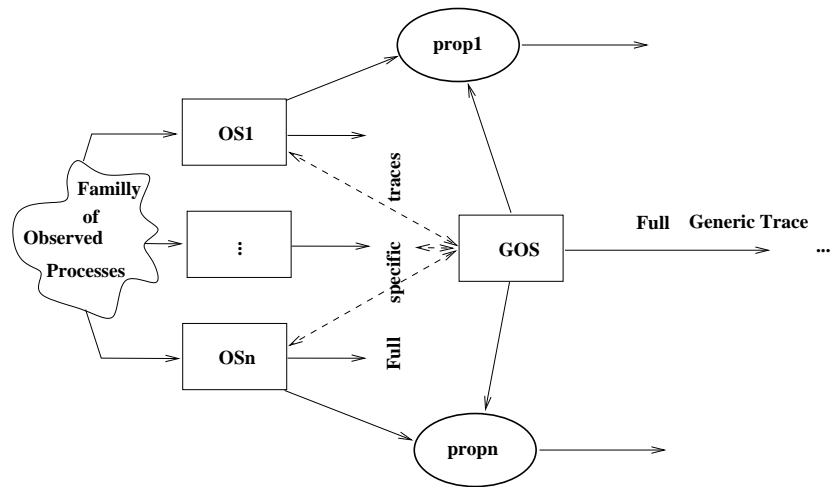


Figure 19. Etapes d’abstractions possibles avec une SO générique

cessus distincts, mais qui sont cependant indistinguables du point de vue de l’observation. Chaque processus de la famille a donc une trace intégrale propre, chacune étant représentée sur la figure par une flèche sortante, comme sur les figures précédentes. Chaque processus de la famille est également relié à la trace générique par une double flèche en pointillés représentant le fait qu’il y a isomorphisme entre une partie de la trace intégrale générique et une partie de la trace intégrale spécifique. Une autre manière de voir les choses est que pour chaque trace spécifique il correspond une sous-trace générique qui en est une abstraction. Il est alors important d’observer que les propriétés établies avec la sous-trace générique correspondant à un processus sont bien aussi des propriétés (éventuellement plus faibles) de ce processus. Mais il est possible également qu’une propriété de la SOG s’applique à tous les processus de la famille.

Une abstraction particulière des traces telles que présentées ici consiste à ne considérer que les sous-traces dont le seul paramètre est le type d’action. Une sémantique des traces partielles correspond alors au langage défini par l’ensemble des mots construits sur l’alphabet (supposé fini) des types d’actions associés à chaque trace, c’est à dire l’ensemble des signatures partielles. Le filtrage à la source s’apparente alors à la recherche de sous-séquences dans les signatures.

Dans les travaux de [65] on s’intéresse à identifier les événements de trace non seulement pas leur type d’action, mais également par certains attributs. Ceci est obtenu en se limitant à des langages réguliers de signatures, de telle manière que la reconnaissance d’événements puisse être faite par des automates d’états finis. Cette limitation a pour but de garder une grande efficacité à l’extraction de sous-traces car l’objectif est de pouvoir extraire plusieurs sous-traces d’une trace intégrale simultanément, ce qui s’obtient avec une union de langages réguliers

qui est conservative. Il est ainsi montré expérimentalement que l'extraction de plusieurs sous-traces simultanément ne nuit pas à la performance. Cette approche permet de sélectionner des événements de trace particuliers en tenant compte de la succession des événements comme d'une partie de leur contenu, tout en préservant une certaine efficacité.

L'intérêt d'une approche restreinte au langage des signatures est de pouvoir regarder certaines opérations sur l'algèbre des traces comme des opérations sur des langages de signatures. En particulier certaines abstraction et certains raffinements. Une sous-trace (ou abstraction) peut alors être vue comme résultant d'un filtrage opéré sur les mots d'un langage, lequel peut se réduire à associer à des séquences particulières un type d'action spécifique qui les caractérise alors (à chaque mot fini du langage original correspond un mot plus "synthétique"). Au contraire un raffinement peut être vu comme associant à certaines actions un ensemble de séquences d'actions codées dans un vocabulaire de plus "bas" niveau [13]. Enfin on pourra regarder la signature d'un ensemble de composants logiciels qui tous sont déjà munis de traceurs comme une "union ad hoc" de traces issues d'un système parallèle et distribué.

Une approche générale consisterait donc à étudier les rapports que la méthode de construction de traces peut entretenir avec la théorie des traces telle que originellement introduite par Mazurkiewicz) [5,94,42] et ses développements.

La sémantique observationnelle (partie schéma de traceur) peut alors être vue comme une forme de spécification d'automates de traces. Inversement l'analyse de traces effectives peut être comme une tentative de lui donner une sémantique sous-forme d'automate. Ceci pour une partie de la modélisation des traces.

Par ailleurs, pour certaines preuves de fidélité forte on aura besoin de propriétés dont certaines sont des propriétés du langage de trace qui peuvent être automatisées avec cette approche théorique. C'est par exemple le dans [38], où certaines des propriétés utilisées pourraient être prouvées automatiquement à partir d'une spécification du langage de trace (dans ce cas la propriété peut être caractérisée par une sous-trace correspondant à un langage régulier).

**Des traces vers modélisation et abstraction** Le rapprochement qui est fait ici entre la démarche de recherche d'une SO (et SI fidèle correspondante) et les besoins d'abstraction revient à élargir les champs d'applications, déjà très larges, des approches de la modélisation et des théories de l'abstraction. La recherche d'une méthodologie de construction de traces est à relier à la recherche et l'élaboration d'abstractions pertinentes.

**De la modélisation et l'abstraction vers les traces** De cette brève analyse il ressort que les travaux sur les théories de l'abstraction sont d'une grande utilité pour caractériser formellement certaines opérations de l'algèbre de traces, en particulier les combinaisons d'abstraction et de sélection. De plus, la possibilité d'utiliser cette approche (utilisation de domaines abstraits, techniques de "model checking" appliquées aux LTS) pour prouver des propriétés utiles à la réalisation de preuves de fidélité est une application importante, rendue



nécessaire par la taille que peut atteindre la description d'une SO, quelque soit le langage adopté pour la décrire.

Un aspect important, non abordé ici encore, est le langage dans lequel peut être exprimée la SO de la trace intégrale. Différentes approches peuvent être considérées incluant des langages de règles mais dépendant en général du domaine de la famille de processus considérés. Comme le domaine des traces peut être étendu aux traces infinies, les représentations de la sémantique observationnelle peuvent se fonder sur des approches inductives comme des approches co-inductives [2,84].

### 8.3 Fouille de données, analyse et interrogation de flots de données

Les traces une fois produites, le but est de les analyser. Le lien entre analyse de trace et fouille de données se fait de plus en plus étroit au fur et à mesure que les tailles des traces augmentent.

La fouille de données est un domaine particulièrement actif compte tenu de la croissance vertigineuse de masses de données dans tous les domaines, en partie produites de manière purement automatique, et dont seul le recours à des moyens automatiques permettra de suivre l'évolution, d'en assurer la cohérence, d'en connaître le sens ou tout simplement de les gérer et de les utiliser. C'est devenu aussi un domaine de recherche en lui-même, les chercheurs concernés étant en quelque sorte des "mineurs"<sup>28</sup>. Les données se présentent en général sous forme d'ensemble de traces ou de flots ininterrompus de données, mais la fouille proprement dite peut opérer une succession d'abstractions sur les traces, obtenant ainsi une trace ad-hoc sur laquelle diverses analyses pourront être effectués afin d'en extraire l'information recherchée. Le point important ici est que les différents niveaux de trace constituent chacun une trace effective possible, mais aussi que la trace résultant de la fusion des différents niveaux peut être vue comme un enrichissement de la trace initiale.

On mentionne ici quelques systèmes existants qui utilisent différents moyens pour analyser des traces, de manière à en extraire des connaissances particulières. Ce qui suit correspond aussi à différents domaines d'applications où les techniques de fouille de données sont utilisées d'abord sur des traces dont on connaît l'origine, puis sur des traces dont l'origine est inconnue. Dans ce dernier cas on ne parle plus de trace, mais de flot de données. Qu'il s'agisse de trace ou de flot de données, les mêmes méthodes d'analyses peuvent s'appliquer, le point commun étant le gigantisme des traces examinées.

L'analyse dynamique de programme appartient également au domaine de la fouille de données sur des traces. C'est par exemple explicitement le cas dans les travaux de Zaidman & al. [96] qui appliquent des techniques de fouilles de données, initialement destinées aux moteurs de recherche sur le Web, pour détecter des classes clefs utiles à la compréhension de programmes. De tels travaux mettent en évidence l'augmentation continue des tailles des traces issues de

---

<sup>28</sup>. Les gueules noires modernes sont devenues des "gueules blanches".

programmes de plus en plus complexes sur lesquelles on souhaite porter l'analyse. Dans ces travaux on ne se préoccupe pas de retrouver un modèle de comportement du processus observé pour le comparer à une spécification, mais on suppose que l'on va trouver dans la trace suffisamment d'information pour pouvoir en déduire quelque chose de significatif pour orienter la recherche des bogues dans le programme.

Le système SEQ.OPEN [53] est destiné à manipuler et analyser au vol ou à posteriori des ensembles de traces produites par un ou plusieurs programmes dans le but, en particulier de faire de la détection d'intrusion. Les traces manipulées sont des traces effectives qui sont en fait des signatures produites par des chemins d'exécution d'un LTS sous-jacent dont les états sont des états actuels. L'objectif ici est d'analyser des propriétés de ces traces dans un cadre de logique temporelle, c'est à dire en fait des propriétés du modèle sémantique sous-jacent. Dans ces travaux on utilise une notion de signature éventuellement plus riche, plus proche de la trace effective. Les états du LTS sous-jacent correspondent aux états virtuels.

Une autre approche de l'analyse de trace consiste à utiliser des outils généraux de visualisation pour apprécier l'évolution de certaines observables. La visualisation peut, dans certains cas, faciliter l'observation de caractéristiques remarquables du processus que l'on veut étudier. C'est le cas par exemple de symétries que l'œil humain est particulièrement apte à détecter. Un exemple est donné avec "ILOG Visual CP" [11] ou Infovis [48]. Ces outils utilisent des données prétraitées qui doivent se présenter sous forme de tables homogènes (tableaux à double entrées, dites aussi "table models") sinon complètes et dans lesquels chaque colonne correspond à un paramètre. Un outil comme Infovis produit alors des arbres ou des graphes dérivés de ces tables avec de nombreuses formes de représentations possibles. La table utilisée est construite par une reconstruction des observables à partir des attributs de la trace effective. Dans le cas où la SO du processus observé est connue, la fidélité de celle-ci et donc la correction de la reconstruction des observables (la SI) sont essentielles.

De manière générale, on peut construire des tables contenant des méta-paramètres. Dans ce cas, chaque entrée de la table peut être également vue comme un événement d'une trace plus abstraite. Une question importante qui se pose alors est l'efficacité de la reconstruction des observables et la complexité du calcul de méta-paramètres.

Cette question est particulièrement cruciale lorsque les observables ne sont pas connues, en particulier parce que l'origine du flot de données est inconnu. Le Web est un exemple de production de flots de données gigantesques et ininterrompu. Cela donne lieu au développement d'une algorithmique des flux massifs (à titre d'illustration, voir [51]), contraints par le besoin de bonne performance. Pour cela, par exemple, on ne cherchera pas à identifier un ensemble particulier, mais seulement des caractéristiques comme sa cardinalité. On pourra alors détecter l'existence d'"éléphants" (recherche d'intrusion sur un réseau) ou au contraire des "souris".

Ce qui est intéressant ici est le lien qu'il peut y avoir entre les algorithmes d'analyse de flot de données et ceux d'extraction d'attributs, de reconstruction d'objets virtuels (les observables ou paramètres), et de construction de méta-paramètres.

Notre approche se situe plutôt en amont. Elle concerne la définition et la (re)construction d'observables élémentaires, celles à partir desquelles on recherchera d'autres observables à l'aide d'outils de fouille de données, de visualisation ou d'autres. Ce qui est en fait recherché dans notre approche, ce sont les éléments minimaux (observables élémentaires) à partir desquels tous les autres pourraient être construits. Cela suppose évidemment que l'on ait une idée de ce que l'on veut construire (les objets que l'on veut analyser) et que l'on ait les moyens d'introduire dans la trace ces éléments minimaux. Du point de vue de l'efficacité, cela veut dire que l'on recherche un équilibre entre les temps d'extraction, d'encodage et de transmission des événements de trace et ceux de sa réception, décodage et reconstruction. Mais de toutes manières le temps total de toutes ces étapes est limité, et la plus grande efficacité doit être recherchée, afin de ne pas ralentir excessivement le processus observé. Ceci bien sûr ne vaut que dans le cas où l'origine de flot de données est connue et dans une certaine mesure contrôlable.

Ce qui nous rapproche aussi des travaux sur les flots de données, c'est d'une part le besoin de donner un sens aux flots, c'est à dire de leur donner une sémantique, et d'autre part de définir des langages d'interrogation.

L'aspect langage d'interrogation de traces effectives, dans le but d'en extraire une sous-trace, est abordé dans [65], mais de manière limitée par la nécessité de ne pas ralentir le processus observé. On peut observer ici que les travaux portant sur l'interrogation continue de flots de données [8] peuvent s'appliquer, avec cependant une contrainte spécifique. En effet, le but de l'interrogation ici est non seulement de spécifier une sous-trace virtuelle, mais également d'en déduire la sous-trace effective, juste suffisante, à extraire.

Les outils sémantiques proposés ici peuvent aider à rapprocher les problèmes et à proposer des solutions générales. La sémantique interprétative décrite ici est de même nature que la sémantique des flots de données telles que celles proposées dans [71] et les systèmes de gestion de flots de données (DSMS) utilisent des modèles généraux très proches de la notion de trace effective présenté ici comme dans [19]. Certes ces travaux insistent plus sur les opérateurs sémantiques et algèbres permettant des interrogations aussi sophistiquées que possible, mais tous supposent en général ("Sémantique Web" oblige) que les sources sont incontrôlables. Ce n'est pas toujours le cas; et dans ce cas, il est intéressant de pouvoir séparer, dans l'interrogation, ce qui relève des besoins de l'analyse et ce qui relève de ceux de l'extraction.

**Des traces vers la fouille de données** Il est clair que la fouille de données ou l'analyse de flot de données se situent en aval de notre approche, c'est à dire une fois que la trace a pu être reconstruite comme donnée entrante pour une analyse. Comme on l'a vu le résultat d'une fouille peut se traduire par la

production d'une trace plus abstraite. Dans ce cas la formalisation des traces peut aider à mieux structurer les liens entre différentes analyses, en particulier lorsque celles-ci concernent des ensembles de traces issues de différents modules dont les traces ont été fusionnées.

Finalement, comme indiqué ci-dessus, l'approche formelle de la production de trace permet de distinguer clairement ce qui relève de l'extraction/reconstruction de trace et ce qui relève de l'analyse. Ceci doit pouvoir clarifier certains aspects de l'analyse de flot de données où l'on pourrait gagner à distinguer reconstruction et analyse avec des sémantiques différentes.

**De la fouille de données vers les traces** : la fouille de traces. D'une relation plus formelle entre ces domaines, on peut espérer des retombées, en utilisant des algorithmes développés dans le champs de l'analyse de flots de données, sur les manières de construire des traceurs (extraction, reconstruction, abstraction). Deux aspects peuvent être particulièrement concernés. D'une part les algorithmes d'extraction et de reconstruction des observables de la trace virtuelle, comme des attributs de la trace effective. D'autre part les algorithmes d'analyse de propriétés de la SO, quand celle-ci est connue.

Par ailleurs les travaux sur les langages d'interrogation de flots de données peuvent avoir des applications directes sur les langages de sélection utilisés dans les interactions entre analyseurs et traceurs, mais aussi dans leur implantation dans les pilotes.

#### 8.4 Modèles événements/actions

Une question qui se pose dans la spécification de modèles "Événement/Condition/Action" (ECA : "on observed Event if Cond do Action") est de déterminer qu'est ce qui est un événement et qu'est ce qui est une action. Le type d'action codée dans la trace virtuelle correspond bien à une action qui a été produite par un processus connu ou inconnu et qui elle-même a produit l'événement de trace effective. L'action en question peut être elle-même un événement de trace. L'action qui a produit la trace peut être très brève alors que sa trace est rémanente (cas de la sensation d'un long éblouissement laissée par un flash lumineux), ou au contraire l'action peut perdurer alors que sa trace est extrêmement brève (cas du flash lumineux, trace d'une explosion nucléaire observée de très loin). On voit ainsi que le même phénomène (le flash lumineux) peut être à la fois action et événement ; c'est une question de point de vue. On peut donc considérer que tout événement de trace est une action potentielle et que toute action peut produire des événements de trace. Le processus observé produit des événements de trace éventuellement sous l'action d'événements produits par d'autres processus, mais dans tous les cas un événement de trace est la conséquence d'une action.

Ce qui est déterminant ici c'est que le processus observé sert de point de référence. Il est le siège d'actions et produit une trace qui est une succession d'événements. La symétrie du modèle peut se voir de la manière suivante :

Pour la SI :

- **Utrace** : Événement : le ou les événements (de trace) pris en compte

- **AICond** : Condition (identification d'une action pour un état donné)
- **AType** et **RVState** : Action produite (obtention d'un nouvel état)

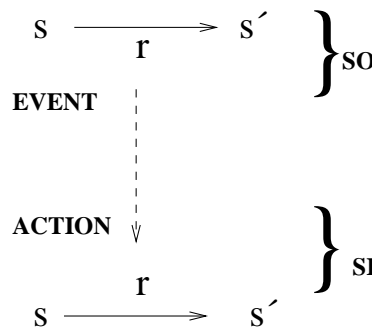
Pour la SO :

- **AType** : Événement (interne au processus observé)
- **ACond** et **ECond** : Condition (mais une condition non déterminante sur l'état courant)
- **Etrace** et **VSEffect** : Action produite sur un état courant (obtention d'un nouvel état)

Dans le premier cas (SI) un événement de trace est vu comme un événement, et dans l'autre (SO), comme une action. Il ne s'agit pas de contradiction, mais simplement le fait qu'un événement de trace joue selon le point d'observation le rôle de l'un ou de l'autre.

Ces observations ont pour seul objectif de faire le lien avec les systèmes réactifs et les algèbres d'événements. Cela doit permettre de situer les représentations des sémantiques utilisées ici par rapport aux travaux sur ces systèmes et algèbres, en particulier l'usage fait des LTS.

La revue de Alferes et May [4] montre qu'il y a beaucoup à espérer de tels rapprochements. On peut noter en particulier que dans un cadre ECA, la condition (cas de la SI) correspond à une question (query), qui est précisément une interrogation de la trace effective. Par ailleurs les LTS sont activement utilisés dans ce domaine et les résultats acquis peuvent grandement faciliter la réalisation de prototypes et vérificateurs de SO par exemples.



**Figure 20.** Dualité événement action : question de point de vue ou de causalité temporelle

Revenant à la question posée au début de cette section, la dualité mise en évidence par les sémantiques SI et SO, peut également s'annoncer : un événement est une action réalisée dans le passé et une action un événement pour le futur. Ceci est illustré par la figure 20 où la dualité événement /action est illustrée par une dualité des sémantique, au moins dans le cas de fidélité. Un événement de

trace décrit également l'action qui le produit. Il est en quelque sorte à la fois événement et action. Mais on peut aussi voir l'événement de trace comme la cause qui va provoquer de nouvelles actions : ce qui n'est au départ qu'un effet se transforme en l'action qui va générer un nouvel événement etc.

**Des traces vers les modèles événements/actions** Les sémantiques observationnelle et interprétative ont ceci de particulier qu'elles ne cherchent pas nécessairement à décrire complètement le phénomène observé, et elles peuvent se limiter aux fonctions d'extraction et de reconstruction. Lorsque l'on s'intéresse à l'étude de combinaisons de traces laissées par plusieurs processus, il peut en résulter des modèles simplifiés d'événements /actions.

**Des modèles événements/actions vers les traces** Les modèles développés dans les cadres ECA peuvent donner des voies pour la réalisation de prototypes et vérificateurs de SO. Ce peut être le cas de modèles simplifiés du "situation calculus" [75,69], ou du "fluent calculus" [92] ou "event calculus" [89] entre autres. Ces formalismes peuvent aider à conduire mieux formaliser les opérations sur les traces.

### 8.5 Fusion de données et analyse du comportement humain

Nous rapprochons ici deux domaines qui sont la fusion de données, essentiellement issues de réseaux de capteurs, et l'observation du comportement humain dans des situations médiées. Chacun de ces deux domaines d'applications constitue un domaine de recherche en lui-même. Il y a cependant des liens forts du fait que, du côté des réseaux de capteurs, on est intéressé à utiliser des techniques de fouille de données pour approcher une représentation globale d'un contexte (par exemple, en domotique, l'état de l'habitat et des personnes dans l'habitat) et l'observation du comportement humain dans des situations en interaction avec ce contexte. Nous considérons ici trois applications particulières qui sont la conduite automobile, le débogage de programmes et l'organisation d'un atelier de déstockage et emballage.

La "fusion de données" se donne comme problème d'intégrer les informations venant de différentes sources de différentes formes. Cela peut aller de simples réseaux de capteurs à des traitements simultanés d'images, de son et de mouvements. Le terme de fusion de données est abondamment utilisé dans de nombreux domaines applicatifs allant du multimédia à la sécurité et à la défense en passant par la robotique et la médecine. C'est l'exploitation d'informations de sources multiples à propos d'un même environnement pour en tirer plus d'informations que n'en apporte chaque source individuellement.

Présenté ainsi la fusion de données a une traduction directe dans l'algèbre de traces : la fusion/abstraction de traces intégrales en est une théorisation. Les données fusionnées peuvent se présenter sous la forme d'une vaste trace intégrale, résultant d'une fusion/abstraction de traces primitives, et dont il s'agit d'extraire une trace d'un niveau d'abstraction supérieur.

Dans [87] un système à base de traces pour l'apprentissage humain est présenté. Cette approche utilise des traces qui a priori ont un niveau d'abstraction supérieur

aux traces effectives intégrales définies ici, mais il ne s'agit en fait que d'une différence de niveau d'abstraction. Ce qui est remarquable c'est la similarité des approches. Ces travaux sur l'apprentissage se situent dans le cadre d'environnements informatiques pour l'apprentissage humain (EIAH). Ce cadre est très général puisque tout système de simulation peut être considéré comme un EIAH, c'est à dire un système dans lequel un opérateur humain peut être observé par un réseau de capteurs (qui peut être éventuellement réduit à la trace de ce qu'il frappe sur un clavier) ainsi que le contexte dans lequel il agit.

Le travail de recherche va consister à définir préalablement de bonnes observables et à obtenir une trace d'un niveau adéquate susceptible de rendre compte de l'évolution de l'opérateur humain dans son contexte, lui-même en évolution. Ceci fournit les éléments indispensables à la découverte des protocoles d'action utilisés par l'opérateur dans des contextes particuliers. Chaque protocole constitue ce que nous appelons ici un scénario.

### Conduite automobile

Le projet "Abstract"<sup>29</sup> [54], se donne comme objectif d'étudier les moyens de mieux comprendre une activité humaine à partir d'enregistrements informatisés de cette activité. Une de ses applications phares est l'analyse du comportement du conducteur automobile.

La méthode employée débute par le recueil d'une "trace d'activité" constituée d'événements élémentaires collectés lors d'expérimentations de conduite avec un véhicule instrumenté.

Les données sont obtenues par des caméras, des capteurs (vitesse, angle du volant, enfoncement des pédales, télémètre, position GPS, oculomètre - appareil enregistrant les mouvements des yeux-), et par interview du conducteur. Cette étape de pré-processing inclut des traitements de bas niveau tels que la calibration des capteurs, le filtrage du "bruit", l'élimination des variables non intéressantes. La trace collectée se présente comme une suite d'événements estampillés avec un chrono et est le résultat d'une "discrétisation" des données. Par exemple on extrait les points remarquables des courbes analogiques (Seuils, Mins et Max locaux, Points d'inflexion); ou des événements de déclenchement de zones d'intérêt de l'oculomètre. Dans tous les cas l'observation doit produire un ensemble de données datées, c'est-à-dire que chaque élément d'information est rattaché à un instant de l'activité repéré par un "Time-Code".

A la suite de ce premier travail, une trace "première"<sup>30</sup> est donc obtenue qui contient à la fois des observables concernant le comportement du conducteur (gestuelle, témoignage) et contenant des éléments de contexte (position du véhicule, orientation sur la route, position des autres véhicules sur la route, etc...). L'obtention de cette trace première résulte d'une fusion au sein d'un

29. Description extraite de <http://liris.cnrs.fr/abstract/abstract.html>.

30. Dans [30], la première trace construite est dite trace "première, alors que la trace plus abstraite obtenue par construction de nouvelles observables pertinentes pour l'étude que l'on veut mener est dite trace "métier". Dans notre approche la trace métier est donc simplement de trace obtenue à partir de la première par abstraction.

réseau de traces, chaque capteur en particulier produisant sa propre sous-trace première de plus faible niveau d'abstraction.

La trace première est ensuite modélisée dans un système d'ingénierie des connaissances [63] qui utilise en particulier des techniques de fouille de données. Cet outil logiciel permet de mener un processus progressif d'abstraction des données collectées afin de les rattacher à des concepts relevant de l'étude menée. Ceci peut aboutir à un relevé exhaustif ou à la mise au point de protocoles remarquables, ou scénarii, susceptibles d'utilisation dans différents champs : compréhension du comportement du conducteur (applications dans le champ cognitif) et études sur la prévention d'accidents (champ sécurité), ou amélioration de l'apprentissage (applications dans le champ de l'ergonomie ou de l'enseignement).

### Débogage de programmes

La mise au point de programmes fait partie des mystères de la programmation, et il n'est pas question ici de se livrer à son étude exhaustive. On se limitera à considérer brièvement cette question sous l'angle de l'analyse du comportement d'un programmeur situé dans le contexte "automatisé", c'est à dire et pour fixer les idées, utilisant un langage de programmation dont la sémantique est bien formalisée, un environnement de programmation pour ce langage tout aussi bien formalisé (avec des possibilités d'édition et d'analyses d'exécutions) et attaché à coder un problème dont l'algorithme est déjà connu<sup>31</sup>.

Le débogage de programme est un élément de la mise au point de programmes, laquelle peut être vue comme une spirale où les phases de production de code, essai et débogage s'enchaînent jusqu'à aboutir à un certain niveau de qualité. La phase de débogage vise en général à corriger des défauts (ou "erreurs") suite à une phase de tests non satisfaisants mettant en évidence des symptômes d'erreur. L'observation du programmeur porte sur son comportement lors de la localisation d'une erreur et les modifications conséquentes apportées alors au programme. Elles peuvent également porter sur la manipulation des outils mis à sa disposition (en particulier ceux utilisant des traces d'exécutions).

Déjà en 1988, M. Ducassé note dans [45] la variété des paramètres qui doivent être pris en compte comme la représentation mentale du programme escompté, la compréhension du programme réellement écrit, la maîtrise du langage de programmation, l'expertise générale en programmation, la connaissance du domaine d'application, la connaissance pragmatique des erreurs possibles, et bien sûr la connaissance de l'environnement de débogage. Elle souligne également l'importance de l'interaction entre le programmeur et l'outil.

Malgré tous les progrès réalisés dans ce domaine jusqu'à aujourd'hui, P. Greussay questionné en 2005 par P. Berger [55] sur l'acte de création en mathématiques (s'agissant ici essentiellement de la création dans un cadre formel et la programmation) cite ce dialogue typique entre un enseignant et son étudiant.

---

31. Ce point peut être plus délicat à bien formaliser. Une manière de contourner cette difficulté est de considérer que l'algorithme existe dans un autre langage bien formalisé.



*La programmation nous donne un exemple bien connu : la situation où votre programme ne marche pas bien, ou pas du tout, et après tous vos efforts, après des heures de vérification, où vous avez mis tout votre savoir, votre flair, vos outils... vous ne voyez pas, vous ne voyez pas...*

*Alors, vous allez demander de l'aide à quelqu'un, à moi, par exemple. Je viens, je me mets devant le terminal et le dialogue s'engage :*

*- Montre moi le source. - Tu ne veux pas que je t'explique ? - Non, parce que, même si l'explication est intéressante, tu ne m'as pas fait venir pour comprendre la chose, mais pour que je trouve ton erreur.*

*Alors le source commence à défiler, vous expliquez ce qui se passe, comme d'habitude, avec toutes sortes de gestes, d'emphases, des diminutions du timbre de la voix, des regrets, des excuses quelquefois devant du code que vous avez rédigé de façon un peu hâtive et, à un moment donné, vous dites :*

*- Là, tu vois, lorsque la table prend l'indice  $n+1$  ... - Quoi ? - Tu vois bien, le tableau qui accède à l'élément d'indice  $n+1$ . - ... Ah, mais tu as mis  $n-1$  ! - Aaaah !*

*Ainsi, je n'ai rien compris, rien voulu comprendre. Tout ce que j'ai fait, c'est de comparer ce que vous me disiez, ce que vous me disiez de voir, avec ce que je voyais moi-même.*

Les systèmes d'aide à la mise au point de programmes tendent à proposer des stratégies de recherche d'erreur à partir de symptômes. Ils vont proposer des outils pour identifier des symptômes (analyses statique et dynamique), réaliser des découpages de programmes en portions réduites suspectes (slicing), proposer des stratégies de localisation d'erreur (comme dans le débogage déclaratif où le système se charge de poser des questions pertinentes selon plusieurs stratégies possibles) et finalement faciliter les modifications de programme (éditeurs).

Le dialogue qui précède et la méthode qu'il utilise ne peuvent être envisagés sur des programmes comportant des milliers de modules et des millions de lignes de code. Il montre cependant que, aussi sophistiqués soient-ils, les outils automatiques peuvent ne pas être suffisants. Il illustre simplement une stratégie proprement humaine de localisation d'erreur. Il suggère que toute stratégie automatisée, aussi perfectionnée soit-elle a des limites. Il montre aussi qu'il peut être intéressant de prendre en compte le dialogue éventuel entre programmeurs, c'est à dire une dimension collective et humaine de la construction d'un programme pour l'inclure dans les environnements de mise au point.

Rarement en effet l'analyse directe du comportement du programmeur s'intègre dynamiquement dans un environnement de programmation. Celui-ci contient de manière figée l'expérience personnelle du concepteur et/ou les éléments d'enquêtes de besoins auprès de programmeurs (voir [3]), qui guident les concepteurs d'environnement. Parfois ces environnements intègrent des avancées techniques originales comme la création automatique de documentation ("literate programming" [62] et ses successeurs) ou l'édition collaborative. Mais peu d'environnements encore, permettent de prendre en compte les aptitudes des programmeurs, leurs actions et leurs interactions. \*\*\*voir Scapin, Bisseret

Le projet OADymPPaC [33] a tenté en 2003 ce type d'approche dans un contexte particulier : le projet ayant développé une trace (format générique pour la résolution de contraintes appelé GenTra4CP) susceptible de permettre l'observation de solveurs de contraintes<sup>32</sup> ; il s'agissait alors d'identifier de bonnes observables du comportement d'un programme, c'est à dire celles que l'on pourrait montrer au programmeur pour le mettre sur la piste de corrections à faire ou d'améliorations à apporter. Il semblait alors intéressant de partir de l'observation du comportement des programmeurs. Une expérience a été montée dans ce but. De petits groupes ont été formés, chacun traitant un problème caractéristiques de diverses classes de problèmes en PAC. Chaque groupe devait décrire, sous la forme d'un scénario, les étapes allant de la programmation à la mise au point, en passant par les essais, le monitoring, éventuellement une analyse de trace. Toutes les étapes souhaitées devaient être proposées, le plus librement possible, sur papier.

L'expérience en fait n'a pas produit de résultat exploitable car pour mener à bien ce type d'étude, le projet ne disposait pas d'outils permettant d'observer de manière suffisamment précise le comportement des groupes de programmeurs qui élaboraient les programmes, comme un environnement de travail multimédié<sup>33</sup>.

Dans ce type d'approche l'utilisation de système de gestion de traces pour suivre des co-acteurs comme dans [77] (deux sujets tentent ici d'élaborer ensemble la description du mode opératoire d'un origami montré en video) peut être un élément fondamental du dispositif de recherche.

En fait ce que l'on recherche d'essentiel dans ce type d'approche c'est la possibilité de décrire le comportement du ou des programmeurs aussi précisément que possible, y compris avec tous leurs éléments subjectifs, c'est à dire à la fois le comportement des acteurs et leurs réflexions.

Ceci devrait aboutir à la réalisation de scénarii de mise au point. Ils peuvent être utilisés pour renforcer une démarche d'apprentissage. C'est le cas dans [45] où des scénarii très courts caractérisent des modes de débogage de programmes ([43] décrit une autre langage pour le même objectif). Ils peuvent être utilisés dans un mode réflexif pour un renforcement autonome. Un système de type e-Lycée [30] permet à l'utilisateur de travailler dans un mode adaptatif en mémorisant ses essais et tirant des enseignements de l'analyse de leur trace.

### **Observation d'un atelier de (dé)stockage et emballage**

Le projet européen NetWMS débuté en 2007 [46], a pour objectif d'intégrer des techniques de réalité virtuelle et d'optimisation dans le cadre de la gestion globale (et en réseau) d'ateliers de stockage et d'expédition. Le noyau du

---

32. Dans les solveurs de contraintes (il s'agit ici de réduction de domaines finis) les stratégies de réduction de domaines sont souvent obscures ou imprévues, d'où l'intérêt de pouvoir les observer pour tenter de comprendre certains comportements de solveurs.

33. Le projet OADymPPaC, n'étant pas pluridisciplinaire, n'avait pas prévu que la recherche de bonnes observables pouvait passer par une intervention d'approches cognitives. Les budget étant strictement fléché à l'avance ne permettait pas de telles inflexions.

projet repose sur un modèle de remplissage de modules contenant à différents niveaux de granularité (boîtes, palettes, conteneurs, lignes de production, train ou camion,...) et la gestion de leurs déplacements, sa programmation par des techniques d'optimisation reposant sur la programmation par contraintes, et sa simulation par des techniques de réalité virtuelle. Ce noyau doit contribuer à la mise au point d'un produit de niveau industriel.

Le nombre de paramètres intervenant dans ce contexte (de l'atelier de stockage au transport par train d'éléments parfois très complexes -pièces d'un moteur par exemple) peut être extrêmement élevé. Outre les paramètres relativement standards réglant le remplissage de l'espace en fonction de la forme des objets, de leur poids, des moments de chargement/déchargement, de leur fragilité, il y a des paramètres dont la prise en compte est moins facilement formalisables. Les objets sont-ils déformables, pliables, glissant les uns sur les autres ? peut-on les empiler en laissant des espaces, craignent-ils les vibrations, que se passe-t-il si l'un d'eux se casse, comment peut-on les saisir pour les placer avec un appareil de levage ou un opérateur mais sans contorsion dangereuse, etc...

Deux systèmes ont été développés : un langage de contraintes permettant de produire automatiquement des paquetages dans différents contextes [72,73] et un environnement de simulation basé sur la réalité virtuelle permettant soit une visualisation d'une programmation, soit la recherche manuelle de solution dans des cas difficiles.

Le langage de contraintes permet de définir des contraintes très élaborées spécifiant des règles métier. Pour autant ce type de modélisation n'aboutit pas toujours à une solution, ou aboutit à une solution insatisfaisante. La simulation permet de faire rechercher manuellement alors, une solution soit en levant des contraintes, soit en les modifiant. Il y a en effet un élément particulier dans ce projet : on peut envisager de tracer tant la partie automatisée (recherche des meilleures solutions avec les paramètres pris en compte) que ce qui reste de non automatique, car, à moins de standardiser complètement une ligne de déstockage/chargement (formes et propriétés prédéfinies des objets et des boîtes, garantissant une solution dans tous les cas), il y aura toujours une frontière à partir de laquelle une intervention humaine sera requise.

La définition d'une trace assez complète avec des observables appropriées permet alors d'envisager un perfectionnement semi-automatique des contraintes utilisées en permettant la découverte et la formulation de nouvelles règles. Trois étapes peuvent aboutir à ce résultat :

- Identification par simulation de scénarii (contexte et procédure utilisée) où l'approche automatisée est en échec.
- Recherche d'une solution par manipulation humaine avec reconnaissance de règles caractérisant cette solution.
- Enrichissement du langage de contrainte avec ces nouvelles règles.

**Des traces vers l'analyse du comportement humain** Le recueil de traces est un outil de base pour l'analyse du comportement humain en contexte. Notre approche met en évidence plusieurs formes de sémantique liées aux traces :

compréhension (SI), modèle de production sous-jacent (SO) et abstraction (passage à un autre niveau sémantique). Une telle systématisation peut aider à préciser les niveaux d'analyse et d'observation et à utiliser les bonnes techniques d'analyse au bon niveau. L'algèbre de traces peut aider à améliorer l'utilisation de traces pour l'analyse du comportement humain comme de systèmes automatiques.

**De l'analyse du comportement humain vers les traces** L'approche fusion de données et la nécessité de concevoir et tracer des situations de contexte extrêmement complexes (il s'agit en fait d'un "jeu" à trois entre humains et artéfacts dans un contexte médiké) pose le problème de gestion d'un grand nombre de traces, pouvant amener de ce fait à faire évoluer l'algèbre des traces (donc la méthodologie de développement de traces), probablement par un raffinement de celle-ci et une meilleure connaissance des sémantiques.

## 8.6 Modélisation conceptuelle et WEB sémantique

Lorsque l'on cherche à spécifier un système d'information, la modélisation conceptuelle ("conceptual modeling") est l'activité de spécification et de mise en œuvre des connaissances générale dont le système a besoin pour accomplir certains services.

Cette activité est particulièrement stimulée par le "WEB sémantique", le "WEB 2.0", siège d'accumulation de connaissances, d'interactions de toutes natures, de réseaux sociaux, de collègues visibles et invisibles, de calculs à grande échelle, de bases de données sur tous les domaines numérisables, de services commerciaux ou sans but lucratif, qui se développent, s'enchevêtrent et interagissent de manière de toujours plus variée et accélérée. Selon [31], les technologies du Web sémantique rendront possible des représentations structurelles et sémantiques de documents offrant ainsi des possibilités totalement nouvelles : recherche intelligente au lieu de sélection par mots clés, réponses interprétant les questions au lieu de simples recherche d'information, échange de documents entre les départements d'une entreprise par mise en correspondance élaborées d'ontologies, définition de vues personnalisées de documents. Il est maintenant reconnu que les domaines centraux du WEB sémantique concerne l'automatisation de la structuration des connaissances par des ontologies et le développement de capacités de raisonnement associées<sup>34</sup>.

Le réseau européen Rewerse<sup>35</sup> a mis en avant le fait que les langages permettant d'incorporer des raisonnements sont essentiels pour le développement des systèmes WEB. La plupart des applications les plus avancées relevant du WEB sémantique font appel à du raisonnement (caractérisé comme capacité logique, déductive ou calculs basés sur des règles).

34. "WEB sémantique" est ici opposé aux aspects techniques et théoriques propres à l'infrastructure WEB, comme les moyens de communication et réseaux, les performances, la fiabilité et la sécurité.

35. "Reasoning on the Web with Rules and Semantics", <http://reverse.net/publications.html>

Une caractéristique du WEB sémantique est que l'acquisition des connaissances nécessaires pour un service particulier est, pour l'essentiel, totalement automatisée (par exemple "logs" des accès à un site, relevé des habitudes de consommation, surveillance des communications téléphonique, collecte d'images d'un télescope, observation de l'activité des utilisateurs de Windows, . . . , etc.), puis les connaissances acquises sont réutilisées également de manière totalement automatisée. Cette automatisation globale rend particulièrement nécessaire la possibilité de suivre le cheminement des calculs et raisonnements réalisés pour un service particulier. Cette nécessité correspond à des besoins variés allant de la mise au point d'applications, à l'utilisation d'explications afin d'améliorer une application, par exemple, par une méthode auto-adaptative, ou simplement de pouvoir comprendre et justifier le comportement a posteriori du système automatisé.

De nouveaux produits et systèmes exigent la participation de professionnels couvrant de multiples disciplines et de divers autres intervenants, notamment les clients, qui ont besoin de communiquer et de partager une compréhension commune de toutes les caractéristiques du système, ses subtilités, et leurs implications, en partageant un espace commun de concepts. Un élément essentiel dans la solution de ce problème réside dans un accord entre ces spécialistes, et l'adoption d'un langage générique de modélisation conceptuelle, d'un cadre, d'une ontologie et de la méthodologie susceptibles de fournir une base commune pour toutes les parties concernées.

Il y a une convergence croissante en terme de méthodes, langages et outils de développement, pour répondre aux besoins des concepteurs de logiciels qui imposent de combiner des technologies allant des méthodes plus traditionnelles de développement de logiciels comme celles basées sur l'approche MDA ("Model Driven Architecture") ou MDE ("Model Driven Engineering), aux langages de modélisation tels que UML (Unified Modelling Language), RDF ("Resource Description Framework") ou OWL ("Web Ontology Language") par exemple. Les entrepôts de données "Data Warehouse (DW)" et les technologies OLAP ("Online Analytical Processing") sont au cœur des systèmes d'aide à la décision ou des services multimédia.

On voit ainsi qu'au delà de questions du choix d'un langage susceptibles de répondre aux besoins, se posent des problèmes de généricité, c'est à dire la capacité de décrire et de réaliser la modélisation conceptuelle du système projeté, indépendamment de l'implantation dans un langage particulier.

La mise au point et l'analyse du comportement de systèmes d'information réunissant plusieurs domaines différents et plusieurs formes de support de l'information nécessitent de pouvoir observer le déroulement des diverses opérations et calculs dont ils sont le siège. Modélisation conceptuelle et WEB sémantique soulèvent le problème de pouvoir disposer de traces génériques pour analyser l'ensemble d'un système avec des observables susceptibles de couvrir plusieurs aspects.

Sans chercher à apporter de réponse globale à ce type de préoccupation, nous illustrons cette recherche d'observables dans le contexte de la modélisation conceptuelle avec deux approches : conception collaborative de modèles UML, définition de traces pour des extensions du solveur de contraintes CHR.

### Conception collaborative de modèles UML

Une application remarquable du point de vue de l'utilisation de traces dans le cadre de la modélisation conceptuelle a été réalisée par Xavier Blanc et al. [15]. Il s'agit d'un moteur d'inférence Prolog capable de détecter les violations de contraintes structurelles et méthodologiques dans le cadre de modèles de pré-spécifications développés en UML2.1, lesquels sont intégrés dans deux environnements de modélisation Eclipse EMF et "Rational Software Architect" (RSA). Le système global est développé par parties de manière distribuée. Chaque développement d'une partie est représenté par la trace de ses modifications. Ce n'est que lorsque l'on cherche à assembler des parties que les traces sont utilisées pour vérifier la cohérence de l'ensemble. Les règles de consistance structurelles et méthodologiques peuvent alors être exprimées uniformément par des contraintes logiques portant sur les séquences de traces propres à chaque sous-modèle utilisé.

Dans ce type d'approche chaque trace joue un rôle explicatif en décrivant précisément les modifications apportés localement à une partie du modèle global. Cette approche relève de l'approche plus générale de la traçabilité dans la conception de modèles [7]. On est alors confronté à la nécessité de traiter ensemble plusieurs niveaux de traces : les traces éventuelles de chaque composants, les traces des programmes explicatifs et les traces des modèles à un niveau en quelques sortes supérieur. Il s'agit alors de gérer des traces à différents niveaux d'implantation et de conceptualisation. Cette situation impose des méthodes avec une vision suffisamment générale des objets manipulés que sont ces traces.

### Traces dans CHR<sup>V</sup> et applications

Dans [81], J. Robin et J. Vitorino présentent un projet de système, appelé ORCAS, dont le but est de constituer un cadre méthodologique aisément extensible pour des composants logiciels de raisonnement réutilisables. Son originalité tient essentiellement dans la juxtaposition au sein d'un même modèle de génie logiciel de techniques de développement de logiciel basées à la fois sur les approches MDA, composants logiciels, orientation aspects et méthodes formelles. Cette approche repose sur l'utilisation à tous les niveaux d'un moteur d'inférence basé sur CHR<sup>36</sup>, qui sert à la fois à encapsuler les données (ou connaissances) et leurs traitements au sein de chaque composant. Cette approche est mise en application dans [82] où il est proposé de reformuler la plupart des tâches impliquant du raisonnement automatique sous forme système de résolution de contraintes. Parmi les conditions essentielles au développement de ce type de plateforme, les auteurs soulignent la nécessité de disposer d'interfaces accueillantes susceptible de fournir des "explications" du comportement du solveur.

---

<sup>36</sup>. Constraints Handling Rules, [http://www.informatik.uni-ulm.de/t3-pm/fileadmin/pm/home/fruehwirth/chr-team/publications\\_index.htm](http://www.informatik.uni-ulm.de/t3-pm/fileadmin/pm/home/fruehwirth/chr-team/publications_index.htm)

Le besoin de pouvoir traiter toutes sortes de raisonnement, y compris des révisions de connaissances ou raisonnement non monotone, on amené les auteurs à introduire une extension de CHR,  $\text{CHR}^\vee$  [95]<sup>37</sup> muni, entre autres particularités, de la possibilité de comportement adaptatif. La mise en œuvre de ce type de comportement implique de pouvoir produire un trace de l'activité du solveur, l'analyser et modifier les heuristiques de résolution en fonction de l'évolution de certains paramètres. Cela permet également de mêler plusieurs formes de recherche de solutions (exploration dirigée de l'espace de recherche, recherche locale ou autre méthode).

ORCAS, implanté avec les extensions CHR, contient des besoins de trace à la fois au niveau le plus profond (CHR), au niveau méthodologique (basé UML) et au niveau de l'application (raisonnement accessible aux utilisateurs). Ces aspects concernent précisément la définition de traces intégrales avec composition, abstraction, sélection et fusion ; trace d'autant plus vaste que les outils potentiels d'observation sont plus nombreux. Une question cruciale concerne le contenu de la trace d'un système de raisonnement : fonctionnement détaillé du solveur, simple utilisation des règles, conditions de réveil ou évolution du domaine de connaissances. Dans ces différents cas, le niveau des paramètres n'est pas le même et c'est toute l'algèbre des traces qui doit être mise en œuvre dans un cadre méthodologique méticuleux.

**Des traces vers la modélisation conceptuelle** La notion de trace générique concerne directement la modélisation conceptuelle puisqu'il s'agit de parvenir à définir les observables communes à des domaines hétérogènes et correspondant à différents niveaux d'observation. L'approche algèbre de trace ne fournit pas de méthode directe pour l'obtention de ces observables, puisque celles-ci dépendent du champ d'application. Par contre elle offre un cadre méthodologique pour les rechercher. A ce titre, elle constitue un des éléments à prendre en compte dans l'élaboration du modèle.

**De la la modélisation conceptuelle vers les traces** La modélisation conceptuelle constitue un champ d'application privilégié pour l'algèbre des traces, susceptible de fournir des exemples élaborés de traces génériques. A ce titre elle peut contribuer à l'approfondissement de l'approche. L'approche par la modélisation conceptuelle et la variété des applications multidomaines munies d'ontologies ad-hoc constituent un potentiel d'expériences visant à produire des observables propres à un champ d'applications. La définition de traces pour des moteurs d'inférence susceptibles de modéliser des systèmes informatiques constitue un champ d'expérience privilégié.

## 8.7 Auxiliaire de mémoire

On s'intéresse finalement aux rapports entre l'approche des traces telle que proposée ici et certaines formes de mémoire humaine (au pluriel car il n'y a

---

37. Plus précisément, il est proposé d'utiliser une combinaison de CHR muni de capacités d'auto-adaptation et de  $\text{CHR}^\vee$ , une extension de CHR avec disjonction.

pas une seule mémoire). Il ne s'agit pas de faire une analyse exhaustive des phénomènes cognitifs liés à ce que l'on appelle couramment la mémoire, mais de voir dans quelle mesure notre approche des traces pourrait jouer un rôle dans l'élaboration d'artéfacts susceptibles d'aider les humains à renforcer leur mémoire, que nous appellerons ici *auxiliaires de mémoire*.

Il faut tout d'abord remarquer que le fait d'externaliser sa propre mémoire dans le but plus ou moins explicite de ne pas la perdre ou simplement de l'entretenir, occupe une partie importante de l'activité humaine. Prendre des notes, les classer, utiliser un agenda, constituer une bibliothèque, organiser son environnement participent à un tel but. Les personnes âgées vivent dans un environnement rempli d'objets souvenirs qui contribuent à leur qualité de vie, c'est à dire qu'ils les aident en partie à conserver une partie de leur mémoire. Cette attitude est en particulier très joliment décrite dans le roman de Delphine Coulin intitulé "Les Traces" [26] où les personnes âgées, au delà des traces matérielles de leur environnement qu'elles conservent et qui éventuellement disparaissent à leur mort, peuvent être elles-mêmes vues comme des mémoires vivantes, traces de vie qui progressivement s'estompent. On voit ainsi que la simple automatisation d'une bibliothèque relève de l'utilisation d'un artéfact numérique à des fins d'amélioration d'une mémoire individuelle ou collective. Si l'idée d'auxiliaire de mémoire peut englober en fait de vastes systèmes sociaux, nous nous limitons ici à ce qui est usuellement appelé "mémoire personnelle" plus proche d'un agenda perfectionné susceptible d'accompagner la personne à chaque moment de sa vie, en excluant ici la réalisation d'un cadre global qui serait dans le champ de la domotiques.

En 1945 Vannevar Bush a écrit un article intitulé "As We May Think" dans lequel il jetait les bases de Memex [17] : "un appareil dans lequel un individu peut stocker tous ses livres, musiques et autres éléments de communication, et mécanisé de telle sorte qu'il peut être consulté très rapidement et de manière très flexible". Memex devait avoir une mémoire virtuellement illimitée. Il aurait des annotations, ce que l'on pourrait appeler aujourd'hui des hyperliens. Il imaginait déjà que l'ordinateur pourrait devenir si puissant et traiter des données si variées, qu'il pourrait être utilisé comme extension, sinon parfaite, au moins exhaustive de la mémoire humaine.

On a bien compris aujourd'hui que, malgré toute l'augmentation de la puissance de calcul et de mémoire de machines de plus en plus miniaturisées, la mémoire humaine ne peut être vue simplement comme des mécanisme d'accès à des informations accumulées sans arrêt ni limite. Malgré toute sa richesse combinatoire, aucun cerveau humain n'aurait une capacité de stockage suffisante. La mémoire relève de capacités particulières de stockage temporel, d'abstraction, d'oubli et de rappel sélectif. Enoncé ainsi, on observera combien ces fonctionnalités de la mémoire sont analogues à l'algèbre des traces étudiée ici, et dont les opérations pourraient s'appliquer comme la composition, la fusion, l'abstraction et la sélection d'événements de diverses portions de traces produites par nos différents sens.



D'une manière tout à fait classique, comme le résume G.Chapouthier [20] p.64 et suivantes, on peut caractériser la mémoire humaine selon trois axes : sensoriel, temporel et abstrait. Sur l'*axe sensoriel* les sensations tactiles, auditives, visuelles, olfactives, etc. L'*axe temporel* se réfère à la rémanence du souvenir : brève est la mémoire de travail (au plus quelques minutes), dite aussi épisodique ou mémoire transitoire ; plus durable (de quelques heures à plusieurs années) la mémoire dite de référence. Celle-ci correspond aux acquis stables. Enfin sur l'*axe abstrait* s'opposent la mémoire procédurale ou implicite (les habitudes acquises) et la mémoire déclarative ou explicite (les significations). Dans la première le rappel est spontané et immédiat (mouvement travaillé du geste sportif par exemple mais dont la réalisation correcte se fait selon des circuits neuronaux rapides), alors que dans la seconde un appel à la réflexion est nécessaire. C'est celle qui nécessite en particulier le recours à des formes de raisonnement.

Ainsi sommairement classées, chaque mémoire a son mode d'utilisation ou de *rappel*. Par exemple pour la mémoire implicite, le rappel est inconscient et "automatique" -c'est un "savoir comment"-, alors que pour la mémoire explicite, le rappel est conscient et relève de l'application de règles (lesquelles auraient une fonction plus sémantique) -c'est un "savoir que"- . Ces mécanismes de rappel, plus ou moins rapides sont associés à un phénomène d'oubli qui opère un tri dans les deux sens sur ce qui doit être "enregistré" ou non, et ce qui doit être récupéré ou pris en compte.

Notre but ici n'est pas de chercher à réaliser un modèle de la mémoire vivante évoquée ci-dessus, mais essentiellement de rechercher des moyens de renforcement externe, des formes d'extension "mécaniques" non vivantes, qui permettraient de la renforcer.

Disposer d'une mémoire auxiliaire externe aurait pour résultat une amélioration de la mémoire vivante qu'elle est destinée à renforcer. Un tel dispositif pourrait également être utilisé pour améliorer la vie de personnes atteintes de certains troubles mnésiques. Une manière d'aborder cette question est de ne considérer de la mémoire vivante que ce qui peut être externalisé.

On va donc s'intéresser à une forme de mémoire correspondant à des informations digitalisées (axe sensoriel), durables (axe temporel), et essentiellement conscientes (axe abstrait). Toute sensation qui peut être numérisée peut en effet être codée dans un paramètre d'une trace virtuelle (image, son, texte, ...); il n'y a donc pas lieu d'être plus spécifique. Nous ne nous préoccupons pas ici de la question de l'acquisition ni du codage particulier de ces informations. Ces questions font l'objet de nombreuses recherches (voir en particulier la série de colloques [12]) mais ne nous concernent pas directement ici.

La mémoire de travail n'a pas à être distinguée ici de la mémoire à long terme. Tout événement de trace à une marque de temps (le chrono). La question de savoir s'il s'agit d'un événement propre à la mémoire de travail ou de référence est a priori une simple question d'ancienneté de l'événement<sup>38</sup>. Une analyse plus

---

38. Une propriété importante de la mémoire de référence est que le réveil d'un souvenir ancien le fragilise à nouveau de telle sorte qu'il devient labile à son tour, c'est à

fine relève du fonctionnement proprement humain de la mémoire, mais surtout, et comme il ne s'agit pas ici d'imiter la mémoire humaine, la présence d'un chrono permet d'envisager toutes sortes de degrés de temporalité.

Enfin sur l'axe abstrait, il n'y a pas non plus à distinguer les traitements rapides inconscients des traitements conscients plus lents ; cette distinction est plus physiologique que calculatoire. En effet la distinction entre une mémoire dont le rappel est automatique et donc reposerait éventuellement sur un algorithme, et une mémoire dont le rappel est explicite et donc reposerait sur des règles et leur utilisation dans un "raisonnement", correspond seulement à une représentation différente des calculs à effectuer. La distinction ici est juste une question de codage. Ceci ne veut pas dire que certains traitement opérés sur des traces, et selon les procédés de calcul utilisés, ne puissent être plus ou moins efficaces.

De nombreux travaux concernent plus ou moins directement l'idée de réalisation de mémoires externalisées. Nous en considérons deux. L'intérêt de ces travaux ici est qu'ils illustrent deux aspects complémentaires de l'organisation possible d'une mémoire artificielle : le mémoire vue comme un fichier unique d'événement de traces, ou la mémoire vue comme une collection de fichiers (correspondant chacun à un domaine particulier de stockage d'informations) qu'il faut pouvoir gérer comme un système fichiers.

Dans [61] A.Kiss et J.Quinqueton présentent un système où les événements de trace ont la forme de "stances" situées dans un temps et un espace. Ce sont des fragments significatifs d'histoire personnelle, des fragments contextuels ou des résumés de tranches de vie, qui contiennent des aspects événementiels codables dans un langage et avec des données digitalisées. Le traitement envisagé consiste à stocker séparément les données digitalisées (séquences de bits à partir desquelles on peut reconstituer image, son, vidéo ou tout autre sorte élément d'information reconstituable) et le réseau de "stances". Le rappel des "souvenirs" se fait au final à partir du réseau des stances stockées, indexées et liées par des relations de sens. Ce réseau sert de méthodes d'accès aux ressources. Une implantation a été réalisée sous forme d'une base généalogique de souvenirs personnels, gérée comme une application WEB.

Une autre forme d'approche, complémentaire, est suggérée par un système comme LISFS [78]. C'est une approche logique des systèmes d'informations où chaque composant élémentaire d'information est automatiquement classé (approche ontologique et abstraite basée sur l'analyse de concept) et rappelé au besoin selon un raisonnement plus ou moins efficace dépendant de la logique utilisée. Diverses applications de cette approche ont été réalisées, en particulier une implantation originale et non hiérarchique d'un système de gestion de fichiers. Du point de vue de la gestion de traces mémorielles, cette approche serait applicable en considérant des groupes d'événements de trace comme des fichiers, un raisonnement logique plus ou moins élaboré fournissant une méthode de rappel.

---

dire qu'il devra suivre à nouveau un processus de stockage à long terme avec un risque d'oubli. Dans le cadre d'un artefact tous les événements de trace restent stockés de toutes manières, ce qui constitue d'ailleurs son principal intérêt.

Ce n'est pas l'objet ici de discuter tous les aspects liés à la réalisation de tels artéfacts, ni d'évoquer toutes les voies possibles ni tous les problèmes à résoudre pour y arriver, ni les limites pratiques qu'il faut surmonter pour qu'une mémoire vivante puisse piloter avec profit une mémoire auxiliaire mécanique<sup>39</sup>. Il est clair cependant que dans de tels travaux la notion de trace (ici trace mémorielle) est centrale.

**Des traces vers les mémoires** Les mécanismes de rappels dans la mémoire vivante sont certainement plus nombreux et complexes. Ce qui apparaît cependant ici est que l'algèbre de traces (accumulation, fusion, sélection et abstraction d'événements de traces) peut aider à décrire certains aspects de la mémoire et ses fonctionnalités de base et de ce fait aider à concevoir des auxiliaires de mémoire.

**Des mémoires vers les traces** On ne peut formuler à ce stade de l'analyse du domaine des retombées directes. Il est certain cependant, comme on le voit ci-dessus, qu'une fois des liens formels établis entre les recherches cognitives sur la mémoire et une approche formelle des traces, des enrichissements propres de l'algèbre des traces ou des adaptations puissent en résulter.

## 8.8 Epistémologie

L'histoire (moderne ou ancienne) peut être vue comme une recherche de traces. Il en est de même dans la géologie, la physique ou l'astronomie comme dans de nombreuses sciences. L'existence de ces familles de traces et les réflexions sur les manières de les construire et de les manipuler est au cœur de l'épistémologie vue comme théorie de la connaissance (au sens large) ou philosophie de la science.

La particularité des traces à laquelle nous nous attachons est le fait qu'une trace est toujours le résultat de la discrétisation d'un éventuel continuum d'origine, dont elle transforme la "ligne de temps" en un relevé discrétisé (chaque événement étant estampillé par le chrono) et spatialisé (déposé sur un support dont une dimension au moins correspond à la ligne de temps et permettant diverses formes de manipulation). Par exemple un livre autobiographique peut être vu comme la trace objectivée d'une histoire subjective, discrétisé par les numéros de page et spatialisée sous forme d'un support papier dont la forme et la consistance permettent certaines manipulations du récit (retour arrière par exemple). Le même livre, aujourd'hui numérisé, permettra bien d'autres manipulations puisque l'on pourra alors par toutes sortes de calculs en extraire toute sortes de nouvelles traces. Une démonstration peut être vue comme le cheminement qui permet le passage d'une connaissance à une autre. Une fois connue, une démonstration peut être analysée, découpée, éventuellement simplifiée ; elle peut devenir une source d'inspiration pour d'autres démonstrations.

---

39. Une machine de Turing qui réalise des opérations arithmétique peut être qualifiée de "machine" ou "mécanisme" au même titre que la calculatrice de Pascal constituée de roues dentées et qui réalise les mêmes opérations. Par extension tout algorithme, toute fonction calculable peuvent être qualifiés de machine.

L'idée de discrétisation de la connaissance a été théorisée par Sylvain Auroux sous forme de la théorie, inspirée de l'évolution des langues et du langage, de la *grammatisation* [9]. Dans sa conférence [91], Bernard Stiegler en rappelle quelques étapes historiques. Deux millénaires après le début du Néolithique, se développent les premiers systèmes de numération permettant de discrétiser le mouvement des étoiles, les crues des fleuves, les réserves de grains, . . . , etc. A partir du douzième siècle avant JC environ la société grecque se constitue sur la discrétisation de la continuité de la parole par un système alphabétique. L'imprimerie amène la troisième étape de la grammatisation, permettant désormais une reproductibilité hors norme de l'écrit qui envahit alors la société. Une quatrième étape est franchie vers la fin du dix-septième siècle avec le développement de la machine outil. Ce type de machine n'est, au final qu'un artéfact capable de reproduire un geste après l'avoir discrétisé. A partir de 1834, des technologies analogiques de discrétisation apparaissent, reproduisant images et sons, permettant de développement d'industries culturelles. Cette évolution conduit par ailleurs à tenter de faire adopter au consommateur des modèles comportementaux conformes aux investissements industriels. Enfin, selon B. Stiegler, nous en sommes actuellement à une sixième étape où la discrétisation/spatialisation envahit tous les secteurs de l'activité humaine, en liaison avec une dissémination accélérée et sans précédent des moyens de traitement de l'information par la dissémination des moyens de calcul. Cette situation permet le développement d'une véritable et nouvelle économie de la connaissance<sup>40</sup>, ou d'une économie dite de l'immatériel<sup>41</sup>.

Le point fondamental ici est que toute connaissance objectivée est la trace de quelque chose qui constitue un facteur d'influence ou d'action sur d'autres connaissances, c'est à dire d'autres traces. Ces traces s'enrichissent ensemble et influencent d'autres traces qui agissent sur d'autres niveaux de connaissances.

**Des traces vers l'épistémologie** Voir la démarche scientifique comme création et manipulation de traces résultant d'un (lent) processus de grammatisation par l'homme de la nature, peut aider à identifier certaines démarches d'analyses effectuées dans le champ du domaine de concerné. Une bonne connaissance de ce qui relève de la manipulation de traces peut aider à mieux reconnaître la nature et les significations potentielles des étapes de progression dans le champ de connaissances concerné, ainsi qu'à mieux comprendre la manière dont différents domaines peuvent s'influencer.

**De l'épistémologie vers les traces** Beaucoup de domaines d'étude ont comme fondement la réalisation de traces. Ceci est valable dans les domaines

---

40. Elle porte aussi en germe ce que certains auteurs considèrent comme une révolution industrielle.

41. Il peut être utile d'observer que le côté "immatériel" de la connaissance ne tient pas, contrairement aux apparences au coût de plus en plus réduit de ses supports, mais plutôt au fait qu'elle est acquise par l'intermédiaire d'artéfacts, c'est à dire par des procédés d'investigation faisant essentiellement appel à des moyens (calculs, machines, ...) automatisés.

culturel, économique, sociologique, cognitif, nature, physique ou mathématique. Ceci aide à voir les traces comme des connaissances, et les manières selon lesquelles chaque champ de connaissance effectue ces manipulations (abstraction, mise en relation, articulation entre niveaux, explications) sont une source d'enrichissement pour une possible algèbre des traces.

## 8.9 Conclusions sur les domaines fondateurs et applications

Dans cette section nous avons mis en perspectives huit domaines où la notion de trace nous paraissait jouer un rôle significatif : l'ingénierie de logiciel (section 8.1), les théories liées à l'observation et la modélisation (section 8.2), l'analyse des flots de données (section 8.3), les modèles multi agents (section 8.4), l'analyse d'environnements complexes et hétérogènes avec des réseaux de capteurs et celle du comportement humain dans des environnements multimédiés (section 8.5), l'ingénierie des connaissances à grande échelle comme dans le WEB sémantique (section 8.6), la gestion de données personnelles (section 8.7), et enfin l'épistémologie dans un sens où la connaissance actuelle puise ses sources à la fois dans l'analyse du passé et l'observation du présent (section 8.8). Ces domaines ne sont bien entendu pas indépendants. L'ingénierie de logiciel concerne tant la mise au point des programmes que des données à analyser, et les approches de modélisation concernent tous les domaines. La gestion de connaissances se retrouve dans les modèles multi agents, les environnements complexes, la gestion de données collectives, individuelles ou même historiques.

Cette étude a pour but de faire ressortir ce qu'ils ont en commun : un besoin de construction de traces avec un niveau de théorisation plus ou moins élaboré selon le caractère plus ou moins empirique ou plus ou moins formel du domaine concerné, au sens où il s'agit de l'observation de phénomènes plus ou moins artificiels.

Dans l'exploration de ces différents domaines on retrouve cinq aspects principaux de la méthodologie de construction de traces :

- **Modélisation du phénomène observé** ou, tout au moins, de ce que l'on veut ou peut en observer. Cet aspect est lié à la définition de traces virtuelles et de sémantiques observationnelles associées.
- **Choix de la représentation des événements de trace et leur interprétation**, c'est à dire définition de traces effectives et la recherche de sémantiques interprétatives associées.
- **Interactions Observant/Observé dans un contexte plus ou moins connu**, c'est à dire définir les rapports que les analyseurs et les phénomènes observés entretiennent, leurs liens de dépendance et les informations qu'ils doivent échanger, tout en tenant compte d'un contexte éventuel.
- **Exploitation de la trace** (analyse) qui amène à reconsidérer certains paramètres ou à en inventer d'autres, ce qui amène à faire évoluer la trace elle-même.

- **Généricité.** Les traces conçues pour un domaine particulier se veulent aussi générales que possible, et dans chaque domaine se pose également la question d’obtenir ainsi des traces aussi réutilisables que possible.

Chaque aspect correspond à une série de problèmes que l’on doit résoudre pour obtenir au fil des expériences une trace utile et satisfaisante. C’est la combinaison de ces problèmes qui permet d’obtenir systématiquement de telles traces et de développer les analyses recherchées afin de mieux comprendre les phénomènes observés.

Bien sûr chaque aspect est plus ou moins présent dans un domaine particulier, de plus certains aspects comportent quelque défis auxquels une approche rigoureuse de la construction de trace peut apporter une contribution.

1. Dans *l’ingénierie de logiciel* où l’on agit dans un environnement complètement formalisé, il est envisageable de décrire le processus de recherche et construction de traces comme une “algèbre de traces”. Cette algèbre comporte essentiellement deux opérations fondamentales l’enrichissement et l’oubli, c’est à dire l’ajout de paramètres d’observation ou au contraire leur élimination. Dans un tel domaine et pour une application particulière (par exemple construction d’un traceur pour un langage formel donné) il pourra être possible de caractériser formellement ces opérations. De plus, on pourra lui appliquer des méthodes développées en génie logiciel pour introduire une approche de modélisation conceptuelle dans le développement des traces et la réalisation de traceurs. Le défi ici correspond à la possibilité d’une approche systématique et très rigoureuse du développement de traceurs.
2. Les théories liées à *l’observation et la modélisation* fournissent des éléments théoriques nécessaires à la compréhension et la formalisation des différents aspects mentionnés, et plus particulièrement les sémantiques et l’étude de propriétés associées. Le défi principal lié à ce domaine est la possibilité de donner un cadre théorique et assez général à cette algèbre de traces. Certes les théories générales de l’abstraction de “disent” pas grand chose, mais elles peuvent fournir un cadre théorique utile à la méthodologie de construction de traces.
3. *L’analyse des flots de données* fournit de nombreux algorithmes pour aider à la recherche de modèles permettant d’approcher les sémantiques. Le défi principal lié à ce domaine semble bien être la définition des langages pour l’interrogation de trace et la sélection de sous-traces compatibles avec les langages de description des sémantiques. L’un des problèmes clés est l’efficacité de la sélection. Dans le domaine du génie logiciel, ceci correspond par exemple à la réalisation de pilotes de traceur efficaces.
4. Les *modèles multi agents* de type ECA ont pour objectif en particulier de décrire les interactions entre processus. Comme on l’a vu ils peuvent permettre également de décrire des interactions entre traces (dans la mesure où celles-ci sont destinées à rendre compte à la fois des processus et d’une certaine communication entre ceux-ci). La SO est une sémantique de l’action et la SI une sémantique de l’événement. Une question intéressante concerne ce

qui peut émerger des interactions entre traces, ce qui est lié au fait de tracer un système de traces. Le défi ici est de définir ce que serait une telle trace. Il s'agit également de trouver une approche assez générale pour décrire les sémantique de traces et les tester. Des approches comme celles basées sur le "fluent calculus" [92] pourraient fournir quelques pistes.

5. *L'analyse du comportement humain* dans des d'environnements complexes et multimédiés repose sur l'accumulation de traces d'observations tant de l'opérateur humain que des artéfacts utilisés. Les environnements considérés portent souvent sur un partage de compétences entre des machines et des humains. Le défi ici serait de permettre l'observation dans un tel système de la frontière des capacités, là où les parties coopèrent ou là où elles s'affrontent, c'est à dire d'une certaine manière les limites de l'automatisation.
6. *L'ingénierie des connaissances* repose sur la construction de vastes ensembles de règles, leur manipulation et leur utilisation à travers des algorithmes de résolution. Le comportement des systèmes qui en résultent peut être particulièrement difficile à saisir et l'utilisation de traces génériques peut aider à l'appréhender. Le défi dans ce cas concerne la possibilité de définir des traceurs pour des systèmes de règles produisant des traces aussi génériques que possibles afin de faciliter le développement d'outils d'analyse et de contrôle.
7. *La gestion de données personnelles* est un problème particulièrement complexe et la production d'artéfacts, nécessitant le moins d'apprentissage possible et simple d'accès est un véritable challenge. Nous nous sommes focalisés sur les aides à la mémoire, sous forme de mémoires exosomatiques, mais au delà il peut s'agir de toutes sortes d'outils d'aide à la réalisation de tâches nécessitant un recours constant à des connaissances préalablement stockées. Le défi ici est évident dans la mesure où très peu d'outils encore répondent aux critères d'efficacité pratique et de simplicité.
8. A l'autre extrémité du "tout formalisé" correspondant au premier domaine considéré, le domaine qualifié d'"*épistémologie*" ne relève guère de formalismes mathématiques. Malgré cela on se rend bien compte de l'influence grandissante de la numérisation dans tous les domaines d'activités humaines, et par ce biais, des mathématiques -tout au moins celles utilisées dans cette numérisation-, ce que Michel Serres appelle "une révolution culturelle et cognitive" [86]. Dans ce contexte, le défi proposé ici consiste à étudier ce que l'algèbre des trace peut apporter dans quelques domaines en proposant une méthode d'analyse de phénomènes dont l'analyse ne relève pas de méthodes purement formelles.

L'étude de quelques domaines fondateurs et applicatifs a permis de mettre en évidence les points cruciaux sur lesquels une étude sur la méthodologie de développement des traces peut être expérimentée. Nous avons essayé également d'identifier sous forme de "défis" les apports principaux qu'une telle étude pouvait apporter à quelques domaines d'application et les apports qu'elle pouvait en tirer pour ses propres développements. Cela constitue en quelques sortes un plan de travail.

## 9 Conclusion (à venir)

Synthèse concernant le “design” des traces comme une forme d’optimisation globale du processus de production, transmission et analyse de traces. Voir aussi [14,68,32].

Approche centrée sur l’observation (“externalisation”) dans laquelle la généralité est une notion centrale.

## 10 Remerciements

Beaucoup d’idées présentées ici ont été élaborées avec Mireille Ducassé, Gérard Ferrand et Ludovic Langevine, originellement dans le cadre du projet OADymP-PaC [33]. Chacun a contribué à identifier des champs d’application ou d’enrichissement particulier : M. Ducassé et L. Langevine pour le débogage et l’analyse dynamique de programme, et G. Ferrand pour les liens entre la SO et certaines approches algébriques. Le séminaire interne de l’équipe projet Contraintes, animé par François Fages, a fourni un cadre de réflexions. Le travail avec Rafael Oliveira et Jacques Robin a permis de développer l’exemple de CHR et contribué à la formalisation de la SO en calcul des fluents.



## A ANNEXE : Exemples

On donne ici les exemples de description de traceurs et de traces.

### A.1 Exemple : démographie (fonction de Fibonacci)

Idealized (biologically unrealistic) rabbit population. La série représente l'évolution d'une population de couples de lapins. Les jeunes lapiness mettent deux mois avant de pouvoir mettre bas, puis le font chaque mois, et chaque fois une femelle met bas un couple reproducteur. De plus les lapins ne meurent jamais. La population des couples à l'instant  $t$  est donc celle à  $t - 1$  augmentée des rejetons de la population à  $t - 2$  qui (sauf pour les deux premières valeurs de la suite) sont tous en âge de tous se reproduire.

Sémantique Observationnelle  $\langle S, I_f, R_O, A, E, T, S_0 \rangle$ ,  $I_f$  est vide,  $T$  est donné par la fonction de transition locale  $T_l$ .

$S : \mathcal{N}_+^*$  (listes de nombres entiers positifs),  $s_t$  is the complete evolution of the population from moment 0 until moment  $t + 1$  :  $s_t = [popu_0, \dots, popu_t, popu_{t+1}]$

$R_O : \{mg\}$  (monthly growing)

$A : \mathcal{N}_+$  nombres entiers positifs,  $a_t$  est la population à l'instant  $t + 1$  ( $popu(t + 1)$ ).

$E : E(mg, s) = plast(s) + last(s)$ . There is one rule only to describe  $E$ .

$T_l : T(mg, s) = s \ o \ [plast(s) + last(s)]$  (respectivement avant dernier et dernier élément de la liste  $s$ ,  $o$  denote la concaténation de listes). Le nouvel état au moment  $t$  est l'état précédent auquel on ajoute la somme des deux derniers éléments.

$S_0 : s_0 = [1, 1]$ .

Une seule règle suffit à décrire la fonction de transition locale  $T_l$  et le schéma de trace  $E$ . Il n'y a pas de facteurs externes et la SO est complète.

**AType** :  $mg$

**ACond** :  $\{ true \}$

**ECond** :  $\{ true \}$

**VSEffect** :  $\{ v \leftarrow plast(s) + last(s), \quad s' \leftarrow s \ o \ [v] \}$

**Etrace** :  $\{v\}$

*Example 7.*

$T_5^v = \langle [1, 1], [(1, mg, [1, 1, 2]), (2, mg, [1, 1, 2, 3]), \dots, (4, mg, [1, 1, 2, 3, 5, 8]), (5, mg, [1, 1, 2, 3, 5, 8, 13])] \rangle$   
 $T_5^w = \langle [1, 1], [(1, 2), (2, 3), (3, 5), (4, 8), (5, 13)] \rangle$

o

Le schéma de trace est le suivant :

**AType** :  $mg$

**VSEffect** :  $\{ v \leftarrow plast(s) + last(s), \quad s' \leftarrow s \ o \ [v] \}$

**Etrace** :  $\{v\}$

La sémantique interprétative  $\langle A, R_O, S, I \rangle$  est donnée de la manière suivante :

$A : \mathcal{N}_+$   
 $R_O : \{mg\}$   
 $S : \mathcal{N}_+^*$  (liste de nombres entiers positifs),  $s_i$  is the complete evolution of the population from moment 0 until moment  $i + 1 : s_i = [popu_0, \dots, popu_i, popu_{i+1}]$   
 $I : I(\langle [1, 1], \overline{w_t} \rangle) = (i, mg, [1, 1, 2, \dots, att(w_i), \dots, att(w_t)])$  ( $att(w_i) = popu_i$  est l'unique attribut de l'événement  $w_i$ ).

Le schéma de reconstruction est donné par la fonction locale  $I_l$

**AType** :  $mg$   
**Utrace** :  $\{v\}$  (attribut unique de l'événement de la trace qui est 0-constructible)  
**AICond** :  $\{v = plast(s) + last(s)\}$  (condition d'identification de la règle qui est appliquée)  
**RVState** :  $\{s' \leftarrow s \ o \ [v] \}$  ( $s$  dénotant l'état courant)

Noter que dans la condition d'identification de l'action (**AICond**), la condition peut être vue comme une qualification de l'action "monthly growing" (croissance mensuelle), qui assure que l'on reste dans une trace de la "loi de Fibonacci". Mais elle peut également être vue comme une propriété que les traces effectives doivent satisfaire pour être reconstructibles. Ainsi seules sont "reconnues" (car reconstructibles) les traces qui sont des séquences de Fibonacci. A noter toutefois qu'une telle condition n'est ni nécessaire ni utile pour la reconstruction.

La SI étant 0-constructible et la SO ne comportant qu'une règle, il est aisé de vérifier que la SO est (fortement) fidèle.

## A.2 Exemple : sémantiques de la trace de Prolog

Cet exemple est repris et adapté de [37]. Pour une présentation détaillée des motivations historiques de cet exemple et la notion de “port”, voir [38].

La SO décrite ici est la essentiellement la même, c’est à dire qu’elle correspond au modèle de trace de GNU-Prolog [41,40] où l’on revient directement sur un point de choix dans l’arbre de preuve, au contraire du modèle original de Byrd [18] où l’on refait tout le parcours de l’arbre en sens inverse avant de retrouver un nœud qui est un point de choix. Cependant cette SO diffère sur quelques points suivants :

- elle est exécutable, en ce sens qu’elle correspond exactement au programme de l’annexe B.2 qui lui même utilise une forme d’implantation de calcul des fluents en Prolog. La présentation formelle donnée ici (comme dans [38]) est une forme plus synthétique, avec une syntaxe plus abstraite et une organisation très proche de la forme logique du calcul des fluents. Cet exemple a montré l’importance de disposer d’une forme exécutable pour garantir la valeur du modèle (“valeur” et non “correction” puisque cette spécification joue le rôle de “requirement” et est donc la seule expression formelle de ce que l’on veut tracer). On a donc une meilleure “certitude” que cette présentation est utilisable dans ce sens qu’elle peut être testée, ce qui n’est pas le cas dans [38].
- Cette présentation inclut la notion d’influence, ce qui n’est pas le cas de la version Prolog qui ne reprend de cette spécification que la partie de la trace complètement modélisable sous forme de SO. De plus elle est un peu plus générale pour la fonction de choix qui a du être fixée<sup>42</sup> dans la version exécutable (stratégie standard de choix de la première clause dans une liste).
- L’échec y est traité complètement. Cet aspect était mal ou insuffisamment pris en compte dans [37]. En effet, en cas d’expansion d’une feuille grâce à une clause non réduite à un fait, la possibilité d’échec n’existait pas. Le modèle proposé ici prend en compte toutes les situations possibles. Il évite cependant quelques cas impossibles comme de simuler un échec alors que les termes à unifier sont des termes identiques. Une telle limite n’a été mise en évidence que par la simulation.
- Le mode de présentation est celui introduit à la section 4.6. Il est très proche de celui par les items proposés des axiomes de “précondition” et de “mise à jour des états” du calcul des fluents. Le lien est encore informel, mais il sera probablement plus clairement établi dans des versions ultérieures de ce document.
- Enfin la trace produite est plus riche. Elle a en particulier deux attributs de plus possibles et une substitution courante pourrait facilement être introduite. Celle-ci reste cependant ici un facteur d’influence. Les deux attributs supplémentaires concernent la clause choisie et la liste des clauses associées à un nœud (il en faut au moins deux pour avoir un point de choix).

---

<sup>42</sup>. on aurait pu la paramétrer, mais au prix d’un accroissement net de complexité du programme.

### Sémantique observationnelle

$S : \{T, u, n, nu, pd, cl, fst, ct, flr, bkt, prog\}$  (11 paramètres décrits ci-dessous)  
 $R : \{\text{Init}, \text{CallSu1}, \text{CallFa}, \text{CallFaCl}, \text{CallSu2}, \text{Exit1}, \text{ExitR},$   
 $\text{Exit2}, \text{FailU}, \text{FailRdo}, \text{FailR}, \text{Rdo1}, \text{RdoF}, \text{Rdo2},$   
 $\text{Final}\}$   
 $A : \{r, l, port, p, c, cl\}$  (6 attributs précisés ci-dessous).  
 $T$  : voir description ci-dessous  
 $E$  : voir description ci-dessous  
 $S_0 : \{s_0\}$  état initial :  
 $\{\{\epsilon\}, \epsilon, 1, \{(\epsilon, 1)\}, \{(\epsilon, goal)\}, \{(\epsilon, list\_of\_goal\_claus)\}, \{(\epsilon, true)\}, false, false,$   
 $false, \{list\_of\_clauses\}\}$

Notes :

Le programme  $P$ , qui reste invariant dans ce modèle, ne sera plus mentionné sinon dans l'état initial.

L'état virtuel contient des éléments d'arbre de preuve partiel courant, soit  $T$  ensemble de nœuds, et  $pd$ <sup>43</sup> et  $cl$ , respectivement prédications et clauses associées à chaque nœud. L'arbre de preuve est en général un argument de toutes les fonctions auxiliaires décrites ici. Pour alléger leur présentation, il sera omis quand cela ne nuit pas à leur compréhension.  $T$  sera représenté par un ensemble de nœuds munis d'un ordre total lexicographique;  $T \in \mathcal{P}(Nodes)$  où  $Nodes$  est l'ensemble (non fini) des nœuds ordonnés et  $Trees = \mathcal{P}(Nodes)$  l'ensemble de ses parties.

$nu, pd, cl$  et  $fst$  sont des fonctions. Toutes sont représentées par un ensemble de paires sur  $Dom \times CoDom$  ("domaine" et "codomaine").

Notations :  $T/v, v \in T$ , le sous arbre de  $T$  de racine  $v$ .  $\ll$  est l'ordre lexicographique strict sur les nœuds de  $T$ ,  $\ll=$  est l'ordre incluant l'égalité. Une clause a la forme  $p_0 : -p_1, \dots, p_j, \dots, p_n$  avec  $n > 0$ ;  $p_0$  est la tête (head) et  $p_1, \dots, p_j, \dots, p_n$  est le corps (body). Si  $n = 0$ , la clause est un fait. La mise à jour d'une fonction, représentée par un ensemble de couples, nécessite deux opérations : un retrait de couples et un ajout d'autres couples. Une telle mise à jour sera spécifiée par une fonction générale  $updt$  avec trois arguments : la fonction à mettre à jour, les retraits (ensemble d'éléments premiers dans les paires à retirer) et l'ensemble des nouvelles paires.

Ces fonctions de "manipulation" des variations des paramètres peuvent être vues comme une manière de coder l'axiome de mise à jour de l'état courant dans le calcul des fluents. Dans la description qui suit, on en soulignera la représentation sous forme de pseudo fluent, prédicat Prolog, que l'on retrouvera dans la version Prolog de l'annexe B.2.

---

43. L'arbre décrit n'est pas exactement un arbre de preuve partiel, car les effets des unifications ne sont propagés qu'aux nœuds visités. Il en résulte que lors d'un "Exit" l'attribut prédication contient bien une instance résultat, mais les prédications attachées à des nœuds antérieurs peuvent correspondre à des états antérieurs d'unification et ne pas avoir été mis à jour. Ceci provient de ce que l'unification est un facteur d'influence qui n'intervient pas directement sur l'ensemble des labels de l'arbre décrit.

**Paramètres :**

1.  $T$  est un ensemble de nœuds représentant un arbre (squelette d'arbre de preuve partiel).  $T = \underline{tree(\epsilon), tree([1]), tree([2]), tree([1, 1]), \dots}$
2.  $u$  est un nœud de  $T$  (le nœud courant) :  $u \in Nodes$ .  $cuno(U)$ .
3.  $n$  est un entier positif ( $u \in \mathcal{N}^+$ ), numéro du dernier nœud créé dans  $T$ . Il n'est utilisé que dans la trace.  $num(N)$ .
4.  $nu$  (number) est une fonction de domaine  $Nodes$  et codomaine  $\mathcal{N}^+$  (entiers positifs).  $nu(v)$  est le numéro de création associé au nœud  $v$  dans  $T$ . On utilisera la fonction inverse  $nu_{-1}(n)$  qui à un entier donné  $n$  fait correspondre le nœud de l'arbre  $T$  dont  $n$  est le numéro de création. La fonction inverse n'est définie que pour les numéros de création présents dans les labels de l'arbre  $T$ .  $nu(\epsilon, 1), nu([1], 2), nu([1, 1], 3), \dots$
5.  $pd$  (predication) est une fonction de domaine  $Nodes$  et codomaine  $H$  ( $H$  ensemble de termes).  $pd(v)$  est la prédication associée au nœud  $v$  dans  $T$ .  $pd(\epsilon, goal), nu([1], p(X)), nu([1, 1], p(Y)), \dots$
6.  $cl$  (candidate clauses list) est une fonction de domaine  $Nodes$  et codomaine "liste de clauses" (en fait liste de clauses marquées).  $cl(v)$  est la liste de clauses choisies parmi celles qui définissent le prédicat de la prédication  $pd(v)$  associée au nœud  $v$  dans  $T$ . Tant que cette liste comporte au moins deux clauses, le nœud  $v$  est un point de choix (choice point). Dans le modèle exécutable, la clause choisie est la première de la liste.  $cl(\epsilon, [c1]), cl([1], [c2, c3]), cl([1, 1], []), \dots$
7.  $fst$  (first) est une fonction booléenne de domaine  $Nodes$ .  $fst(v)$  est vrai ssi  $v$  est un nœud de  $T$  qui n'a pas encore été visité (le nœud est nécessairement une feuille et la valeur vraie dans l'état initial).  $fst([1, 1]), \dots$
8.  $ct$  (complete tree) est un booléen, vrai ( $true$ ) ssi  $T$  est un squelette complètement visité (le nœud courant correspond alors à la racine).
9.  $flr$  (failure) est un booléen ou un nœud, indicateur d'état d'échec du sous-arbre  $T/v$  de racine  $v$  : " $false$ " si le sous arbre n'est pas en échec, avec comme valeur le nœud  $v$ , si le sous-arbre de racine  $v$  est en échec.
10.  $bkt$  (backtrack) est un fait, indicateur de repère et d'existence d'un point de choix  $v$  dans l'arbre courant  $T$  et à valeurs dans  $Bool \times Nodes$ , soit le nœud  $v$ , si  $v$  est un point de choix,  $false$  s'il n'y a plus de points de choix dans l'arbre courant  $T$ .
11.  $prog$  (program) est la liste des couples (identificateur, clause) de toutes les clauses du programme Prolog à tracer.  $prog(c1, (goal : -p(X))), prog(c2, (p(X) : -q(X))), prog(c3, q(X)), \dots$

**Fonctions auxiliaires** opérant sur les paramètres et utilisées pour calculer les conditions, les effets (fonction de transition) et l'extraction de la trace. Toutes les fonctions ont  $T$  en argument et celui-ci est omis.

- **pt** (parent).  $pt(v)$  est l'ancêtre direct de  $v$  dans  $T$ . C'est une fonction de domaine et codomaine  $Nodes$ . Elle est définie par  $pt(ui) = u$  et  $pt(\epsilon) = \epsilon$ .
- **lf** (leaf).  $lf(v)$  est vraie ssi  $v$  est une feuille dans  $T$ . C'est une fonction booléenne de domaine  $Nodes$ . Elle est définie par  $\exists w$  such that  $vw \in T$ .
- **mhnbb** (may have a new brother).  $mhnbb(v)$  est vrai ssi  $pd(v)$  n'est pas la dernière prédication dans le corps de la clause choisie au nœud  $pt(v)$  pour développer ce nœud. C'est une fonction booléenne de domaine  $Nodes$ . Si la clause choisie a la forme  $p_0 : -p_1, \dots, p_j, \dots, p_n$  et  $pd(v) = p_j$ , alors  $mhnbb(v)$  est vrai ssi  $1 < j < n$ . La racine ( $\epsilon$ ) n'a pas de frère ( $mhnbb(\epsilon) = false$ ). Noter que, si la définition est suffisante sur le plan conceptuel, son implantation effective nécessite d'introduire dans l'état virtuel la clause choisie ou de ne la supprimer de la liste de clauses qu'à la dernière visite.
- **nbpd** (next brother and predication).  $nbpd(v)$  est le couple (frère puisné de  $v$  dans  $T$  et prédication associé). C'est une fonction de domaine  $Nodes$  et codomaine  $Nodes \times H$ . Si la clause choisie au nœud  $pt(v)$  a la forme  $p_0 : -p_1, \dots, p_j, \dots, p_n$  et  $pd(v) = p_j$  et  $v = uj$ , alors  $nbpd(v) = (u(j+1), p_{j+1})$  (défini si  $mhnbb = true$ ).
- **ncpd** (new child and predication).  $ncpd(v)$  est un couple (nouvel enfant  $w$  de  $v$  dans  $T$  et prédication associée). C'est une fonction de domaine  $Nodes$  et codomaine  $Nodes \times H$ . Si la clause choisie au nœud  $v$  a la forme  $p_0 : -p_1, \dots, p_j, \dots, p_n, n \geq 1$  alors  $w = v1$  et  $ncpd(v) = (w, p_1)$ .
- **hcp** (has a choice point).  $hcp(v)$  est vrai ssi il existe un point de choix  $w$  dans le sous-arbre de racine  $v$  dans  $T$  (i.e.  $\exists w \in T/v$  tel que  $cl(w)$  a au moins deux clauses). C'est une fonction booléenne de domaine  $Trees \times Nodes$ .
- **gcp** (greatest choice point).  $w = gcp(v)$  est le plus grand point de choix dans le sous-arbre de racine  $v$  selon l'ordre lexicographique des nœuds dans  $T$ . C'est une fonction de domaine  $Nodes$  et codomaine  $Nodes$ .  $gcp(v) = w$  tel que  $\forall y \in T/v$  et  $cl(y) \neq []$ ,  $w >>= y$ .
- **ft** (is a fact). C'est une fonction booléenne de domaine  $Nodes$ .  $ft(v)$  est vrai ssi la clause choisie dans  $cl(v)$  est un fait (elle a la forme  $p_0$ ).
- **fupdt** (function update).  $f' = fupdt(f, A, B)$  où  $f'$  est la fonction  $f$  dont on a retiré les couples définis par l'ensemble  $A$  (ensemble d'éléments modifiés du sous-domaine) et ajouté ceux de l'ensemble  $B$  (ensemble de couples).
- **rem** (remove). C'est la fonction de domaine  $Elem \times List(Elem)$  et codomaine  $List(Elem)$  qui fournit la liste original dont on a supprimé l'élément donné en argument.
- **first** (first element of a list). C'est la fonction de domaine  $List(Elem)$  et codomaine  $Elem$  qui fournit le premier élément d'une liste.

- **lp** (length). C'est une fonction de domaine *Nodes* et codomaine *N* (entiers naturels).  $lp(v)$  est la longueur du chemin de la racine au nœud  $v$  dans l'arbre  $T$ .  $lp(\epsilon) = 0$ .
- **ch** (chosen clause)  $ch(v)$  est la clause de  $cl(v)$  qui a été choisie pour développer le nœud courant. La fonction de choix n'est pas précisée ici.
- **hd** (head of clause)  $hd(c)$  est la prédication en tête de la clause  $c$ .
- **dcl** (defining clauses). C'est un prédicat sur de domaine  $H \rightarrow List$  (il s'agit d'une liste de clauses).  $dcl(p) = c$  ssi  $c$  est la liste des identificateurs de clauses définissant le prédicat de la prédication  $p$ .

**Fonctions et prédicats auxiliaires** utilisant des facteurs d'influence dans les "conditions externes".

- **scs** (success). C'est un prédicat sur de domaine  $Trees \times Nodes \times H \times Subst$  :  $scs(T, u, p, \Theta)$  est vrai ssi la prédication  $pd(u)$  est unifiable avec la tête de la clause choisie dans  $cl(u)$  dont la forme est  $p_0: -p_1, \dots, p_j, \dots, p_n$  avec  $n \geq 0$  et  $p$  est  $p_0$  modifié par la substitution  $\Theta$  si  $n = 0$ , ou  $p_1$  modifié par la substitution si  $n > 0$ .
- **fail** (failure). C'est un prédicat sur de domaine  $Trees \times Nodes$  :  $fail(T, u)$  est vrai ssi la prédication  $pd(u)$  n'est pas unifiable avec la tête de la clause choisie dans  $cl(u)$  dont la forme est  $p_0: -p_1, \dots, p_j, \dots, p_n$  ( $n \geq 0$ ).

**Trace effective**

La trace effective a au plus 6 attributs et chaque événement a la forme

t	r	l	Init				
t	r	l	Call	p	c	lc	
t	r	l	Exit	p			
t	r	l	Fail	p			
t	r	l	Redo	p	c	lc	
t	r	l	End				

où

- **t** est le chrono.
- **r** entier, est le numéro de création du nœud  $u$  concerné par l'événement de trace, soit  $nu(u)$ .
- **l** entier, est la profondeur dans l'arbre  $T$  du nœud concerné, soit  $lp(u)$ .
- **port** est un type général d'événement de trace, élément de **{ Init, Call, Exit, Fail, Redo, End }**.
- **p** terme, est la prédication associée au nœud concerné, soit  $pd(u)$ .
- **c** clause, est la clause choisie pour développer le nœud  $u$  concerné (n'existe que pour les événements de type **Call** ou **Redo**), soit  $ch(u)$ .
- **lc** liste de clauses, est la liste des clauses restantes utilisables à un nœud pour développer le nœud  $u$  concerné (n'existe que pour les événements de type **Call** et **Redo**). Nota :  $cl(u) = [c | lc]$ .

L'exemple 1 ci-dessous présente un programme et la trace extraite correspondant au but `:-goal.` ( $u$  nœud courant)

```

c1: goal(X):-p(X),eq(X,b).
c2: p(a).
c3: p(b).
c4: eq(X,X).

```

```

:- goal(X).

```

chronon	nu(u)	lp(u)	port	pd(u)	ch(u)	cl(u)
1	1	0	Init			
2	1	0	Call	goal(X)	c1	{}
3	2	1	Call	p(X)	c2	{c3}
4	2	1	Exit	p(a)		
5	3	1	Call	eq(a,b)	c4	{}
6	3	1	Fail	eq(a,b)		
7	2	1	Redo	p(a)	c3	{}
8	2	1	Exit	p(b)		
9	4	1	Call	eq(b,b)	c4	{}
10	4	1	Exit	eq(b,b)		
11	1	1	Exit	goal(b)		
12	1	0	End			

Noter que cette trace diffère de la trace usuelle de Prolog du fait des attributs supplémentaires pour les ports **Call** et **Redo**, mais aussi de l'absence de la prédication pour le port **Fail**. Mis à part l'attribut  $lp(u)$ , qui est une fonction de l'arbre  $T$  et du nœudcourant  $u$ , la trace obtenue est sans redondance.

**A**Type : Init

**A**Cond :  $\{fst(u) \wedge lf(u) = \epsilon \wedge T = \{\epsilon\} \wedge \neg ct \wedge \neg bkt\}$

**E**Cond :  $\{\}$

**V**SEffect :  $\{ct' \leftarrow false, flr' \leftarrow false\}$

**E**trace :  $\{nu(u), lp(u), \mathbf{Init}\}$

**A**Type : CallSu1

**A**Cond :  $\{fst(u) \wedge lf(u) \wedge \neg ct \wedge ft(u) \wedge \neg bkt \wedge \neg flr\}$

**E**Cond :  $\{scs(T, u, p, \Theta)\}$

**V**SEffect :  $\{fst' \leftarrow fupdt(fst, \{u\}, \{(u, false)\})\}$

**E**trace :  $\{nu(u), lp(u), \mathbf{Call}, pd(u), ch(u), rem(ch(u), cl(u))\}$

**A**Type : CallFa

**A**Cond :  $\{fst(u) \wedge lf(u) \wedge \neg ct \wedge \neg bkt \wedge \neg flr\}$

**E**Cond :  $\{fail(T, u)\}$



**VSEffect** :  $\{fst' \leftarrow fupdt(fst, \{u\}, \{(u, false)\}), flr' \leftarrow pd(u)\}$   
**Etrace** :  $\{nu(u), lp(u), \mathbf{Call}, pd(u), ch(u), rem(ch(u), cl(u))\}$

**AType** : CallFaCl  
**ACond** :  $\{fst(u) \wedge lf(u) \wedge \neg ct \wedge \neg bkt \wedge \neg flr \wedge cl(u) = []\}$   
**ECond** :  $\{\}$   
**VSEffect** :  $\{fst' \leftarrow fupdt(fst, \{u\}, \{(u, false)\}), flr' \leftarrow pd(u)\}$   
**Etrace** :  $\{nu(u), lp(u), \mathbf{Call}, pd(u)\}$

**AType** : CallSu2  
**ACond** :  $\{fst(u) \wedge lf(u) \wedge \neg ct \wedge \neg ft(u) \wedge \neg bkt \wedge \neg flr\}$   
**ECond** :  $\{scs(T, u, p, \Theta)\}$   
**VSEffect** :  $\{u' \leftarrow ncpd_1(u), T' \leftarrow T \cup \{u'\}, n' \leftarrow n + 1,$   
 $nu' \leftarrow fupdt(nu, \emptyset, \{(u', n')\}),$   
 $pd' \leftarrow fupdt(pd, \emptyset, \{(u', ncpd_2(u))\}),$   
 $cl' \leftarrow fupdt(cl, \{\}, \{(u', dcl(ncpd_2(u)))\}),$   
 $fst' \leftarrow fupdt(fst, \{u\}, \{(u, false), (u', true)\})\}$   
**Etrace** :  $\{nu(u), lp(u), \mathbf{Call}, pd(u), ch(u), rem(ch(u), cl(u))\}$

**AType** : Exit1  
**ACond** :  $\{\neg fst(u) \wedge u \neq \epsilon \wedge \neg mhnb(u) \wedge \neg ct \wedge \neg bkt \wedge \neg flr\}$   
**ECond** :  $\{scs(T, u, p, \Theta)\}$   
**VSEffect** :  $\{u' \leftarrow pt(u), pd' \leftarrow updt(pd, \{u\}, \{(u, p)\})\}$   
**Etrace** :  $\{nu(u), lp(u), \mathbf{Exit}, p\}$

Noter ici que, comme  $p$  est une variable d'influence, la simulation ne pourra fournir une valeur exacte. Le choix qui sera fait est :  $p = ch(u) = hd(first(cl(u)))$ .

**AType** : ExitR  
**ACond** :  $\{\neg fst(u) \wedge u = \epsilon \wedge \neg ct \wedge \neg flr \wedge \neg bkt\}$   
**ECond** :  $\{scs(T, u, p, \Theta)\}$   
**VSEffect** :  $\{pd' \leftarrow updt(pd, \{u\}, \{(u, p)\}), hcp(u) \Rightarrow (bkt' \leftarrow gcp(u))\}$   
**Etrace** :  $\{nu(u), lp(u), \mathbf{Exit}, p\}$

**AType** : Exit2  
**ACond** :  $\{\neg fst(u) \wedge mhnb(u) \wedge \neg ct \wedge \neg flr \wedge \neg bkt\}$   
**ECond** :  $\{scs(T, u, p, \Theta)\}$   
**VSEffect** :  $\{u' \leftarrow nbpd_1(u), T' \leftarrow T \cup \{u'\}, n' \leftarrow n + 1,$   
 $nu' \leftarrow fupdt(nu, \emptyset, \{(u', n')\}),$

$pd' \leftarrow fupdt(pd, \{u\}, \{(u, p), (u', nbpd_2(u))\}),$   
 $cl' \leftarrow fupdt(cl, \{\}, \{(u', dcl(nbpd_2(u)))\}),$   
 $fst' \leftarrow fupdt(fst, \{\}, \{(u', true)\})$   
**Etrace** :  $\{nu(u), lp(u), \mathbf{Exit}, p\}$

**AType** : FailU

**ACond** :  $\{\neg fst(u) \wedge u \neq \epsilon \wedge \neg ct \wedge \neg hcp(u) \wedge flr(p) \wedge \neg bkt\}$   
**ECond** :  $\{\}$   
**VSEffect** :  $\{u' = pt(u)\}$   
**Etrace** :  $\{nu(u), lp(u), \mathbf{Fail}, p\}$

**AType** : FailRdo

**ACond** :  $\{\neg fst(u) \wedge \neg ct \wedge hcp(u) \wedge flr(p) \wedge \neg bkt\}$   
**ECond** :  $\{\}$   
**VSEffect** :  $\{bkt' \leftarrow bkt(gcp(u)), flr' \leftarrow false\}$   
**Etrace** :  $\{nu(u), lp(u), \mathbf{Fail}, p\}$

**AType** : FailR

**ACond** :  $\{\neg fst(u) \wedge u = \epsilon \wedge \neg ct \wedge \neg hcp(u) \wedge flr(p) \wedge \neg bkt\}$   
**ECond** :  $\{\}$   
**VSEffect** :  $\{ct' \leftarrow true\}$   
**Etrace** :  $\{nu(u), lp(u), \mathbf{Fail}, p\}$

**AType** : Rdo1

**ACond** :  $\{\neg fst(u) \wedge bkt(v) \wedge ft(v) \wedge \neg flr\}$   
**ECond** :  $\{scs(T, v, p, \Theta)\}$   
**VSEffect** :  $\{u' \leftarrow v, T' \leftarrow T - \{y|y > u'\},$   
 $cl' \leftarrow fupdt(cl, \{y|y > u' \in T\}, \{(u', rem(ch(u'), cl(u')))\}),$   
 $ct' \leftarrow false, bkt' \leftarrow false\}$   
**Etrace** :  $\{nu(u'), lp(u'), \mathbf{Redo}, pd(u'), ch(u'), cl(u')\}$

**AType** : RdoF

**ACond** :  $\{\neg fst(u) \wedge bkt(v) \wedge \neg flr\}$   
**ECond** :  $\{fail(T, v)\}$   
**VSEffect** :  $\{u' \leftarrow v, T' \leftarrow T - \{y|y > u'\},$   
 $cl' \leftarrow fupdt(cl, \{y|y > u' \in T\}, \{(u', rem(ch(u), cl(u))\}),$   
 $ct' \leftarrow false, bkt' \leftarrow false, flr' \leftarrow hd(ch(u'))\}$   
**Etrace** :  $\{nu(u'), lp(u'), \mathbf{Redo}, pd(u'), ch(u'), cl(u')\}$

**AType** : Rdo2  
**ACond** :  $\{\neg fst(u) \wedge bkt(v) \wedge \neg ft(v) \wedge \neg flr\}$   
**ECond** :  $\{scs(T, v, p, \Theta)\}$   
**VSEffect** :  $\{T' \leftarrow T - \{y|y > v\} \cup \{w\}, w \leftarrow ncpd_1(v),$   
 $u' \leftarrow w, n' \leftarrow n + 1,$   
 $nu' \leftarrow fupdt(nu, \{y|y > v \in T\}, \{(w, n')\}),$   
 $pd' \leftarrow fupdt(pd, \{y|y > v \in T\}, \{w, ncpd_2(w)\}),$   
 $cl' \leftarrow fupdt(cl, \{y|y \geq v \in T\}, \{(v, rem(ch(v), cl(v))), (w, dcl(ncpd_2(w)))\}),$   
 $fst' \leftarrow fupdt(fst, \{y|y > v \in T\}, \{(w, true)\}), bkt' \leftarrow false\}$   
**Etrace** :  $\{nu(u), lp(v), \mathbf{Redo}, pd(v), ch(v), rem(ch(v), cl(v))\}$

**AType** : Final  
**ACond** :  $\{u = \epsilon \wedge ct \wedge \neg hcp(u) \wedge \neg fst(u) \wedge \neg bkt\}$   
**ECond** :  $\{new(prog)\}$   
**VSEffect** :  $\{s' \leftarrow s0, prog' \leftarrow prog\}$   
**Etrace** :  $\{nu(u), lp(u), \mathbf{End}\}$

Ceci permet de poursuivre la trace avec un nouveau programme...

### Exemple de trace

Trace obtenue avec la SO décrite ci-dessus et simulée par le programme de la section B.2. Sont donnés : l'état initial (11 paramètres), la trace et l'état courant à la fin de la trace (le onzième paramètre, le programme reste inchangé).

```

| ?- nftry0(30).
. Tree      : []
. Curr node: []. Curr num : 1
. Node num  : ([],1)
. Preds     : ([],goal)
. Clauses   : ([],[g])
. Firsts    : ([],true)
. Comp tree: true. Fld tree : false. Go to bkp: false

```

```

prog(c1, fib(0)).
prog(c2, (fib(vX) :- fib(vY), fib(vZ))).
prog(g, (goal :- fib(vN))).

```

```

Complete trace of size: 30
[1,1,0,Init]
[2,1,0,Call,goal,g,[]]
[3,2,1,Call,fib(vN),c1,[c2]]
[4,2,1,Exit,fib(vN)]

```

```

[5,1,0,Exit,goal]
[6,2,1,Redo,fib(vN),c2,[]]
[7,3,2,Call,fib(vY),c1,[c2]]
[8,3,2,Exit,fib(vY)]
[9,4,2,Call,fib(vZ),c1,[c2]]
[10,4,2,Exit,fib(vZ)]
[11,2,1,Exit,fib(vN)]
[12,1,0,Exit,goal]
[13,4,2,Redo,fib(vZ),c2,[]]
[14,5,3,Call,fib(vY),c1,[c2]]
[15,5,3,Exit,fib(vY)]
[16,6,3,Call,fib(vZ),c1,[c2]]
[17,6,3,Exit,fib(vZ)]
[18,4,2,Exit,fib(vZ)]
[19,2,1,Exit,fib(vN)]
[20,1,0,Exit,goal]
[21,6,3,Redo,fib(vZ),c2,[]]
[22,7,4,Call,fib(vY),c1,[c2]]
[23,7,4,Exit,fib(vY)]
[24,8,4,Call,fib(vZ),c1,[c2]]
[25,8,4,Exit,fib(vZ)]
[26,6,3,Exit,fib(vZ)]
[27,4,2,Exit,fib(vZ)]
[28,2,1,Exit,fib(vN)]
[29,1,0,Exit,goal]
[30,8,4,Redo,fib(vZ),c2,[]]

. Tree      : [] [1] [1,1] [1,2] [1,2,1] [1,2,2]
              [1,2,2,1] [1,2,2,2]
. Curr node: [1,2,2,2]. Curr num : 8
. Node num  : ([],1) ([1],2) ([1,1],3) ([1,2],4)
              ([1,2,1],5) ([1,2,2],6) ([1,2,2,1],7)
              ([1,2,2,2],8)
. Preds     : ([],goal) ([1],fib(vN)) ([1,1],fib(vY))
              ([1,2],fib(vZ)) ([1,2,1],fib(vY))
              ([1,2,2],fib(vZ)) ([1,2,2,1],fib(vY))
              ([1,2,2,2],fib(vZ))
. Clauses   : ([],[g]) ([1],[c2]) ([1,1],[c1,c2])
              ([1,2],[c2]) ([1,2,1],[c1,c2]) ([1,2,2],[c2])
              ([1,2,2,1],[c1,c2]) ([1,2,2,2],[c2])
. Firsts    : ([],false) ([1],false) ([1,1],false)
              ([1,2],false) ([1,2,1],false) ([1,2,2],false)
              ([1,2,2,1],false) ([1,2,2,2],false)
. Comp tree: false. Fld tree : fib(vX). Go to bkp: false

```

## Schéma de traceur Prolog et schéma de Trace

Le schéma de traceur s'obtient directement à partir de la SO en "oubliant" dans la description précédente la partie **Etrace**. Pour le schéma de trace, on ne garde que **AType**, **VSEffect** et **Etrace**; dans **VSEffect** on ne met que les éléments de calcul nécessaires aux calculs des attributs.

Rappel :

Paramètres :

$\{T, u, n, nu, pd, cl, fst, ct, flr, bkt, prog\}$

État virtuel initial :

$s_0 = \{\{\epsilon\}, \epsilon, 1, \{(\epsilon, 1)\}, \{(\epsilon, goal)\}, \{(\epsilon, list\_of\_goal\_claus)\}, \{(\epsilon, true)\},$   
 $false, false, false, prog\}$

**AType** : Init

**VSEffect** :  $\{\}$

**Etrace** :  $\{nu(u), lp(u), \mathbf{Init}\}$

**AType** : CallSu1 et CallFa

**VSEffect** :  $\{\}$

**Etrace** :  $\{nu(u), lp(u), \mathbf{Call}, pd(u), ch(u), cl(u)\}$

**AType** : CallFaCl

**VSEffect** :  $\{\}$

**Etrace** :  $\{nu(u), lp(u), \mathbf{Call}, pd(u)\}$

**AType** : CallSu2

**VSEffect** :  $\{\}$

**Etrace** :  $\{nu(u), lp(u), \mathbf{Call}, pd(u), ch(u), rem(ch(u), cl(u))\}$

**AType** : Exit1

**VSEffect** :  $\{\}$

**Etrace** :  $\{nu(u), lp(u), \mathbf{Exit}, pd'(u)\}$

**AType** : ExitR

**VSEffect** :  $\{\}$

**Etrace** :  $\{nu(u), lp(u), \mathbf{Exit}, pd'(u)\}$

**AType** : Exit2  
**VSEffect** : {}  
**Etrace** : {*nu*(*u*), *lp*(*u*), **Exit**, *pd'*(*u*)}

**AType** : FailU  
**VSEffect** : {*flr*(*p*)}  
**Etrace** : {*nu*(*u*), *lp*(*u*), **Fail**, *p*}

**AType** : FailRdo  
**VSEffect** : {*flr*(*p*)}  
**Etrace** : {*nu*(*u*), *lp*(*u*), **Fail**, *p*}

**AType** : FailR  
**VSEffect** : {*flr*(*p*)}  
**Etrace** : {*nu*(*u*), *lp*(*u*), **Fail**, *p*}

**AType** : Rdo1  
**VSEffect** : {*bkt*(*v*)}  
**Etrace** : {*nu*(*v*), *lp*(*v*), **Redo**, *pd*(*v*), *ch*(*v*), *rem*(*ch*(*v*), *cl*(*v*))} *v=u'*

**AType** : RdoF  
**VSEffect** : {*bkt*(*v*)}  
**Etrace** : {*nu*(*v*), *lp*(*v*), **Redo**, *pd*(*v*), *ch*(*v*), *rem*(*ch*(*v*), *cl*(*v*))}

**AType** : Rdo2  
**VSEffect** : {*bkt*(*v*)}  
**Etrace** : {*nu*(*v*), *lp*(*v*), **Redo**, *pd*(*v*), *ch*(*v*), *rem*(*ch*(*v*), *cl*(*v*))}

**AType** : Final  
**VSEffect** : {}  
**Etrace** : {*nu*(*u*), *lp*(*u*), **End**}

Les paramètres codants qui servent au calcul des attributs de la trace, sont :  
 {*T*, *u*, *nu*, *pd*, *cl*, *flr*, *bkt*}

En effet *T* et *u* sont requis pour le calcul de *lp*(*u*); additionnellement, *nu* pour le calcul de *nu*(*u*); *pd* et *cl* pour ceux de *pd*(*u*) (ou *pd'*(*u*) qui fait intervenir

l'état atteint)  $ch(u)$  et  $rem(ch(u), cl(u))$ ; enfin  $flr$  est requis pour le calcul de l'attribut  $p$  dans les événements  $Fail$ , et  $bkt$  pour l'attribut  $nu(u')$  dans les événements  $Redo$ . Les attributs  $port$  ne dépendent que du type d'action.

Dans cette trace, les attributs  $\{n, fst, ct, prog\}$  sont non codants et ne contribuent qu'à la définitions des transitions.

### Sémantique interprétative de Prolog

Le principe de la sémantique interprétative est qu'à chaque nouvel événement de la trace effective on puisse associer un type d'action virtuelle d'une part et un nouvel état virtuel, en supposant connu l'état virtuel antérieur. Il y a plusieurs SI possibles selon que que l'on utilise ou non plusieurs paramètres reconstruits. D'une manière générale, il semble intéressant de n'utiliser qu'un minimum de paramètres, et donc de puiser le maximum d'information dans la trace effective elle-même. Cela en effet peut éviter de reconstruire intégralement le modèle initial. Ainsi pour une SI de Prolog, il paraît peu pertinent de reconstruire les paramètres tels que  $\{n, nu, fst, ct, flr, bkt\}$  qui ne servent qu'à la machinerie de création de traces virtuelles, pour ne se préoccuper que des paramètres  $\{T, u, pd, cl, prog\}$ .

La SI est donnée par  $\langle A, R_O, S, I \rangle$  où la fonction de reconstruction  $I : \mathcal{T}^w \rightarrow \mathcal{T}^v$  est donnée par une fonction de reconstruction locale  $I_l(s, a_{k+1}) = (r_l, s')$ , dont la description est un schéma de reconstruction. Celui-ci décrit de quelle manière, à partir d'un état virtuel courant

$S : \{T, u, n, nu, pd, cl, fst, ct, flr, bkt, prog\}$

et de, au plus, 2 événements de trace effective (la SI est 1-constructible), un nouvel état virtuel peut être reconstruit.

Les paramètres que l'on cherche à reconstruire sont en fait  $\{T, u, nu, pd, cl, flr, bkt\}$ ; ceux-ci sont en effet codants pour l'ensemble des attributs de la trace et pourront être utilisés pour une vérification de fidélité.

Le sous-état initial virtuel correspondant aux paramètres codants est donc :  $\{\{\epsilon\}, \epsilon, \{\{\epsilon, 1\}\}, \{\{\epsilon, goal\}\}, \{\{\epsilon, list\_of\_goal\_claus\}\}, false, false\}$

Rappel :

- **AType** : (Type d'action) un identificateur  $r_l \in R_O$  (le type d'action reconnu correspondant à la transition  $(s, s')$  ci-dessus et identifiée par la condition ci-dessous)
- **Utrace** : { (Used Trace) les attributs utiles des événements de trace effective utilisés concernant au plus  $k + 1$  événements }
- **AICond** : { (Action Identification Condition) la condition d'identification du type d'action de la transition effectuée, en général vide, mais elle peut servir de condition de vérification de la trace (voir la section 4.7) }
- **RVState** : { (Reconstructed Virtual State) les calculs des éléments essentiels du nouvel état virtuel reconstruit  $s'$  }

**AType** : Init

**Utrace** :  $\{ \langle r \ l \ \mathbf{Init} \ \rangle \}$   
**AICond** :  $\{ port = \mathbf{Init} \}$   
**RVState** :  $\{ \}$

**AType** : CallSu1  
**Utrace** :  $\{ \langle r \ l \ \mathbf{Call} \ p \ ch \ lc \ \rangle ; \langle r' \ \mathbf{Exit} \ \rangle \}$   
**AICond** :  $\{ port = \mathbf{Call} \wedge port' = \mathbf{Exit} \}$   
**RVState** :  $\{ \}$

**AType** : CallFa  
**Utrace** :  $\{ \langle r \ l \ \mathbf{Call} \ p \ ch \ cl \ \rangle ; \langle r' \ \mathbf{Fail} \ p \ \rangle \}$   
**AICond** :  $\{ port = \mathbf{Call} \wedge port' = \mathbf{Fail} \wedge attr(ch) \}$  (indique que l'attribut *ch* (chosen clause) est présent)  
**RVState** :  $\{ \}$

**AType** : CallFaCl  
**Utrace** :  $\{ \langle r \ l \ \mathbf{Call} \ p \ \rangle ; \langle r' \ \mathbf{Fail} p' \ \rangle \}$   
**AICond** :  $\{ port = \mathbf{Call} \wedge port' = \mathbf{Fail} \wedge \neg attr(ch) \}$  (l'attribut *ch* (chosen clause) est absent)  
**RVState** :  $\{ flr \leftarrow flr(p') \}$

**AType** : CallSu2  
**Utrace** :  $\{ \langle r \ l \ \mathbf{Call} \ p \ ch \ cl \ \rangle ; \langle r' \ \mathbf{Call} p' \ ch' \ cl' \ \rangle \}$   
**AICond** :  $\{ port = \mathbf{Call} \wedge port' = \mathbf{Call} \}$   
**RVState** :  $\{ w = ncpd_1(u), \ u' \leftarrow w, \ T' \leftarrow T \cup \{w\} \}$  ( $nepd_1(u)$  est un nœud fils du nœud courant  $u$ )  
 $pd' \leftarrow fupdt(pd, \emptyset, \{(w, p')\})$ ,  
 $cl' \leftarrow fupdt(cl, \{ \}, \{(w, [ch'|cl'])\})$

**AType** : Exit1  
**Utrace** :  $\{ \langle r \ l \ \mathbf{Exit} \ p \ \rangle ; \langle r' \ \rangle \}$   
**AICond** :  $\{ port = \mathbf{Exit} \wedge u \neq \epsilon \wedge r' \leq r \}$   
**RVState** :  $\{ u' \leftarrow pt(u), \ pd' \leftarrow updt(pd, \{u\}, \{(u, p)\}) \}$

**AType** : ExitR  
**Utrace** :  $\{ \langle r \ l \ \mathbf{Exit} \ p \ \rangle \langle r' \ l' \ \mathbf{End} \ \rangle \}$   
**AICond** :  $\{ port = \mathbf{Exit} \wedge u = \epsilon \}$



**RVState** :  $\{\}$

**AType** : ExitR

**Utrace** :  $\{\langle r \ l \ \mathbf{Exit} \ p \rangle \langle r' \ l' \ \mathbf{Redo} \rangle\}$

**AICond** :  $\{port = \mathbf{Exit} \wedge u = \epsilon\}$

**RVState** :  $\{bkt' \leftarrow bkt(nu(r'))\}$

**AType** : Exit2

**Utrace** :  $\{\langle r \ l \ \mathbf{Exit} \ p \rangle ; \langle r' \ \mathbf{Call} \ p' \ ch' \ cl' \rangle\}$

**AICond** :  $\{w = nbpd_1(u), \ port = \mathbf{Exit} \wedge u \neq \epsilon \wedge r < r'\}$

**RVState** :  $\{u' \leftarrow w, \ T' \leftarrow T \cup \{w\},$

$pd' \leftarrow fupdt(pd, \{u\}, \{(u, p), (u', p')\}),$

$cl' \leftarrow fupdt(cl, \{\}, \{(u', [ch' | cl'])\})\}$

**AType** : FailU

**Utrace** :  $\{\langle r \ l \ \mathbf{Fail} \rangle ; \langle r' \ l' \ \mathbf{Fail} \rangle\}$

**AICond** :  $\{port = port' = \mathbf{Fail}\}$

**RVState** :  $\{u' = pt(u)\}$

**AType** : FailRdo

**Utrace** :  $\{\langle r \ l \ \mathbf{Fail} \rangle ; \langle r' \ l' \ \mathbf{Redo} \rangle\}$

**AICond** :  $\{port = \mathbf{Fail} \wedge port' = \mathbf{Redo}\}$

**RVState** :  $\{bkt' \leftarrow bkt(nu(r'))\}$

**AType** : FailR

**Utrace** :  $\{\langle r \ l \ \mathbf{Fail} \rangle ; \langle r' \ l' \ \mathbf{Final} \rangle\}$

**AICond** :  $\{port = \mathbf{Fail} \wedge port' = \mathbf{Final}\}$

**RVState** :  $\{\}$

**AType** : Rdo1

**Utrace** :  $\{\langle r \ l \ \mathbf{Redo} \ p \ ch \ cl \rangle ; \langle r' \ \mathbf{Exit} \rangle\}$

**AICond** :  $\{port = \mathbf{Redo} \wedge port' = \mathbf{Exit}\}$

**RVState** :  $\{nu(v) = r, \ u' \leftarrow v, \ T' \leftarrow T - \{y | y > u'\},$

$cl' \leftarrow fupdt(cl, \{y | y > u' \in T\}, \{(u', rem(ch, cl))\})\}$

**AType** : RdoF

**Utrace** :  $\{ \langle r \ l \ \mathbf{Redo} \ p \ ch \ cl \rangle ; \ \langle r' \mathbf{Fail} \rangle \}$   
**AICond** :  $\{ port = \mathbf{Redo} \wedge port' = \mathbf{Fail} \}$   
**RVState** :  $\{ nu(v) = r, \ u' \leftarrow v, \ T' \leftarrow T - \{y|y > u'\},$   
 $cl' \leftarrow fupdt(cl, \{y|y > u' \in T\}, \{(u', rem(ch, cl))\})$

**AType** : Rdo2  
**Utrace** :  $\{ \langle r \ l \ \mathbf{Redo} \ p \ ch \ cl \rangle ; \ \langle r' \mathbf{Call} \ p' \ ch \ cl \rangle \}$   
**AICond** :  $\{ port = \mathbf{Redo} \wedge port' = \mathbf{Call} \}$   
**RVState** :  $\{ nu(v) = r, \ w = ncpd_1(v), \ T' \leftarrow (T - \{y|y > v\}) \cup \{w\}$   
 $, \ u' \leftarrow w,$   
 $pd' \leftarrow fupdt(pd, \{y|y > v \in T\}, \{w, p'\}),$   
 $cl' \leftarrow fupdt(cl, \{y|y \geq v \in T\}, \{(v, rem(ch, cl)), (w, [ch'|cl'])\})$

**AType** : Final  
**Utrace** :  $\{ \langle r \ l \ \mathbf{End} \rangle \}$   
**AICond** :  $\{ port = \mathbf{End} \}$   
**VSEffect** :  $\{ \}$

Les attributs décodants pour les paramètres codants choisis sont tous les attributs sauf le second, la profondeur de l'arbre, qui est un méta-paramètre se déduisant des autres paramètres codants.

### A.3 Thielscher's Office Delivery Robot Example (en anglais)

This example is inspired from the office delivery robot's world example of Thielscher [92].

#### The robots world

This world consists of agents (the robots) moving in a space structured by rooms connected by doors, able to carry objects they find in the rooms. A requisition is an order to seek for objects and carry them from some place to an other one. The scene description at some moment is the current state and consists of a set of facts. A "situation" corresponds to a succession of trace events. The current state corresponding to a given situation is obtained here by the reconstruction function (interpretation semantics).

In fluent calculus, facts are named "fluents" and requisitions (or requests) are similar to Prolog goals. The way the requisitions are computed is not described by the observational semantics. The requests are thus treated as influence factors.

#### PARAMETERS

##### House :

The house has several rooms (also named *offices*)  $R$  connected by doors  $D$ . Each room is the office of some person  $P$ . These parameters are invariant, thus they will not be included in the virtual state description.

*officeof* :  $P \rightarrow R$  (not considered here)

*closed* :  $D \rightarrow Bool$  (dynamic parameter)

##### Objects $O$

Each object is specified by its name, room location, whether it is close to a door, and by the agent carrying it. All this characteristics can be deduced from others and therefore will not be included explicitly as parameters.

*inroom* :  $A \cup O \rightarrow R$

*atdoor* :  $A \cup O \rightarrow D \cup \perp$

*carried* :  $O \rightarrow A$  (*carried*( $o$ ) =  $a$  :  $o$  is carried by  $a$ ).

##### Agents $A$

Each agent is specified by its name, room location, whether it is close to a door, by the objects it carries, and by the door key codes it knows.

*inroom* :  $A \cup O \rightarrow R$

*atdoor* :  $A \cup O \rightarrow D \cup \perp$

*carry* :  $A \rightarrow O^*$

*has\_code\_key* :  $A \rightarrow D^*$

#### OS and IS Semantics

#### INFLUENCE FACTOR

*request*  $\rightarrow Q$  (not considered here)

**STATES**

A state has a static part (not modifiable) and a dynamic part. Each part is described by parameters which are represented by sets and functions. As the domains of the functions are finite, the functions can be represented by sets of n-uples.

Static Part : (not included in the description of the virtual state)

*house* The scene considered as 1 (static) parameter and described by :

$R, D, P$  (rooms, doors, persons)

*of\_ficeof* :  $P \rightarrow R$  (affectation of persons to rooms, not considered here)

*connect* :  $R \times D \rightarrow R$  labelled graph,

Dynamic Part : 5 parameters characterizing the evolution of the elements of the scene.

*inroom* :  $A \cup O \rightarrow R$

*atdoor* :  $A \cup O \rightarrow D \cup \perp$

*closed* :  $D \rightarrow Bool$

*carry* :  $A \rightarrow O^*$

*has\_code\_key* :  $A \rightarrow D^*$

**INITIAL STATE**

The 6 initial parameters are :

1 Static parameter *house* :

$R = \{r401, r402, \dots\}$

$D = (d12, d23, \dots, da1, da2, \dots)$

$P = \{alice, bob\}$

*of\_ficeof* =  $\{(alice, r402), (bob, r404)\}$

*connect* (see programs below).

5 Dynamic parameters

*inroom*(a007) = r401

*inroom*(o1) = r401

*atdoor*(a007) = d12

*closed*(d12) = true, *closed*(da1) = false

*carry*(a007) =  $\emptyset$

*has\_code\_key*(a007) = {d12, da4}

**INFLUENCE STATE**

$q = \exists o, request(of\_ficeof(alice), o, of\_ficeof(bob))$

*request* :  $q \in Q, Q \subseteq R \times O \times R \rightarrow Bool$

**ACTIONS TYPES**

**pickup** pick an object (if any)

**drop** drop the carried object (if any)

**gotodoor** go to the quoted door (if any)

**enterroom** enter the quoted room (if the door is open)

**open** open the door (if it is closed)

### TRACE EVENTS [attributes]

Attribute **a** stands for “agent”

Attribute **o** stands for “object”

Attribute **r** stands for “room”

Attribute **d** stands for “door”

pickup a o r

drop a o r

walk a d

walk a r

open a d

### AUXILIARY FUNCTIONS and PREDICATES

$remove : O^* \times O \rightarrow O^*$

$insert : O^* \times O \rightarrow O^*$

$carried : O \rightarrow A \cup \perp$

$is\_at\_any\_door : A \rightarrow Bool$

$loaded : A \rightarrow Bool$

### AXIOMS

Sets like  $(O^*)$  are represented by lists (lists of objects); the operator “.” denotes “cons” operator.

$o \notin l \Rightarrow remove(o.l, o) = l$

$o \in l \Rightarrow remove(o.l, o) = remove(l, o)$

$o \neq x \Rightarrow remove(x.l, o) = x.remove(l, o)$

$insert(l, o) = o.l$

$carried(o) = \perp \Leftrightarrow \forall a, o \notin carry(a)$

$carried(o) = a \Leftrightarrow o \in carry(a)$

$carried(o) = a \Rightarrow inroom(o) = inroom(a)$

$inroom(a) = r \wedge carried(o) = a \Rightarrow inroom(o) = r$

$is\_at\_any\_door(a) \Leftrightarrow \exists d, atdoor(a) = d$

$is\_open(d) \Leftrightarrow \neg closed(d)$

$loaded(a) \Leftrightarrow \exists o carry(a) = o$

### Observational Semantics (OS)

- **AType** : pickup
- **ACond** :  $\{inroom(a) = inroom(o) = r \wedge o \notin carry(a) \wedge \neg is\_at\_any\_door(a)\}$
- **ECond** :  $\{\exists r' request(r, o, r')\}$

- **VSEffect** :  $\{carry(a) \leftarrow insert(carry(a), o)\}$
- **Etrace** :  $\{pickup\ a\ o\ r\}$
  
- **AType** : drop
- **ACond** :  $\{o \in carry(a) \wedge inroom(a) = r \wedge \neg is\_at\_any\_door(a)\}$
- **ECond** :  $\{\exists r' request(r', o, r)\}$
- **VSEffect** :  $\{carry(a) \leftarrow remove(carry(a), o)\}$
- **Etrace** :  $\{drop\ a\ o\ r\}$
  
- **AType** : gotodoor
- **ACond** :  $\{inroom(a) = r \wedge \exists r' connect(d, r, r') \wedge \neg is\_at\_any\_door(a)\}$
- **ECond** :  $\{\}$
- **VSEffect** :  $\{atdoor(a) \leftarrow d\}$
- **Etrace** :  $\{walk\ a\ d\}$
  
- **AType** : enterroom
- **ACond** :  $\{atdoor(a) = d \wedge inroom(a) = r \wedge is\_open(d) \wedge connect(d, r, r')\}$
- **ECond** :  $\{\}$
- **VSEffect** :  $\{inroom(a) \leftarrow r',\ atdoor(a) \leftarrow \perp\}$
- **Etrace** :  $\{walk\ a\ r'\}$
  
- **AType** : open
- **ACond** :  $\{atdoor(a) = d \wedge d \subseteq has\_code\_key(a)\}$
- **ECond** :  $\{\}$
- **VSEffect** :  $\{closed(d) \leftarrow false\}$
- **Etrace** :  $\{open\ a\ d\}$

In the original example it is : **ACond** :  $\{atdoor(a) = d \wedge (\neg closed(d) \wedge connect(d, r, r'))\}$

### Interpretative Semantics (IS)

#### INITIAL STATE (repeated)

house :

$R = \{r401, r402, \dots\}$

$D = (d12, d23, \dots, da1, da2, \dots)$

$P = \{alice, bob\}$

$officeof = \{(alice, r402), (bob, r404)\}$

(connect is ommitted).

$inroom(a007) = r401$

$atdoor(a007) = d12$

$closed(d12) = true, closed(da1) = false$

$carry(a007) = \emptyset$

$has\_code\_key(a007) = \{d12, da4\}$

- **AType** : pickup

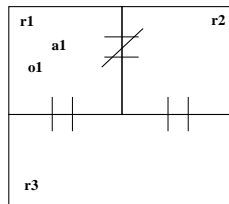
- **Utrace** : {pickup a o}
- **AICond** : {}
- **RVState** : {carry(a) ← insert(carry(a), o)}
  
- **AType** : drop
- **Utrace** : {drop a o}
- **AICond** : {}
- **RVState** : {carry(a) ← remove(carry(a), o)}
  
- **AType** : gotodoor
- **Utrace** : {walk a d}
- **AICond** : {door(d)}
- **RVState** : {atdoor(a) ← d}
  
- **AType** : enterroom
- **Utrace** : {walk a r}
- **AICond** : {room(r)}
- **RVState** : {inroom(a) ← r, atdoor(a) ← ⊥}
  
- **AType** : open
- **Utrace** : {open a d}
- **AICond** : {}
- **RVState** : {closed(d) ← false}

Notice that only two events need a condition to be expressed **gotodoor** and **enterroom**, in order to identify the corresponding virtual trace event. Such conditions would not be necessary if the type of the third attribute is coded in the actual trace event. Conditions may also be completed by conditions occurring in the OS.

**OS in Prolog style**

We describe a simplified version of the example of [92] with 3 rooms instead of 4.

The simplified robot's world is depicted on Figure 21.



**Figure 21.** A simple robot world

Initially there is one object and one robot both located in the same room, and the door `d12` is locked. The robot has its key.

We present an implementation of the OS in ISO-Prolog.

This presentation assumes a pure logical Prolog data base update view. Explicite predicate manipulations are omitted here<sup>44</sup>. Furthermore the CWA approach is used (closed world assumption)<sup>45</sup>.

A current state is described by a set of atoms.

A successful call of `try(+n, ?at, ?vt)`, where `n` is a given positive integer and `at` a variable, instanciates `at` by an actual trace of length `n` (a list of trace events, each event beeing a list with the chrono and 2 or 3 attributes).

If `at` is a given trace of length `n`, it is a verification that the given trace complies the OS.

As `try/3` is resatisfiable, all possible traces of given length `n` compatible with transition function are given.

In all cases `vt` is the virtual trace whose extracted actual trace is `at`.

Context and Types:

```
room(r1),room(r2),room(r3),
door(d12),door(d13), door(d23),
object(o1),
agent(a1),
connect(r1,d12,r2), connect(r2,d12,r1), connect(r1,d13,r3),
connect(r3,d13,r1), connect(r2,d23,r3), connect(r1,d23,r2).
```

Remark : the robot cannot walk back through a door, since `connect` is not reflexive (It needs to be in state "atdoor" to go through).

Possible initial state (evolving fluents)

```
inroom(a1,r1),
inroom(o1,r1),
closed(d12),
haskey(a1,[d12]).
```

```
%try(+n,?at,?vt) if n is a positive integer and at a list of length n,
%then at is a trace sample of length n (all samples which are consistent
%with the OS are produced),
%and vt is the virtual trace whose extracted trace is at.
```

```
try(N, ATr, [S0|VTr]) :- length(ATr, N), s0, state(S0), so(1, ATr, VTr).
```

```
%so(+n,+at,?vt): if n is a positive integer (the chrono of the first event
```

44. Indeed in ISO-Prolog a different data base update policy is used [36], therefore specific database update must be included (see full version of the programs).

45. The CWA assumes that a non true fact is false.



```

%in at or vt) and at a list of length m (m >= 0), then at is an actual
%trace sample of length m (all samples which are consistent with the OS
%are produced) and vt is the virtual one.
%Remark: n+m is a constant = size of the trace sample.
%Remark: a current state is supposed given. Therefore this predicates
%does not work alone.

so(_, [], []) :- !.
so(Ch, [[Ch|AtE]|ATr], [[Ch|VS]|VTr]):- tr_extract(Ch,AtE), state(VS),
                                         Chp is Ch+1, so(Chp, ATr, VTr).

%OS transition et extraction
%tr_extract(+ch, ?te): if ch is a positive integer (the chrono of the trace
%event), then te is the trace event corresponding to a transition of
%chrono ch.

tr_extract(Ch, [pickup,A,0,R]) :- trans(Ch, pickup(A,0,R)).
tr_extract(Ch, [drop,A,0,R])   :- trans(Ch, drop(A,0,R)).
tr_extract(Ch, [walk,A,D])     :- trans(Ch, gotodoor(A,D,_)).
tr_extract(Ch, [walk,A,R])     :- trans(Ch, enterroom(A,_,R)).
tr_extract(Ch, [open,A,D])     :- trans(Ch, open(A,D)).

%trans(n,tr): if n is a positive integer (the chrono of a trace event),
%then (on success) a transition characterized by the term tr (wich contains
%all information to generate the corresponding trace event) is realized.
%Remark: only the "gotodoor" case is nondeterministic (as many cases as
%there are doors in a room).
%Remark: state database updates are omitted here.

trans(Ch, pickup(A,0,R)) :-
  agent(A), object(O),
  inroom(A,R), inroom(O,R), \+is_at_any_door(A), \+carry(A,0),
  asserta(carry(A,0)).

trans(Ch, drop(A,0,R)) :-
  agent(A), object(O),
  inroom(A,R), inroom(O,R), \+is_at_any_door(A), carry(A,0),
  retract(carry(A,0)).

trans(Ch, gotodoor(A,D,R)) :-
  agent(A),
  inroom(A,R), \+is_at_any_door(A), chose_door(Ch, R, A, D).

trans(Ch, enterroom(A,D,Rp)) :- restore_allS(Ch),
  agent(A),

```

```

inroom(A,R), atdoor(A,D), connect(R,D,Rp), is_open(D),
retract(inroom(A,R)), retract(atdoor(A,D)), asserta(inroom(A,Rp)),
(carry(A,O) -> (retract(inroom(O,R)), asserta(inroom(O,Rp)))) ; true).

```

```

trans(Ch, open(A,D)) :-
agent(A), inroom(A,R), connect(R,D,_),
atdoor(A,D), closed(D), can_open(A,D),
retract(closed(D)).

```

```

%chose_door(c, r, a, d): if c is the chrono, r a room and a an agent,
%then d is a possible door where to go.
%Remark: the predicate is resatisfiable as many times there are doors
%in a room; the fluents are updated accordingly to the choosen door.

```

```

chose_door(Ch, R, A, D) :- connect(R,D,_), asserta(atdoor(A,D)).

```

```

%-----AXIOMS

```

```

is_open(D) :- \+closed(D).

```

```

is_at_any_door(A) :- agent(A), door(D), atdoor(A,D).

```

```

can_open(A,D) :- haskey(A,L), member(D,L), !.

```

Here is a sample of traces of size 3, obtained with goal try(3,T).

```

[1,pickup,a1,o1,r1] , [2,drop,a1,o1,r1] , [3,pickup,a1,o1,r1]
[1,pickup,a1,o1,r1] , [2,drop,a1,o1,r1] , [3,walk,a1,d12]
[1,pickup,a1,o1,r1] , [2,drop,a1,o1,r1] , [3,walk,a1,d13]
[1,pickup,a1,o1,r1] , [2,walk,a1,d12] , [3,open,a1,d12]
[1,pickup,a1,o1,r1] , [2,walk,a1,d13] , [3,walk,a1,r3]
[1,walk,a1,d12] , [2,open,a1,d12] , [3,walk,a1,r2]
[1,walk,a1,d13] , [2,walk,a1,r3] , [3,walk,a1,d13]
[1,walk,a1,d13] , [2,walk,a1,r3] , [3,walk,a1,d23]

```

Or some long observation : a kind of loop (a possible trace 10 événements)

```

[1,pickup,a1,o1,r1] , [2,drop,a1,o1,r1] , [3,pickup,a1,o1,r1] ,
[4,drop,a1,o1,r1] , [5,pickup,a1,o1,r1] , [6,drop,a1,o1,r1] ,

```

```
[7,pickup,a1,o1,r1] , [8,drop,a1,o1,r1] , [9,pickup,a1,o1,r1] ,
[10,drop,a1,o1,r1]
```

or a sort of hesitation (go to room `r2` then come back to drop the object in the original room).

```
[1,pickup,a1,o1,r1] , [2,walk,a1,d12] , [3,open,a1,d12] ,
[4,walk,a1,r2] , [5,walk, a1, d12] , [6,walk,a1,r1] ,
[7,drop,a1,o1,r1] , [8,pickup,a1,o1,r1] , [9,drop,a1,o1,r1] ,
[10,walk,a1,d13]
```

### Remarque

A trace of a given size as defined in the Section 5.3 can be computed with the following program.

```
%os2(n, tr): if n is a positive integer,
%           tr is a finite actual trace in S0 of size n.

os2(N,T) :- tr(N,U), reverse(U,T).

tr(N, [(_,S)]) :- N =< 0, s0, state(S), !.
tr(N, [E2,E1 | T_v]) :- N2 is N-1, tr(N2, [E1 | T_v]),
                        tr_extract(N, E2).
```

### Study of some signature graphs

Dans cet exemple, on se donne un état initial et les traces issue de cet état sont potentiellement infinies.

Une première méthode consiste à produire des ensembles de préfixes de traces de plus en plus grands et à construire le graphe correspondant dans le domaine abstrait. Ceci peut aider à trouver un graphe abstrait intéressant.

Une autre méthode consiste à raisonner directement sur le domaine abstrait.

Le programme ci-dessous produit le graphe abstrait correspondant à une ensemble donné de traces. Il implante une forme de preuve formelle par cas des propriétés nécessaires à la construction de l'opérateur abstrait décrit à la section 5.4.

```
%fg(n,g): if n is a positive integer, then g is the set of labeled arcs
%         of the graph abstraction of the a set of traces of length n
fg(N, Gamma) :- findall(Sarcs, tr(N, Sarcs), B), make_arcs(B, Gamma).

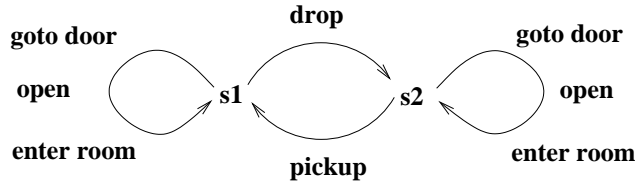
%make_arcs(b,g): if b is a list of bags, then g is the set containing
%              all elements in the bags.
```

### Domaine abstrait à deux nœuds

On considère le domaine abstrait avec deux nœuds abstraits caractérisés par la propriété :

```
%Abstract graph states definition
gs(1) :- carry(_,_), !. %agent carry an object
gs(2). %no object carried
```

Tous les états satisfont l'une ou l'autre de ces assertions. Le point fixe est obtenu dès avec des traces de taille 3.



**Figure 22.** A first graph with two states (some object carried or not)

Le graphe peut être construit sur la base d'un raisonnement direct sur l'existence ou non d'arc étiqueté entre deux états abstraits selon le type d'opération. Ici il est évident de remarquer que seules l'action sur un objet modifie l'état abstrait, donc seules les actions *pickup* et **drop** sont en cause. Par contre toutes les autres actions ne modifient pas l'état.

Un autre exemple à trois états est le suivant.

```
%Abstract graph states definition
gs(1) :- inroom(_,r1). %some agent in room r1
gs(2) :- inroom(_,r2). %some agent in room r2
gs(u) :- inroom(_,r), \+(r=r1), \+(r=r2). %other state
```

Dans cette abstraction on ne s'intéresse qu'aux déplacements entre deux pièces particulières (celles dont la porte communicante est fermée). Le graphe obtenu avec 3 nœuds (figure 23) montre des états 1 et 2 (correspondant aux pièces r1 et r2) qui jouent des rôles symétriques : on pourrait les considérer ensembles, et ne comparer ces deux pièces ensembles par rapport aux autres (en fait r3 qui est la seule pièce sans porte communicante fermée).

### Domaine abstrait à trois nœuds

Les trois propriétés suivantes caractérisent trois nœuds abstraits et une et une seule d'entre elles est satisfaites à un état quelconque. Le premier état abstrait correspond à avoir un agent au milieu d'une pièce, le second à avoir un agent proche d'une porte close d'où il peut soit la franchir, soit revenir sur ses pas - noter que dans cet exemple il a la clef de la seule porte fermée, donc cette possibilité n'apparaît pas) et le troisième à franchir la porte (déjà ouverte).

```
%Abstract graph states definition
```

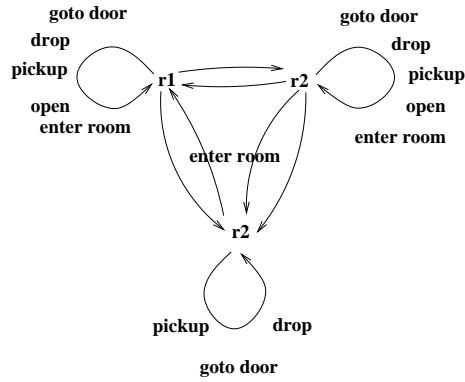


Figure 23. A graph with three states to distinguish rooms

```

gs(1) :- agent(A), inroom(A,_), \+is_at_any_door(A), !.
        %agent in the center of a room
gs(2) :- atdoor(_,D), closed(D), !.
        %agent at some closed door in a room
gs(3) :- atdoor(_,D), is_open(D), ! %agent has open a door
    
```

Le graphe abstrait obtenu (figure 24) montre par exemple clairement que la prise d'objet n'a lieu qu'au milieu d'une pièce.

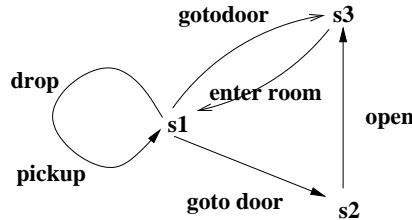


Figure 24. A graph with three states (actions around doors)

**Domaine abstrait à six nœuds**

Enfin le dernier graphe abstrait revient à dupliquer le graphe précédent en distinguant les parcours de l'agent portant ou non un objet.

```

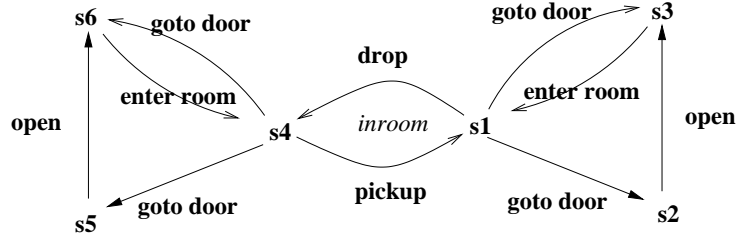
%Abstract graph states definition
gs(1) :- agent(A), carry(A,_), inroom(A,_), \+is_at_any_door(A), !.
gs(2) :- carry(A,_), atdoor(A,D), closed(D), !.
gs(3) :- carry(A,_), atdoor(A,D), is_open(D), !.
    
```

```

gs(4) :- agent(A), inroom(A,_), \+is_at_any_door(A), !.
gs(5) :- atdoor(A,D), \+loaded(A), closed(D), !.
gs(6) :- atdoor(A,D), \+loaded(A), is_open(D).

```

Cet exemple illustré par la figure 25 montre que le choix des états abstraits ne doit pas se faire sur la base de critères dichotomiques, ce qui entraîne inmanquablement une explosion combinatoire des nœuds qui peut ne pas apporter d'information supplémentaire. Le graphe précédent est plus synthétique et riche d'enseignements. Il montre en particulier que les actions de déplacement ne dépendent pas du fait de porter ou non un objet.



**Figure 25.** A graph with six states (actions around doors and carried object)

Ce graphe est également obtenu avec des traces de taille 3.

### IS in Prolog style

The predicate `find/2` simulates virtual trace generation from an actual trace. The above predicates presentation is simplified.

```

%find(at,vt): if s0 is the initial state and at a given finite
%portion of actual trace
%(trace events only), then vt is the corresponding sequence of
%virtual trace event.
%Uses the initialisation predicate: s0 which cleans the Prolog database
%and initialises it with the evolving fluents.

```

```
find(Tr,Tv) :- s0, interpr(Tr,Tv).
```

```

%interpr(+at,?vt): if at is a trace sample of length n, then vt is the
%corresponding reconstructed virtual trace.
%Remark: a current (initial) state is supposed given.

```

```

interpr([], []) :- !.
interpr([[Ch|AtE]|ATr], [[Ch,A,VtE]|VTr]) :-

```

```

rebuild(AtE, A), state(VtE), interpr(ATr,VTr).

rebuild([pickup,A,0,_], pickup) :- asserta(carry(A,0)).
rebuild([drop,A,0,_], drop)      :- retract(carry(A,0)).
rebuild([walk,A,D], gotodoor)    :- door(D), asserta(atdoor(A,D)).
rebuild([walk,A,R], enterroom)   :- room(R), inroom(A,R0), atdoor(A,D),
                                   connect(R0,D,R),
                                   retract(inroom(A,R0)), retract(atdoor(A,D)),
                                   asserta(inroom(A,R)),
                                   (carry(A,0) -> (retract(inroom(0,R0)),
                                                  asserta(inroom(0,R)))) ; true).
rebuild([open,_,D], open)        :- retract(closed(D)).

%Example

| ?- find([[1,pickup,a1,o1,r1],[2,walk,a1,d12],[3,open,a1,d12],
[4,walk,a1,r2],[5,drop,a1,o1,r2],[6,pickup,a1,o1,r2],[7,drop,a1,o1,r2],
[8,walk,a1,d12],[9,walk,a1,r1],[10,walk,a1,d13]],Vt).

Vt = [
[1,pickup,[inroom(a1,r1),carry(a1,o1),closed(d12),inroom(o1,r1)]],
[2,gotodoor,[inroom(a1,r1),carry(a1,o1),atdoor(a1,d12),closed(d12),inroom(o1,r1)]],
[3,open,[inroom(a1,r1),carry(a1,o1),atdoor(a1,d12),inroom(o1,r1)]],
[4,enterroom,[inroom(a1,r2),carry(a1,o1),inroom(o1,r2)]],
[5,drop,[inroom(a1,r2),carry(a1,o1),inroom(o1,r2)]],
[6,pickup,[inroom(a1,r2),carry(a1,o1),inroom(o1,r2)]],
[7,drop,[inroom(a1,r2),carry(a1,o1),inroom(o1,r2)]],
[8,gotodoor,[inroom(a1,r2),carry(a1,o1),atdoor(a1,d12),inroom(o1,r2)]],
[9,enterroom,[inroom(a1,r1),carry(a1,o1),inroom(o1,r1)]],
[10,gotodoor,[inroom(a1,r1),carry(a1,o1),atdoor(a1,d13),inroom(o1,r1)]]] ? ;
(10 ms) no

```

## B ANNEXE : Programmes (SO formalisée en Prolog) (en anglais)

On donne ici les textes complets des programmes utilisés dans les exemples étudiés.

### B.1 Demography

```

%=====
%Observational Semantics
%=====

:- dynamic([popseq/1],tdfr/2).
:- set_prolog_flag(unknown,fail).

%state(s): s is the list of evolving fluents in the current state.
state(S) :- popseq(S).

displayState :- popseq(S), write(S), nl, !.

displayTrace([]) :- nl, !.
displayTrace([E|Vt]) :- write(E), nl, displayTrace(Vt).

%initialisation with "standard initial state s0".
%s0: eliminates all de evolving fluents from the Prolog database
%and initialises it with an initial state.
s0 :- clean.

clean :- retractall(popseq(_)), retractall(tdfr(_,_)).

%try(+n): if n is a positive integer, s0 a given initial
%state, then succeeds an many times as there are possible ways
%to obtain a trace of lenth n, with the OS.
try(N) :- length(Tr,N), s0, so(1,Tr), displayTrace(Tr),
         nl, displayState.

%so(+n,+tr): if n is a positive integer and tr alist of length m
%(m >= 0), then tr is a trace sample of length m (all samples which
%are consistent with the OS are produced).
%Rem: n+m is constant.
%Rem: a current state is supposed given. Therefore this predicates
%does not work alone.
so(_,[]) :- !.
so(Ch, [[Ch|E]|Tr]) :- tr_extract(Ch,E), Chp is Ch+1, so(Chp, Tr),!.

```



```

%OS transition et extraction
%Rem: here the extraction function E is almost trivial.
%tr_extract(+n, ?te): if n is a positive integer (the chrono of a
%trace event), then te is the trace event corresponding to a
%transition.
tr_extract(Ch, [mg,U]) :- trans(Ch, mg(L)),
    append(_, [U], L). %U is the last value in the state
tr_extract(Ch, [init,U]) :- trans(Ch, init(U)).
tr_extract(Ch, _) :- restore_allS(Ch), fail.

%trans(n,tr): if n is a positive integer (the chrono of a trace
%event), then (on success) a transition carasterized by the term tr
%(wich contains all information to generate the corresponding trace
%event) is realized.
%OS transitions (with state evolution planed for backtrack).
trans(Ch, mg(Sp)) :- restore_allS(Ch), noinit,
    popseq(S), append(_, [PLa,La], S), NLa is PLa+La, append(S, [NLa], Sp),
    retract(popseq(S)), asserta(popseq(Sp)),
    todofor_restore(Ch, (retractSuc(popseq(Sp)), asserta(popseq(S)))).

trans(Ch, init(Sp)) :- restore_allS(Ch), \+noinit,
    asserta(popseq([1,1])), Sp = [1,1],
    todofor_restore(Ch, (retractSuc(popseq([1,1])))).

noinit :- popseq(_).

```

Les predicats non définis ici le sont dans l'exemple suivant.

## B.2 Prolog

```

%=====
%Observational Semantics
%=====

:- dynamic([tree/1,cuno/1,num/1,nu/2,pd/2,cl/2,fst/1,ct/0,flr/1,
           bkt/1,prog/2,tdfr/2]).

%initialisation with "standard initial state s0".
%s0: eliminates all de evolving fluents from the Prolog database and
%initialises it with the possible initial state as above, or a given
%state.
%Initial state: { rac , u=rac , n=1, nu=(rac,1), pd=(rac,goal),
%               cl=(rac,[gc]), fst=(1,true), ct=false , flr=false, bkt=false}

s0 :- clean,
    asserta(tree([])),
    asserta(cuno([])),
    asserta(num(1)),
    asserta(nu([],1)),
    asserta(pd([],goal)),
    asserta(cl([],[g])),
    asserta(fst([])),
    asserta(ct),
    asserta(prog(g,(goal :- fib(vN)))),
    asserta(prog(c2, (fib(vX) :- fib(vY), fib(vZ)))),
    asserta(prog(c1, fib(0))).

clean :- retractall(tree(_)), retractall(cuno(_)),
         retractall(num(_)), retractall(nu(_, _)),
         retractall(pd(_, _)), retractall(cl(_, _)),
         retractall(fst(_)), retractall(ct), retractall(flr(_)),
         retractall(bkt(_)), retractall(prog(_, _)),
         retractall(tdfr(_, _)).

%sdtry0(+n): if n is a positive integer,
%then all the traces of length n are displayed.
%(Behave like Prolog: in case of loop, traces may be ignored, since
%remaining choice points will not be tried).

sdtry0(N) :- length(Tr,N), s0, displayStatePP, listing(prog/2),
            so(1,Tr),
            write('Complete trace of size: '), write(N), nl,
            displayTrace(Tr), nl,
            displayStatePP, nl, fail.

```

```

sdtry0(_) :- write(' End of possible traces'), nl.

%Idem but so traces with no failure tests are considered.
nftry0(N) :- length(Tr,N), s0, displayStatePP, listing(prog/2),
            so(1,Tr), \+failInTrace(Tr),
            write('Complete trace of size: '), write(N), nl,
            displayTrace(Tr), nl,
            displayStatePP, nl, fail.
nftry0(_) :- write(' End of possible traces'), nl.

failInTrace(T) :- member([_,_,_,X|_],T),
                  (X=failU; X=failRd; X=failRt; X=callF; X=callFv; X=redoF), !.

so(_,[]) :- !.
so(Ch, [[Ch|E]|Tr]) :- tr_extract(Ch,E), Chp is Ch+1, so(Chp, Tr).

%OS transition et extraction
%Rem: here the extraction function E is almost trivial.
%tr_extract(+n, ?te): if n is a positive integer (the chrono of a
%trace event), then te is the trace event corresponding to a
%transition.
tr_extract(Ch, [Nu,Lp,'Init']) :- trans(Ch, init(Nu,Lp)).
tr_extract(Ch, [Nu,Lp,'Call',Pd,C,C1]) :-
    trans(Ch, leafRcd(Nu,Lp,Pd,C,C1)).
tr_extract(Ch, [Nu,Lp,'Call',Pd,C,C1]) :-
    trans(Ch, leafRcdF(Nu,Lp,Pd,C,C1)).
tr_extract(Ch, [Nu,Lp,'Call',Pd]) :- trans(Ch, leafRcdFv(Nu,Lp,Pd)).
tr_extract(Ch, [Nu,Lp,'Call',Pd,C,C1]) :-
    trans(Ch, lfRandGD(Nu,Lp,Pd,C,C1)).
tr_extract(Ch, [Nu,Lp,'Exit',Pd]) :- trans(Ch, treeSucUp(Nu,Lp,Pd)).
tr_extract(Ch, [Nu,Lp,'Exit',Pd]) :-
    trans(Ch, treeSucRoot(Nu,Lp,Pd)).
tr_extract(Ch, [Nu,Lp,'Exit',Pd]) :- trans(Ch, tSandGR(Nu,Lp,Pd)).
tr_extract(Ch, [Nu,Lp,'Fail',Pd]) :- trans(Ch, treeFailUp(Nu,Lp,Pd)).
tr_extract(Ch, [Nu,Lp,'Fail',Pd]) :-
    trans(Ch, treeFailRdo(Nu,Lp,Pd)).
tr_extract(Ch, [Nu,Lp,'Fail',Pd]) :-
    trans(Ch, treeFailRoot(Nu,Lp,Pd)).
tr_extract(Ch, [Nu,Lp,'Redo',Pd,C,C1]) :-
    trans(Ch, backtrack1S(Nu,Lp,Pd,C,C1)).
tr_extract(Ch, [Nu,Lp,'Redo',Pd,C,C1]) :-
    trans(Ch, backtrackF(Nu,Lp,Pd,C,C1)).
tr_extract(Ch, [Nu,Lp,'Redo',Pd,C,C1]) :-
    trans(Ch, backtrack2S(Nu,Lp,Pd,C,C1)).
tr_extract(Ch, [Nu,Lp,'End']) :- trans(Ch, final(Nu,Lp)).

```

```

tr_extract(Ch, _)                :- restore_allS(Ch), fail.

%OS transitions (with state evolution planed for backtrack).
%trans(n,tr): if n is a positive integer (the chrono of a trace
%event), then (on success) a transition carasterized by the term tr
%(wich contains all information to generate the corresponding trace
%event) is realized.

%init
trans(Ch, init(Nu,Lp)) :- restore_allS(Ch), \+bkt,
    rootCurrTree, U=[], fst(U), iz(ct,true),
    retractall(ct), retractall(flr(_)),
    nu(U,Nu), lp(U,Lp),
    todofor_restore(Ch, asserta(ct)).

%call1 with success - two predications have same predicate name
%and arities (unification is not performed but assumed to succeed)
trans(Ch, leafRcd(Nu,Lp,Pd,C,L)) :- restore_allS(Ch), cuno(U),
    \+bkt, fst(U), lf(U), iz(ct,false), \+flr,
    \+noclfor(U), selectcl(U, Claus, C, L,U,Ch), ft(Claus),
    retractSuc(fst(U)),
    nu(U,Nu), lp(U,Lp), pd(U,Pd),
    todofor_restore(Ch, (asserta(fst(U)))).

%call with supposed failure of the unification
trans(Ch, leafRcdF(Nu,Lp,Pd,C,L)) :- restore_allS(Ch), cuno(U),
    \+bkt, fst(U), lf(U), iz(ct,false), \+flr,
    \+noclfor(U), selectcl(U, Claus, C, L,U,Ch),
    headPredic(Claus,Pd2), pd(U,Pd), \+(Pd = Pd2),
    nu(U,Nu), lp(U,Lp),
    retractSuc(fst(U)), asserta(flr(Pd2)),
    todofor_restore(Ch, (
        asserta(fst(U)), retractSuc(flr(Pd2))
    )).

%call with failure because no defining clause
trans(Ch, leafRcdFv(Nu,Lp,Pd)) :- restore_allS(Ch), cuno(U),
    \+bkt, fst(U), lf(U), iz(ct,false), \+flr,
    noclfor(U),
    nu(U,Nu), lp(U,Lp), pd(U,Pd), cl(U,C1),
    retractSuc(fst(U)), asserta(flr(Pd)),
    todofor_restore(Ch, (
        asserta(fst(U)), retractSuc(flr(Pd))
    )).

```

```

%call2: unif succeeds if two predications have same predicate name
%and arities
trans(Ch, lfRandGD(Nu,Lp,Prd1,C,L)) :- restore_allS(Ch), cuno(U),
  \+bkt, fst(U), lf(U), iz(ct,false), \+flr,
  \+noclfor(U), selectcl(U, Claus, C, L,U,Ch), \+ft(Claus),
  num(N), Np is N+1, retractSuc(num(N)), asserta(num(Np)),
  append(U,[1],Up), asserta(tree(Up)), asserta(nu(Up,Np)),
  retractSuc(cuno(U)),asserta(cuno(Up)),
  fpr(Claus,Pr), asserta(pd(Up,Pr)),
  defCl(Pr,Clp), asserta(cl(Up,Clp)),
  nu(U,Nu), lp(U,Lp), pd(U,Prd1),
  retractSuc(fst(U)), asserta(fst(Up)),
  todofor_restore(Ch, (
    retractSuc(num(Np)),asserta(num(N)),
    retractSuc(tree(Up)),
    retractSuc(nu(Up,Np)),
    retractSuc(cuno(Up)), asserta(cuno(U)),
    retractSuc(pd(Up,Pr)),
    retractSuc(cl(Up,Clp)),
    retractSuc(fst(Up)), asserta(fst(U))
  )).

```

```

%exit1 and go up; case not at root
trans(Ch, treeSucUp(Nu,Lp,Pd)) :- restore_allS(Ch), cuno(U),
  \+bkt, \+fst(U), iz(ct,false), \+flr, \+mhn(U), \+(U=[]),
  pt(U,Up), retractSuc(cuno(U)), asserta(cuno(Up)),
  nu(U,Nu), lp(U,Lp), pd(U,Pd),
  todofor_restore(Ch, (
    retractSuc(cuno(Up)), asserta(cuno(U))
  )).

```

```

%exit1r and go up; case at root
trans(Ch, treeSucRoot(Nu,Lp,Pd)) :- restore_allS(Ch), cuno(U),
  \+bkt, \+fst(U), iz(ct,false), \+flr, U=[],
  asserta(ct),
  (gcp(U,V) -> asserta(bkt(V)); true),
  nu(U,Nu), lp(U,Lp), pd(U,Pd),
  todofor_restore(Ch, (
    retractSuc(ct),
    (bkt(V) -> retractSuc(bkt(V)); true)
  )).

```

```

%exit2 success with update of clauses of the current node and
%creation of a new node
trans(Ch, tSandGR(Nu,Lp,Pd)) :- restore_allS(Ch), cuno(U),
  \+bkt, \+fst(U), iz(ct,false), \+flr, nbroth(U,P), mkbroNode(U,Up),
  num(N), Np is N+1, defCl(P,Clp),
  retractSuc(num(N)), asserta(num(Np)),
  asserta(tree(Up)),
  asserta(nu(Up,Np)),
  asserta(cl(Up,Clp)),
  asserta(fst(Up)),
  asserta(pd(Up,P)),
  retractSuc(cuno(U)), asserta(cuno(Up)),
  nu(U,Nu), lp(U,Lp), pd(U,Pd),
  todofor_restore(Ch, (
    retractSuc(num(Np)), asserta(num(N)),
    retractSuc(tree(Up)),
    retractSuc(nu(Up,Np)),
    retractSuc(cuno(Up)), asserta(cuno(U)),
    retractSuc(pd(Up,P)),
    retractSuc(cl(Up,Clp)),
    retractSuc(fst(Up))
  )).

```

```

%fail because unification at leaf already failed,
%there is no bkt point, go up without bkt request
trans(Ch, treeFailUp(Nu,Lp,Pd)) :- restore_allS(Ch), cuno(U),
  \+bkt, \+fst(U), iz(ct,false), flr(Pd), \+hcp(U), \+(U = []),
  pt(U,Up), retractSuc(cuno(U)), asserta(cuno(Up)),
  nu(U,Nu), lp(U,Lp),
  todofor_restore(Ch, (
    retractSuc(cuno(Up)), asserta(cuno(U))
  )).

```

```

%fail because unification at leaf already failed,
%but do not go up (may be the root but there is a bkt point)
trans(Ch, treeFailRdo(Nu,Lp,Pd)) :- restore_allS(Ch), cuno(U),
  \+bkt, \+fst(U), iz(ct, false), flr(Pd),
  gcp(U,Up), asserta(bkt(Up)),
  nu(U,Nu), lp(U,Lp),
  retractSuc(flr(Pd)),
  todofor_restore(Ch, (
    asserta(flr(Pd)),
    retractSuc(bkt(Up))
  )).

```

)).

```
%fail because unification at some point leaf already failed,
%root has been reached and no more bkt point
trans(Ch, treeFailRoot(Nu,Lp,Pd)) :- restore_allS(Ch), cuno(U),
\+bkt, \+fst(U), iz(ct, false), flr(Pd), \+hcp(U), U = [],
asserta(ct),
nu(U,Nu), lp(U,Lp),
todofor_restore(Ch, (
retractSuc(ct)
)).
```

```
%Backtrack and use a fact with success - two predications have same
%predicate name and arities
%Gprolog model
trans(Ch, backtrack1S(Nup,Lp,Pd,C2,L)) :- restore_allS(Ch),
cuno(U), \+fst(U), bkt(U), \+flr,
cl(U,Clp), Clp=[_,C2|L], prog(C2,Claus), ft(Claus),
retractSuc(cl(U,Clp)), asserta(cl(U,[C2|L])),
pd(U,Pd), nu(U,Nup), lp(U,Lp),
change_ct(Vct, false), retractSuc(bkt(U)),
retractSuc(cuno(U)), asserta(cuno(U)), cleanAPTR(Ch, Nup),
todofor_restore(Ch, (
retractSuc(cl(U,[C2|L])), asserta(cl(U,Clp)),
retractSuc(cuno(U)), asserta(cuno(U)),
change_ct(false, Vct), asserta(bkt(U))
)).
```

```
%Backtrack and use a fact with failure - (cannot fail if both
%predications are the same)
%Gprolog model
trans(Ch, backtrackF(Nup,Lp,Pd,C2,L)) :- restore_allS(Ch),
bkt(U), cuno(U), \+fst(U), \+flr,
cl(U,Clp), Clp=[_,C2|L], prog(C2,Claus),
nu(U,Nup), lp(U,Lp), headPredic(Claus,Pd2),
pd(U,Pd), \+(Pd = Pd2),
retractSuc(cl(U,Clp)), asserta(cl(U,[C2|L])),
change_ct(Vct, false), asserta(flr(Pd2)),
retractSuc(cuno(U)), asserta(cuno(U)),
cleanAPTR(Ch, Nup),
retractSuc(bkt(U)),
todofor_restore(Ch, (
retractSuc(cl(U,[C2|L])), asserta(cl(U,Clp)),
```

```

    retractSuc(cuno(U)), asserta(cuno(U)),
    change_ct(false, Vct), asserta(bkt(U)), retractSuc(flr(Pd2))
 )).

%Backtrack and use a non fact clause with success - two predications
%have same predicate name and arities
%Gprolog model
trans(Ch, backtrack2S(Nur,Lpr,Pd,C2,L)) :- restore_allS(Ch),
  bkt(Ur), cuno(U), \+fst(U), \+flr,
  cl(Ur,Clr), Clr=[_,C2|L], prog(C2,Claus), \+ft(Claus),
  retractSuc(cl(Ur,Clr)), asserta(cl(Ur,[C2|L])),
  nu(Ur,Nur), lp(Ur,Lpr), pd(Ur,Pd), cleanAPTR(Ch, Nur),
  num(N),
  Np is N+1, retractSuc(num(N)), asserta(num(Np)),
  append(Ur,[1],Up), asserta(tree(Up)), asserta(nu(Up,Np)),
  fpr(Claus,Pr), asserta(pd(Up,Pr)),
  defCl(Pr,Clp), asserta(cl(Up,Clp)),
  change_ct(Vct, false), retractSuc(bkt(Ur)), asserta(fst(Up)),
  retractSuc(cuno(U)),asserta(cuno(Up)),
  todofor_restore(Ch, (
    retractSuc(cl(Ur,[C2|L])), asserta(cl(Ur,Clr)),
    retractSuc(num(Np)), asserta(num(N)),
    retractSuc(tree(Up)),
    retractSuc(nu(Up,Np)),
    retractSuc(cuno(Up)), asserta(cuno(U)),
    retractSuc(pd(Up,Pr)),
    retractSuc(cl(Up,Clp)),
    retractSuc(fst(Up)),
    asserta(bkt(Ur)),
    change_ct(false, Vct)
  )).

%final
trans(Ch, final(Nu,Lp)) :- restore_allS(Ch), \+bkt,
  U=[], \+fst(U), iz(ct,true), \+hcp(U),
  nu(U,Nu), lp(U,Lp), state(S),
  clean, s0,
  todofor_restore(Ch, (clean,restoreState(S))). %to be completed

%-----AXIOMES

%change_ct(?v1,+v2): if v2 is the desired result (true or false),
%then v1 is the original value of ct.
change_ct(V1, false) :- iz(ct, true), V1 = true, retractall(ct), !.

```



```

change_ct(V1, false) :- iz(ct, false), V1 = false, !.
change_ct(V1, true) :- iz(ct, true), V1 = true, !.
change_ct(V1, true) :- iz(ct, false), V1 = false, asserta(ct).

%lf(u): u is a leaf in the current tree
lf(U) :- \+has_suc(U).

%has_suc(u): node u has a successor in the current tree
has_suc(U) :- append(U,[_],SU), tree(SU),!.

%ft(u): the chosen clause is a fact
ft(Cl) :- \+is_a_claus(Cl).

is_a_claus((_ :- _)).

%selectcl(u,cla,c,cl,v,ch): if u is a first- or re-visited node
% (a bkt point), and v is the current node and ch the execution
%level.
%then cla is the clause name of the used clause to continue,
%and cl the remaining clauses (list of clause names),
%In case of error, fails.
selectcl(U, Claus, C, Cl,_,_):-
    cl(U,Cla), Cla = [C|Cl], prog(C,Claus), !.
selectcl(U, _,_,_, V,Ch) :- write('Error: choice point '),
    write(U), write(' with insuf. numb. of clauses. Level: '),
    write(Ch), write(' Curr. Nd.: '),
    write(V), nl, displayStatePP, nl, fail.

noclfor(U) :- cl(U,[]).

%lp(u,n): if u is a node of the current tree, then n is the length
%of the path from the root
lp(U,Lp) :- length(U,Lp).

%treeSize(n): n is the size of the current tree
treeSize(N) :- treeNodes(L), length(L,N).

%treeNodes(l): l is the list of nodes of the current tree
treeNodes(L) :- findall(U , tree(U), L).

%true iff there is no tree at all
emptyCurrTree :- treeNodes(L), L=[].

%true iff the tree is just a root
rootCurrTree :- treeNodes(L), L=[[ ]].

```

```

incrTree :- lastTSize(N1), treeSize(N2), N2 > N1.
stableTree :- \+incrTree.

%mkct(u): makes tree complete (if u is root, then eventually ct
%becomes true)
mkct(U) :- U = [], iz(ct,false), asserta(ct), !.
mkct(_).

unmkct(U) :- nonvar(U), U = [], iz(ct,true), retractall(ct), !.
unmkct(_).

%bkt: true iff the current state is marked with a choice point
bkt :- bkt(_).

%flr: true iff the current state is marked as failed
flr :- flr(_).

%parent(u,u'): u is a node in the current tree, then u' is its
%parent.
%           If u is the root, u' is unchanged.
pt([],[]) :- !.
pt(U,Up) :- append(Up,[],U).

%mhnb(u,p): (may_have_a_new_brother) if u is a node on the frontier,
%it corresponds to the last predication of the clause used by the
%parent node, then p is the corresponding predication.
% If u is the root, the answer is no.
mhnb(U) :- nbroth(U,_).

nbroth(U,P) :- \+(U=[]), pt(U,Up), cl(Up,[C|_]), prog(C,C1),
              lastn(U,I), Ip is I+1, pred(C1, Ip, P).

%has a choice point (non empty clause list except U which has at
%least one clause to be removed)
hcp(U) :- gcp(U,_), !.

%greatest choice point
%gcp(u,v): v is the greatest choice point in the subtree rooted by u
% (but it must have at least 2 clauses in cl(v))
gcp(U,V) :- findall( [N,C1], (tree(Nd), descendent(U,Nd), nu(Nd,N),
                          cl(Nd,C1), C1=[_,_|_]), L),
              \+(L=[]), sort(L,M), lastn(M,[Nu,_]), nu(V, Nu).

%descendent(U,V): V is a descendent of U (U is a prefix of V) or U=V

```

```

descendent(U,V) :- append(U, _, V).

%lastn(u,i): if u is a nonempty list, i is its last element
lastn(U,I) :- append(_, [I], U).

pred(Cl, Ip, P) :- Cl =.. [':-', _, B], lengthbod(B, K),
                  testK(Cl, Ip, K), ith(B, Ip, P).

testK(_, Ip, K) :- Ip > 0, Ip =< K.

%ith(b,i,a): if b is a body, a is the ith element of b.
ith(S, I, A) :- S=(A, _), !.
ith(A, I, A) :- A=.. [F|_], Virg=';', \+([F]=Virg), !.
ith(S, I, B) :- S=(_, L), I>1, I1 is I-1, ith(L, I1, B).

%lengthbody(l,n): if l is a body then n is its length
lengthbod(B, I) :- B=.. [F|_], Virg=';', \+([F]=Virg), !.
lengthbod(B, I1) :- B=(_, L), lengthbod(L, I), I1 is I+1.

%headPredic(cl,h): if cl is a claus, h is the head of cl
headPredic(Cl, H) :- \+var(Cl), Cl =.. [':-', H|_], !.
headPredic(Cl, Cl) :- \+var(Cl), ft(Cl), !.
headPredic(Cl, Cl) :-
    write('First argument of HeadPredic not a claus: '), write(Cl), nl.

%fpr(c,p): if c is a non fact claus, p is the first predication of
%the body of c (first predication)
fpr(Cl, Pr) :- Cl =.. [':-', _, B], ((B = (Pr, _), !); B=Pr).

%defCl(p,c): if p is a predication, then c is the list of clause
%names in the current program defining the predicate of p (same
%predicate name and arity), always succeeds
defCl(Pr, Cl) :- functor(Pr, P, A),
                findall(C, (prog(C, Cla),
                            ((Cla = (H :- _), functor(H, P, A));
                             (ft(Cla), functor(Cla, P, A)))),
                            Cl).

%brother(u,u'): if u' is a node different from root, u' is the next
%brother
mkbroNode(U, Up) :- append(L, [I], U), Ip is I+1, append(L, [Ip], Up).

%=====STATE INITIALIZATION=====

%initialisation: sinit(+s): if s is a state, then eliminates all

```

```

%evolving fluents from the Prolog database and initialises it with
%the given initial state s
sinit(S):- clean, sinitialize(S).

sinitialize([]).
sinitialize([A|S]) :- asserta(A), sinitialize(S).

%=====STATE UPDATES=====

%tdfr: to do for restore
todofor_restore(Ch,A) :- asserta(tdfr(Ch,A)).

restore_state(Ch) :- tdfr(Ch,A), call(A), retract(tdfr(Ch,A)), fail.
restore_state(_).

restore_allS(Ch) :- restore_state(Ch).

%retractSuc(a) allways succeeds (as opposit to standard Prolog
%retract/1) with the same semantics as standard Prolog retract/1
%in case of success of retract/1.
retractSuc(A) :- retractall(A), !.
retractSuc(_).

%cleanAPTR(n,l): if n is a tree node creation number, then all more
% recent nodes (with greater creation number) are removed from the
%current state (tree, nu, pd, cl) and l is the to do list to restore
% the previous state.
%for use in backtrack only (fst not touched)
cleanAPTR(Ch, Nu) :- nu(U, Nup), Nup > Nu,
    retractSuc(tree(U)), retractSuc(nu(U,Nup)), pd(U,Apd),
    retractSuc(pd(U,Apd)), cl(U,Acl), retractSuc(cl(U,Acl)),
    todofor_restore(Ch, (asserta(tree(U)),asserta(nu(U,Nup)),
    asserta(pd(U,Apd)),asserta(cl(U,Acl)))), fail.
cleanAPTR(_, _).

%=====STATE DISPLAY=====

%Current state display predicates. Gives a list of "fluents"
%describing the current state.
%state(l): l is the list of evolving fluents in the current state.
%State { T , u , n, nu, pd , cl , fst, ct , flr}
stateTree([tree(T)]) :-findall(N, (tree(N)), Tp), reverse(Tp,T).
stateUN([U,N]) :-cuno(U), num(N).
stateNu([nu(Nu)]) :-findall((U,N), (nu(U,N)), Nup), reverse(Nup,Nu).
statePD([pd(Pd)]) :-findall((U,P), (pd(U,P)), Pdp), reverse(Pdp,Pd).

```

```

stateCL([cl(Cl)]) :- findall((U,C), (cl(U,C)), Clp), reverse(Clp,Cl).
stateFST([fst(CFst)]) :-
    findall((U,B), (tree(U), test(fst(U),B)), CFstp),
    reverse(CFstp,CFst).
stateCF([ct(Ct), Flr, Bkt]) :- test(ct,Ct), displayFlr(Flr),
    displayBkt(Bkt).

state(S) :- stateTree(L1), stateUN(L2), stateNu(L3), statePD(L4),
    stateCL(L5), stateFST(L6), stateCF(L7), append(L1,L2,S1),
    append(S1,L3,S2), append(S2,L4,S3), append(S3,L5,S4),
    append(S4,L6,S5), append(S5,L7,S).

test(X,true) :- call(X),!.
test(_,false).

iz(X,true) :- test(X,B), B=true.
iz(X,false) :- test(X,B), B=false.

displayBkt(bkt(false)) :- iz(bkt(_), false), !.
displayBkt(bkt(N)) :- iz(bkt(N), true).

displayFlr(flr(false)) :- iz(flr(_), false), !.
displayFlr(flr(N)) :- iz(flr(N), true).

%Utility predicates: display the current state. The state is
%"integrally dispaied or only modified fluents are displaied.
displayStatePP:- state(S),!, displayStatePP(S).

%displayStatePP(s): pretty print of state s (list of parameters)
displayStatePP(S) :- displayparams(tree,S), nl,
    displayparams(cuno,S),
    displayparams(num,S), nl,
    displayparams(nu,S), nl,
    displayparams(pd,S), nl,
    displayparams(cl,S), nl,
    displayparams(fst,S), nl,
    displayparams(ct,S),
    displayparams(flr,S),
    displayparams(bkt,S),
    flush_output, nl.

displayparams(tree,S) :- ith_in_list(1,S,tree(T),10),
    write('. Tree      : '), writelist(T).
displayparams(cuno,S) :- ith_in_list(2,S,T,10),
    write('. Curr node: '), write(T).

```

```

displayparams(num,S) :- ith_in_list(3,S,T,10),
                        write(' Curr num : '), write(T).
displayparams(nu,S)  :- ith_in_list(4,S,nu(T),10),
                        write(' Node num : '), writelistb(T).
displayparams(pd,S) :- ith_in_list(5,S,pd(T),10),
                        write(' Preds   : '), writelistb(T).
displayparams(cl,S) :- ith_in_list(6,S,cl(T),10),
                        write(' Clauses : '), writelistb(T).
displayparams(fst,S) :- ith_in_list(7,S,fst(T),10),
                        write(' Firsts  : '), writelistb(T).
displayparams(ct,S) :- ith_in_list(8,S,ct(T),10),
                        write(' Comp tree: '), write(T).
displayparams(flr,S) :- ith_in_list(9,S,flr(T),10),
                        write(' Fld tree : '),
                        (T=flr(flr(false)) -> write('false')); write(T)).
displayparams(bkt,S) :- ith_in_list(10,S,bkt(T),10),
                        write(' Go to bkp: '), write(T).

%ith_in_list(i,l,e) :- e is th ith element of the list l
ith_in_list(1, [E|_], E, _) :- !.
ith_in_list(N, [_|L], Er, M) :- N > 1, N < M+1, Np is N-1,
                                ith_in_list(Np, L, Er, M).

writelistb([])      :- !.
writelistb([E|L]) :- write(' '),write(E),write(' '), write(' '),
                    writelistb(L).

writelst([])       :- !.
writelst([E|L])   :- write(E), write(' '), writelist(L).

displayTrace([])   :- nl, !.
displayTrace([E|Vt]) :- write(E), nl, displayTrace(Vt).

displayTrace([],[]) :- nl, !.
displayTrace([A|At], [V|Vt]) :- write(A), nl, V=[_|S],
                                displayStatePP(S), nl, displayTrace(At,Vt).

```

### Example de trace

```

    État initial :
    {{ε}, ε, 1, {(ε, 1)}, {(ε, goal)}, {(ε, [g]}, {(ε, true)}, false, false,
    false, [(g, (goal : -fib(vN))), (c1, fib(0)), (c2, (fib(vX) : -fib(vY)), fib(vZ))]}

| ?- nftry0(30).

. Tree      : []

```

```

. Curr node: []
. Curr num : 1
. Node num : ([],1)
. Preds    : ([],goal)
. Clauses  : ([],[g])
. Firsts   : ([],true)
. Comp tree: true
. Fld tree : false
. Go to bkp: false

```

```

prog(c1, fib(0)).
prog(c2, (fib(vX) :- fib(vY), fib(vZ))).
prog(g, (goal :- fib(vN))).

```

Complete trace of size: 30

```

[1,1,0,Init]
[2,1,0,Call,goal,g,[]]
[3,2,1,Call,fib(vN),c1,[c2]]
[4,2,1,Exit,fib(vN)]
[5,1,0,Exit,goal]
[6,2,1,Redo,fib(vN),c2,[]]
[7,3,2,Call,fib(vY),c1,[c2]]
[8,3,2,Exit,fib(vY)]
[9,4,2,Call,fib(vZ),c1,[c2]]
[10,4,2,Exit,fib(vZ)]
[11,2,1,Exit,fib(vN)]
[12,1,0,Exit,goal]
[13,4,2,Redo,fib(vZ),c2,[]]
[14,5,3,Call,fib(vY),c1,[c2]]
[15,5,3,Exit,fib(vY)]
[16,6,3,Call,fib(vZ),c1,[c2]]
[17,6,3,Exit,fib(vZ)]
[18,4,2,Exit,fib(vZ)]
[19,2,1,Exit,fib(vN)]
[20,1,0,Exit,goal]
[21,6,3,Redo,fib(vZ),c2,[]]
[22,7,4,Call,fib(vY),c1,[c2]]
[23,7,4,Exit,fib(vY)]
[24,8,4,Call,fib(vZ),c1,[c2]]
[25,8,4,Exit,fib(vZ)]
[26,6,3,Exit,fib(vZ)]
[27,4,2,Exit,fib(vZ)]
[28,2,1,Exit,fib(vN)]
[29,1,0,Exit,goal]
[30,8,4,Redo,fib(vZ),c2,[]]

```

```

. Tree      : [] [1] [1,1] [1,2] [1,2,1] [1,2,2]
              [1,2,2,1] [1,2,2,2]
. Curr node: [1,2,2,2]
. Curr num : 8
. Node num : ([],1) ([1],2) ([1,1],3) ([1,2],4)
              ([1,2,1],5) ([1,2,2],6) ([1,2,2,1],7)
              ([1,2,2,2],8)
. Preds    : ([],goal) ([1],fib(vN)) ([1,1],fib(vY))
              ([1,2],fib(vZ)) ([1,2,1],fib(vY))
              ([1,2,2],fib(vZ)) ([1,2,2,1],fib(vY))
              ([1,2,2,2],fib(vZ))
. Clauses  : ([],[g]) ([1],[c2]) ([1,1],[c1,c2])
              ([1,2],[c2]) ([1,2,1],[c1,c2]) ([1,2,2],[c2])
              ([1,2,2,1],[c1,c2]) ([1,2,2,2],[c2])
. Firsts   : ([],false) ([1],false) ([1,1],false)
              ([1,2],false) ([1,2,1],false) ([1,2,2],false)
              ([1,2,2,1],false) ([1,2,2,2],false)
. Comp tree: false.
. Fld tree : fib(vX).
. Go to bkp: false

```



### B.3 Robots Delivery

This is the complete code which is explained and partly displayed in the Section A.3. The robot's world is limited to 3 rooms. The OS is adapted to handle several agents.

```
:- dynamic([inroom/2,closed/1,haskey/2,object/1,agent/1,room/1,
           door/1,connect/3,atdoor/2,tdfr/2]).
:- set_prolog_flag(unknown,fail).

%Current state display predicates. Gives a list of fluents describing
%the current state.
%state(l): l is the list of evolving fluents in the current state.

stateAinR(L) :-findall(inroom(A,R),
                      (agent(A),call((inroom(A,R,!))), L).
stateOinR(L) :-findall(inroom(O,R),
                      (object(O),call((inroom(O,R,!))), L).
statecloseD(L) :-findall(closed(D),
                        (door(D), call((closed(D,!))), L).
stateatdoorA(L) :-findall(atdoor(A,D),
                        (agent(A),call((atdoor(A,D,!))), L).
stateAcarryO(L) :-findall(carry(A,O),
                        (agent(A),object(O),call((carry(A,O,!))), L).
state(S) :- stateAinR(L1), stateAcarryO(L2), stateatdoorA(L3),
            statecloseD(L4), stateOinR(L5), append(L1,L2,S1),
            append(S1,L3,S2), append(S2,L4,S3), append(S3,L5,S).

%Utilitary predicate: display the current state. The state is
%"integrally dispaied or only modified fluents are displaied.
displayState :- state(S), write(S), nl.
displayStateDiffs(S) :- state(Sp),
                       findall(F, (member(F,Sp),\+member(F,S)), DS), write(DS), nl.

displayVTrace([]) :- nl, !.
displayVTrace([E|Vt]) :- write(E), nl, displayVTrace(Vt).

%initialisation with "standard initial state s0".
%s0: eliminates all de evolving fluents from the Prolog database
%and initialises it with the possible initial state as above, or a
%given state.
s0 :- clean,
     asserta(object(o1)),
     asserta(agent(a1)),
     asserta(room(r1)), asserta(room(r2)), asserta(room(r3)),
     asserta(door(d13)), asserta(door(d23)), asserta(door(d12)),
```

```

asserta(connect(r1,d13,r3)),
asserta(connect(r1,d12,r2)),
asserta(connect(r2,d23,r3)),
asserta(connect(r2,d12,r1)),
asserta(connect(r3,d23,r2)),
asserta(connect(r3,d13,r1)),
asserta(inroom(a1,r1)),
asserta(inroom(o1,r1)),
asserta(closed(d12)),
asserta(haskey(a1,[d12])).

```

```

clean :- retractall(object(_)), retractall(agent(_)),
         retractall(room(_)), retractall(door(_)),
         retractall(connect(_,_,_)), retractall(inroom(_,_)),
         retractall(closed(_)), retractall(haskey(_,_)),
         retractall(atdoor(_,_)), retractall(carry(_,_)),
         retractall(tdfr(_,_)).

```

```

%initialisation: sinit(+s): if s is a state, then eliminates all
%evolving fluents from the Prolog database and initialises it with
%the given initial state s (only evolving fluents are given)

```

```

sinit(S):- clean,
           asserta(object(o1)),
           asserta(agent(a1)),
           asserta(room(r1)), asserta(room(r2)), asserta(room(r3)),
           asserta(door(d13)), asserta(door(d23)), asserta(door(d12)),
           asserta(connect(r1,d13,r3)),
           asserta(connect(r1,d12,r2)),
           asserta(connect(r2,d23,r3)),
           asserta(connect(r2,d12,r1)),
           asserta(connect(r3,d23,r2)),
           asserta(connect(r3,d13,r1)),
           asserta(haskey(a1,[d12])),
           sinitialize(S).

```

```

sinitialize([]).
sinitialize([A|S]) :- asserta(A), sinitialize(S).

```

```

%try(+n,+s,?tr): if n is a positive integer and s a given initial
%state, then tr is a trace sample of length n (all samples which
%are consistent with the OS are produced).

```

```

try(N,S,Tr) :- length(Tr,N), sinit(S), so(1,Tr).

```

```

%try0(+n,?tr): same as try(+n,+s,?tr), but starting from the standard
%initial state s0.

```

```

try0(N,Tr) :- length(Tr,N), s0, so(1,Tr).

%in short
try(N) :- try0(N,Tr), write(Tr), nl, displayState.
try(N,S) :- try(N,S,Tr), write(Tr), nl, displayState.

%with both traces (actual and virtual)
%try(+n,+s,?at,?vt) seul usage garanti.
%try(?n,+s,-at,+vt) (non tested use)
try(N, S, ATr, [S0|VTr]) :- length(ATr,N), sinit(S),
                           state(S0), so(1, ATr, VTr).
%try(+n,?at,?vt) seul usage garanti.
try0(N, ATr,[S0|VTr]) :- length(ATr,N), s0, state(S0),
                       so(1, ATr, VTr).

%voir so/2 plus bas.
so(_, [], []) :- !.
so(Ch, [[Ch|AtE]|ATr], [[Ch|VS]|VTr]) :- tr_extract(Ch,AtE),
                                         state(VS), Chp is Ch+1, so(Chp, ATr, VTr).

%so(+n,+tr): if n is a positive integer and tr alist of length m
%(m >= 0), then tr is a trace sample of length m (all samples which
%are consistent with the OS are produced).
%Rem: n+m is constant.
%Rem: a current state is supposed given. Therefore this predicates
%does not work alone.
so(_, []) :- !.
so(Ch, [[Ch|E]|Tr]) :- tr_extract(Ch,E), Chp is Ch+1, so(Chp, Tr).

%OS transition et extraction
%Rem: here the extraction function E is almost trivial.
%tr_extract(+n, ?te): if n is a positive integer (the chrono of a
%trace event), then te is the trace event corresponding to a
%transition.
tr_extract(Ch, [pickup,A,0,R]) :- trans(Ch, pickup(A,0,R)).
tr_extract(Ch, [drop,A,0,R]) :- trans(Ch, drop(A,0,R)).
tr_extract(Ch, [walk,A,D]) :- trans(Ch, gotodoor(A,D,_)).
tr_extract(Ch, [walk,A,R]) :- trans(Ch, enterroom(A,_,R)).
tr_extract(Ch, [open,A,D]) :- trans(Ch, open(A,D)).
tr_extract(Ch, _) :- restore_allS(Ch), fail.

%trans(n,tr): if n is a positive integer (the chrono of a trace
%event), then (on success) a transition carasterized by the term tr
%(wich contains all information to generate the corresponding trace
%event) is realized.

```

```

%OS transitions (with state evolution planed for backtrack).
%Rem: only the "gotodoor" case is nondeterministic (as many cases
%as there are doors in a room).
trans(Ch, pickup(A,O,R)) :- restore_allS(Ch),
    agent(A), object(O),
    inroom(A,R), inroom(O,R), \+is_at_any_door(A), \+carry(A,O),
    asserta(carry(A,O)), todofor_restore(Ch, retractSuc(carry(A,O))).

trans(Ch, drop(A,O,R)) :- restore_allS(Ch),
    agent(A), object(O),
    inroom(A,R), inroom(O,R), \+is_at_any_door(A), carry(A,O),
    retract(carry(A,O)), todofor_restore(Ch, asserta(carry(A,O))).

trans(Ch, gotodoor(A,D,R)) :- restore_allS(Ch),
    agent(A),
    inroom(A,R), \+is_at_any_door(A),
    chose_door(Ch, R, A, D).

trans(Ch, enterroom(A,D,Rp)) :- restore_allS(Ch),
    agent(A),
    inroom(A,R), atdoor(A,D), connect(R,D,Rp), is_open(D),
    retract(inroom(A,R)), retract(atdoor(A,D)), asserta(inroom(A,Rp)),
    todofor_restore(Ch, ((retractSuc(inroom(A,Rp)),
        asserta(inroom(A,R)), asserta(atdoor(A,D))))),
    (carry(A,O) -> (retract(inroom(O,R)), asserta(inroom(O,Rp)),
        todofor_restore(Ch, (retractSuc(inroom(O,Rp)),
            asserta(inroom(O,R))))))
    ; true).

trans(Ch, open(A,D)) :- restore_allS(Ch),
    agent(A),
    atdoor(A,D), closed(D), can_open(A,D),
    retract(closed(D)), todofor_restore(Ch, asserta(closed(D))).

%Case removed from the original example (no interest in tracing
%opening an open door).
%trans(Ch, open(A,D), true) :- restore_allS(Ch),
%    agent(A),
%    atdoor(A,D), is_open(D).

%chose_door(c, r, a, d): if c is the chrono, r a room and a an agent,
%then d is a possible door where to go.
%Rem: the predicate is resatisfiable as many times there are doors
%in a room; the fluents are updated accordingly to the choosen door.
chose_door(Ch, R, A, D) :- connect(R,D,_), restore_allS(Ch),

```

```

        asserta(atdoor(A,D)),
        todofor_restore(Ch, retractSuc(atdoor(A,D))).

%-----STATE UPDATES
%tdfr: to do for restore
todofor_restore(Ch,A) :- asserta(tdfr(Ch,A)).

restore_state(Ch) :- tdfr(Ch,A), call(A), retract(tdfr(Ch,A)), fail.
restore_state(_).

restore_allS(Ch) :- restore_state(Ch).

%retractSuc(a) allways succeeds (as opposit to standard Prolog retract/1)
%with the same semantics as standard Prolog retract/1 in case of success
%of retract/1.
retractSuc(A) :- retract(A), !.
retractSuc(_).

%-----AXIOMES

is_open(D) :- \+closed(D).

is_at_any_door(A) :- agent(A), door(D), atdoor(A,D).

can_open(A,D) :- haskey(A,L), member(D,L), !.

carried(O) :- agent(A), carry(A,O), !.

```

## B.4 Signature Graphs for Robots

La méthode de construction consiste à associer, à chaque règle de transition  $r$  définissant la SO, une règle de transition abstraite qui spécifie le sous-graphe  $G_r$  engendré par cette règle. Ce sous-graphe contient tous les arcs reliant deux nœuds dont les propriétés caractéristiques sont compatibles avec les pré et post conditions associées à l'application de cette règle. Le graphe abstrait fini global est le point fixe de cet opérateur abstrait appliqué au graphe initial, lequel est réduit au sous-ensembles de nœuds caractérisés par les propriétés caractéristiques compatibles avec les états initiaux. Ce point fixe est ici simplement l'union de tous les graphes abstraits obtenus avec toutes les règles.

La question est le calcul automatique des graphes abstraits  $G_r$ .

In this example the set of states is finite. It is thus possible to compute the abstract graphs for each OS rule, by automatically testing the compatibility of state characteristic property with the pre and post condition associated with the rules. This corresponds obviously to an overapproximation of the abstract graph.

```
:- dynamic([inroom/2,closed/1,haskey/2,object/1,agent/1,room/1,
           door/1,connect/3,atdoor/2]).

:- set_prolog_flag(unknown,fail).

%Initial state
s0([inroom(a1,r1),inroom(o1,r1)]) :-
fixcontext,
asserta(inroom(a1,r1)),
asserta(inroom(o1,r1)),
asserta(closed(d12)),
asserta(haskey(a1,[d12])).

fixcontext :- clean,
asserta(object(o1)),
asserta(agent(a1)),
asserta(room(r1)), asserta(room(r2)), asserta(room(r3)),
asserta(door(d13)), asserta(door(d23)), asserta(door(d12)),
asserta(connect(r1,d13,r3)),
asserta(connect(r1,d12,r2)),
asserta(connect(r2,d23,r3)),
asserta(connect(r2,d12,r1)),
asserta(connect(r3,d23,r2)),
asserta(connect(r3,d13,r1)).

%Memory clean
clean :- retractall(object(_)), retractall(agent(_)),
         retractall(room(_)),retractall(door(_)),
         retractall(connect(_,_,_)),
         retractall(inroom(_,_)),retractall(closed(_)),
```

```

retractall(haskey(_,_)),
retractall(atdoor(_,_),retractall(carry(_,_)),
retractall(tdfr(_,_)).

%Construction of the finite abstract graph (Nodes,Arcs)
ta((Nd,G)) :- findall( K, transalph(init,K), Nd0),
              findall( (I,At,J), (action(At),transalph(I,At,J)), LA),
              include1(LA, [],G), extract(G,Nd1), union(Nd0,Nd1,Nd).

action(pickup).
action(drop).
action(gotodoor).
action(enterroom).
action(open).

transalph(init,I) :- s0(S), exists(A,_,R,_,_), gs(I,A,R,S).

transalph(I,At,J) :- exists(A,O,R,D,Rp),
                    prestate(At,A,O,R,D,I,S1),
                    action(At,A,O,R,D,Rp,S1,S2),
                    postate(At,A,O,R,D,Rp,J,S2).

exists(A,O,R,D,Rp) :- agent(A), object(O), room(R), connect(R,D,Rp).

prestate(pickup,A,O,R,D,I,S) :-
  insert([inroom(A,R), inroom(O,R)], [],S), \+is_at_any_door(R,A,S),
  \+carry(A,O,S), gs(I,A,O,R,D,S).
prestate(drop,A,O,R,D,I,S) :-
  insert([inroom(A,R), inroom(O,R)], [],S1), \+is_at_any_door(R,A,S1),
  insert([carry(A,O)], S1,S), gs(I,A,O,R,D,S).
prestate(gotodoor,A,O,R,D,I,S) :-
  (insert([inroom(A,R)], [],S) ; insert([inroom(A,R),carry(A,O)], [],S)),
  \+is_at_any_door(R,A,S), gs(I,A,O,R,D,S).
prestate(enterroom,A,O,R,D,I,S) :-
  (insert([inroom(A,R), atdoor(A,D)], [],S) ;
  insert([inroom(A,R), atdoor(A,D), carry(A,O)], [],S)),
  is_open(D,S), gs(I,A,O,R,D,S).
prestate(open,A,O,R,D,I,S) :-
  (insert([inroom(A,R),atdoor(A,D),closed(D)], [],S) ;
  insert([inroom(A,R),atdoor(A,D),closed(D),carry(A,O)], [],S)),
  can_open(A,D), gs(I,A,O,R,D,S).

action(pickup, A,O,_,_,_,S1,S2) :- insert([carry(A,O)],S1,S2).
action(drop, A,O,_,_,_,S1,S2) :- remove([carry(A,O)],S1,S2).
action(enterroom,A,_,R,D,Rp,S1,S2) :-

```

```

                                remove([inroom(A,R),atdoor(A,D)],S1,S3),
                                insert([inroom(A,Rp)],S3,S2).
action(gotodoor,A,_,_,D,_,S1,S2) :- insert([atdoor(A,D)],S1,S2).
action(open,      _,_,_,D,_,S1,S2) :- remove([closed(D)],S1,S2).

postate(pickup,A,O,R,_,_,J,S):-
    inroom(A,R,S), inroom(O,R,S), \+is_at_any_door(R,A,S), gs(J,A,R,S).
postate(drop,A,O,R,_,_,J,S):-
    inroom(A,R,S), inroom(O,R,S), \+is_at_any_door(R,A,S),
    remove([carry(A,O)],S,_), gs(J,A,R,S).
postate(open,A,_,R,D,_,J,S) :- is_open(D,S), gs(J,A,R,S).
postate(enterroom,A,_,_,D,Rp,J,S):- \+atdoor(A,D,S), gs(J,A,Rp,S).
postate(gotodoor,A,_,R,D,_,J,S):-
    inroom(A,R,S), atdoor(A,D,S), gs(J,A,R,S).

postate(pickup,A,O,R,D,_,J,S):-
    inroom(A,R,S), inroom(O,R,S), \+is_at_any_door(R,A,S), gs(J,A,O,R,D,S).
postate(drop,A,O,R,D,_,J,S):-
    inroom(A,R,S), inroom(O,R,S), \+is_at_any_door(R,A,S),
    remove([carry(A,O)],S,_), gs(J,A,O,R,D,S).
postate(open,A,O,R,D,_,J,S) :-
    is_open(D,S), gs(J,A,O,R,D,S).
postate(enterroom,A,O,_,D,Rp,J,S):-
    inroom(A,Rp,S), \+is_at_any_door(Rp,A,S), gs(J,A,O,Rp,D,S).
postate(gotodoor,A,O,R,D,_,J,S):-
    inroom(A,R,S), atdoor(A,D,S), gs(J,A,O,R,D,S).

inroom(A,R,S)    :- agent(A), member(inroom(A,R),S).
inroom(O,R,S)    :- object(O), member(inroom(O,R),S),!.
inroom(O,R,S)    :- object(O), agent(A), member(inroom(A,R),S), carry(A,O,S).

atdoor(A,R,S)    :- member(atdoor(A,R),S).

carry(A,O,S) :- member(carry(A,O),S).

is_open(D,S)     :- \+member(closed(D),S).

closed(D,S)      :- member(closed(D),S).

can_open(A,D) :- haskey(A,L), member(D,L), !.

is_at_any_door(R,A,S) :- connect(R,D,_), member(atdoor(A,D),S).

%=====
%make_arcs(lb,g): if lb is a list of bags (of arcs),

```



```

%           then g is the set containing all elements in the bags.
make_arcs(LB,G) :- include(LB, [],G).

%utilitaries

%include(lb,e1,e2): if lb is a list of bags and e1 a set,
%                   then e2 is the set containing all the elements
%                   of the bags of lb and of the set e1.
include([], E, E).
include([B|LB], E1, E) :- include1(B, E1, E2), include(LB, E2,E).

%include1(b,e1,e2): if b is a bag and e1 a set,
%then e2 is the set containing
% all the elements of the bags b and of set e1.
include1([], E, E).
include1([B|L], E1, E2) :- member(B, E1), include1(L, E1, E2).
include1([B|L], E1, E2) :- \+member(B, E1), include1(L, [B|E1], E2).

%extract(ar,nd): if ar is a set of arcs, then nd is the set of the
%                extremities of the arcs of ar.
extract(Arcs,Nd):- setinout(Arcs,Ndi,Ndo), include1(Ndi, [],Nd1),
                  include1(Ndo, [],Nd2), include1(Nd1, Nd2, Nd).

setinout([], [], []).
setinout([(I,_,J)|A], [I|Ndi], [J|Ndo]) :- setinout(A, Ndi, Ndo).

%union(e,v,u): if e and v are sets, then u is the union of e and v
union(E,V,U) :- include1(E,V,U).

%insert(l1, l2, l3): if l1 and l2 are sets (represented by lists),
%                   then l3 is the union of l1 and l2
insert(L1,L2,L3) :- union(L1,L2,L3).

%remove(l1,l2,l3): if l1 and l2 are lists, then l3 is l2 from which
%                 all elements occuring in l1 have been removed.
remove([],L,L).
remove([E|L1],L2,L3) :- \+member(E,L2), remove(L1,L2,L3).
remove([E|L1],L2,L3) :- member(E,L2), deletel(E,L2,L4), remove(L1,L4,L3).

%deletel(e,l1,l2): if l1 est une liste, then l2 is l1 from which
% all elements e have been removed.
deletel(_, [], []).
deletel(E, [E|L1],L2) :- deletel(E,L1,L2).
deletel(E, [A|L1], [A|L2]) :- \+(E=A), deletel(E,L1,L2).

```

Here are the several state partitions described in annexe A.3.

```

/*
%=====Cas r1 r2

%Graph states definition
gs(1,A,_,R,_,S) :- inroom(A,R,S), R=r1.   %some agent in room r1
gs(2,A,_,R,_,S) :- inroom(A,R,S), R=r2.   %some agent in room r2
gs(3,A,_,R,_,S) :- inroom(A,R,S), \+((R=r1 ; R=r2)). %other state

%| ?- ta(G).
%
%G = [3,2,1],[(1,open,1),(2,open,2),(1,gotodoor,1),(2,gotodoor,2),
%(3,gotodoor,3),(1,enteroom,3),(1,enteroom,2),(2,enteroom,3),
%(2,enteroom,1),(3,enteroom,2),(3,enteroom,1),(1,drop,1),(2,drop,2),
%(3,drop,3),(1,pickup,1),(2,pickup,2),(3,pickup,3)] ? ;
*/
/*
%=====Case 6 states
%Graph states definition gs(I,A,0,R,D,S).
gs(1,A,0,R,_,S) :- carry(A,0,S), inroom(A,R,S),
\+is_at_any_door(R,A,S).
gs(2,A,0,R,D,S) :- carry(A,0,S), inroom(A,R,S), atdoor(A,D,S),
closed(D,S).
gs(3,A,0,R,D,S) :- carry(A,0,S), inroom(A,R,S), atdoor(A,D,S),
is_open(D,S).
gs(4,A,0,R,_,S) :- \+carry(A,0,S), inroom(A,R,S),
\+is_at_any_door(R,A,S).
gs(5,A,0,R,D,S) :- \+carry(A,0,S), inroom(A,R,S), atdoor(A,D,S),
closed(D,S).
gs(6,A,0,R,D,S) :- \+carry(A,0,S), inroom(A,R,S), atdoor(A,D,S),
is_open(D,S).
%G = [4,1,5,2,6,3],[(2,open,3),(5,open,6),(1,gotodoor,2),(1,gotodoor,3),
%(4,gotodoor,5),(4,gotodoor,6),(3,enteroom,1),(6,enteroom,4),(1,drop,4),
%(4,pickup,1)] ? ;
*/
%/*
%=====Case 3 states
%Graph states definition gs(I,A,0,R,D,S).
gs(1,A,_,R,_,S) :- inroom(A,R,S), \+is_at_any_door(R,A,S).
gs(2,A,_,_,D,S) :- atdoor(A,D,S), closed(D,S).
gs(3,A,_,_,D,S) :- atdoor(A,D,S), is_open(D,S).

%G = [2,1,3],[(2,open,3),(3,enteroom,1),(1,gotodoor,2),(1,gotodoor,3),
%(1,drop,1),(1,pickup,1)] ? ;
%*/
/*

```

```
%=====Case 2 states
%Graph states definition
gs(1,A,0,_,_,S) :- carry(A,0,S). %agent carry an object
gs(2,A,0,_,_,S) :- \+carry(A,0,S). %no object carried

%G = [2,1],
% [(1,open,1),(2,open,2),(1,enterroom,1),(2,enterroom,2),
% (1,gotodoor,1),(2,gotodoor,2),(1,drop,2),(2,pickup,1)]
*/
```

## B.5 Composition of Traces (Prolog/Demography)

Modifications of the programs of Prolog OS A.2 and of Fibonacci function OS A.1 resulting from composition. We indicate modified parts only.

Remark : The Prolog OS which is used here corresponds to a simpler version of the one of the Annexe B.2, but the involved parts are the same (its works differently only in case of failure).

### OS resulting from composition

One combination parameter `tt ap/2` is added in order to synchronize both traces in the new OS. It is used with both effects : if present as “fluent” in the virtual state, it means that a fibonacci trace event will be generated (otherwise only prolog trace events are), and the two arguments allow to communicate to the “higher level” some values of the “lower” (creation node number and depth in the proof-tree in the current virtual state).

Modifications are as follow

- Declarations are union of declarations, including new predicates (virtual state is the union plus one parameter).
  - The composed initial state includes initial conditions of both initial states.
  - Extraction is the union of rules in both OS.
  - The `ap/2` predicate is used to synchronize both OS (mutual exclusion)
  - Modification of the `exit` transition : if a ‘`fib`’ success occurs, a `fib` event will be produced. OS of Prolog is blocked and two first attributes of the trace event memorized.
  - Modification of the `redo` : on `redo` (backtracking at the lower level), the state of the Fibonacci function must be updated also. For this purpose, the representation of the state has been adapted to record the node of the proof-tree associated with a Fibonacci trace event. On backtrack, all computations made after the new current node are suppressed (see `CleanFIB`).
  - Display is modified accordingly (union and adding one parameter)
- Only modified parts are displayed here.

```

%=====
%Observational Semantics
%=====

:- dynamic([tree/1,cuno/1,num/1,nu/2,pd/2,cl/2,fst/1,ct/0,flr/1,
           bkt/1,prog/2,popseq/1,ap/3,tdfr/2]).
:- set_prolog_flag(unknown, fail).

%initial state

s0 :- clean,
    asserta(tree([])),

```

```

asserta(cuno([])),
asserta(num(1)),
asserta(nu([],1)),
asserta(pd([],goal)),
asserta(cl([],[g])),
asserta(fst([])),
asserta(ct),
asserta(popseq([])),
asserta(prog(g,(goal :- apl))),
asserta(prog(c2,(fib :- apl0,fib,apl0))),
asserta(prog(c1,fib)),
asserta(prog(c3,(apl :- fib))),
asserta(prog(c4,apl0)).

clean :- retractall(tree(_)), retractall(cuno(_)), retractall(num(_)),
retractall(nu(_,_)), retractall(pd(_,_)), retractall(cl(_,_)),
retractall(fst(_)), retractall(ct), retractall(fl_r(_)),
retractall(bkt(_)), retractall(prog(_,_)),
retractall(popseq(_)), retractall(ap(_,_,_)),
retractall(tdfr(_,_)).

tr_extract(Ch, [Nu,Lp,'Init']) :- trans(Ch, init(Nu,Lp)).
%all clauses of Prolog OS
tr_extract(Ch, [Nu,Lp,'Mg',V]) :- trans(Ch, mg(Nu,Lp,V)).
tr_extract(Ch, [Nu,Lp,'Intfb',[1,1]]) :- trans(Ch, initfib(Nu,Lp)).
tr_extract(Ch, _) :- restore_allS(Ch), fail.

%init
trans(Ch, init(Nu,Lp)) :- restore_allS(Ch), \+bkt, \+ap, %here
rootCurrTree, U=[], fst(U), iz(ct,true),
retractall(ct), retractall(fl_r(_)),
nu(U,Nu), lp(U,Lp),
todofor_restore(Ch, asserta(ct)).

%all rules of Prolog modified the same way, and:

%exit1 and go up; case not at root
trans(Ch, treeSucUp(Nu,Lp,Pd)) :- restore_allS(Ch), cuno(U), \+ap,
\+bkt, \+fst(U), iz(ct,false), \+fl_r, \+mhn_b(U), \+(U=[]),
pt(U,Up), retractSuc(cuno(U)), asserta(cuno(Up)),
nu(U,Nu), lp(U,Lp), pd(U,Pd),
functor(Pd, Pd1, _), (Pd1==fib -> asserta(ap(Nu,Lp,U)) ; true), %here
todofor_restore(Ch, (
retractSuc(cuno(Up)), asserta(cuno(U)),
(ap(V1,V2,V3) -> retractSuc(ap(V1,V2,V3)) ; true)

```

```

   )).

% the third rules for exit is modified the same way,

%Backtrack and use a fact with success - two predications have same
%predicate name and arities, GnuProlog model
trans(Ch, backtrack1S(Nup,Lp,Pd,C2,L)) :- restore_allS(Ch), \+ap,
    cuno(U), \+fst(U), bkt(U), \+flr,
    cl(U,Clp), Clp=[_,C2|L], prog(C2,Claus), ft(Claus),
    retractSuc(cl(U,Clp)), asserta(cl(U,[C2|L])),
    pd(U,Pd), nu(U,Nup), lp(U,Lp),
    change_ct(Vct, false), retractSuc(bkt(U)),
    retractSuc(cuno(U)), asserta(cuno(U)),
    cleanAPTR(Ch, Nup),
    functor(Pd, Pd1, _), (Pd1==fib -> cleanFIB(Ch, Nup) ; true), %here
    todofor_restore(Ch, (
        retractSuc(cl(U,[C2|L])), asserta(cl(U,Clp)),
        retractSuc(cuno(U)), asserta(cuno(U)),
        change_ct(false, Vct), asserta(bkt(U))
    )).

%2 other rules for redo are modified the same way.
% even in the case of failure (the restoring of Fibo state
% is concerned the same way)

%rules for FIBO
trans(Ch, mg(N1,N2,NLa)) :- restore_allS(Ch),
    ap(N1,N2,V), cl(V,[C|_]), C=c2, %test the recursive clause
    popseq(S), append(_,[(_ ,PLa),(_ ,La)],S), NLa is PLa+La,
        append(S,[N1,NLa],Sp),
    retractSuc(popseq(S)), asserta(popseq(Sp)),
    retractSuc(ap(N1,N2,V)),
    todofor_restore(Ch, (
        asserta(ap(N1,N2,V)), retractSuc(popseq(Sp)),
        asserta(popseq(S))
    )).

trans(Ch, initfib(N1,N2)) :- restore_allS(Ch),
    ap(N1,N2,V), cl(V,[C|_]), C=c1,
    retractSuc(popseq(S)), asserta(popseq([(N1,1),(N1,1)])),
    retractSuc(ap(N1,N2,V)),
    todofor_restore(Ch, (
        asserta(ap(N1,N2,V)), retractSuc(popseq([(N1,1),(N1,1)])),
        asserta(popseq(S))
    )).

```

```

%-----COMPOSITION AXIOMES

ap :- ap(_,_,_).

%-----AXIOMES
%only modifications wrt the Prolog OS semantics are indicated here

%cleanFIB(c,n): if c is restoration level and n is a tree node creation
% number, then all more recent nodes are removed from the current
%fibo state s.
%ex: (1,1),(1,1),(3,2),(4,3),(2,5) pour un retour au noeud 3 on
%enleve les deux derniers elements
cleanFIB(Ch, Nu) :- popseq(S), cleanSEQ(Nu,S,Sp),
                    retractSuc(popseq(S)), asserta(popseq(Sp)),
                    todofor_restore(Ch, (retractSuc(popseq(Sp)),
                                         asserta(popseq(S))))
                    ), !.

cleanFIB(_,_).

cleanSEQ(Nu,S,S) :- append(_,[N,_],S), N=Nu,! .
cleanSEQ(Nu,S,Sp) :- append(S0,[N,_],S), N=\=Nu, cleanSEQ(Nu,S0,Sp), !.

%=====STATE DISPLAY=====

%Current state display predicates. Gives a list of "fluents" describing
%the current state.
%state(l): l is the list of evolving fluents in the current state.
stateTree([tree(T)]) :-findall(N, (tree(N)), Tp), reverse(Tp,T).
%.....
stateCF([ct(Ct), Flr, Bkt, Popseq, Ap]):-test(ct,Ct),
                    dislpayFlr(Flr), dislpayBkt(Bkt),
                    dislpayPseq(Popseq), dislpayAp(Ap).
%.....
dislpayPseq(popseq(S)) :- popseq(S).

dislpayAp(ap(false)) :- iz(ap(_,_), false), !.
dislpayAp(ap(N1,N2)) :- iz(ap(N1,N2), true).

%displayStatePP(s): pretty print of state s (list of parameters)
displayStatePP(S) :- displayparams(tree,S), nl,
                    displayparams(cuno,S),
                    %...

```

```

displayparams(popseq,S),
displayparams(ap,S), nl.

%...
displayparams(popseq,S) :- ith_in_list(11,S,popseq(T),12),
                           write('. FibSeq: '), write(T).
displayparams(ap,S) :- ith_in_list(12,S,Ap,12), write('. Ap: '),
                      (Ap=ap(false) -> (write(false), write('.')));
                      (Ap=ap(T1,T2), write(T1), write(', '),
                       write(T2), write('.'))
                      ).

%=====Example
/*
| ?- nftry0(100). %trace with no failed events
. Tree      : []
. Curr node: [] . Curr num : 1
. Node num  : ([],1)
. Preds     : ([],goal)
. Clauses   : ([],[g])
. Firsts    : ([],true)
. Comp tree: true
. Fld tree  : false
. Go to bkp: false
. FibSeq: []
. Ap: false.

prog(c4, ap10).
prog(c3, (apl :- fib)).
prog(c1, fib).
prog(c2, (fib :- ap10, fib, ap10)).
prog(g, (goal :- apl)).

Complete trace of size: 100

[1,1,0,Init]           [51,15,3,Call,ap10,c4,[]]
[2,1,0,Call,goal,g,[]] [52,15,3,Exit,ap10]
[3,2,1,Call,apl,c3,[]] [53,3,2,Exit,fib]
[4,3,2,Call,fib,c1,[c2]] [54,3,2,mg,5]
[5,3,2,Exit,fib]       [55,2,1,Exit,apl]
[6,3,2,intfib,[1,1]]   [56,1,0,Exit,goal]
[7,2,1,Exit,apl]       [57,12,5,Redo,fib,c2,[]]
[8,1,0,Exit,goal]      [58,16,6,Call,ap10,c4,[]]
[9,3,2,Redo,fib,c2,[]] [59,16,6,Exit,ap10]
[10,4,3,Call,ap10,c4,[]] [60,17,6,Call,fib,c1,[c2]]

```



[11,4,3,Exit,apl0]	[61,17,6,Exit,fib]
[12,5,3,Call,fib,c1,[c2]]	[62,17,6,intfib,[1,1]]
[13,5,3,Exit,fib]	[63,18,6,Call,apl0,c4,[]]
[14,5,3,intfib,[1,1]]	[64,18,6,Exit,apl0]
[15,6,3,Call,apl0,c4,[]]	[65,12,5,Exit,fib]
[16,6,3,Exit,apl0]	[66,12,5,mg,2]
[17,3,2,Exit,fib]	[67,19,5,Call,apl0,c4,[]]
[18,3,2,mg,2]	[68,19,5,Exit,apl0]
[19,2,1,Exit,apl]	[69,8,4,Exit,fib]
[20,1,0,Exit,goal]	[70,8,4,mg,3]
[21,5,3,Redo,fib,c2,[]]	[71,20,4,Call,apl0,c4,[]]
[22,7,4,Call,apl0,c4,[]]	[72,20,4,Exit,apl0]
[23,7,4,Exit,apl0]	[73,5,3,Exit,fib]
[24,8,4,Call,fib,c1,[c2]]	[74,5,3,mg,5]
[25,8,4,Exit,fib]	[75,21,3,Call,apl0,c4,[]]
[26,8,4,intfib,[1,1]]	[76,21,3,Exit,apl0]
[27,9,4,Call,apl0,c4,[]]	[77,3,2,Exit,fib]
[28,9,4,Exit,apl0]	[78,3,2,mg,8]
[29,5,3,Exit,fib]	[79,2,1,Exit,apl]
[30,5,3,mg,2]	[80,1,0,Exit,goal]
[31,10,3,Call,apl0,c4,[]]	[81,17,6,Redo,fib,c2,[]]
[32,10,3,Exit,apl0]	[82,22,7,Call,apl0,c4,[]]
[33,3,2,Exit,fib]	[83,22,7,Exit,apl0]
[34,3,2,mg,3]	[84,23,7,Call,fib,c1,[c2]]
[35,2,1,Exit,apl]	[85,23,7,Exit,fib]
[36,1,0,Exit,goal]	[86,23,7,intfib,[1,1]]
[37,8,4,Redo,fib,c2,[]]	[87,24,7,Call,apl0,c4,[]]
[38,11,5,Call,apl0,c4,[]]	[88,24,7,Exit,apl0]
[39,11,5,Exit,apl0]	[89,17,6,Exit,fib]
[40,12,5,Call,fib,c1,[c2]]	[90,17,6,mg,2]
[41,12,5,Exit,fib]	[91,25,6,Call,apl0,c4,[]]
[42,12,5,intfib,[1,1]]	[92,25,6,Exit,apl0]
[43,13,5,Call,apl0,c4,[]]	[93,12,5,Exit,fib]
[44,13,5,Exit,apl0]	[94,12,5,mg,3]
[45,8,4,Exit,fib]	[95,26,5,Call,apl0,c4,[]]
[46,8,4,mg,2]	[96,26,5,Exit,apl0]
[47,14,4,Call,apl0,c4,[]]	[97,8,4,Exit,fib]
[48,14,4,Exit,apl0]	[98,8,4,mg,5]
[49,5,3,Exit,fib]	[99,27,4,Call,apl0,c4,[]]
[50,5,3,mg,3]	[100,27,4,Exit,apl0]

. Tree: [] [1] [1,1] [1,1,1] [1,1,2] [1,1,2,1]  
 [1,1,2,2] [1,1,2,2,1] [1,1,2,2,2] [1,1,2,2,2,1]  
 [1,1,2,2,2,2] [1,1,2,2,2,2,1] [1,1,2,2,2,2,2]  
 [1,1,2,2,2,2,3] [1,1,2,2,2,3] [1,1,2,2,3] [1,1,2,3]

```

. Curr node: [1,1,2]
. Curr num : 27
. Node num : ([],1) ([1],2) ([1,1],3) ([1,1,1],4)
  ([1,1,2],5) ([1,1,2,1],7) ([1,1,2,2],8)
  ([1,1,2,2,1],11) ([1,1,2,2,2],12) ([1,1,2,2,2,1],16)
  ([1,1,2,2,2,2],17) ([1,1,2,2,2,2,1],22)
  ([1,1,2,2,2,2,2],23) ([1,1,2,2,2,2,3],24)
  ([1,1,2,2,2,3],25) ([1,1,2,2,3],26) ([1,1,2,3],27)
. Preds   : ([],goal) ([1],apl)
  ([1,1],fib) ([1,1,1],apl0) ([1,1,2],fib)
  ([1,1,2,1],apl0) ([1,1,2,2],fib) ([1,1,2,2,1],apl0)
  ([1,1,2,2,2],fib) ([1,1,2,2,2,1],apl0)
  ([1,1,2,2,2,2],fib) ([1,1,2,2,2,2,1],apl0)
  ([1,1,2,2,2,2,2],fib) ([1,1,2,2,2,2,3],apl0)
  ([1,1,2,2,2,3],apl0) ([1,1,2,2,3],apl0) ([1,1,2,3],apl0)
. Clauses : ([],[g]) ([1],[c3]) ([1,1],[c2])
  ([1,1,1],[c4]) ([1,1,2],[c2]) ([1,1,2,1],[c4])
  ([1,1,2,2],[c2]) ([1,1,2,2,1],[c4]) ([1,1,2,2,2],[c2])
  ([1,1,2,2,2,1],[c4]) ([1,1,2,2,2,2],[c2])
  ([1,1,2,2,2,2,1],[c4]) ([1,1,2,2,2,2,2],[c1,c2])
  ([1,1,2,2,2,2,3],[c4]) ([1,1,2,2,2,3],[c4])
  ([1,1,2,2,3],[c4]) ([1,1,2,3],[c4])
. Firsts  : ([],false) ([1],false) ([1,1],false)
  ([1,1,1],false) ([1,1,2],false) ([1,1,2,1],false)
  ([1,1,2,2],false) ([1,1,2,2,1],false) ([1,1,2,2,2],false)
  ([1,1,2,2,2,1],false) ([1,1,2,2,2,2],false)
  ([1,1,2,2,2,2,1],false) ([1,1,2,2,2,2,2],false)
  ([1,1,2,2,2,2,3],false) ([1,1,2,2,2,3],false)
  ([1,1,2,2,3],false) ([1,1,2,3],false)
. Comp tree: false
. Fld tree : false
. Go to bkp: false
. FibSeq: [(23,1),(23,1),(17,2),(12,3),(8,5)]. Ap: false.
*/

```

### OS resulting from composition (second approach)

```

:- dynamic([tree/1,cuno/1,num/1,nu/2,pd/2,cl/2,fst/1,ct/0,flr/1,
           bkt/1,prog/2,popseq/1,tdfr/2]).
:- set_prolog_flag(unknown,fail).

...
tr_extract(Ch, Ev) :- trans(Ch, treeSucUp(Nu,Lp,Pd,Fi)),
  (var(Fi) -> Ev=[Nu,Lp,'Exit',Pd]; Ev=[Nu,Lp,'Exit',Pd,Fi]).
tr_extract(Ch, [Nu,Lp,'Exit',Pd]) :-

```

```

                                trans(Ch, treeSucRoot(Nu,Lp,Pd)).
tr_extract(Ch, Ev) :- trans(Ch, tSandGR(Nu,Lp,Pd,Fi)),
    (var(Fi) -> Ev=[Nu,Lp,'Exit',Pd]; Ev=[Nu,Lp,'Exit',Pd,Fi]).
...

%exit1 and go up; case not at root
trans(Ch, treeSucUp(Nu,Lp,Pd,Fi)) :- restore_allS(Ch), cuno(U),
    \+bkt, \+fst(U), iz(ct,false), \+flr, \+mhn(U), \+(U=[]),
    pt(U,Up), retractSuc(cuno(U)), asserta(cuno(Up)),
    nu(U,Nu), lp(U,Lp), pd(U,Pd),
    functor(Pd, Pd1, _), (Pd1==fib -> actionFib(Ch,U,Fi) ; true),%%
    todofor_restore(Ch, (
        retractSuc(cuno(Up)), asserta(cuno(U)),
    )).

%Idem for the third exit rule (second -at root- not modified)

%Backtrack and use a fact with success -
%two predications have same predicate name and arities
trans(Ch, backtrack1S(Nup,Lp,Pd,C2,L)) :- restore_allS(Ch),
    cuno(U), \+fst(U), bkt(Up), \+flr,
    cl(Up,C1p), C1p=[_,C2|L], prog(C2,Claus), ft(Claus),
    retractSuc(cl(Up,C1p)), asserta(cl(Up,[C2|L])),
    pd(Up,Pd), nu(Up,Nup), lp(Up,Lp),
    change_ct(Vct, false), retractSuc(bkt(Up)),
    retractSuc(cuno(U)), asserta(cuno(Up)), cleanAPTR(Ch, Nup),
    functor(Pd, Pd1, _), (Pd1==fib -> cleanFIB(Ch, Nup) ; true),%%
    todofor_restore(Ch, (
        retractSuc(cl(Up,[C2|L])), asserta(cl(Up,C1p)),
        retractSuc(cuno(Up)), asserta(cuno(U)),
        change_ct(false, Vct), asserta(bkt(Up))
    )).

%Idem for all bkt rules:
%clean the current state s on backtrack (as other parameters)

%Computes new attributes in case of fib return
actionFib(Ch,U,intfb([1,1])) :- cl(U,[C|_]), C=c1, nu(U,Nu),
    retractSuc(popseq(S)), asserta(popseq([(Nu,1),(Nu,1)])),
    todofor_restore(Ch, (
        retractSuc(popseq([(N1,1),(N1,1)])), asserta(popseq(S))
    )), !.
actionFib(Ch,U,mg(NLa)) :- cl(U,[C|_]), C=c2, popseq(S), nu(U,Nu),
    append(_,[(_,PLa),(_,La)],S), NLa is PLa+La, append(S,[Nu,NLa]),Sp)
    retractSuc(popseq(S)), asserta(popseq(Sp)),

```

```

todofor_restore(Ch, (retractSuc(popseq(Sp)), asserta(popseq(S))
)).

```

```

%=====Example

```

```

/*

```

```

| ?- sdtry0(100).
. Tree      : []
. Curr node: []. Curr num : 1
. Node num  : ([],1)
. Preds     : ([],goal)
. Clauses   : ([],[g])
. Firsts    : ([],true)
. Comp tree: true
. Fld tree  : false
. Go to bkp: false
. FibSeq: []
. Ap: false.

```

```

prog(c4, apl0).
prog(c3, (apl :- fib)).
prog(c1, fib).
prog(c2, (fib :- apl0, fib, apl0)).
prog( g, (goal :- apl)).

```

```

[1,1,0,Init]           [51,17,6,Exit,fib,intfb([1,1])]
[2,1,0,Call,goal,g,[]] [52,18,6,Call,apl0,c4,[]]
[3,2,1,Call,apl,c3,[]] [53,18,6,Exit,apl0]
[4,3,2,Call,fib,c1,[c2]] [54,12,5,Exit,fib,mg(2)]
[5,3,2,Exit,fib,intfb([1,1])]
[55,19,5,Call,apl0,c4,[]]
[6,2,1,Exit,apl]       [56,19,5,Exit,apl0]
[7,1,0,Exit,goal]     [57,8,4,Exit,fib,mg(3)]
[8,3,2,Redo,fib,c2,[]] [58,20,4,Call,apl0,c4,[]]
[9,4,3,Call,apl0,c4,[]] [59,20,4,Exit,apl0]
[10,4,3,Exit,apl0]    [60,5,3,Exit,fib,mg(5)]
[11,5,3,Call,fib,c1,[c2]] [61,21,3,Call,apl0,c4,[]]
[12,5,3,Exit,fib,intfb([1,1])]
[62,21,3,Exit,apl0]
[13,6,3,Call,apl0,c4,[]] [63,3,2,Exit,fib,mg(8)]
[14,6,3,Exit,apl0]    [64,2,1,Exit,apl]
[15,3,2,Exit,fib,mg(2)] [65,1,0,Exit,goal]
[16,2,1,Exit,apl]    [66,17,6,Redo,fib,c2,[]]
[17,1,0,Exit,goal]   [67,22,7,Call,apl0,c4,[]]
[18,5,3,Redo,fib,c2,[]] [68,22,7,Exit,apl0]
[19,7,4,Call,apl0,c4,[]] [69,23,7,Call,fib,c1,[c2]]

```

```

[20,7,4,Exit,apl0] [70,23,7,Exit,fib,intfb([1,1])]
[21,8,4,Call,fib,c1,[c2]] [71,24,7,Call,apl0,c4,[]]
[22,8,4,Exit,fib,intfb([1,1])]
[72,24,7,Exit,apl0]
[23,9,4,Call,apl0,c4,[]] [73,17,6,Exit,fib,mg(2)]
[24,9,4,Exit,apl0] [74,25,6,Call,apl0,c4,[]]
[25,5,3,Exit,fib,mg(2)] [75,25,6,Exit,apl0]
[26,10,3,Call,apl0,c4,[]] [76,12,5,Exit,fib,mg(3)]
[27,10,3,Exit,apl0] [77,26,5,Call,apl0,c4,[]]
[28,3,2,Exit,fib,mg(3)] [78,26,5,Exit,apl0]
[29,2,1,Exit,apl] [79,8,4,Exit,fib,mg(5)]
[30,1,0,Exit,goal] [80,27,4,Call,apl0,c4,[]]
[31,8,4,Redo,fib,c2,[]] [81,27,4,Exit,apl0]
[32,11,5,Call,apl0,c4,[]] [82,5,3,Exit,fib,mg(8)]
[33,11,5,Exit,apl0] [83,28,3,Call,apl0,c4,[]]
[34,12,5,Call,fib,c1,[c2]] [84,28,3,Exit,apl0]
[35,12,5,Exit,fib,intfb([1,1])]
[85,3,2,Exit,fib,mg(13)]
[36,13,5,Call,apl0,c4,[]] [86,2,1,Exit,apl]
[37,13,5,Exit,apl0] [87,1,0,Exit,goal]
[38,8,4,Exit,fib,mg(2)] [88,23,7,Redo,fib,c2,[]]
[39,14,4,Call,apl0,c4,[]] [89,29,8,Call,apl0,c4,[]]
[40,14,4,Exit,apl0] [90,29,8,Exit,apl0]
[41,5,3,Exit,fib,mg(3)] [91,30,8,Call,fib,c1,[c2]]
[42,15,3,Call,apl0,c4,[]] [92,30,8,Exit,fib,intfb([1,1])]
[43,15,3,Exit,apl0] [93,31,8,Call,apl0,c4,[]]
[44,3,2,Exit,fib,mg(5)] [94,31,8,Exit,apl0]
[45,2,1,Exit,apl] [95,23,7,Exit,fib,mg(2)]
[46,1,0,Exit,goal] [96,32,7,Call,apl0,c4,[]]
[47,12,5,Redo,fib,c2,[]] [97,32,7,Exit,apl0]
[48,16,6,Call,apl0,c4,[]] [98,17,6,Exit,fib,mg(3)]
[49,16,6,Exit,apl0] [99,33,6,Call,apl0,c4,[]]
[50,17,6,Call,fib,c1,[c2]] [100,33,6,Exit,apl0]

```

```

. Tree: [] [1] [1,1] [1,1,1] [1,1,2] [1,1,2,1]
        [1,1,2,2] [1,1,2,2,1] [1,1,2,2,2] [1,1,2,2,2,1]
        [1,1,2,2,2,2] [1,1,2,2,2,2,1] [1,1,2,2,2,2,2]
        [1,1,2,2,2,2,2,1] [1,1,2,2,2,2,2,2]
        [1,1,2,2,2,2,2,3] [1,1,2,2,2,2,3] [1,1,2,2,2,3]
. Curr node: [1,1,2,2,2]
. Curr num : 33
. Node num : ([],1) ([1],2) ([1,1],3) ([1,1,1],4)
              ([1,1,2],5) ([1,1,2,1],7) ([1,1,2,2],8)
              ([1,1,2,2,1],11) ([1,1,2,2,2],12) ([1,1,2,2,2,1],16)

```

```

([1,1,2,2,2,2],17) ([1,1,2,2,2,2,1],22)
([1,1,2,2,2,2,2],23) ([1,1,2,2,2,2,2,1],29)
([1,1,2,2,2,2,2,2],30) ([1,1,2,2,2,2,2,3],31)
([1,1,2,2,2,2,3],32) ([1,1,2,2,2,3],33)
. Preds : ([],goal) ([1],apl) ([1,1],fib) ([1,1,1],apl0)
([1,1,2],fib) ([1,1,2,1],apl0) ([1,1,2,2],fib)
([1,1,2,2,1],apl0) ([1,1,2,2,2],fib)
([1,1,2,2,2,1],apl0) ([1,1,2,2,2,2],fib)
([1,1,2,2,2,2,1],apl0) ([1,1,2,2,2,2,2],fib)
([1,1,2,2,2,2,2,1],apl0) ([1,1,2,2,2,2,2,2],fib)
([1,1,2,2,2,2,2,3],apl0) ([1,1,2,2,2,2,3],apl0)
([1,1,2,2,2,3],apl0)
. Clauses : ([],[g]) ([1],[c3]) ([1,1],[c2]) ([1,1,1],[c4])
([1,1,2],[c2]) ([1,1,2,1],[c4]) ([1,1,2,2],[c2])
([1,1,2,2,1],[c4]) ([1,1,2,2,2],[c2])
([1,1,2,2,2,1],[c4]) ([1,1,2,2,2,2],[c2])
([1,1,2,2,2,2,1],[c4]) ([1,1,2,2,2,2,2],[c2])
([1,1,2,2,2,2,2,1],[c4]) ([1,1,2,2,2,2,2,2],[c1,c2])
([1,1,2,2,2,2,2,3],[c4]) ([1,1,2,2,2,2,3],[c4])
([1,1,2,2,2,3],[c4])
. Firsts : ([],false) ([1],false) ([1,1],false)
([1,1,1],false) ([1,1,2],false) ([1,1,2,1],false)
([1,1,2,2],false) ([1,1,2,2,1],false)
([1,1,2,2,2],false) ([1,1,2,2,2,1],false)
([1,1,2,2,2,2],false) ([1,1,2,2,2,2,1],false)
([1,1,2,2,2,2,2],false) ([1,1,2,2,2,2,2,1],false)
([1,1,2,2,2,2,2,2],false) ([1,1,2,2,2,2,2,3],false)
([1,1,2,2,2,2,3],false) ([1,1,2,2,2,3],false)
. Comp tree: false
. Fld tree : false
. Go to bkp: false
. FibSeq: [(30,1),(30,1),(23,2),(17,3)]
. Ap: false.
*/

```

## B.6 Fusion of Traces (Robots)

Modified program of example A.3 illustrating the fusion of two traces of two agents moving in the same context as described in the Section 6.3. Only the modified parts of the code of Section B.3 is displayed.

```
%Backtracking is possible on agents, condition carry is more general
trans(Ch, pickup(A,O,R)) :- chose_agent(Ch, A), object(O),
    inroom(A,R), inroom(O,R), \+is_at_any_door(A), \+carried(O),
    asserta(carry(A,O)),
    todofor_restore(Ch, retractSuc(carry(A,O))).

trans(Ch, drop(A,O,R)) :-chose_agent(Ch, A), object(O),
    inroom(A,R), inroom(O,R), \+is_at_any_door(A), carry(A,O),
    retract(carry(A,O)),
    todofor_restore(Ch, asserta(carry(A,O))).

trans(Ch, gotodoor(A,D,R)) :- chose_agent(Ch, A),
    inroom(A,R), \+is_at_any_door(A), chose_door(Ch, R, A, D).

trans(Ch, enterroom(A,D,Rp)) :- chose_agent(Ch, A),
    inroom(A,R), atdoor(A,D), connect(R,D,Rp), is_open(D),
    retract(inroom(A,R)), retract(atdoor(A,D)), asserta(inroom(A,Rp)),
    todofor_restore(Ch, ((retractSuc(inroom(A,Rp)),
        asserta(inroom(A,R)), asserta(atdoor(A,D))))),
    (carry(A,O) -> (retract(inroom(O,R)), asserta(inroom(O,Rp))),
    todofor_restore(Ch, (retractSuc(inroom(O,Rp)),
        asserta(inroom(O,R))))))
    ; true).

trans(Ch, open(A,D)) :- chose_agent(Ch, A),
    atdoor(A,D), closed(D), can_open(A,D),
    retract(closed(D)), todofor_restore(Ch,asserta(closed(D))).

%generalisation of the condition ‘‘atdoor’’: no possibility to go
%together through a door
chose_door(Ch, R, A, D) :- connect(R,D,_),
    \+someone_at_door(D), restore_allS(Ch),
    asserta(atdoor(A,D)),
    todofor_restore(Ch, retractSuc(atdoor(A,D))).

chose_agent(Ch, A) :- agent(A), restore_allS(Ch).
```

%-----ADDITIONAL AXIOMES

carried(O) :- agent(A), carry(A,O), !.

someone\_at\_door(D) :- agent(A), atdoor(A,D), !.



## C ANNEXE : Observational Semantics in Fluent Calculus (en anglais)

The OS in prolog style suffers of the following drawbacks : necessity to handle explicitly the state updates and uneficiency.

The fluent calculus is an alternative and has the following advantages :

- Simplification of the description since the notions of state and trace are “naturally” embedded in the fluent calculus (it is the situation corresponding to a state). A trace is something very close to a situation in the FC.
- Support partial description of states, and logical proofs become simpler in the SFC (less deductions, at least for “direct closed” effects)
- A solution to the “frame problem” (persistence of unaffected partial state)
- Full axiomatization in FOL, properties like “faithfulness” should be easier to prove formally. The Symetry of “state axioms” allows forward and bakward reasoning. With the simplicity of the representation of state changes, this should make faithfulness proofs simpler.
- Directly executable in Flux (treatment of termination to clarify).

It must however be observed that the notion of virtual trace (a sequence of virtual states issued from an initial virtual state) is not as simple as it could appear as it must be also possible to specify the parameters from the fluents. So the correspondence between parameters and fluents must be clearly specified.

In counterpart the reconstruction can be specified also in terms of fluent calculus, but considering the actual trace (or a part of it) as an action over the current state which contains all the information needed to make the transition.

### C.1 The Simple Fluent Calculus

The Fluent Calculus (FC) is a logic-based representation language for knowledge about actions, change, and causality [92,93]. As an extension of the classical Situation Calculus [80], Fluent Calculus provides a general framework for the development of axiomatic semantics for dynamic domains.

Fluent Calculus is a sorted logic language with four standard sorts : FLUENT, STATE, ACTION, and SIT (which stands for situation). A fluent describes a single state property that may change by the means of the actions of the agent. A state is a collection of fluents. Adopted from Situation Calculus, the standard sort SIT describes sequences of actions.

The pre-defined constant  $\emptyset : STATE$  stands for the empty state. Each term of sort FLUENT is also an (atomic) STATE, and the function  $\circ : STATE \times STATE \mapsto STATE$ , written in infix notation, represents the composition of two states. The following abbreviation  $Holds(f, z)$  is used to express that fluent  $f$  holds in state  $z$  :

$$Holds(f, z) \stackrel{\text{def}}{=} (\exists z') f \circ z' = z$$

The behavior of function “ $\circ$ ” is governed by the foundational axioms of Fluent Calculus, which essentially characterize states as sets of fluents.

$$(z_1 \circ z_2) \circ z_3 = z_1 \circ (z_2 \circ z_3) \quad (\circ - \text{Associativity})$$

$$z_1 \circ z_2 = z_2 \circ z_1 \quad (\circ - \text{Commutativity})$$

$$z \circ z = z \quad (\circ - \text{Idempotency})$$

$$z_1 \circ \emptyset = z \quad (\circ - \text{Zero})$$

$$\text{Holds}(f, f_1 \circ z) \supset f_1 \vee \text{Holds}(f, z)$$

States can be updated by adding and/or removing one or more fluents. Addition of a sub-state  $z$  to a state  $z_1$  is simply expressed as  $z_2 = z_1 \circ z$ , and removal is defined by

$$z_2 = z_1 - z \stackrel{\text{def}}{=} (\forall f)(\text{Holds}(f, z_2) \equiv \text{Holds}(f, z_1) \wedge \neg \text{Holds}(f, z))$$

The standard predicate  $Poss : ACTION \times STATE$  in Fluent Calculus is used to axiomatize the conditions under which an action is possible in a state, i.e., the situations in which the *pre-condition* of this actions is satisfied.

The pre-defined constant  $S_0 : SIT$  is the initial (i.e., before the execution of any action) situation. The function  $Do : ACTION \times SIT \mapsto SIT$  denotes the addition of an action to a situation. The standard function  $State : SIT \mapsto STATE$  is used to denote the state, i.e., the fluents that hold in a situation, after a sequence of actions. This allows to extend macro Holds and predicate  $Poss$  to SITUATION arguments as follows.

$$\text{Holds}(f, s) \stackrel{\text{def}}{=} \text{Holds}(f, \text{State}(s))$$

$$Poss(a, s) \stackrel{\text{def}}{=} Poss(a, \text{State}(s))$$

In a Fluent Calculus Axiomatization, beyond the definition of the domain sorts, functions and predicates, we can define a set of axioms that must follow three pre-defined axiom schemas : the precondition axioms and the state update axioms.

**Definition 9 (Pure State Formula).** *A Pure State Formula is a First Order formula  $\Pi(z)$*

- *There is only one free state variable  $z$*
- *It is composed of atomic formulas in the form :*
  - *$\text{Holds}(\phi, z)$ , where  $\phi$  is of the sort  $FLUENT$*
  - *atoms which do not use any reserved predicate of Fluent Calculus*

**Definition 10 (Precondition Axiom).** *A precondition axiom follows the schema :  $Poss(A(\mathbf{x}), z) \equiv \Pi(\mathbf{x}, z)$ , where  $\Pi(\mathbf{x}, z)$  is a Pure State Formula.*

This kind of axiom states that the execution of the action  $A$  with the parameters  $\mathbf{x}$  is possible in the state  $z$  if and only if  $\Pi_A(\mathbf{x}, z)$  is true.

**Definition 11 (State Update Axiom).** *A state update axiom follows the schema :*

$$Poss(A(\mathbf{x}), State(s)) \wedge \Pi(\mathbf{x}, State(s)) \supset \Gamma(State(Do(A(\mathbf{x}), s)), State(s))$$

where

$$\Gamma(State(Do(A(\mathbf{x}), s)), State(s)) = State(Do(A(\mathbf{x}), s)) = State(s) \circ \vartheta^+ - \vartheta^-$$

where

$\vartheta^+$  and  $\vartheta^-$  are partial states.

**The Frame Problem** *Extract from [88,10]*

Put succinctly, the frame problem in its narrow, technical form is this [76]. Using mathematical logic, how is it possible to write formulae that describe the effects of actions without having to write a large number of accompanying formulae that describe the mundane, obvious non-effects of those actions?

Here is a short example.

The problem is as follows (in situation calculus) :

- Initial State  $Color(A, Red) \wedge Position(A, House)$
- Actions  $Paint(A, Blue)$  followed by  $Move(A, Garden)$
- Is it possible to infer that the following state is a consequence  $Color(A, Blue) \wedge Position(A, Garden)$

Necessity of *frame axioms*? (known as “common sense law of inertia”)

The fluent calculus is one of the solution to this problem.

$$S_0 = Color(A, Red) \wedge Position(A, House)$$

$$Poss(Paint(A, Blue), z) \equiv truePoss(Move(A, Garden), z) \equiv true$$

$$Poss(Paint(A, Blue), State(s)) \supset$$

$$State(Do(Paint(A, Blue), s)) = State(s) \circ Color(A, Blue) - Color(A, Red)$$

$$Poss(Move(A, Garden), State(s)) \supset$$

$$State(Do(Move(A, Garden), s)) = State(s) \circ Position(A, Garden) - Position(A, House)$$

### Comparing Prolog and Flux Simulations

Here is a comparative excerpt (only a part of the code is shown in Prolog followed by flux representation).

States are similarly described.

Main loop :

```

so(Ch, [E|T]):-
    tr_extract(Ch, E),
    Ch1 is Ch+1, so(Ch1, T).

main_loop(Z, Ch, [E|T]) :-
    poss(A,Z), state_update(Z,A,Z1), extraction(Z1,A,Ch,ET),
    Ch1 is Ch+1, main_loop(Z1, Ch1, T)).

```

The state is implicitly handled in Prolog. There is a separation in Flux between the condition of action (expressed by the predicate `poss` and the transition itself.

Extraction function for the **open** event.

```

tr_extract(Ch, [Ch,open,A,D]) :- trans(Ch, open(A,D)).

extraction(Z, open(A,D), Ch, [Ch,open,A,D]).

```

Transition step for “open” event.

```

trans(Ch, open(A,D)) :-
    agent(A),
    at_door(A,D), closed(D), has_key_code(A,D),
    retract(closed(D)).

```

```

poss(open(A, D),Z) :-
    holds(at_door(A,D),Z), holds(closed(D),Z), holds(has_key_code(A,D),Z).

```

```

state_update(Z1, open(A, D), Z2) :-
    holds(closed(D),Z1), update(Z1, [], [closed(D)], Z2).

```

In Prolog the state database is updated explicitly, so the way to open a door is just to retract the fact it is closed. Also the typing here is explicit (“agent(A)”). In Flux, the condition of action (**ACond**) is given in the declarations `poss`. Both codes are similar. `update` is an operation of Flux.

Differences : use explicit of requests, expressiveness : `holds`, `not_holds`, `not_holds_all`.

## C.2 Observational Semantics in Simple Fluent Calculus

A virtual state of the observed process corresponds to a state in SFC described by a set of fluents (this correspondence must be explicitly specified).

Each type of action in the OS is an action name in the SFC. A particular action is denoted  $R$  in the following.

Actual states are elements of the cartesian product of attribute domains (this domain must be explicitly specified).

Transition and extraction function (or relation) are described using both fundamental following schemes (fundamental axioms of the Fluent calculus)

1. *Pre-Condition Axioms* :

$$Poss(R, \mathbf{x}, z) \equiv \Pi_R(\mathbf{x}, z)$$

2. *State Update Axioms* :

$$Poss(R, \mathbf{x}, State(s)) \wedge \Pi(\mathbf{x}, \mathbf{y}, State(s)) \supset \\ \Gamma_R(State(Do(R, w(\mathbf{x}, \mathbf{y}, State(s)), s)), State(s))$$

where  $w(\mathbf{x}, \mathbf{y}, State(s))$  is an actual trace event associated with the transition, and derived from the current state (using local variables too).

There are as many pre-conditions and state update axioms as there are action types  $R$  in the OS.  $\Gamma_R$  may be a disjunction. It defines the new virtual state and the corresponding extracted actual trace event attributes  $w(\mathbf{x}, \mathbf{y}, State(s))$ .

Nota : a situation  $s$  contains the sequence of actions in the OS executed to reach the current virtual state  $z = State(s)$ , and also the sequence of extracted actual trace events such that  $T^w = E(T^v)$ .

An actual trace  $T^w$  is the sequence of  $w_i$ , with chrono, found in the situation

$$s = Do(R_n, \mathbf{x}_n, w_n, Do(R_{n-1}, \mathbf{x}_{n-1}, w_{n-1}, \dots, S_0) \dots)$$

It may be computed according to the following axioms :

$$Extraction(0, S) = S$$

$$Extraction(n+1, Do(R, \mathbf{x}, w, s) = ((n+1).w).Extraction(n, s)$$

### C.3 OS of Fibonacci

The virtual state contains only one fluent  $Fib/1$  of type  $List(Int) \rightarrow Fluent$ , and there is only one type of action  $Mg$ . The actual state contains just 2 attributes, respectively of type  $String$  and  $Int$ . A vector is represented by a sequence (Prolog list syntax).

$$S_0 = Fib([1, 1])$$

$$Poss(Mg, [l, pl], z) \equiv Holds(Fib([l, pl|x]), z)$$

$$Poss(Mg, [l, pl], State(s)) \wedge v = l + pl \supset \\ State(Do(Mg, [Mg, v], s)) = State(s) \circ Fib([v, l, pl|x]) - Fib([l, pl|x])$$

## C.4 OS of Prolog

This code may contain errors (consistence of names, fonts etc...) since it has not been tested. It has been built on the model of the Prolog code (Section B.2). Moreover the formalisation still contains some functional descriptions which should be translated into the SFC formalism in order to become executable in Flux. All function or predicate definitions correspond to those given in the Section A.2 and are not repeated here.

In this specification of the Prolog OS all parameters become fluents (hence a function is represented by a relation). Auxiliary predicates and functions keep their name, type and meaning.

A parameter represented by a set of fluents of type  $X$  may be referred by a unique fluent whose argument is the represented set  $Set(X)$ . For example, the tree  $(1 (1,2))$  will be represented by a set of fluents  $Tree([]) \circ Tree([1]) \circ Tree([2])$  with arguments of type  $NODE$ ; it may be “synthesized” by a unique fluent  $Tree(T)$  where  $T$  is of type  $Set(NODE)$ .

### (a) Domain Sorts

- *INTEGER*, integer (natural number here);
- *TERM*, terms (Herbrand domain);
- *NODE* =  $List(NATURAL)$  nodes defined by a path;
- *TREE* =  $List(NODE)$  tree refers to the graph notion of unique tree;
- *CLAUS*, the sort of Prolog rules and *CLAUS\_ID* the sort of the rule identifiers;
- *PROG* =  $List((CLAUS_ID, CLAUS))$
- *AcT\_EVENT*, the sort of actual trace events;
- For each defined sort  $X$ , two new sorts :  $List(X)$  and  $Set(X)$  containing the lists and the sets of elements of  $X$ . We use  $[]$  for the empty list and  $\{\}$  and  $\emptyset$  for the empty set.
- *PROLOG\_ACTION* < *ACTION*, the subsort of *ACTION* containing only the actions in the Prolog OS.
- *SUBST* substitution (not described neither user here).
- *ATTR* attribute,  $INTEGER < ATTR$  (some attributes are integers),  $List(CLAUS_ID)$ , *PORT*, *TERM* and *CLAUS\_ID* are also subsorts of attributes.
- *PORT*,  $PORT = \{Init, Call, Fail, Redo, End\}$ .

### (b) Predicates

- *lf* (leaf) :  $NODE \times TREE$ ;
- *mhn* (may have a new brother) :  $NODE \times TREE$ ;
- *h*cp (has a choice point) :  $NODE \times TREE$ ;
- *g*cp (greatest choice point) :  $NODE \times TREE$ ;
- *ft* (is a fact) :  $NODE \times TREE$ ;

- **scs** (success) :  $TREE \times NODE \times TERM \times SUBST$  utilise les paramètres **pd**, **cl**;
- **fail** (success) :  $TREE \times NODE$  utilise les paramètres **pd**, **cl**;
- **influence** : special predicate whose argument is a condition corresponding to the external condition. It is in the FC specification, but it will be ignored in execution.

## (c) Functions

- **pt** (parent) :  $TREE \times NODE \mapsto NODE$ ;
- **nbpd** (next brother and predication) :  $TREE \times NODE \mapsto NODE \times TERM$ ;
- **ncpd** (new child and predication) :  $NODE \times TREE \mapsto NODE \times TERM$ ;
- **rem** (remove) :  $X \times List(X) \mapsto List(X)$ ;
- **first** (first element of a list) :  $X \times List(X) \mapsto List(X)$ ;
- **lp** (length) :  $TREE \times NODE \mapsto INTEGER$ ;
- **ch** (chosen clause) :  $NODE \times List(CLAUS\_ID) \mapsto CLAU\_ID$ ;
- **hd** (head of clause) :  $CLAU\_ID \times PROG \mapsto TERM$ ;
- **dcl** (defining clauses) :  $TERM \mapsto List(CLAUSE\_ID)$
- The usual set, sequence and bag operations :  $\in$  for membership,  $\cup$  for set union,  $\uplus$  for bag union,  $++$  for sequence concatenation,  $|$  for sequence head and tail (Ex :  $[head|tail]$ ) and  $\setminus$  for set subtraction.

## (d) Fluents

- Tree :  $Set(NODE)$ ,  $Tree(v)$  holds iff  $v$  is a node of the current tree  $t$ , or (synthetic form)  $Tree(t)$  holds iff  $t$  is the set of nodes representing the current tree  $t$ .
- Cuno (Current Node) :  $NODE$ ,  $Cuno(u)$  holds iff  $u$  is the current node.
- Num (Next Number) :  $INTEGER$ ,  $Num(n)$  holds iff  $n$  is the number of the last created node.
- Nu (associated Number) :  $NODE \times INTEGER$ ,  $Nu(v, n)$  holds iff  $n$  is the creation number of the node  $v$ .
- Pd (associated Predication) :  $NODE \times TERM$ ,  $Pd(v, p)$  holds iff  $p$  is the predication associated with node  $v$ .
- Cl (associated Clause) :  $NODE \times List(CLAUS\_ID)$ ,  $Cl(v, cl)$  holds iff  $cl$  is the list of clause identifiers of clauses associated with node  $v$ .
- Fst (Fist visit) :  $NODE$ ,  $Fst(v)$  holds iff the node  $v$  is juste created but not yet “visited” in the current tree.
- Ct (Complete tree) :  $Ct$  holds iff the current tre is completely visited (no possible extension neither remaining backtrack point).
- Flr (Failed sub-tree) :  $TERM$ ,  $Flr(p)$  holds iff the current subtree (sub-tree of current root  $v$ , i.e. such that  $Cuno(v)$  holds) is failed and  $p$  is the original culpright predication.



- Bkt (Possible Backtrack point) :  $NODE$ ,  $Bkt(v)$  holds iff  $v$  is the next backtrack node in the current tree.
  - Prog (Program) :  $PROG$ ,  $Prog(pr)$  holds iff  $pr$  is the current source program.
- (e) Actions
- Do :  $PROLOG\_ACTION \times List(ATTR) \times SITUATION \mapsto SITUATION$ ,  
 $Do(a, t, s)$  is the new situation after executing the action  $a$  in the situation  $s$ , with attributes  $t$ .
- Actions are :  $Init, CallU, CallD, CallDe, CallT, ExitU, ExitD, ExitT, FailU, FailD, FailT, RedoU, RedoD, RedoT, Final$ .
- (f) Attributes
- An actual trace event is a sequence of 3 to 6 items of following types (in this order) :
- $AcT\_EVENT = List(ATTR) = [INTEGER, INTEGER, PORT, TERM, CLAUSE\_ID, List(CLAUSE\_ID)]$ ,  
 denoted  $[r, l, po, p, c, lc]$  .
- **range**  $r$  in  $INTEGER$  is the creation number of the current visited tree node.
  - **depth**  $l$  in  $INTEGER$  is the depth of the current visited tree node in the current tree.
  - **port**  $po$  in  $PORT$  denotes a subclass of action types.
  - **pred**  $p$  in  $TERM$  is a predication.
  - **clause**  $c$  in  $CLAUSE\_ID$  is the identifier of the used clause in this action.
  - **list of clauses**  $lc$  in  $List(CLAUSE\_ID)$  is the list of the remaining clauses (if this list is not empty, the current node will become a backtrack point.

### Axioms of the Observational Semantics

#### Action Init

$$Poss(Init, [u], z) \equiv \\
 RootTree(z) \wedge Holds(Fst(u), z) \wedge (Holds(Cuno(u), z) \wedge u = []) \wedge \neg Holds(Ct, z) \wedge \\
 \neg Holds(Bkt, z))$$

$$Poss(Init, [u], s) \supset \\
 State(Do(Init, [nu(u), lp(u), \mathbf{Init}], s)) = State(s) - Ct \circ Flr(\_)$$

#### Action CallSu1

$$Poss(callU, [u, cid, cl], z) \equiv \\
 Holds(Cuno(u), z) \wedge Holds(Fst(u), z) \wedge \neg Holds(Ct, z) \wedge \\
 \neg Holds(Bkt, z) \wedge \neg Holds(Flr(\_), z) \wedge \\
 (lf(u) \wedge \neg noclfor(u) \wedge selectcl(u, cid, c, cl) \wedge ft(claus) \wedge \\
 influence(scs(t, u, p, \Theta)))$$

$$\begin{aligned}
& Poss(callU, [u, cid, cl], s) \supset \\
& State(Do(CallU, [Nu(u), Lp(u), \mathbf{Call}, Pd(u), cid, cl], s)) = \\
& State(s) \circ Fst(u, false) - Fst(u, true)
\end{aligned}$$

*Action CallFa*

$$\begin{aligned}
& Poss(callD, [u, cid, cl], z) \equiv \\
& Holds(Cuno(u), z) \wedge Holds(Fst(u), z) \wedge \neg Holds(Ct, z) \wedge \\
& \neg Holds(Bkt, z) \wedge \neg Holds(Flr(\_), z) \wedge \\
& (lf(U) \wedge \neg noclfor(u) \wedge selectcl(u, cid, c, cl) \wedge ft(claus) \wedge \\
& influence(fail(t, u)))
\end{aligned}$$

$$\begin{aligned}
& Poss(callD, [u, cid, cl], s) \supset \\
& State(Do(CallU, [Nu(u), Lp(u), \mathbf{Call}, Pd(u), cid, cl], s)) = \\
& State(s) \circ Flr(Pd(u)) \circ Fst(u, false) - Fst(u, true)
\end{aligned}$$

*Action CallFaCl*

$$\begin{aligned}
& Poss(callDe, [u], z) \equiv \\
& Holds(Cuno(u), z) \wedge Holds(Fst(u), z) \wedge \neg Holds(Ct, z) \wedge \\
& \neg Holds(Bkt, z) \wedge \neg Holds(Flr(\_), z) \wedge \\
& (lf(U) \wedge noclfor(u))
\end{aligned}$$

$$\begin{aligned}
& Poss(callDe, [u], s) \supset \\
& State(Do(CallDe, [Nu(u), Lp(u), \mathbf{Call}, Pd(u)], s)) = \\
& State(s) \circ Flr(Pd(u)) \circ Fst(u, false) - Fst(u, true)
\end{aligned}$$

*Action CallSu2*

$$\begin{aligned}
& Poss(callT, [u, cid, cl], z) \equiv \\
& Holds(Cuno(u), z) \wedge Holds(Fst(u), z) \wedge \neg Holds(Ct, z) \wedge \\
& \neg Holds(Bkt, z) \wedge \neg Holds(Flr(\_), z) \wedge \\
& (lf(u) \wedge \neg noclfor(u) \wedge selectcl(u, cid, c, cl) \wedge \neg ft(cid) \wedge \\
& influence(scs(t, u, p, \Theta)))
\end{aligned}$$

$$\begin{aligned}
& Poss(callT, [u, cid, cl], s) \wedge \\
& (v = ncpd_1(u) \wedge (Holds(Num(n), s) \wedge n' = n + 1) \wedge pd = ncpd_2(u)) \\
& \supset \\
& State(Do(CallT, [nu(u), lp(u), \mathbf{Call}, pd(u), cid, rem(ch(u), cl)], s)) = \\
& State(s) \circ Cuno(v) \circ Tree(v) \circ Num(n') \circ Nu(v, n') \circ Pd(v, pd) \circ \\
& cl(v, dcl(pd)) \circ Fst(u, false) \circ Fst(v, true) \\
& - Fst(u, true)
\end{aligned}$$

*Action Exit1*

$$\begin{aligned}
& Poss(ExitU, [u, p], z) \equiv \\
& (Holds(Cuno(u), z) \wedge u \neq []) \wedge \neg Holds(Fst(u), z) \wedge \neg Holds(Ct, z) \wedge
\end{aligned}$$

$$\neg \text{Holds}(\text{Bkt}, z) \wedge \neg \text{Holds}(\text{Flr}(\_), z) \wedge \neg \text{mhnb}(u) \wedge$$

$$\text{influence}(\text{scs}(t, u, p, \Theta)))$$

$$\text{Poss}(\text{ExitU}, [u, p], s) \wedge \text{Holds}(\text{Pd}(u, q)) \wedge v = \text{pt}(u)$$

$$\supset$$

$$\text{State}(\text{Do}(\text{ExitU}, [\text{nu}(u), \text{lp}(u), \mathbf{Exit}, p], s)) =$$

$$\text{State}(s) \circ \text{Cuno}(v) \circ \text{Pd}(u, p) - \text{Cuno}(u) \circ \text{Pd}(u, q)$$

#### Action ExitR

$$\text{Poss}(\text{ExitD}, [u, p], z) \equiv$$

$$(\text{Holds}(\text{Cuno}(u), z) \wedge u = []) \wedge \neg \text{Holds}(\text{Fst}(u), z) \wedge \neg \text{Holds}(\text{Ct}, z) \wedge$$

$$\neg \text{Holds}(\text{Bkt}, z) \wedge \neg \text{Holds}(\text{Flr}(\_), z) \wedge$$

$$\text{influence}(\text{scs}(t, u, p, \Theta)))$$

$$\text{Poss}(\text{ExitD}, [u, p], s) \wedge \text{Holds}(\text{Pd}(u, q))$$

$$\supset$$

$$\text{State}(\text{Do}(\text{ExitD}, [\text{nu}(u), \text{lp}(u), \mathbf{Exit}, p], s)) =$$

$$\text{State}(s) \circ \text{Pd}(u, p) \circ (\text{hcp}(u) \Rightarrow \text{Bkt}(\text{gcp}(u)); \emptyset) - \text{Pd}(u, q)$$

#### Action Exit2

$$\text{Poss}(\text{ExitT}, [u, p], z) \equiv$$

$$\text{Holds}(\text{Cuno}(u), z) \wedge \neg \text{Holds}(\text{Fst}(u), z) \wedge \neg \text{Holds}(\text{Ct}, z) \wedge$$

$$\neg \text{Holds}(\text{Bkt}, z) \wedge \neg \text{Holds}(\text{Flr}(\_), z) \wedge \text{mhnb}(u)$$

$$\text{influence}(\text{scs}(t, u, p, \Theta)))$$

$$\text{Poss}(\text{ExitT}, [u, p], s) \wedge \text{Holds}(\text{Pd}(u, q)) \wedge v = \text{nbpd}_1(u) \wedge (\text{Holds}(\text{Num}(n)) \wedge n' =$$

$$n + 1$$

$$\supset$$

$$\text{State}(\text{Do}(\text{ExitT}, [\text{nu}(u), \text{lp}(u), \mathbf{Exit}, p], s)) =$$

$$\text{State}(s) \circ \text{Tree}(v) \circ \text{Cuno}(v) \circ \text{Num}(n') \circ \text{Nu}(v, n') \circ \text{Pd}(v, \text{nbpd}_2(u)) \circ$$

$$\text{Cl}(v, \text{dcl}(\text{nbpd}_2(u))) \circ \text{Fst}(v, \text{true})$$

$$- \text{Cuno}(u) \circ \text{Num}(n) \circ \text{Pd}(u, q)$$

#### Action FailU

$$\text{Poss}(\text{FailU}, [u, p], z) \equiv$$

$$\text{Holds}(\text{Cuno}(u), z) \wedge \neg \text{Holds}(\text{Fst}(u), z) \wedge \neg \text{Holds}(\text{Ct}, z) \wedge$$

$$\neg \text{Holds}(\text{Bkt}, z) \wedge \text{Holds}(\text{Flr}(p), z) \wedge (u \neq [] \wedge \neg \text{hcp}(u))$$

$$\text{Poss}(\text{FailU}, [u, p], s) \wedge v = \text{pt}(u)$$

$$\supset$$

$$\text{State}(\text{Do}(\text{FailU}, [\text{nu}(u), \text{lp}(u), \mathbf{Fail}, p], s)) =$$

$$\text{State}(s) \circ \text{Cuno}(v) - \text{Cuno}(u)$$

#### Action FailRdo

$$\begin{aligned}
& Poss(FailD, [u, p], z) \equiv \\
& Holds(Cuno(u), z) \wedge \neg Holds(Fst(u), z) \wedge \neg Holds(Ct, z) \wedge \\
& \neg Holds(Bkt, z) \wedge Holds(Flr(p), z) \wedge hcp(u)
\end{aligned}$$

$$\begin{aligned}
& Poss(FailD, [u, p], s) \supset \\
& State(Do(FailD, [nu(u), lp(u), \mathbf{Fail}, p], s)) = \\
& State(s) \circ Bkt(gcp(u)) - \circ Flr(p)
\end{aligned}$$

#### Action FailR

$$\begin{aligned}
& Poss(FailT, [u, p], z) \equiv \\
& Holds(Cuno(u), z) \wedge \neg Holds(Fst(u), z) \wedge \neg Holds(Ct, z) \wedge \\
& \neg Holds(Bkt, z) \wedge Holds(Flr(p), z) \wedge (u = [] \wedge \neg hcp(u))
\end{aligned}$$

$$\begin{aligned}
& Poss(FailT, [u, p], s) \supset \\
& State(Do(FailT, [nu(u), lp(u), \mathbf{Fail}, p], s)) = \\
& State(s) \circ Ct
\end{aligned}$$

#### Action Rdo1

$$\begin{aligned}
& Poss(RedoU, [u, v], z) \equiv \\
& Holds(Cuno(u), z) \wedge \neg Holds(Fst(u), z) \wedge \neg Holds(Holds(Flr(-), z) \wedge \\
& Holds(Bkt(v), z) \wedge (ft(v) \wedge influence(scs(t, v, p, \Theta)))
\end{aligned}$$

$$\begin{aligned}
& Poss(RedoU, [u, v], s) \wedge Holds(Cl(v, cl)) \\
& \supset \\
& State(Do(RedoU, [nu(v), lp(v), \mathbf{Redo}, pd(v), ch(v), rem(ch(v), cl)], s)) = \\
& State(s) \circ Cl(v, rem(ch(v), cl)) \\
& - \{Tree(y) | y > v\} \circ \{Cl(y, -) | y > v\} \circ Ct \circ Bkt(v)
\end{aligned}$$

#### Action RdoF

$$\begin{aligned}
& Poss(RedoD, [u, v], z) \equiv \\
& Holds(Cuno(u), z) \wedge \neg Holds(Fst(u), z) \wedge \neg Holds(Flr(-), z) \wedge \\
& Holds(Bkt(v), z) \wedge influence(fail(T, v))
\end{aligned}$$

$$\begin{aligned}
& Poss(RedoD, [u, v], s) \wedge Holds(Cl(v, cl)) \\
& \supset \\
& State(Do(RedoD, [nu(v), lp(v), \mathbf{Redo}, pd(v), ch(v), rem(ch(v), cl)], s)) = \\
& State(s) \circ Cl(v, rem(ch(v), cl)) \circ Flr(hd(ch(v))) \\
& - \{Tree(y) | y > v\} \circ \{Cl(y, -) | y > v\} \circ Ct \circ Bkt(v)
\end{aligned}$$

#### Action Rdo2

$$\begin{aligned}
& Poss(RedoT, [u, v], z) \equiv \\
& Holds(Cuno(u), z) \wedge \neg Holds(Fst(u), z) \wedge \neg Holds(Holds(Flr(-), z) \wedge \\
& Holds(Bkt(v), z) \wedge (\neg ft(v) \wedge influence(scs(t, v, p, \Theta)))
\end{aligned}$$

$$\begin{aligned}
& Poss(\mathit{RedoT}, [u, v], s) \wedge Holds(\mathit{Cl}(v, cl)) \wedge Holds(\mathit{num}(n)) \wedge \\
& (w = \mathit{ncpd}_1(v) \wedge pd = \mathit{ncpd}_2(w)) \wedge n' = n + 1 \\
& \supset \\
& State(\mathit{Do}(\mathit{RedoT}, [nu(v), lp(v), \mathbf{Redo}, pd(v), ch(v), rem(ch(v), cl)], s)) = \\
& State(s) \circ Tree(w) \circ Cuno(w) \circ Nu(w, n') \circ Pd(w, pd) \\
& \circ Cl(v, rem(ch(v), cl)) \circ Cl(w, dcl(pd)) \circ Fst(w) \circ \\
& - \{Tree(y) | y > v\} \circ Cuno(u) \circ \{Nu(y, -) | y > v\} \circ \\
& \{Pd(y, -) | y > v\} \circ \{Cl(y, -) | y > v\} \circ \{Fst(y) | y > v\} \\
& \circ Ct \circ Bkt(v)
\end{aligned}$$

*Action Final*

$$\begin{aligned}
& Poss(\mathit{Final}, [], z) \equiv \\
& Holds(\mathit{Cuno}(u), z) \wedge \neg Holds(\mathit{Fst}(u), z) \wedge Holds(\mathit{Ct}, z) \wedge \\
& \neg Holds(\mathit{Bkt}, z) \wedge (u = [] \wedge \neg hcp(u)) \\
& Poss(\mathit{Final}, [], s) \wedge influence(\mathit{State}(s_0)) \\
& \supset \\
& State(\mathit{Do}(\mathit{Final}, [nu(u), lp(u), \mathbf{End}], s)) = State(s_0)
\end{aligned}$$

### C.5 OS of CHR

The following is the description of the observational semantics of CHR based on its theoretical operational semantics  $\omega_t$  and the simple fluent calculus with modified axioms of the Section C.2. Justifications in RR-7165.

#### (a) Domain Sorts

- *NATURAL*, natural numbers;
- *RULE*, the sort of CHR rules and *RULE\_ID* the sort of the rule identifiers;
- *CONSTRAINT*, the sort of constraints, with the following subsorts : *BIC* (the built-in constraints), with the subsort *EQ* (constraints in the form  $x = y$ ), and *UDC* (the user-defined constraints), with the following subsort : *IDENTIFIED* (constraints in the form  $c\#i$ ). In short :  
 $EQ < BIC < CONSTRAINT$  and  
 $IDENTIFIED < UDC < CONSTRAINT$ ;
- *PROPHISTORY* =  $Seq(NATURAL) \times RULE$ , the elements of the Propagation History, tuples of a sequence of natural numbers and a rule. For each defined sort  $X$ , three new sorts :  $Seq(X)$ ,  $Set(X)$  and  $Bag(X)$  containing the sequences, the sets and the bags of elements of  $X$ . We use  $[]$  for the empty sequence and  $\{\}$  for the empty set and the empty bag.
- *CHRACTION* < *ACTION*, the subsort of *ACTION* containing only the actions in the CHR semantics.

#### (b) Predicates

- *Query* :  $Bag(CONSTRAINT)$ , *Query*( $q$ ) holds iff  $q$  is the initial query ;
- *Consistent* : *STATE*, holds iff the *BICS* of the state is consistent (i.e., if it does not entail false) ;
- *Match*( $h_k, h_R, u_1, u_2, e, z$ ) holds iff (i)  $u_1$  and  $u_2$  are in the *UDCS* of  $z$  and (ii) the set of matching equations  $e$  is such that  $chr(u_1) = e(h_k)$  and  $chr(u_2) = e(h_R)$  ;
- *Entails* :  $Set(BIC) \times Set(EQ) \times Bag(BIC)$ , *Entails*( $b, e, g$ ) holds if  $CT \models b \rightarrow \exists(e \wedge g)$ .

#### (c) Functions

- $\#$  :  $UDC \times NATURAL \mapsto IDENTIFIED$ , defines the syntactic sugar for defining identified constraints in the form  $c\#i$  ;
- *makeRule* :  
 $RULEID \times Bag(UDC) \times Bag(UDC) \times Bag(BIC) \times Bag(UDC) \mapsto RULE$ ,  
makes a rule from its components. We define the syntactic sugar for rules as  $r_{id}@h_k \setminus h_R \leftrightarrow g | b = makeRule(r_{id}, h_k, h_R, g, b)$  ;
- *Bics* : *STATE*  $\mapsto Set(BIC)$ , where  $Bics(z) = \{c | Holds(InBics(c), z)\}$  ;
- *id* :  $Set(UDC) \mapsto Set(NATURAL)$ , where  $id(H) = i | c\#i \in H$

- The usual set, sequence and bag operations :  $\in$  for membership,  $\cup$  for set union,  $\uplus$  for bag union,  $++$  for sequence concatenation,  $|$  for sequence head and tail (Ex :  $[head|tail]$ ) and  $\setminus$  for set subtraction.
- (d) Fluents
- *Query* :  $Bag(UDC) \mapsto FLUENT$ , *Query*( $q$ ) holds iff  $q$  is the initial toplevel goal;
  - *Goal* :  $Bag(UDC) \mapsto FLUENT$ , *Goal*( $q$ ) holds iff  $q$  is the current goal;
  - *Udcs* :  $Bag(IDENTIFIED) \mapsto FLUENT$ , *Udcs*( $u$ ) holds iff  $u$  is the current UDCS;
  - *InBics* :  $BIC \mapsto FLUENT$ , *InBics*( $c$ ) holds iff  $c$  is in the current BICS;
  - *InPropHistory* :  $PROPHISTORY \mapsto FLUENT$ , *InPropHistory*( $p$ ) holds iff  $p$  is in the current Propagation History;
  - *NextId* :  $NATURAL \mapsto FLUENT$ , *NextId*( $n$ ) holds iff  $n$  is the next natural number to be used to identify a identified constraint.
- (e) Actions
- *Init*  $\mapsto CHR\_ACTION$ ,  $Do(Init, [goal(q)|a], s)$  executes the toplevel initial transition (starting the resolution) with some query  $q$  in the current state ( $a$  stands for other attributes list in the associated trace event);
  - *Solve*  $\mapsto CHR\_ACTION$ ,  $Do(Solve, [bic(c)|a], s)$  executes the *Solve* transition with the built-in constraint  $c$ ;
  - *Introduce*  $\mapsto CHR\_ACTION$ ,  $Do(Introduce, [udc(c)|a], s)$  executes the Introduce transition with the user-defined constraint  $c$ ;
  - *Apply*  $\mapsto CHR\_ACTION$ ,  
 $Do(Apply, [rule(r)|t], s)$  executes the Apply transition with rule  $r$  matching the constraints in the UDCS with the kept and removed heads;
  - *Fail*  $\mapsto CHR\_ACTION$ ,  $Do(Init, [goal(q)|a], s)$  executes the toplevel initial transition (starting the resolution) with some query  $q$  in the current state ( $a$  stands for other attributes list in the associated trace event);
- (f) Attributes
- *goal* :  $CONSTRAINTS \mapsto ATTRIBUTE$ , is the set of constraints in the current Goal;
  - *udc* :  $CONSTRAINTS \mapsto ATTRIBUTE$ , is the set of constraints in the current User Defined Constraints Store;
  - *bic* :  $CONSTRAINTS \mapsto ATTRIBUTE$ , is the set of constraints in the current Built-In Constraints Store;
  - *hind*  $\mapsto INTEGER$ , is the new propagation history index (incremented by *Introduce*);
  - *rule* :  $RULE \mapsto ATTRIBUTE$ , is the rule applied to reach this state.

(g) **Axioms of the Observational Semantics****Init**

- $Poss(Init, [q], z) \equiv Holds(Query(q), z)$
- $Poss(Init, [q], State(s)) \supset State(Do(Init, [initState, goal(q), hind(1)], s)) = State(s) \circ UdcS(\{\}) \circ Goal(q) \circ NextId(1) - Query(q)$

The Initial State Axiom states that in the initial state, the goal contains the constraints in the query, the user defined constraint store is empty and the next ID for identified constraints is 1 ;

**Solve**

- $Poss(Solve, [c], z) \equiv (\exists q)(Holds(Goal(q \uplus \{c\}), z)$

The Solve Precondition Axiom states that the only precondition for the *Solve* action on the built-in constraint  $c$  is that this constraint should be in the goal.

- $Poss(Solve, [c], s) \supset State(Do(Solve, [solve, bic(c), goal(q)], s)) = State(s) \circ Goal(q) \circ InBics(c) - Goal(q \uplus \{c\})$

The Solve State Update Axiom states that the result of the *Solve* action over the constraint  $c$  is that this constraint is removed from goal and added to *InBics* list in current state ;

**Introduce**

- $Poss(Introduce, [c], z) \equiv (\exists q)(Holds(Goal(q), z) \wedge c \in q)$
- $Poss(Introduce, [c], State(s)) \wedge Holds(UdcS(u), State(s)) \wedge Holds(NextId(n), State(s)) \supset State(Do(Introduce, [introduce, udc(c), goal(q), hind(n+1)], s)) = State(s) \circ Goal(q) \circ UdcS(u \uplus c\#n) \circ NextId(n+1) - Goal(q \uplus \{c\}) - UdcS(u) - NextId(n)$

**Apply**

- $Poss(Apply, [r, h_k, h_R, g, u_1, u_2], z) \equiv (\exists e)(\exists b)(Match(h_k, h_R, u_1, u_2, e, z) \wedge \neg Holds(InPropHistory(id(u_1), id(u_2), r), z) \wedge Bics(b, z) \wedge Entails(b, e, g))$
- $Poss(Apply, [r, h_k, h_R, g, u_1, u_2], State(s)) \wedge Holds(UdcS(u_1 \uplus u_2 \uplus u), State(s)) \wedge Holds(Goal(q), State(s)) \wedge Match(h_k, h_R, u_1, u_2, e, z) \supset State(Do(Apply, [apply, rule(r@h_k \setminus h_R \leftrightarrow g|d, u_1, u_2), goal(d \uplus q), udc(u_1 \uplus u), bic(g)], s)) =$



$$\begin{aligned}
& State(s) \circ Goal(d \uplus q) \circ UdcS(u1 \uplus u) \circ InBics(e) \circ InBics(g) \circ \\
& InPropHistory(id(u_1), id(u_2), r) \\
& - Goal(q) - UdcS(u1 \uplus u2 \uplus u)
\end{aligned}$$

**Fail**

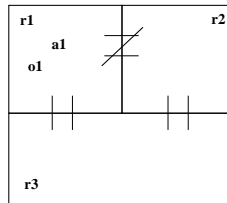
- $Poss(Fail, [q], z) \equiv Holds(goal(q), z) \wedge \neg Poss(Apply, [r, h_k, h_R, g, u_1, u_2], z)$
- $Poss(Fail, [q], s) \supset$   
 $State(Do(Fail, [fail, goal(q)], s)) = State(s)$

## C.6 OS of Robots

An implementation in Flux based on CHR [52] in SICSTUS has been realized by Rafael Ferreira Oliveira.

We follow the choices made in Section A.3.

The simplified robot's world is depicted on Figure 26.



**Figure 26.** A simple robot world

Initially there is one object and one robot both located in the same room, and the door `d12` is locked. The robot has its key.

We present an implementation of the OS in Flux. A current state is described by a set of atoms.

### ACTIONS TYPES

**pickup** pick an object (if any)

**drop** drop the carried object (if any)

**gotodoor** go to the quoted door (if any)

**enterroom** enter the quoted room (if the door is open)

**open** open the door (if it is closed)

### TRACE EVENTS [attributes]

Attribute `a` stands for “agent”

Attribute `o` stands for “object”

Attribute `r` stands for “room”

Attribute `d` stands for “door”

```
pickup a o r
```

```
drop a o r
```

```
walk a d
```

```
walk a r
```

```
open a d
```

– Domains

Domain Sorts	
AGENT	$A1$
ROOM	$R1, R2, R3$
DOOR	$D12, D13$
OBJECT	$O1, O2, O3$

– Parameters

Parameters versus Fluents		
parameter	type	meaning
<i>AgentInRoom</i>	AGENT $\times$ ROOM $\mapsto$ FLUENT	the agent is in room $r$
<i>AtDoor</i>	AGENT $\times$ DOOR $\mapsto$ FLUENT	the agent is at door $d$
<i>Closed</i>	DOOR $\mapsto$ FLUENT	door $d$ is closed
<i>Carries</i>	AGENT $\times$ OBJECT $\mapsto$ FLUENT	agent carries object $o$
<i>HasKeyCode</i>	AGENT $\times$ DOOR $\mapsto$ FLUENT	agent has the key code for door $d$
<i>ObjectInRoom</i>	OBJECT $\times$ ROOM $\mapsto$ FLUENT	the object is in room $r$
<i>Request</i>	ROOM $\times$ OBJECT $\times$ ROOM $\mapsto$ FLUENT	there is a request to deliver object $o$ from room $r_1$ to room $r_2$

Each parameter may be represented by several fluents. (*Request* is treated as external)

The initial state is formalized by this term below.

$$\text{Holds}(\text{AgentInRoom}(A1, R2), S_0) \wedge \text{Holds}(\text{ObjectInRoom}(O1, R3), S_0) \wedge \\ \text{Holds}(\text{ObjectInRoom}(O2, R1), S_0) \wedge \text{Holds}(\text{ObjectInRoom}(O3, R2), S_0) \wedge$$

$$\text{Holds}(\text{Closed}(D12), S_0) \wedge \text{Holds}(\text{HasKeyCode}(A1, D13), S_0) \wedge \\ \text{Holds}(\text{Request}(R3, O1, R2), S_0) \wedge \text{Holds}(\text{Request}(R1, O2, R3), S_0) \wedge \\ \text{Holds}(\text{Request}(R2, O3, R1), S_0) \wedge (\forall x) \neg \text{Holds}(\text{Carries}(A1, x), S_0)$$

– Auxiliary Predicates

Auxiliary Predicates		
predicate	type	meaning
<i>Connects</i>	ROOM $\times$ DOOR $\times$ ROOM	door $d$ connects rooms $r_1$ and $r_2$

– Actions and Actual state Attributes

Actions		
action	attributes	action meaning
<i>Pickup</i>	pickup $\times$ AGENT $\times$ OBJECT $\times$ ROOM	pick up object $o$
<i>Drop</i>	drop $\times$ AGENT $\times$ DOOR $\times$ ROOM	drop object $o$
<i>GoToDoor</i>	walk $\times$ AGENT $\times$ DOOR	go to door $d$
<i>EnterRoom</i>	walk $\times$ AGENT $\times$ ROOM	enter room $r$
<i>Open</i>	open $\times$ DOOR	open door $d$

The parameters of the actions in a condition are just used for communication of particular values and thus avoid rewriting of “Holds” conditions in the following axiom.

**Observational Semantics****Pickup**

$$\begin{aligned} \text{Poss}(\text{Pickup}, [a, o, r], s) &\equiv \\ &\text{Holds}(\text{AgentInRoom}(a, r), s) \wedge \text{Holds}(\text{ObjectInRoom}(o, r), s) \wedge \\ &\neg \text{Holds}(\text{Carries}(a, o)) \end{aligned}$$

$$\begin{aligned} \text{Poss}(\text{Pickup}, [a, o, r], s) \supset \\ \text{State}(\text{Do}(\text{Pickup}, [\text{pickup}, a, o, r], s)) = \text{State}(s) \circ \text{Carries}(a, o) \end{aligned}$$

**Drop**

$$\begin{aligned} \text{Poss}(\text{Drop}, [a, o, r], s) &\equiv \\ &\text{Holds}(\text{Carries}(a, o)) \wedge \text{Holds}(\text{AgentInRoom}(a, r), s) \end{aligned}$$

$$\begin{aligned} \text{Poss}(\text{Drop}, [a, o, r], s) \supset \\ \text{State}(\text{Do}(\text{Drop}, [\text{drop}, a, o, r], s)) = \text{State}(s) - \text{Carries}(a, o) \end{aligned}$$

**GoToDoor**

$$\begin{aligned} \text{Poss}(\text{GoToDoor}, [a, d, r], s) &\equiv \text{Holds}(\text{AgentInRoom}(a, r), s) \wedge \\ &(\exists r') \text{Connects}(r, d, r') \wedge \neg(\exists d') \text{Holds}(\text{AtDoor}(a, d'), s) \end{aligned}$$

$$\begin{aligned} \text{Poss}(\text{GoToDoor}, [a, d, r], s) \supset \\ \text{State}(\text{Do}(\text{GoToDoor}, [\text{walk}, a, d], s)) = \text{State}(s) \circ \text{AtDoor}(a, d) \end{aligned}$$

**EnterRoom**

$$\begin{aligned} \text{Poss}(\text{EnterRoom}, [a, r, d, r'], s) &\equiv \text{Holds}(\text{AgentInRoom}(a, r)) \wedge \\ &\text{Holds}(\text{AtDoor}(a, d), s) \wedge \text{Connects}(r, d, r') \wedge \neg \text{Holds}(\text{Closed}(d), s) \end{aligned}$$

$$\begin{aligned} \text{Poss}(\text{EnterRoom}, [a, r, d, r'], s) \supset \\ \text{State}(\text{Do}(\text{EnterRoom}, [\text{walk}, a, r'], s)) = \text{State}(s) \circ \text{AgentInRoom}(a, r') - \\ \text{AgentInRoom}(a, r) \end{aligned}$$

**Open**

$$\begin{aligned} \text{Poss}(\text{Open}, [a, d], s) &\equiv \\ &\text{Holds}(\text{AtDoor}(a, d), s) \wedge \text{Holds}(\text{HasKeyCode}(a, d), s) \wedge \\ &\text{Holds}(\text{Closed}(d), s) \end{aligned}$$

$$\begin{aligned} \text{Poss}(\text{Open}, [a, d], s) \supset \\ \text{State}(\text{Do}(\text{Open}, [\text{open}, a, d], s)) = \text{State}(s) - \text{Closed}(d) \end{aligned}$$

**Example of trace :**

1	pickup	a1	o1	r1
2	walk	a1	d12	
3	open	a1	d12	
4	walk	a1	r2	
5	walk	a1	d12	
6	walk	a1	r1	
7	drop	a1	o1	r1
8	pickup	a1	o1	r1
9	drop	a1	o1	r1
10	walk	a1	d13	

## Références

1. L. Aceto, W.J. Fokkink, and C. Verhoef. Structural Operational Semantics. In J.A. Bergstra, A. Ponse, and S.A. Smolka, editors, *Handbook of Process Algebra*, pages 197–292. Elsevier Science Publishers, North-Holland, 2001.
2. P. Aczel. Lecture on semantics : The initial algebra and final coalgebra perspectives. In H. Schwichtenberg, editor, *Logic of Computation*. Springer Verlag, 1997.
3. Massimo Fabris & al. Debugging Systems for Constraint Programming (DiS-CiPi) - D.WP1.1.M1.1-1 - CP Debugging Needs. Technical report, Inria Rocquencourt, University of Linköping, University of Madrid, University of Orléans, Cosytec, ICON, OM Partners, PrologIA, april 1997. Esprit Projet. <http://web.archive.org/web/20060720225337/discipl.inria.fr/deliverables1.html>.
4. José-Júlio Alferes and Wolfgang May. Reasoning on the Web with Rules and Semantics. TR, Reverse Project, August 2004.
5. Rajeev Alur and D.L. Dill. Automata for modelling real time systems. In *Proceedings of ICALP'90, LNCS 443*, pages 322–335. Springer-Verlag, 1990.
6. Rajeev Alur, Tom Henzinger, Gerardo Lafferriere, George, and J. Pappas. Discrete abstractions of hybrid systems. In *Proceedings of the IEEE*, pages 971–984, 2000.
7. Bastien Amar, Hervé Leblanc, and Bernard Coulette. A Traceability Engine Dedicated to Model Transformation for Software Engineering. In Jon Oldevik, Goran K. Olsen, Tor Neple, and Richard Paige, editors, *ECMDA Traceability Workshop 2008, Berlin, 12/06/08-12/06/08*, pages 7–16, <http://www.springerlink.com>, juin 2008. Springer.
8. Arvind Arasu, Shivnath Babu, and Jennifer Widom. An abstract semantics and concrete language for continuous queries over streams and relations. TR, Stanford University, November 2002.
9. Sylvain Auroux. *La révolution technologique de la grammatisation. Introduction à l'histoire des sciences du langage*. Editions Pierre Mardaga, Liège, 1994.
10. Andrew B. Baker. A simple solution to the Yale Shooting problem. In R. Brachman, H. J. Levesque, and R. Reiter, editors, *Proceedings of the International Conference on Principles of Knowledge Representation and Reasoning (KR)*, pages 11–20. Morgan Kaufmann, 1989.
11. Thomas Baudel. Ilog visual cp. Technical report, ILOG, Gentilly, 2004. voir aussi Réalisation OADymPPaC D4.3.1 et prototype sur <http://www2.ilog.com/preview/Discovery/gentra4cp/>.
12. Gordon Bell, editor. *The 3rd ACM Workshop on Capture, Archival and Retrieval of Personal Experiences, Santa Barbara, California, USA*. ACM, October 2006. First workshop <http://research.microsoft.com/CARPE2004/schedule.htm>.
13. Béatrice Bérard, Antoine Petit, and Paul Gastin. Timed Automata with non observable actions : expressive power end refinement. Technical Report LIAFA 97/23, LIAFA, septembre 1997.
14. Jacques Blamont. *Introduction au siècle des menaces*. Odile Jacob, 2004.
15. Xavier Blanc, Isabelle Mounier, Alix Mougnot, and Tom Mens. Detecting model inconsistency through operation-based model construction. In *ICSE '08 : Proceedings of the 30th international conference on Software engineering*, pages 511–520, New York, NY, USA, 2008. ACM.

16. Francisco Bueno, Pierre Deransart, Włodzimierz Drabent, Gérard Ferrand, Manuel V. Hermenegildo, Jan Maluszynski, and Germán Puebla. On the role of semantic approximations on validation and diagnosis of constraint logic programs. In *AADEBUG*, pages 155–169, 1997.
17. Vannevar Bush. As we May Think. *The Atlantic Monthly*, July 1945. The electronic version was prepared by Denys Duchier, April 1994, <http://ccat.sas.upenn.edu/~jod/texts/vannevar.bush.html>.
18. L. Byrd. Understanding the control flow of Prolog programs. In S.-A. Tarnlund, editor, *Logic Programming Workshop*, Debrecen, Hungary, 1980.
19. Michael Cammert, Jurgen Kramer, Bernhard Seeger, and Sonny Vaupel. A Cost-Based Approach to Adaptive Resource Management in Data Stream Systems. *IEEE Transactions on Knowledge and Data Engineering archive*, 20(2) :230–245, February 2008.
20. Georges Chapouthier. *Biologie de la mémoire*. Odile Jacob, February 2006.
21. Christophe Choquet and Sébastien Iksal. Modélisation et construction de traces d'utilisation d'une activité d'apprentissage : une approche langage pour la réingénierie d'un EIAH. *Revue STICEF*, 14, 2007.
22. Edmund M. Clark Jr., Orna Grumberg, and Doron A. Peled. *Model Checking*. The MIT Press, 1999.
23. Edmund M. Clarke, Orna Grumberg, and Doron A. Peled. *Model Checking*. The MIT Press, 2000. See also [http://fr.wikipedia.org/wiki/Model\\_checking](http://fr.wikipedia.org/wiki/Model_checking).
24. E.M. Clarke, O. Grumberg, and D.E. Long. Model Checking and Abstraction. *CM Transactions on Programming Languages and Systems*, 16(5) :1512–1542, 1992.
25. M. Comini, G. Levi, and M. C. Meo. A Theory of Observables for Logic Programs. *Information and Computation*, 169 :23–80, 2001.
26. Delphine Coulin. *Les traces*. Editions Bernard Grasset, Paris, 2004.
27. P. Cousot and R. Cousot. Systematic design of program transformation frameworks by abstract interpretation. In *Proc. of POPL 2002*, pages 178–190, 2002.
28. Patrick Cousot and Radhia Cousot. Abstract Interpretation : a Unified Lattice Model for Static Analysis of Programs by Construction or Approximation of Fix-points. In *Proceedings of the 24th ACM Symposium on Principles of Programming Languages, POPL 1977, Los Angeles*, pages 238–252. ACM Press, New York, 1977.
29. Patrick Cousot and Radhia Cousot. Abstract interpretation and application to logic programs. *Journal of Logic Programming*, 13(2/3) :103–179, 1992.
30. Damien Cram. Visualisation de traces : Application aux traces réflexives d'elycée. Rapport de stage, Master recherche Informatique, LIRIS, Université de Lyon 1, Lyon, France, June 2007.
31. Fensel D., Hendler J., Lieberman H., and Wahlster W. Introduction to the semantic web. In Fensel D., Hendler J., Lieberman H., and Wahlster W., editors, *Spinning the Semantic Web. Bringing the World Wide Web to Its Full Potential*, pages 1–25. MIT Press, Cambridge, 2003.
32. Jean-Paul Delahaye. *Complexités. Aux limites des mathématiques et de l'informatique*. Belin - pour la science, 2006.
33. P. Deransart & al. Outils d'Analyse Dynamique Pour la Programmation Par Contraintes (OADymPPaC). Technical report, Inria Rocquencourt and École des Mines de Nantes and INSA de Rennes and Université d'Orléans and Cosytec and ILOG, May 2004. Projet RNTL. <http://contraintes.inria.fr/OADymPPaC>.

34. P. Deransart. On using Tracer Driver for External Dynamic Process Observation. In Alexander Serebrenik and S. Muñoz-Hernandez, editors, *Proceedings of the 16th Workshop on Logic-based Methods in Programming Environments (WLPE'06), a pre-conference workshop of ICLP'06*, Seattle, USA, August 2006.
35. P. Deransart. Conception de Trace et Applications (vers une méta-théorie des traces). Technical report, Inria Paris-Rocquencourt, march 2009. Working document <http://hal.inria.fr/>.
36. P. Deransart, A. Ed-Dbali, and L. Cervoni. *Prolog, The Standard ; Reference Manual*. Springer Verlag, April 1996.
37. Pierre Deransart, Mireille Ducassé, and Gérard Ferrand. Une sémantique observationnelle du modèle des boîtes pour la résolution de programmes logiques. In François Fages, editor, *Actes des troisièmes Journées Francophones de Programmation par Contraintes, JFPC 07*, Rocquencourt, France, June 2007.
38. Pierre Deransart, Mireille Ducassé, and Gérard Ferrand. Une sémantique observationnelle du modèle des boîtes pour la résolution de programmes logiques (version étendue). RR-6229, INRIA, May 2007. <http://hal.inria.fr/inria-00151285>.
39. Pierre Deransart and Jan Maluszynski. *A Grammatical View of Logic Programming*. The MIT Press, 1993.
40. D. Diaz. GNU-Prolog, a free Prolog compiler with constraint solving over finite domains, 2003. <http://gprolog.sourceforge.net/>, Distributed under the GNU license.
41. D. Diaz and P. Codognet. Design and implementation of the GNU-Prolog system. *Journal of Functional and Logic Programming*, 6-10, 2001.
42. V. Diekert and G. Rozenberg. *The Book of Traces*. World Scientific Publishing, Singapore, 1995.
43. M. Ducassé and L. Langevine. Automated analysis of CLP(FD) program execution traces. In P. Stuckey, editor, *Proceedings of the International Conference on Logic Programming*. Lecture Notes in Computer Science, Springer-Verlag, July 2002. Poster. Extended version available at <http://www.irisa.fr/lande/ducasse/>.
44. M. Ducassé and J. Noyé. Logic Programming Environments : Dynamic Program Analysis and Debugging. *The Journal of Logic Programming*, 19/20 :351-384, May/July 1994.
45. Mireille Ducassé. Scénarios : un paradigme permettant la mise en œuvre de stratégies de localisation d'erreurs de programmation. In *Première ERGO-IA, Biarritz, France*, 1988.
46. F. Fages, A. Aggoun, N. Beldiceanu, M. Carlsson, F. Carvalho, P. Gravez, A. Kovcs, and J. Martin. State-of-the-art of enabling technologies for packing and planning in future wms. Technical report, Inria Rocquencourt and KLS Optim and SICS and EMN, 2007. deliverable, no D3.1, European Project, STREP Net-WMS Constraint Optimization in Warehouse Management Systems, <http://net-wms.ercim.org>.
47. F. Fages and S. Soliman. Abstract Interpretation and Types for Systems Biology. *TCS*, 14, 2007.
48. Jean-Daniel Fekete. The InfoVis Toolkit. Technical report, INRIA, Centre de Recherche de Saclay, Orsay, 2005. <http://ivtk.sourceforge.net/>.
49. Gérard Ferrand. Notes sur l'interprétation abstraite, April 1998. Notes établies selon Cousot-Cousot, JLP 1992 corrigé.



50. Gérard Ferrand. Induction et coinduction, 2007. Livre rouge.
51. Philippe Flageolet. Algorithmes probabilistes sur de grandes masses de données. In Gérard Berry, editor, *Chaire d'Innovation technologique - Liliane Bettencourt*. Collège de France, 2007. [http://www.college-de-france.fr/default/EN/all/inn\\_tec/](http://www.college-de-france.fr/default/EN/all/inn_tec/).
52. Thom Fruehwirth. Constraint handling rules : the story so far. In *Proceedings of the 8th ACM SIGPLAN international conference on Principles and practice of declarative programming*, pages 13–14. ACM, 2006.
53. H. Garavel and R. Mateescu. SEQ.OPEN : A Tool for Efficient Trace-Based Verification. In *Proceedings of the 11th International SPIN Workshop on Model Checking of Software, SPIN'2004 (Barcelona, Spain)*, number 2989 in LNCS, pages 150–155. Springer Verlag, April 2004.
54. Olivier Georgeon, Matthias J. Henning, Thierry Bellet, and Alain Mille. Creating Cognitive Models from Activity Analysis : A Knowledge Engineering Approach to Car Driver Modeling. In *International Conference on Cognitive Modeling*, pages 43–48. Taylor & Francis, July 2007.
55. Patrick Greussay. Stic hebdo, asti, February 2005. <http://www.ibisc.univ-evry.fr/~asti/Archives/Hebdo/sh44/sh44.htm>.
56. Bart Jacobs. Introduction to coalgebra..., 2005. Draft on internet.
57. J. Jaffar and M.J. Maher. Constraint Logic Programming. *Journal of Logic Programming*, 19/20 :503–581, 1994.
58. E. Jahier, M. Ducassé, and O. Ridoux. Specifying Prolog trace models with a continuation semantics. In K.-K. Lau, editor, *Proc. of LOGic-based Program Synthesis and TRansformation*, London, July 2000. Technical Report Report Series, Department of Computer Science, University of Manchester, ISSN 1361-6161. Report number UMCS-00-6-1.
59. Gilles Kahn. Natural semantics. In *Proceedings of STACS'87*, number 247 in LNCS, pages 22–39. Springer Verlag, 1987.
60. Salim Kalla. Trace générique pour CHR sur les domaines finis. Technical report, INRIA, septembre 2007. Rapport de DEA.
61. Adorjan Kiss and Joel Quinqueton. UNISCRIP T : a Model for Persistent and Incremental Knowledge Storage. In *The First ACM Workshop on Continuous Archival and Retrieval of Personal Experiences, CARPE 2004, Columbia University New York*. Microsoft, October 2004.
62. Donald E. Knuth. Literate programming. In *CSLI*, number 27 in Lecture Notes. Center for the Study of Language and Information, Stanford, California, 1992.
63. Julien Laflaquière, Lotfi Sofiane Settouti, Yannick Prié, and Alain Mille. A trace-based System Framework for Experience Management and Engineering. In *Second International Workshop on Experience Management and Engineering (EME 2006) in conjunction with KES2006*, October 2006.
64. L. Langevine, P. Deransart, and M. Ducassé. A propagation tracer for GNU-Prolog : from formal definition to efficient implementation. In C. Palamidessi, editor, *Proc. of 19th International Conference on Logic Programming (ICLP 2003)*, volume 2916, pages 269–283. Springer Verlag, septembre 2003.
65. L. Langevine and M. Ducassé. A tracer driver for hybrid execution analyses. In *Proceedings of the 6th Automated Debugging Symposium*. ACM Press, September 2005. see RR-5611 for a longer version of this article.

66. L. Langevine and M. Ducassé. A tracer driver for versatile dynamic analyses of constraint logic programs. In A. Serebrenik and S. Muñoz-Hernandez, editors, *Proceedings of the 15th Workshop on Logic-based Method for Programming Environments (WLPE'05), a pre-conference workshop of ICLP'05*, Sitges, Spain, October 2005. Satellite event of International Conference on Logic Programming (ICLP'2005). Published in Computer Research Repository cs.SE/0508105.
67. Ludovic Langevine, Pierre Deransart, and Mireille Ducassé. A generic trace schema for the portability of cp(fd) debugging tools. In K.R. Apt, F. Fages, F. Rossi, P. Szeredi, and Jozsef Vancza, editors, *Recent Advances in Constraints*, number 3010 in LNAI. Springer Verlag, May 2004.
68. André Lebeau. *L'engrenage de la technique, essai sur une menace planétaire*. NRF, 2005.
69. Hector Levesque, Fiora Pirri, and Ray Reiter. Foundations for the Situation Calculus. *Electronic Transactions on Artificial Intelligence*, 2 :159–178, 1998.
70. Salvador Lucas. Observable Semantics and Dynamic Analysis of Computational Processes. Technical Report LIX/RR/00/02, Laboratoire d'Informatique LIX, 2000.
71. David Maier, Jin Li, Peter Tucker, Kristin Tufte, and Vassilis Papadimos. Semantics of data streams and operators. In T. Eiter and L. Libkin, editors, *ICDT 2005*, number 3363 in LNCS, pages 37–52. Springer Verlag, 2005.
72. J. Martin and F. Fages. From business rules to constraint programs in warehouse management systems. In *Doctoral programme of the 13th Conference on Principles and Practice of Constraint Programming, CP'07*, septembre 2007. <http://voter.engr.uconn.edu/~ldm/CP2007/DP-proc2007.pdf>.
73. J. Martin and F. Fages. From rules to constraint programs with the rules2cp modelling language. RR-6495, Inria Rocquencourt, April 2007.
74. Jean-Charles Marty and Alain Mille. *Analyse de traces et personnalisation des environnements informatiques pour l'apprentissage humain*. Herms, Lavoisier, 2009.
75. J. McCarthy and P. Hayes. Some philosophical problems from the standpoint of artificial intelligence. In B. Meltzer and D. Michie, editors, *Machine Intelligence*, 4, pages 463–502. Edinburgh University Press, 1969.
76. McCarthy, J. and Hayes, P.J. Some Philosophical Problems from the Standpoint of Artificial Intelligence. *Machine Intelligence*, 4 :463–502, 1969.
77. Magali Ollagnier-Beldame. Suivre à la trace l'activité de deux co-acteurs : Le cas d'une rédaction conjointe médiée par un artefact numérique. Technical Report RR-LIRIS-2007-024, LIRIS UMR 5205 CNRS/INSA de Lyon/Université Claude Bernard Lyon 1/Université Lumière Lyon 2/Ecole Centrale de Lyon, September 2007.
78. Yoann Padioleau, Benjamin Sigonneau, and Olivier Ridoux. Lisfs : a logical information system as a file system. In Leon J. Osterweil, H. Dieter Rombach, and Mary Lou Soffa, editors, *ICSE*, pages 803–806. ACM, 2006.
79. G.D. Plotkin. A Structural Approach to Operational Semantics. *Journal of Logic and Algebraic Programming*, 60/61 :17–140, 2004. Technical Report DAIMI FN-19, Computer Science Department, Aarhus University, Denmark, September 1981.
80. R. Reiter. The frame problem in the situation calculus : A simple solution (sometimes) and a completeness result for goal regression. *Artificial intelligence and*

- mathematical theory of computation : papers in honor of John McCarthy*, pages 359–380, 1991.
81. Jacques Robin and Jairson Vitorino. ORCAS : Towards a CHR-Based Model-Driven Framework of Reusable Reasoning Components. In *Proceedings of the 20th Workshop on (Constraint) Logic Programming (WLP'06)*, pages 192–199, 2006. <http://www.kr.tuwien.ac.at/events/wlp06/proceedings.html>.
  82. Jacques Robin, Jairson Vitorino, and Armin Wolf. Constraint Programming Architectures : Review and a New Proposal. *Universal Computer Science (J.UCS)*, 13(6) :701–720, 2007.
  83. J.J.M.M. Rutten. Universal Coalgebra : a Theory of Systems. *TCS*, 249(1) :3–80, 2000.
  84. J.J.M.M. Rutten. On streams and Coinduction. *AMS*, 23 :3–80, 2004.
  85. David A. Schmidt. Abstract interpretation of small-step semantics. In *Proceedings of the 5th LOMAPS Workshop on Analysis and Verification of Multiple-Agent Languages. LNCS 1192*, pages 76–99. Springer-Verlag, 1996.
  86. Michel Serres. Les nouvelles technologies : révolution culturelle et cognitive. In *L'INRIA a quarante ans*. INRIA, December 2007. <http://www.inria.fr/40ans/forum/pdf/conf-serres.pdf>.
  87. Lotfi Sofiane Settouti, Yannick Prié, Alain Mille, and Jean-Charles Marty. Système à base de trace pour l'apprentissage humain. In *colloque international TICE 2006 Technologies de l'Information et de la Communication dans l'Enseignement Supérieur et l'Entreprise*, October 2006.
  88. M.P. Shanahan. The Frame Problem. In Nadel L., editor, *The Macmillan Encyclopedia of Cognitive Science*, pages 144–150. Macmillan, December 2003.
  89. Murray Shanahan. The event calculus explained. In *Artificial Intelligence Today : Recent Trends and Developments*, number 1600 in LNCS. Springer Berlin / Heidelberg, 1999.
  90. Luke Simon, Ajay Mallya, Ajay Bansal, and Gopal Gupta. Coinductive logic programming. In Sandro Etalle and Miroslaw Truszczynski, editors, *ICLP*, volume 4079 of *Lecture Notes in Computer Science*, pages 330–345. Springer, 2006.
  91. Bernard Stiegler. Le réseau numérique à l'origine d'un nouveau modèle industriel. In *L'INRIA a quarante ans*. INRIA, December 2007. <http://www.inria.fr/40ans/forum/pdf/conf-stiegler.pdf>.
  92. M. Thielscher. Introduction to the fluent calculus. *Electronic Transactions on Artificial Intelligence*, 2 :179–192, 1998.
  93. M. Thielscher. From situation calculus to fluent calculus : State update axioms as a solution to the inferential frame problem. *Artificial Intelligence*, 111(1) :277–299, 1999.
  94. Thomas W. Automata on infinite objects. In J. van Leeuwen, editor, *Handbook of Theoretical Computer Science*, pages 133–191. Elsevier Science Publishers, North-Holland, 1990.
  95. Armin Wolf, Jacques Robin, and Jairson Vitorino. Adaptive CHR meets  $\text{CHR}^\vee$  : An Extended Refined Operational Semantics for  $\text{CHR}^\vee$  based on Justifications. In *Proceedings of the Fourth Workshop on Constraint Handling Rules (CHR 2007)*, 2007. <http://chr2007.workshops.free.fr/>.

96. Andy Zaidman, Toon Calders, Serge Demeyer, and Jan Paredaens. Applying web-mining techniques to execution traces to support the program comprehension process. In *Proceedings of the Ninth European Conference on Software Maintenance and Reengineering (CSMR'05), Manchester, UK*, pages 134–142. IEEE Computer Society, March 2005.

## Colophon

### Éléments historiques et explicatifs

Ce document est une ébauche, distribué aux collègues intéressés à fin de collaboration, mais rien n'est encore garanti et les concepts et définitions, encore imparfaits peuvent encore évoluer.

Mai 2007 : première ébauche de définition de SO avec LTS.

Août 2007 : première ébauche de définition de SI et lien avec la notion d'adéquation devenue "fidélité" Novembre 2007 : reprise de la SO à Recife avec Robin pour tenir compte des aspects "composants logiciels". La notion de "fidélité" commence à se formaliser proprement (commutativité de  $E'$  et  $I'$ )

Décembre 2007 : Première rédaction faisant apparaître les composants avec trois paradigmes nouveaux : sous-trace, trace enrichie et trace générique.

Février 2008 : la collaboration avec J. Robin doit permettre d'étudier la construction de trace générique à partir de composants munis de leur propre trace générique, et d'obtenir d'autres exemples, en particulier dans le domaine de l'ordonnancement (et GUI Gant Chart) et de jeux multi agents. Le projet Net-Wms peut être un champ d'application en recherchant un enrichissement de gentra4cp dans un cadre de contraintes globales.

Mai 2008 : première version complète de l'approche trace avec définition complète des sémantiques et de leur représentation. Reformulation des notions de fidélité et de l'exemples GNU-Prolog avec trace complète.

Juin, Juillet 2008 : ajout applications et traduction d'une partie en anglais.

Septembre, Octobre 2008 : fin des domaines applicatifs, travail avec J. Robin et Raphael.

Novembre, 2008 : section 3 sur la méthodologie et embrion d'introduction.

Décembre, 2008 : section 8.9, conclusions sur les domaines fondateurs et applications.

Janv à mars, 2009 : section 5 sur les fondements et quelques propriétés, implantation de l'exemple des robots en Prolog et "fluent calculus".

Juin septembre 2009 : introduction à la méta théorie des traces (Trace Meta-Theory, TMT) par la section sur l'architecture de traceurs et approfondissement de la représentation de la SO avec le fluent calculus.

Sept. à nov. 2009 implantation d'une SO pour Prolog et expérimentation. Travail avec Rafael Oliveira sur l'application de la TMT à l'élaboration d'une trace générique pour CHR, sa spécification en Flux et son implantation expérimentale dans CHROME-REF (travail en cours).

Déc. 2009, rédaction du RR-7165 et mise en cohérence des SO de Prolog (programme Prolog, présentation fonctionnelle et calcul des fluents), et rédaction provisoire de la section 6 (MTT).

Début janvier 2010, introduction de la nouvelle sémantique interprétative de Prolog et de la représentation de la SO en calcul des fluents, et mise en cohérence avec l'ensemble des exemples du corps du texte.

Fin janvier 2010, réorganisation de la question des rapports entre sémantiques (SO et SI), introduction des concepts de dépendance entre paramètres et/ou

attributs. Complétion de la partie TMT et Mise en cohérence partielle de l'ensemble du texte. Premier manuscrit relativement complet déposé sur HAL.